



TUGAS AKHIR – RC09-1501

**DESAIN MODIFIKASI STRUKTUR JEMBATAN
KALIPEPE DENGAN ASYMMETRIC CABLE STAYED
SYSTEM DAN PRESTRESSED CONCRETE SEGMENTAL
BOX GIRDER**

M. AKBAR ALRASYIDI
NRP. 3115 105 026

Dosen Pembimbing I
Prof. Tavio, ST., MT., Ph. D.

Dosen Pembimbing II
Dr. Ir. Hidayat Soegihardjo M., MS.

JURUSAN TEKNIK SIPIL
Fakultas Teknik Sipil dan Perencanaan
Institut Teknologi Sepuluh Nopember
Surabaya 2017



TUGAS AKHIR – RC09-1501

**DESAIN MODIFIKASI STRUKTUR JEMBATAN
KALIPEPE DENGAN ASYMMETRIC CABLE
STAYED SYSTEM DAN PRESTRESSED CONCRETE
SEGMENTAL BOX GIRDER**

M. AKBAR ALRASYIDI

NRP. 3115 105 026

Dosen Pembimbing I:

Prof. Tavio, ST., MT., Ph. D.

Dosen Pembimbing II:

Dr. Ir. Hidayat Soegihardjo M., MS.

JURUSAN TEKNIK SIPIL

Fakultas Teknik Sipil dan Perencanaan

Institut Teknologi Sepuluh Nopember

Surabaya 2017

**DESAIN MODIFIKASI STRUKTUR JEMBATAN
KALIPEPE DENGAN ASYMMETRIC CABLE STAYED
SYSTEM DAN PRESTRESSED CONCRETE
SEGMENTAL BOX GIRDER**

TUGAS AKHIR

Diajukan Untuk Memenuhi Salah Satu Syarat
Memperoleh Gelar Sarjana Teknik
Pada
Program Studi S-1 Lintas Jalur Teknik Sipil
Fakultas Teknik Sipil Dan Perencanaan
Institut Teknologi Sepuluh Nopember

Oleh :

M. AKBAR ALRASYIDI
Nrp. 3115105026

Disetujui oleh Pembimbing Tugas

1. Prof. Tavio, ST., MT., Ph. D.
2. Dr. Ir. Hidayat Soegihardjo, M.S.



**SURABAYA
JULI, 2017**

DESAIN MODIFIKASI STRUKTUR JEMBATAN KALIPEPE DENGAN ASYMMETRIC CABLE STAYED SYSTEM DAN PRESTRESSED CONCRETE SEGMENTAL BOX GIRDER

Nama Mahasiswa : M. Akbar Alrasyidi

NRP : 3115 105 026

Jurusan : Teknik Sipil FTSP-ITS

Dosen Pembimbing : 1. Prov. Tavio, ST., MT., Ph. D.

2. Dr. Ir. Hidayat Soegihardjo M., MS.

Abstrak

Jembatan Kali Pepe merupakan bagian dari proyek jalan bebas hambatan Solo-Kertosono yang melintasi sungai Pepe. Dimana jembatan yang masih dalam tahap penggerjaan ini di desain menggunakan konstruksi PC I girder. Bentang bersih jembatan ini sepanjang 85,2 m yang dibagi menjadi 2 bagian sama panjang dengan 3 pilar penopang serta memiliki lebar jembatan selebar 12 m. Penggunaan gelagar beton prategang dengan pier di tengah menimbulkan kesan masif dan kokoh, namun kurang memiliki nilai estetika dan dapat mengurangi luas efektif penampang basah pada sungai.

Maka dalam penulisan tugas akhir ini Jembatan Kali Pepe akan direncanakan ulang sebagai jembatan cable stayed asimetris dengan menggunakan box girder beton prestressed segmental (PC SB girder) dengan bentang 135 m dan lebar 13,5m. Susunan kabel pada arah melintang berupa double planes system, sedangkan untuk arah memanjang berupa semi harp pattern. Desain lantai kendaraan berupa pelat beton bertulang dengan gelagar berupa box girder beton prestressed. Pylon (tiang) pada jembatan ini didesain menggunakan material beton bertulang.

Pada pelaksanaan tugas akhir ini dibantu dengan software MIDAS CIVIL 2011, SAP 2000 dan AUTOCAD. Tahapan dalam perencanaan ini dimulai dari pengumpulan data dan studi literatur, preliminary desain, desain struktur sekunder, desain struktur primer, permodelan dan analisa struktur, kontrol stabilitas aerodinamis, dan menyusun gambar kerja. Permodelan struktur menggunakan fishbone model dengan pembebanan berdasarkan SNI 1725 2016 dan SNI 2833 2013. Staging analysis menggunakan metode demolishing procedure atau backward solution. Hasil yang diperoleh dari perencanaan ini berupa penulangan dan tendon prategang pada gelagar, dimensi kabel, penulangan angker, serta penulangan pylon dalam bentuk laporan dan gambar teknik.

Kata kunci : jembatan, asymmetric cable stayed, semi harp pattern, double plane system, prestressed concrete segmental box girder.

***STRUCTURE MODIFICATION DESIGN OF
KALIPEPE BRIDGE USING ASYMMETRIC CABLE
STAYED SYSTEM AND PRESTRESSED CONCRETE
SEGMENTAL BOX GIRDER***

Nama Mahasiswa : M. Akbar Alrasyidi

NRP : 3115 105 026

Jurusan : Teknik Sipil FTSP-ITS

Dosen Pembimbing : 1. Prov. Tavio, ST., MT., Ph. D.

2. Dr. Ir. Hidayat Soegihardjo M., MS.

Abstract

The Kali Pepe bridge is part of Solo-Kertosono highway project which crosses the Pepe river. Where the bridge that still in construction phase here was designed using PC I girder. The clear span of this bridge along 85,2 m that divided into 2 equal parts of length with 3 support pillars and having 12 m of width. The use of prestressed concrete with pier in the middle of the river make an impression of massive and sturdy, yet less of aesthetic value and could decrease the effective liner waterway of the river.

Accordingly, in this final task the Kali Pepe bridge is redesigned as asymmetric cable stayed bridge with prestressed concrete segmental box girder (PC SB girder) which its span along 135 m and its width 13,5m. Cable bridge configuration in transversal direction use double planes system while in longitudinal direction use semi harp pattern. The design of the deck bridge use prestressed concrete segmental box girder. While the pylon of this bridge is designed with reinforced concrete..

In this final task arrangement use many of computer program as MIDAS CIVIL 2011, SAP 2000 dan AUTOCAD. This

planning phase is started from collecting data and study of literature, preliminary design, designing of secondary structure, designing of primary structure, modeling and analyzing the structure, controlling of aerodynamic stability, and arranging of engineering drawing. The structure modeling use the fishbone model with the loading case based on SNI 1725:2016 and SNI 2833:2013. The staging analysis use demolishing procedure method or backward solution. The result from this planning are girder reinforcing and prestressing, cable dimension, anchor reinforcing, pylon reinforcing as a report and engineering drawing.

Keyword : bridge, asymmetric cable stayed, semi harp pattern, double plane system, prestressed concrete segmental box girder.

KATA PENGANTAR

Pertama – tama penulis mengucapkan puji syukur kepada Tuhan Yang Maha Esa atas berkat dan rahmatnya di dalam memberi kesehatan dan kekuatan kepada penulis guna menyelesaikan penyusunan Tugas Akhir ini.

Penyusunan Tugas Akhir ini diajukan oleh penulis dalam rangka memenuhi persyaratan akademis pada program Studi Teknik Sipil, Fakultas Teknik Sipil dan Perencanaan, Institut Teknologi Sepuluh Nopember, Surabaya.

Adapun topik dari penyusunan Tugas Akhir ini adalah **Desain Modifikasi Struktur Jembatan Kalipepe dengan Asymmetric Cable Stayed System dan Prestressed Concrete Segmental Box Girder**

Penulis menyadari bahwa Tugas Akhir ini masih jauh dari sempurna untuk itu segala saran, kritik serta masukan yang sifatnya membangun sangat diharapkan demi perbaikan di masa mendatang.

Surabaya, 18 Juli 2017

Penulis

Halaman ini sengaja dikosongkan

DAFTAR ISI

LEMBAR PENGESAHAN	ii
ABSTRAK	iii
KATA PENGANTAR	vii
DAFTAR ISI	ix
DAFTAR GAMBAR	xiii
DAFTAR TABEL	1
BAB I PENDAHULUAN	1
1.1 Latar Belakang	1
1.2 Rumusan Masalah	3
1.3 Tujuan.....	4
1.4 Batasan Masalah.....	4
1.5 Manfaat.....	4
BAB II TINJAUAN PUSTAKA	5
2.1 Umum	5
2.2 Tipe kabel	6
2.3 Sistem kabel	7
2.4 <i>Pylon</i> (tower).....	12
2.5 <i>Deck</i> (Lantai Jembatan)	12
2.5.1 Precast Segmental Box Girder	15
2.6 Metode Pelaksanaan	17
2.6.1 <i>Staging method</i>	18

2.6.2	Push out method	19
2.6.3	Cantilever Method	20
BAB III METODOLOGI.....		23
3.1	Diagram Alir Perencanaan Jembatan Kali Pepe.....	23
3.2	Pengumpulan Data dan Studi Literatur.....	24
3.3	Preliminary Desain	25
3.3.1	Susunan Kabel	25
3.3.2	Dimensi Kabel	26
3.3.3	Dimensi Struktur <i>Pylon</i>	29
3.3.4	Dimensi Struktur Gelagar.....	29
3.4	Perhitungan Gaya Prategang	29
3.5	Kehilangan Gaya Prategang	30
3.6	Pembebanan	35
3.7	Kontrol Stabilitas Aerodinamis	45
3.8	Desain angker.....	52
3.9	Metode Pelaksanaan.....	53
3.10	Permodelan dan Analisa Struktur	54
3.11	Menyusun Gambar Kerja	54
BAB IV ANALISA DAN PEMBAHASAN.....		55
4.1	Preliminary Desain	55
4.1.1	Data Perencanaan Modifikasi	55
4.1.2	Konfigurasi Susunan Kabel.....	55
4.1.3	Gelagar	57
4.1.4	Pylon	58

4.2	Perhitungan Struktur Sekunder	59
4.2.1	Tiang dan Pipa Sandaran.....	59
4.2.2	Kerb	65
4.2.3	Trotoar.....	67
4.3	Permodelan Dan Analisa Struktur	68
4.3.1	Dimensi Gelagar	68
4.3.2	Dimensi Kabel	69
4.3.3	Dimensi Pylon	77
4.3.4	Analisa Pembebanan.....	79
4.3.5	Permodelan.....	91
4.3.6	Analisa Struktur.....	92
4.4	Staging Analysis.....	95
4.4.1	Pembebanan Staging Analysis	95
4.4.2	Tahapan Staging Analysis.....	98
4.4.3	Tuning Kabel Awal.....	104
4.4.4	Hasil staging analysis	105
4.5	Struktur Kabel	108
4.5.1	Data Perencanaan.....	108
4.5.2	Gaya <i>Stressing</i> Kabel.....	109
4.5.3	Analisa Penampang Kabel dengan A_{aktual}	113
4.6	Gelagar.....	120
4.6.1	Tegangan ijin bahan beton	120
4.6.2	Propertis penampang gelagar.....	121
4.6.3	Analisa penampang gelagar.....	121

4.6.4	Kontrol Stabilitas Aerodinamis	164
4.7	Pylon.....	180
4.7.1	Penampang <i>pylon</i>	180
4.7.2	Analisa penampang <i>pylon</i>	181
4.7.3	Analisa angkur pada <i>pylon</i>	198
BAB V	PENUTUP	205
5.1	Ringkasan.....	205
5.2	Saran.....	206
DAFTAR PUSTAKA		207
BIODATA PENULIS		209
LAMPIRAN		

DAFTAR GAMBAR

Gambar 1. 1. Kondisi Eksisting Jembatan Kali Pepe.....	1
Gambar 1. 2. Desain modifikasi struktur jembatan Kali Pepe	2
Gambar 2. 1. Tipe kabel (Soegihardjo, 2007)	7
Gambar 2. 2. Harp pattern (pola kecapi).....	9
Gambar 2. 3. <i>Fan pattern</i> (pola kipas).....	9
Gambar 2. 4. Semi Harp pattern (pola setengah kecapi).....	9
Gambar 2. 5. Asymmetric pattern (pola tidak simetris)	9
Gambar 2. 6. pola sistem kabel dari sudut pandang 3dimensi.....	10
Gambar 2. 7. <i>Asymmetrical semi-harp with a supported</i>	11
Gambar 2. 8. Model <i>anchor block</i> dan gaya yang bekerja.....	11
Gambar 2. 9. Tipe bidang pylon (tiang)	12
Gambar 2. 10. Dek Kotak dari Baja dengan sistem	13
Gambar 2. 11. Dek Baja dengan sistem Balok Kembar,.....	13
Gambar 2. 12. Dek Komposit dengan Balok Kembar, Jembatan Indusrial Ring Road, Bangkok	14
Gambar 2. 13. Dek Kotak Puntir Beton, Jembatan Sunshine Skyway, USA	14
Gambar 2. 14. Dek Balok Beton Kembar,	15
Gambar 2. 15. Segmen Jembatan Box Girder	16
Gambar 2. 16. Prosedur pelaksanaan <i>Staging Method</i>	18
Gambar 2. 17. Prosedur pelaksanaan teknik Push-Out.	20
Gambar 2. 18. Metode pelaksanaan kantilever.....	21

Gambar 3. 1. Diagram Alir Perencanaan	23
Gambar 3. 2 Tinggi optimum pylon	26
Gambar 3. 3. Reaksi gaya kabel	27
Gambar 3. 4. Gaya pada kabel.....	28
Gambar 3. 5. Beban lajur “D”	36
Gambar 3. 6. Beban Truk.....	38
Gambar 3. 7. Faktor beban dinamis untuk beban “T”	38
Gambar 3. 8. Koefisien CN	48
Gambar 3. 9. Klasifikasi efek psikologis berdasarkan amplitudo (Walther, 1999)	49
Gambar 3. 10. Klasifikasi efek psikologis berdasarkan percepatan getaran (Walther, 1999)	50
Gambar 3. 11. Efek ayunan (Walther, 1999).....	50
Gambar 3. 12. Kecepatan kritis teoritis efek ayunan	51
Gambar 3. 13 Ilustrasi arah berlawanan dari urutan analisis dan pelaksanaan	54
Gambar 4. 1. Susunan kabel arah memanjang (satuan dalam meter)	55
Gambar 4. 2. Susunan kabel arah melintang (satuan dalam meter)	56
Gambar 4. 3. Dimensi gelagar box (satuan dalam meter)	58
Gambar 4. 4. Tiang sandaran (satuan dalam meter)	59
Gambar 4. 5. Profil sandaran (satuan dalam mm)	60

Gambar 4. 6. Penampang pipa sandaran	61
Gambar 4. 7. Sambungan las (satuan dalam mm)	63
Gambar 4. 8. Potongan trotoar dan kerb (satuan dalam mm)	65
Gambar 4. 9. Penampang melintang gelagar (satuan dalam meter)	69
Gambar 4. 10. Tatanan sistem kabel	70
Gambar 4. 11. Ilustrasi beban yang dipikul kabel	71
Gambar 4. 12. Dimensi Penampang Pylon (satuan dalam cm) ...	79
Gambar 4. 13. Grafik Response Spectrum MIDAS/Civil	85
Gambar 4. 14. Vibration mode shape pada mode 1 menunjukan lentur arah X	86
Gambar 4. 15. Vibration mode shape pada mode 2 menunjukan lentur arah Y	87
<i>Gambar 4. 16. Permodelan elemen jembatan</i>	91
Gambar 4. 17. Tampak memanjang dan melintang permodelan .	92
Gambar 4. 18. Contoh form traveler yang dipakai	96
Gambar 4. 19. Spesifikasi form traveler (dalam m).....	97
Gambar 4. 20. Permodelan dan input beban pada form traveler .	97
Gambar 4. 21. Hasil analisa reaksi pada form traveler (dalam ton)	98
Gambar 4. 22. Penomoran kabel dan gelagar	98
Gambar 4. 23 Cycle 1	99
Gambar 4. 24. Cycle 2	99
Gambar 4. 25. Cycle 3	99
Gambar 4. 26. Cycle 4	100

Gambar 4. 27. Cycle 5	100
Gambar 4. 28. Cycle 6	100
Gambar 4. 29. Cycle 7	101
Gambar 4. 30. Cycle 8	101
Gambar 4. 31. Cycle 9	101
Gambar 4. 32. Cycle 10	102
Gambar 4. 33. Cycle 11	102
Gambar 4. 34. Cycle 12	102
Gambar 4. 35. Cycle 13	103
Gambar 4. 36. Cycle 14	103
Gambar 4. 37. Cycle 15	103
Gambar 4. 38. Cycle 16	104
Gambar 4. 39. Tahap akhir <i>staging</i>	104
Gambar 4. 40. Hasil cable force tuning dengan beban mati.....	105
Gambar 4. 41. Penomoran elemen dek	105
Gambar 4. 42. Penomoran node dek	106
Gambar 4. 43. Tatanan sistem kabel.....	109
Gambar 4. 44. Hasil cable force tuning dengan beban mati.....	111
Gambar 4. 45. Detail angker VSL SSI 2000 yang digunakan...	116
Gambar 4. 46. Notasi dimensi angkur	116
Gambar 4. 47. Model penampang gelagar (dalam m).....	121
Gambar 4. 48. Posisi tendon atas (dalam m)	123
Gambar 4. 49. Posisi tendon bawah (dalam m)	125
Gambar 4. 50. Posisi kabel putus 1.....	134

Gambar 4. 51. Permodelan untuk penulangan memanjang box	143
Gambar 4. 52. Penulangan blok ujung atas (dalam m)	147
Gambar 4. 53. Penulangan blok ujung bawah (dalam m)	148
Gambar 4. 54. Periksa blok ujung bawah (dalam m)	149
Gambar 4. 55. Periksa blok ujung bawah (dalam m)	150
Gambar 4. 56. Permodelan untuk penulangan melintang box ...	151
Gambar 4. 57. Rencana shear-key joint (dalam m).....	154
Gambar 4. 58. Potongan A-A (dalam m)	154
Gambar 4. 59. Detail angker VSL SSI 2000 yang digunakan ...	157
Gambar 4. 60. Notasi dimensi angkur.....	158
Gambar 4. 61.Asumsi perletakan jembatan.....	161
Gambar 4. 62. Dimensi pot bearing	162
Gambar 4. 63. Jenis expansion joint yang digunakan	163
Gambar 4. 64. Detail expansion joint yang digunakan	163
Gambar 4. 65. mode frekwensi lentur (fB)	167
Gambar 4. 66. mode frekwensi torsi (fT).....	168
Gambar 4. 67. Macam penampang deck	172
Gambar 4. 68. Koefisien CN	172
Gambar 4. 69. Klasifikasi efek psikologis berdasarkan amplitudo (Walther, 1999).....	174
Gambar 4. 70. Klasifikasi efek psikologis berdasarkan percepatan getaran (Walther, 1999)	175
Gambar 4. 71. Efek ayunan dengan beda fase $\pi/2$	176
Gambar 4. 72. Grafik efek flutter $T_{bending}=1,26$ dan $T_{torsion}=0,53$	176

Gambar 4. 73. Kecepatan kritis teoritis untuk efek ayunan	178
Gambar 4. 74. Grafik koefisien koreksi	179
Gambar 4. 75. Dimensi Penampang Pylon (satuan dalam cm) .	181
Gambar 4. 76. Section properties penampang kolom	182
Gambar 4. 77. Hasil analisa kolom pada program bantu spColumn	186
Gambar 4. 78. Desain penulangan kolom	190
Gambar 4. 79. Section properties penampang lower cross beam	191
Gambar 4. 80. Hasil analisa lower cross beam pada program bantu spColumn.....	192
Gambar 4. 81. Desain penulangan lower cross beam	194
Gambar 4. 82. Section properties penampang upper cross beam	195
Gambar 4. 83. Hasil analisa upper cross beam pada program bantu spColumn.....	196
Gambar 4. 84. Desain penulangan upper cross beam	198
Gambar 4. 85. Detail angker VSL SSI 2000 yang digunakan...	199
Gambar 4. 86. Notasi dimensi angkur	200

DAFTAR TABEL

Tabel 3. 1. Nilai Koefisien Wobble dan koefisien kelengkungan	31
Tabel 3. 2. Nilai Koefisien Faktor Susut.....	33
Tabel 3. 3. Nilai Kre dan J	33
Tabel 3. 4. Nilai C.....	34
Tabel 3. 5. faktor beban untuk beban lajur “D”.....	37
Tabel 3. 6. Faktor beban untuk beban “T”	38
Tabel 3. 7. Faktor beban akibat susut dan rangkak.....	39
Tabel 3. 8. Faktor beban akibat pengaruh prategang	40
Tabel 3. 9. Nilai V ₀ dan Z ₀	42
Tabel 3. 10. Tekanan angin dasar	42
Tabel 3. 11. Komponen beban angin yang bekerja pada kendaraan	43
Tabel 4. 1. Jenis Kabel dan Anker	56
Tabel 4. 2. Luas trotoar terhadap beban nominal	67
Tabel 4. 3. Jenis Kabel dan Anker	69
Tabel 4. 4. Kebutuhan jumlah kabel	74
Tabel 4. 5. Nilai modulus elastisitas ekivalen kabel	76
Tabel 4. 6. Gaya Aksial pada Pylon.....	77
Tabel 4. 7. Sifat bahan rata-rata akibat pengaruh temperatur.....	82
Tabel 4. 8. Temperatur jembatan rata-rata nominal	82
Tabel 4. 9. Nilai V ₀ dan Z ₀	83

Tabel 4. 10. Tekanan angin dasar	84
Tabel 4. 11. Konfigurasi pembebahan LL.....	91
Tabel 4. 12. Periode struktur tiap mode shape	92
Tabel 4. 13. Modal Participation masses (%).....	93
Tabel 4. 14. Hasil output gaya dalam dek	93
Tabel 4. 15. Hasil output gaya dalam pylon.....	94
Tabel 4. 16. Hasil output gaya kabel.....	94
Tabel 4. 17. Konfigurasi pembebahan untuk staging analysis	95
Tabel 4. 18. Spesifikasi Form Traveler Tipe Overhead Triangle	96
Tabel 4. 19. Hasil output gaya dalam dek pada staging analysis	105
Tabel 4. 20. Hasil output displacement dek pada <i>staging analysis</i>	106
Tabel 4. 21. Hasil output gaya dalam pylon pada staging analysis	107
Tabel 4. 22. Hasil output gaya kabel pada staging analysis	107
Tabel 4. 23. Jenis Kabel dan Anker	108
Tabel 4. 24. Kebutuhan preliminary jumlah kabel	109
Tabel 4. 25. Gaya tarik awal kabel	111
Tabel 4. 26. Kebutuhan jumlah kabel akibat gaya tarik awal....	112
Tabel 4. 27. Gaya maksimum tiap kabel.....	112
Tabel 4. 28. Kebutuhan jumlah kabel akibat gaya tarik maksimum	113
Tabel 4. 29. Hasil analisa gaya tarik dari A_{aktual}	114
Tabel 4. 30. Kontrol kemampuan kabel dari A_s_{aktual}	115

Tabel 4. 31. Gaya tarik A_{aktual} pada blok angkur.....	116
Tabel 4. 32. Spesifikasi angker VSL SSI 2000 yang digunakan	117
Tabel 4. 33. Kontrol tegangan beton saat <i>stressing</i> pada kabel di blok angkur.....	118
Tabel 4. 34. Gaya tarik A_{aktual} pada gelagar	157
Tabel 4. 35. Spesifikasi angker VSL SSI 2000 yang digunakan	158
Tabel 4. 36. Kontrol tegangan beton saat <i>stressing</i> pada kabel di gelagar	159
Tabel 4. 37. Spesifikasi pot bearing.....	162
Tabel 4. 38. Dimensi dan spesifikasi expansion joint	164
Tabel 4. 39. nilai f_B dan f_T	169
Tabel 4. 40. Rekapitulasi nilai ϵ	177
Tabel 4. 41. Gaya tarik dari A_{aktual} pada <i>pylon</i>	199
Tabel 4. 42. Spesifikasi angker VSL SSI 2000 yang digunakan	200
Tabel 4. 43. Kontrol tegangan beton saat <i>stressing</i> pada kabel di <i>pylon</i>	202

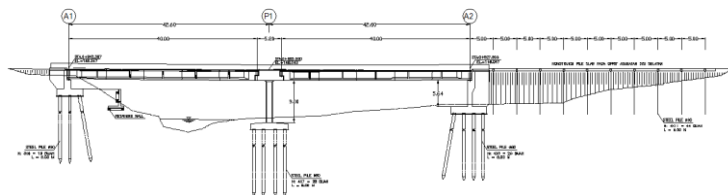
Halaman ini sengaja dikosongkan

BAB I

PENDAHULUAN

1.1 Latar Belakang

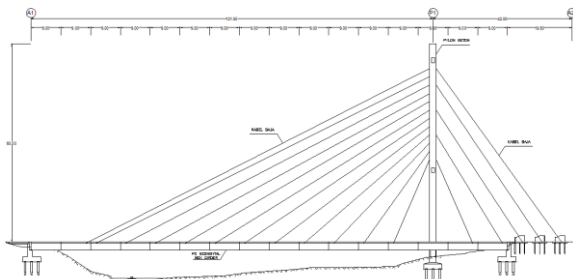
Jembatan Kali Pepe merupakan bagian dari proyek jalan bebas hambatan Solo-Kertosono yang melintasi sungai Pepe. Dimana jembatan yang masih dalam tahap penggerjaan ini di desain menggunakan konstruksi PC I girder. Bentang bersih jembatan ini sepanjang 85,2 m yang dibagi menjadi 2 bagian sama panjang dengan 3 pilar penopang serta memiliki lebar jembatan selebar 12 m. Selain itu terdapat konstruksi pile slab, untuk mencegah kelongsoran dari timbunan tinggi, di sisi selatan jembatan sepanjang 50 m dari abutment. Untuk lebih jelasnya lihat Gambar 1.1 berikut.



Gambar 1. 1. Kondisi Eksisting Jembatan Kali Pepe

Penggunaan gelagar beton prategang dengan pier di tengah menimbulkan kesan masif dan kokoh, namun kurang memiliki nilai estetika dan dapat mengurangi luas efektif penampang basah pada sungai. Maka sebaiknya perlu adanya modifikasi pada konstruksi jembatan.

Dalam tugas akhir ini jembatan Kali Pepe akan direncanakan ulang sebagai jembatan cable stayed asimetris dengan menggunakan *box girder* beton prestressed (*PC SB girder*) sesuai Gambar 1.2.



Gambar 1. 2. Desain modifikasi struktur jembatan Kali Pepe

Modifikasi ini dipilih karena jembatan *cable stayed* merupakan tipe jembatan bentang panjang dengan tingkat estetika tinggi yang didapat dari susunan pilar, kabel, dan dek jembatan (Yuskar dan Andi, 2005).

Namun juga mempertahankan kesan kokoh dari penggunaan *prestressed concrete segmental box girder* yang memiliki kekakuan torsional cukup untuk menahan momen lentur yang besar. Penggunaan tendon prategang sendiri cukup dipasang secara *partial* karena telah terdapat gaya tekan horizontal pada dek yang ditimbulkan tarikan dari kabel (Leonhardt, 1987). Salah satu tujuan lain penggunaan *prestressed concrete segmental box girder* adalah untuk mendapatkan dimensi yang sama dari gelagar sehingga lebih ekonomis untuk jembatan bentang panjang skala besar (Strasky ,1993).

Pemilihan bentuk asimetris sendiri pada modifikasi ini selain mengejar nilai estetika yang lebih tinggi daripada bentuk simetris, juga berdasarkan alasan teoritis berupa pengurangan gaya vertikal pada amgkur dengan cara mengurangi kelandaian kabel sehingga sudut optimum kabel yaitu 45° tercapai (Walther, 1999)

Perkembangan jembatan *cable stayed* sendiri dimulai sejak tahun 1950an ditandai dengan dibangunnya jembatan Stromsund, Swedia dengan bentang utama 182,6m. Sedangkan *cable stayed concrete bridge* pertama yaitu

jembatan Maracaibo dibangun pada 1962 (Gimsing, 1999). Jembatan Brotonne, Paris dengan bentang 320m pada tahun 1977 menjadi yang pertama menggunakan sistem *cable stayed prestressed concrete segmental box girder* yang dilanjutkan dengan jembatan Sunshine Skyway, Florida dengan bentang 360m pada tahun 1987 dan menjadi yang terpanjang di Amerika Utara (Muller, 2006). Dan di abad 21 ini, 7 dari 10 jembatan *cable stayed* terpanjang berada di Asia yaitu Cina dan Jepang (Gimsing, 1999).

Maka dengan adanya modifikasi ini diharapkan ruang bebas yang lebar untuk luas efektif penampang basah pada sungai dan nilai estetika yang tinggi dapat tercapai. Serta menjadi pemicu bagi kita untuk ke depannya dalam mendesain jembatan *cable stayed* di Indonesia.

1.2 Rumusan Masalah

Dari latar belakang di atas, permasalahan yang ditinjau dalam tugas akhir ini adalah

1. Bagaimana merencanakan modifikasi struktur jembatan Kali Pepe ini sebagai jembatan *cable stayed* asimetris dengan menggunakan *PC SB girder*
2. Bagaimana memodelkan modifikasi struktur jembatan Kali Pepe ini sebagai jembatan *cable stayed* asimetris dengan menggunakan *PC SB girder* dengan program bantu
3. Bagaimana mengontrol modifikasi struktur jembatan Kali Pepe ini sebagai jembatan *cable stayed* asimetris dengan menggunakan *PC SB girder*
4. Bagaimana menghasilkan laporan perhitungan struktur jembatan Kali Pepe ini sebagai jembatan *cable stayed* asimetris dengan menggunakan *PC SB girder*
5. Bagaimana menuangkan hasil desain tersebut ke dalam bentuk gambar teknik

1.3 Tujuan

Adapun tujuan dari penyusunan tugas akhir ini adalah

1. Merencanakan modifikasi struktur jembatan Kali Pepe ini sebagai jembatan *cable stayed* asimetris dengan menggunakan *PC SB girder*
2. Memodelkan modifikasi struktur jembatan Kali Pepe ini sebagai jembatan *cable stayed* asimetris dengan menggunakan *PC SB girder* dengan program bantu
3. Mengontrol modifikasi struktur jembatan Kali Pepe ini sebagai jembatan *cable stayed* asimetris dengan menggunakan *PC SB girder*
4. Menghasilkan laporan perhitungan struktur jembatan Kali Pepe ini sebagai jembatan *cable stayed* asimetris dengan menggunakan *PC SB girder*
5. Menghasilkan gambar teknik sesuai hasil desain

1.4 Batasan Masalah

Didasari adanya keterbatasan waktu dan kemampuan dalam menyusun tugas akhir ini, maka diberikan batasan-batasan sebagai berikut

1. Tidak meninjau analisa biaya konstruksi dan waktu pelaksanaan
2. Tidak meninjau aspek hidrologi sungai Pepe
3. Tidak merencanakan perkerasan dan drainase jalan
4. Tidak merencanakan struktur bawah

1.5 Manfaat

1. Sebagai referensi dalam mendesain jembatan *cable stayed* asimetris dengan menggunakan *prestressed concrete segmental box girder*
2. Sebagai bahan pertimbangan dalam mendesain jembatan bagi instansi terkait

BAB II

TINJAUAN PUSTAKA

2.1 Umum

Jembatan merupakan prasarana transportasi yang digunakan oleh manusia untuk melewati rintangan dan menuju ke suatu tempat di seberang rintangan tersebut. Manusia mulai menggunakan jembatan sejak zaman purba yaitu berupa jembatan alami seperti pohon tumbang yang melintasi rintangan (jembatan balok sederhana) (Ma'arif, 2012). Seiring dengan perkembangan zaman, teknologi struktur jembatan terus mengalami kemajuan yang pesat.

Pada abad ke-11 sampai dengan 16, jembatan pelengkung masih menjadi desain andalan. Baru kemudian pada tahun 1776 di Inggris untuk kali pertama jembatan besi dibangun, (Jembatan Coalbrookdale yang melintasi Sungai Severn) dengan desain yang berbeda berbentuk setengah lingkaran. Pada abad pertengahan ini jembatan besi yang dibangun pada umumnya masih menggunakan prinsip *arc bridge* (jembatan berbentuk lengkung)(Ma'arif, 2012). Kemudian pada abad ke-18 masuk pada era baru dalam perencanaan jembatan, yaitu era jembatan gantung. Jembatan jenis ini kali pertama diperkenalkan pada tahun 1825 di Inggris (Jembatan Menai Straits). Pada mulanya penggantung yang digunakan berupa rantai besi, kemudian mengalami perkembangan menjadi baja batangan, dan yang terbaru menggunakan *wire steel* (kabel baja). Penggunaan kabel baja ini digunakan pada *suspension bridge* (jembatan kabel suspensi), pertama kali diterapkan pada jembatan Brooklyn, New York, (1883), kemudian diikuti dengan Golden Gate, San Francisco (1937) (Ma'arif, 2012).

Di akhir abad ini banyak diterapkan sistem jembatan baru yang merupakan perkembangan dari *suspension bridge* yaitu *cable stayed bridge* (jembatan kabel tetap). Sistem ini menjadi sangat popular dalam desain jembatan karena efektif dan efisien, jembatan ini tergolong jembatan bentang menengah dan panjang, bangunan atas berupa balok elastis yang menerus yang didukung oleh kabel, yang terhubung dengan *pylon* (tiang). Sistem struktur dari jembatan ini terdiri dari tiga bagian utama yaitu, *deck* (lantai jembatan), tiang, dan kabel. Hubungan dari ketiga komponen tersebut menjadikan perilaku struktur dari jembatan *cable stayed* efektif untuk struktur bentang panjang dan sebagai penambah kesan *estetika* (keindahan).

2.2 Tipe kabel

Beberapa jenis kabel yang berbeda digunakan pada jembatan *cable stayed*, bentuk dan konfigurasinya tergantung pada susunannya. Dalam satu helai biasanya terdiri dari tujuh kawat, dengan diameter antara 3 sampai 7 mm. Kabel merupakan bagian yang paling penting dalam desain jembatan *cable stayed*, karena berfungsi menyalurkan beban mati dari struktur atas (lantai jembatan) menuju ke *pylon* (tiang) (Walther, 1999). Biasanya kabel yang digunakan berupa kabel prategang yang ditempatkan pada lantai jembatan. Kabel prategang dipilih guna mengurangi penyimpangan vertikal dari lantai jembatan dan penyimpangan lateral dari tiang.

Ada empat jenis kabel yang umum digunakan pada konstruksi jembatan *cable stayed*, antara lain (Soegihardjo, 2007) :

- *Parallel-bar cables* (kabel batang paralel)
- *Parallel-wire cables* (kabel kawat paralel)
- *Stranded cables* (kabel strand)
- *Locked-coil cables* (kabel terbungkus coil)

Type of cable					
Structure	Bars \varnothing 26·5, 32, 36 mm	Bars \varnothing 16 mm	Wires \varnothing 6, 7 mm	Strands \varnothing 0·5, 0·6, 0·7 in of 7 twisted wires	Wires with different profiles \varnothing 2·9–7 mm
0·2% proof stress, $\sigma_{0·2}$ (N/mm ²)	835 1080	1350	1470	1570 ~ 1670	—
Ultimate tensile strength, σ_u (N/mm ²)	1030 1230	1500	1670	1770 ~ 1870	1000 ~ 1300
Fatigue* $\Delta\sigma$ (N/mm ²) σ_{max}/σ_s	80 0·60	—	350 0·45	300 ~ 320 0·5 ~ 0·45	120 ~ 150 ~0·45
Modulus of elasticity, E (N/mm ²)	210 000	210 000	205 000	190 000 ~ 200 000	160 000 ~ 165 000
Failure load (kN)	7339	7624	7487	7634	7310

Gambar 2. 1. Tipe kabel (Soegihardjo, 2007)

2.3 Sistem kabel

Sistem jembatan *cable stayed* berdasarkan penempatan susunan kabelnya memiliki beberapa variasi. Susunan kabel merupakan pokok persoalan dalam desain jembatan *cable stayed*. Tidak hanya berefek pada kekuatan struktur jembatan tetapi juga metode pelaksanaan dan biaya. Susunan kabel dari jembatan *cable stayed* dari sudut pandang 2 dimensi dapat diklasifikasikan sebagai berikut :

1) *Harp pattern* (pola kecapi)

Pada pola susunan *harp* (kecapi), susunan kabelnya dibuat saling berdekatan dan sejajar dengan meletakannya pada titik yang berbeda pada tiang seperti pada Gambar 2.2, jika ditinjau dari parameter biaya, pola susunan *cable stayed* seperti ini tidak efisien untuk jembatan bentang panjang. Hal ini dikarenakan membutuhkan banyak baja untuk kabelnya, sehingga memberi tekanan lebih pada lantai jembatan, dan mengakibatkan momen lengkung pada tiang. Penyusunan kabel yang sejajar memberikan

penampilan yang menarik untuk susunan *harp* (kecapi) (Walther et al 1999).

2) *Fan pattern* (pola kipas)

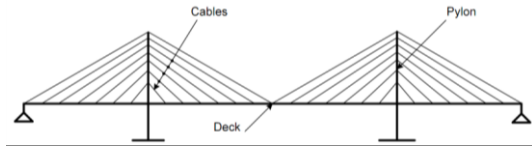
Ada beberapa literatur yang menyebut pola ini dengan pola *radial* (melingkar), namun disini disebut pola *fan* (kipas). Susunan pola ini, semua kabel dihubungkan pada satu titik di puncak tiang seperti pada Gambar 2.3. Secara relatif, tinggi kemiringan dari kabel menghasilkan potongan melintang yang lebih kecil dibandingkan dengan pola *harp* (kecapi). Selain itu, gaya horizontal kabel pada lantai jembatan pada susunan ini lebih kecil dari tipe *harp* (kecapi) (Walther et al., 1999).

3) *Semi harp pattern* (pola setengah kecapi)

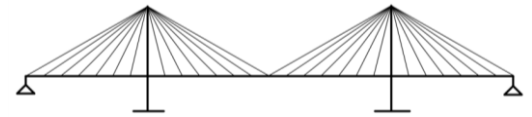
Beberapa jembatan *cable stayed* yang modern di dunia telah dibangun menggunakan pola *semi harp* guna efisiensi. Pola ini merupakan modifikasi dari pola *harp* dan *fan*. Seperti pada Gambar 2.4. pada susunan pola ini, kabel dihubungkan pada bagian atas tiang yang lebih tinggi dengan saling berdekatan (Walther et al., 1999).

4) *Asymmetric pattern* (pola tidak simetris)

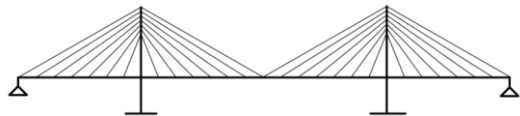
Akibat kondisi peta bumi dan jarak ruang memanjang seringkali mengharuskan untuk mendesain jembatan melewati rintangan dengan satu bentang, tanpa memungkinkan untuk menyeimbangkan struktur dengan bagian belakang yang menonjol Gambar 2.5. Pada kasus ini akan sangat membantu jika mengadopsi tali kekang dari jembatan tipe penggantung, dengan ciri pemusatan dari jangkar kabel. Pilihan dari landaian pada bagian belakang tali tergantung dari kondisi geologi dan geoteknikal (Walther et al., 1999).



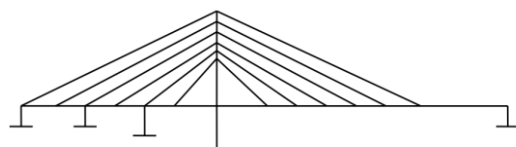
Gambar 2. 2. Harp pattern (pola kecapi)



Gambar 2. 3. Fan pattern (pola kipas)



Gambar 2. 4. Semi Harp pattern (pola setengah kecapi)



Gambar 2. 5. Asymmetric pattern (pola tidak simetris)

Sedangkan susunan kabel dari jembatan *cable stayed* dari sudut pandang 3 dimensi dapat diklasifikasikan sebagai berikut :

a) *Two vertical planes system*

Pola ini memiliki dua alternatif *layout* yaitu kabel diangkurkan di sisi terluar dari struktur dek atau dapat di letakkan di sisi dalam dari struktur dek (M.S. Troitsky,1988).

b) *Two inclined planes system*

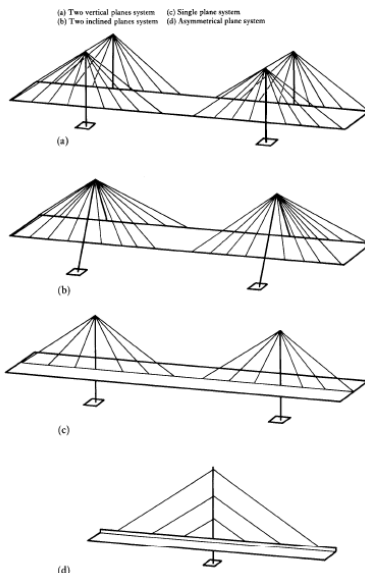
Sistem ini pertama kali digunakan pada jembatan Severin di Cologne, Jerman. Dimana semua kabel dari kedua sisi terluar dek mengarah pada titik diujung atas tower berbentuk A. (M.S. Troitsky, 1988).

c) *Single plane system*

Dalam pola ini kabel-kabel diletakan sepanjang arah longitudinal jembatan pada tengah bentang dari struktur dek sehingga hanya membutuhkan *single tower* (M.S. Troitsky, 1988).

d) *Asymmetric plane system*

Sistem ini hanya menggunakan salah satu sisi dari sisi terluar dek untuk meletakan kabel dan tower dari jembatan (M.S. Troitsky, 1988).

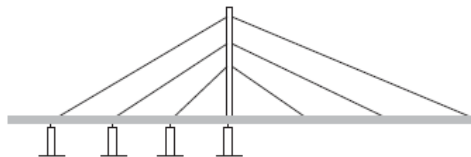


Gambar 2. 6. pola sistem kabel dari sudut pandang 3dimensi

2.3.1 Asymmetric semi-harp pattern

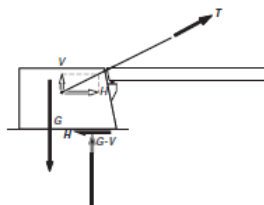
Sistem ini memiliki dua bentang yaitu *main span* dan *side span*. Dimana pada ujung *side span* terdapat *anchor block* guna menyeimbangkan *pylon* akibat tarikan kabel pada sisi *main span*. Pada sistem ini diharapkan dapat menggunakan penyangga sementara untuk mengatasi ketidakseimbangan beban mati saat pelaksanaan serta menjaga elevasi lantai kendaraan yang direncanakan.

Serta menggunakan *anchor block* dengan berat sendiri yang cukup besar untuk melawan komponen vertikal dari gaya kabel dan memberikan tekanan yang cukup pada pondasi untuk mencegah pergeseran akibat komponen horizontal dari gaya kabel. Untuk lebih jelasnya lihat gambar 2.7 dan 2.8.



Gambar 2. 7. Asymmetrical semi-harp with a supported side span

(Dikutip dari : Gimsing, Neils J., dan Christos T. Georgakis. 2012)

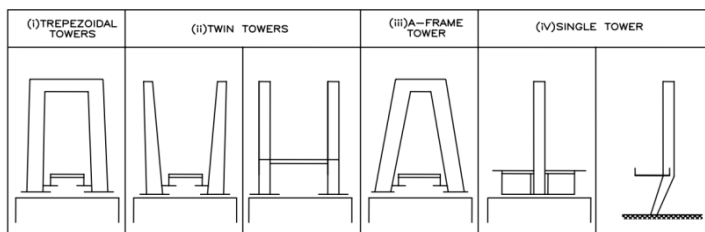


Gambar 2. 8. Model *anchor block* dan gaya yang bekerja

(Dikutip dari : Gimsing, Neils J., dan Christos T. Georgakis. 2012)

2.4 *Pylon (tower)*

Pylon (tower) jembatan *cable stayed* berfungsi untuk menahan beban mati dan hidup yang bekerja pada struktur. Tower dapat dibuat berongga maupun padat dari konstruksi baja maupun beton. Ada beberapa bentuk tower antara lain seperti, *single pylon* (tower tunggal), *twin pylon* (tower kembar), *A-Frame pylon* (tower berbentuk A), dan portal. Bentuk-bentuk tersebut dipilih berdasarkan susunan kabel.



Gambar 2. 9. Tipe bidang pylon (tiang)
(Dikutip dari : Troitsky, 1988)

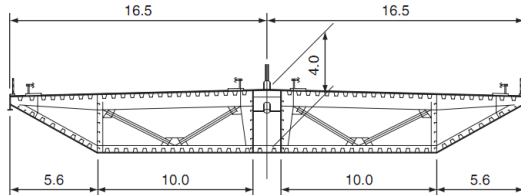
2.5 *Deck (Lantai Jembatan)*

Lantai jembatan merupakan jalan untuk kendaraan di permukaan jembatan *cable stayed*. Bahannya dapat terbuat dari material yang berbeda seperti baja, beton atau komposit baja-beton. Berat dari lantai jembatan mempunyai pengaruh yang signifikan pada kebutuhan kabel, tiang, dan pondasi. Berikut penjelasan lebih lanjut dari jenis lantai jembatan :

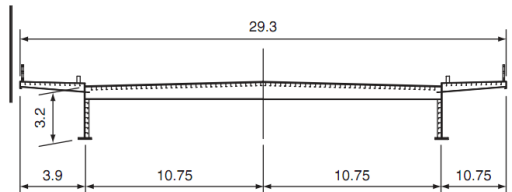
- 1) Lantai jembatan terbuat dari baja

Keunggulan dari lantai jembatan jenis ini adalah berat sendiri lantai yang tidak terlalu besar dibandingkan dengan yang terbuat dari beton. Hal ini memungkinkan untuk mendesain lantai jembatan lebih lebar untuk digunakan pada jembatan *cable stayed*

bentang panjang (Juvani, 2012). Untuk lebih jelasnya lihat Gambar 2.10 dan 2.11 berikut



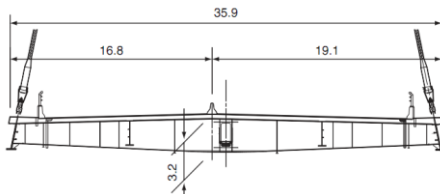
Gambar 2. 10. Dek Kotak dari Baja dengan sistem Multi-Cell Torsi, Jembatan Rama IX, Bangkok
(Dikutip dari : ICE Manual of Bridge Engineering, 2008)



Gambar 2. 11. Dek Baja dengan sistem Balok Kembar, Jembatan Knie, Jerman
(Dikutip dari : ICE Manual of Bridge Engineering, 2008)

2) Lantai jembatan terbuat dari komposit

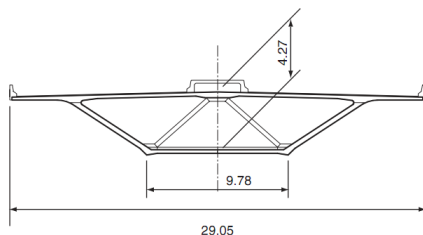
Lantai komposit merupakan struktur yang terdiri dari balok baja dan plat beton yang dikombinasikan. Pelat beton dapat dibuat secara *precast* maupun *cast in place* diatas elemen baja (balok baja). Berat sendiri dari lantai jembatan jenis ini lebih ringan jika dibandingkan dengan lantai jembatan yang terbuat dari beton. Elemen beton mempunyai pengaruh besar terhadap penambahan gaya normal pada lantai jembatan (Juvani, 2012). Untuk lebih jelasnya lihat Gambar 2.12 berikut :



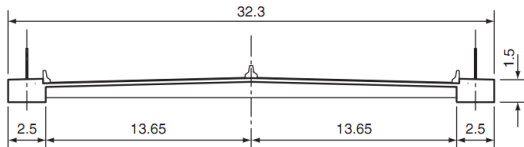
Gambar 2. 12. Dek Komposit dengan Balok Kembar, Jembatan Industri Ring Road, Bangkok
 (Dikutip dari : ICE Manual of Bridge Engineering, 2008)

3) Lantai jembatan terbuat dari beton

Lantai jembatan jenis ini dapat dibuat secara *precast* maupun *cast in place*, dikarenakan berat sendiri yang cukup besar lantai jenis ini cocok untuk bentang menengah dan panjang. Lantai ini dapat berupa beton bertulang maupun beton prategang. Biaya yang dikeluarkan untuk pembuatan lantai jembatan jenis ini tergolong murah, namun berat sendiri pada lantai jembatan mengakibatkan adanya tambahan beban mati pada jembatan. Hal ini menjadikan perlu untuk memperbesar dimensi dari kabel, tiang, dan pengangkeran pada struktur jembatan (Juvani, 2012). Untuk lebih jelasnya lihat Gambar 2.13 dan 2.14 berikut :



Gambar 2. 13. Dek Kotak Puntir Beton, Jembatan Sunshine Skyway, USA
 (Dikutip dari : ICE Manual of Bridge Engineering, 2008)



Gambar 2. 14. Dek Balok Beton Kembar,
Jembatan Dames Point, USA

(Dikutip dari : ICE Manual of Bridge Engineering, 2008)

2.5.1 Precast Segmental Box Girder

Jembatan dengan *deck* berupa *box girder* adalah salah satu pilihan tipe jembatan yang dapat menampung bentang panjang, jembatan dengan tipe ini dapat menampung bentang antara 25 m – 300 m (Benaim, 2008). Sedangkan konstruksi segmental didefinisikan sebagai metode dimana beban utama yang mendukung anggota dengan cara ditekan bersamaan (Walter dan Muller, 1982).

Pemilihan tipe *box girder* sebagai konstruksi segmental dikarenakan memiliki beberapa keuntungan dibandingkan bentuk lain. Bentuk kotak memiliki efisiensi *structural* tinggi yang dapat meminimalkan gaya *prestress* yang dibutuhkan untuk menahan momen lentur yang diberikan dan kekuatan puntir yang besar dengan kembali pusat beban hidup eksentrik, meminimalkan prategang yang diperlukan (Benaim, 2008).

A. Bentuk Jembatan

Jembatan *precast segmental box girder* memiliki beberapa bentuk sebagai tampak memanjang. Bentuk memanjang dibagi atas tampak yaitu (Walter dan Muller, 1982) :

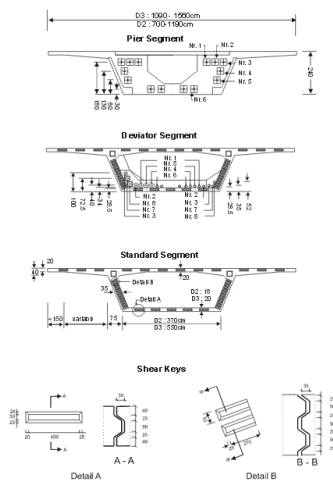
- a) *Constant depth*

- b) *Semiconstant depth*
 - c) *Straight haunches*
 - d) *Variable depth*

Jembatan segmental dibangun seperti struktur bentang tunggal untuk menghindari sambungan kabel *post tension*. Adanya eksternal *post tension* maka diperlukan tiga macam segmen yang berbeda, yaitu :

- a) *Pier segment*, bagian ini terletak di atas abutment dan memerlukan diafragma yang kokoh untuk dapat memperkuat *box girder* serta sebagai bidang pengangkuran dari tendon pratekan.
 - b) *Deviator segment*, bagian ini dibutuhkan untuk pengaturan deviasi tendon.
 - c) *Standart segment*, bagian yang memiliki dimensi standar dari *box girder* yang digunakan.

Untuk lebih jelasnya lihat Gambar 2.15 di bawah ini



Gambar 2. 15. Segmen Jembatan Box Girder
(Dikutip dari : Jurnal Profesor Dr.-Ing. G. Rombach,2002)

B. Dimensi Penampang

Dalam penentuan dimensi *box girder* ada tiga kondisi yang menentukan pada ketebalan badan *box girder* yaitu (Walter dan Muller, 1982) :

- a) Gaya geser dan momen torsi harus tetap pada batas limit yang diperbolehkan.
- b) Beton harus dipasang dengan benar, terutama dimana tendon yang di badan akan diletakkan.
- c) Angkur tendon ketika berada pada badan harus mendistribusikan beban pratekan yang tinggi yang terkonsentrasi pada angkur.

Pada penentuan ketebalan minimal *slab* atau sayap atas direkomendasikan tidak kurang dari 175 mm untuk menanggulangi kemungkinan fleksibilitas yang cukup pada penempatan tendon (Walter dan Muller, 1982).

C. Desain Tendon

Tendon pada jembatan *box girder* memiliki peranan utama sebagai penopang setiap segmen dalam jembatan. Tendon diklasifikasikan menjadi dua macam dalam buku *Prestressed Concrete Segmental Bridge*, yaitu :

- a) *Cantilever* tendon, terletak pada area momen negatif yang di *jacking* tiap segmen nya.
- b) *Continuity* tendon, bekerja untuk menyediakan gaya *prestressing* di area momen positif.

2.6 Metode Pelaksanaan

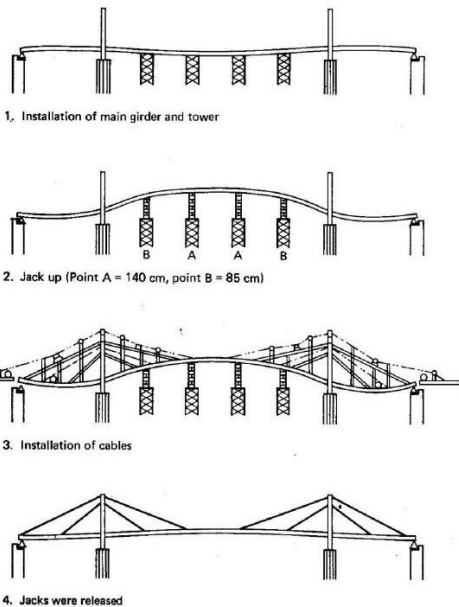
Ada tiga cara yang umum dipakai untuk *stiffening girder* (Soegihardjo, 2007), yaitu :

1. *Staging method*,

2. *Push out method,*
3. *Cantilever method.*

2.6.1 *Staging method*

Metode staging biasanya digunakan pada lokasi jembatan dengan lalu lintas yang tidak terlalu padat dan tinggi bebasnya memungkinkan untuk pemasangan menggunakan perancah. Pada metode ini setiap segmen jembatan dicor dengan menggunakan bekisting yang ditahan oleh perancah. Kabel dapat dipasang pada saat pengecoran beton atau pengelasan baja (tergantung material gelagar utama) dan di *jacking* setelah konstruksi gelagar utama selesai.



Gambar 2. 16. Prosedur pelaksanaan *Staging Method*
. (Soegihardjo, 2007)

Urutan pelaksanaannya menggunakan *staging method* adalah :

1. Setelah tembok pangkal dan pilar selesai dibuat, mulai dibuat pilar penolong sementara.
2. Gelagar dipasang dengan sistem *cantilevering*, sampai pada pilar penolong.
3. Pada saat itu pilar penolong berikutnya sudah selesai dan gelagar dapat dipasang terus sampai pada pilar penolong kedua.
4. dan seterusnya, sampai keseberang.
5. Berat tiap bagian gelagar dapat mencapai : 27,5 ton ; dengan panjang : 20m.
6. *Pylon* diselesaikan pemasangannya.
7. Kabel – kabel dipasang .
8. Pada pilar penolong dapat dipasang *jack*, untuk memberi bentuk geometrik yang ditentukan, pada tahap *erection*.

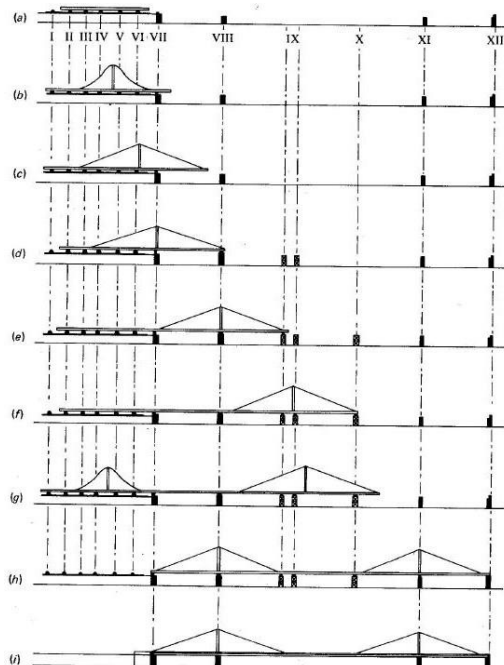
2.6.2 Push out method

Dipakai terutama bila lalulintas di bawah jembatan tidak boleh diganggu oleh adanya sistem *erection* jembatan; sedangkan pemakaian cara *cantilever* dinilai tidak praktis pada situasi yang ada di tempat jembatan.

Pada metode ini, bagian-bagian bangunan atas dirangkai di tepian sungai, kemudian secara bertahap didorong maju melintas bentangan-bentangan antara pilar-pilar yang telah dibuat lebih dahulu, termasuk rol atau perletakan geser teflon diatasnya. Gelagar ini dapat didorong dari dua sisi, masing-masing tepian, atau hanya dari satu tepian saja.

Pylon (dengan kabelnya) saat didorong maju, duduk diatas gelagar; setelah sampai ke tempat *pylon* yang direncanakan, *pylon* dihubungkan dengan pilarnya. Berat

yang dapat didorong kedepan mencapai 1500 ton. Untuk lebih jelasnya lihat Gambar 2.17.

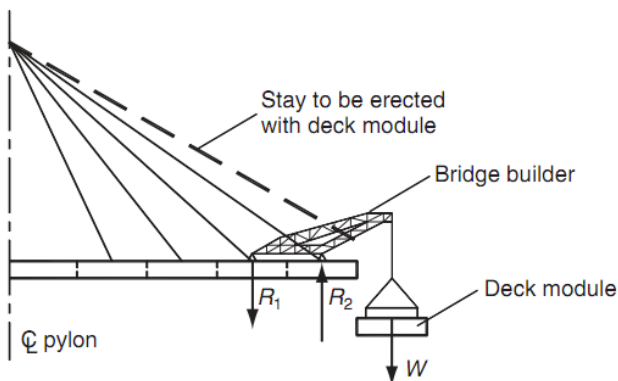


Gambar 2. 17. Prosedur pelaksanaan teknik Push-Out.
(Soegihardjo, 2007)

2.6.3 Cantilever Method

Pelaksanaan menggunakan metode kantilever biasanya digunakan untuk struktur jembatan dengan material beton atau baja dengan tinggi bebas yang besar sehingga kurang memungkinkan untuk penggunaan perancah. Untuk jembatan dengan gelagar utama dari material beton urutan pekerjaan dimulai dengan pemasangan *traveler* pada bagian abutmen, pemasangan bekisting, pemasangan ducting kabel pada gelagar utama,

pengecoran gelagar utama, pemasangan kabel dan dilanjutkan *jacking* kabel, kemudian *launching traveler*. Proses tersebut dilangi hingga kedua sisi jembatan bertemu di tengah sedangkan untuk jembatan dengan gelagar utama dari material baja pelaksanaannya hampir sama hanya pada proses pemasangan bekisting diganti menjadi pemasangan profil dilanjutkan dengan pengelasan atau penyambungan dengan segmen sebelumnya, serta tidak ada proses pengecoran.



Gambar 2. 18. Metode pelaksanaan kantilever
(Parke and Huson, 2008).

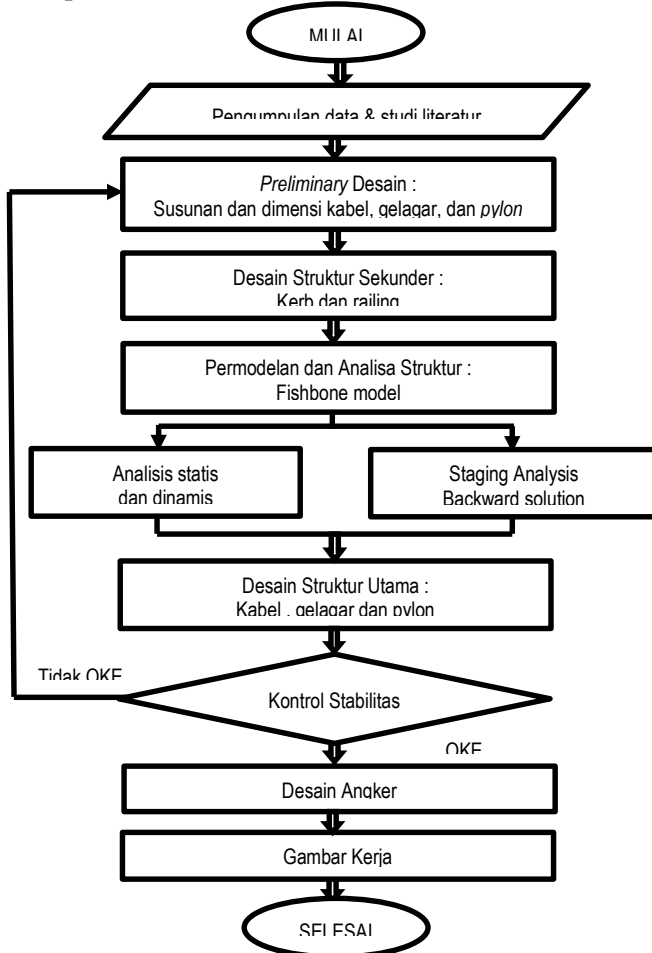
Halaman ini sengaja dikosongkan

BAB III

METODOLOGI

3.1 Diagram Alir Perencanaan Jembatan Kali Pepe

Berikut adalah diagram alir perencanaan Jembatan Kali Pepe



Gambar 3. 1. Diagram Alir Perencanaan

3.2 Pengumpulan Data dan Studi Literatur

Dalam studi literatur penulis menggunakan beberapa referensi terkait, berupa jurnal, modul kuliah, buku, peraturan, maupun artikel di internet. Untuk lebih jelasnya berikut rinciannya :

Data perencanaan yang didapatkan antara lain :

1. Nama dan lokasi : Jembatan Kali Pepe Solo-Kertosono
2. Bentang pada kondisi *existing*: 80 m (2@40 m)
3. Lebar pada kondisi *existing*: 12 m
4. Jumlah abutment *existing*: 2 buah
5. Jumlah pilar *existing*: 1 buah
6. Jenis pondasi *existing*: tiang pancang baja Ø 60

Literatur yang digunakan :

1. E-Book - *Cable Supported Bridges Concept and Design, Third Edition* (2012) - Niels J. Gimsing, Christos T. Georgakis(auth.)
2. E-Book - *Cable Stayed Bridges*-Thomas Telford Publishing (1999) - Rene Walther B. Houriet W. Isler P.Mota
3. E-Book - *Cable-Stayed Bridges Theory and Design* 2nd Edition(1988)- M. S. Troitsky
4. E-Book - *Cable Supported Bridges Concept and Design* (1983) - Niels J. Gimsing
5. PCI Bridge Design Manual
6. AASHTO 2012

Sedangkan peraturan-peraturan yang digunakan adalah sebagai berikut:

1. SNI 1725-2016 tentang “Pembebaan untuk Jembatan”.

2. Peraturan Kementerian Pekerjaan Umum Nomor 08/SE/M/2015 tentang “Perencanaan Jembatan Berji Kabel”.
3. SNI T-12-2004 tentang “Perencanaan Struktur Beton untuk Jembatan”

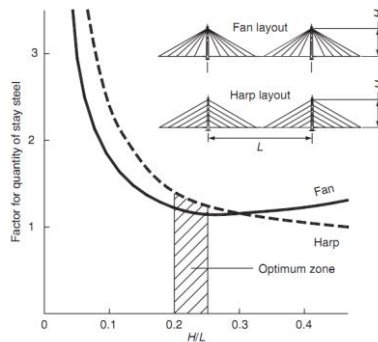
3.3 Preliminary Desain

3.3.1 Susunan Kabel

Susunan kabel untuk arah melintang berupa *double plane system*, sedangkan untuk susunan arah memanjang berupa *semi-harp pattern* yang merupakan pengembangan dari *fan pattern* dan *harp pattern*.

Susunan ini lebih menguntungkan karena desain *pylon* menjadi tidak terlalu tinggi dan juga pemasangan kabel pada *pylon* tidak serumit sistem *fan* karena terdapat ruang yang cukup untuk pengangkeran dengan jarak antara 1,5m – 2,5m (Parke and Hewson, 2008). Berikut penjelasan untuk desain :

- Jarak kabel pada gelagar :
Jika berupa gelagar baja maka jaraknya (15m s.d. 25m) (Walther dkk, 1999)
Jika berupa gelagar beton maka jaraknya (5m s.d. 10m) (Walther dkk, 1999)
- Tinggi *Pylon* (h)
Perencanaan untuk tinggi *pylon* dapat dilakukan dengan membandingkan antara tinggi rencana (H) dengan panjang bentang *deck* (L) dengan range nilai 0,2 – 0,25 (Parke and Hewson, 2008), lihat Gambar 3.2.



Gambar 3. 2 Tinggi optimum pylon

3.3.2 Dimensi Kabel

Kabel digunakan dalam satu helai terdiri dari 7 kawat, untuk dimensi awal kabel dapat diperkirakan menggunakan persamaan berikut :

$$N_{g,i} = R_{g,i} / \sin \alpha_i$$

dengan pengertian :

$N_{g,i}$: gaya kabel utama

$R_{g,i}$: reaksi perletakan bentang sederhana akibat berat sendiri dan beban tetap

α_i : sudut kemiringan kabel terhadap sumbu memanjang jembatan

$$\sigma_g = \sigma_{ijin} [g / (g+q)]$$

dengan pengertian :

σ_g : tegangan ijin kabel akibat berat sendiri dan beban tetap

g : berat sendiri dan beban tetap

q : beban hidup merata

σ_{ijin} : tegangan ijin kabel akibat beban total = 0,45
 $\sigma_{putus\ kabel}$

$$A_i = \alpha N_{g,i} / \sigma_g$$

dengan pengertian :

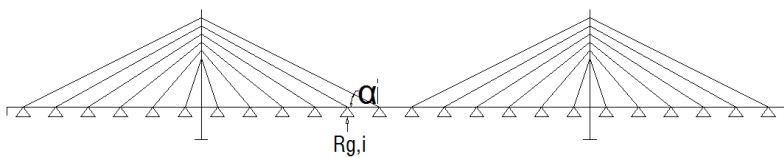
A_i : luas kabel utama

α : fraksi beban yang dipikul oleh kabel ($0 < \alpha < 1$),
 1 bila kabel sangat kaku,

0 bila gelagar sangat kaku

$N_{g,i}$: gaya kabel utama

Ilustrasinya ditunjukkan pada Gambar 3.3 berikut.



Gambar 3. 3. Reaksi gaya kabel

Alternatif lain *preliminary* gaya pada kabel dapat ditentukan melalui persamaan berikut.

$$P_{mi} = (W_{DL} + W_{LL}) / \sin\alpha$$

$$F_h = (W_{DL} + W_{LL}) / \tan\alpha$$

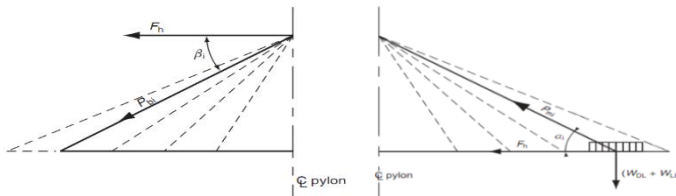
$$P_{bi} = F_h / \cos\beta_1$$

$$P_{mod} = p + q(z - z_a)$$

$$q = \text{berat linier dari kabel}$$

$$(z - z_a) = \text{beda elevasi dari angker}$$

Ilustrasi ditunjukkan pada Gambar 3.4.



Gambar 3. 4. Gaya pada kabel
(Parke and Hewson, 2008)

Analisa jembatan *cable stayed* didasarkan pada analisa elastisitas baja. Asumsi awal yang digunakan adalah ketika menerima beban mati kabel tetap akan terlihat melengkung, oleh karena lengkungan akibat beban mati modulus elastis efektif (E_{eff}) mempunyai nilai yang lebih kecil dari modulus elastic kabel baja (E_0). Jika kabel disimulasikan sebagai elemen sebenarnya dalam komputer maka akan didapat nilai $(E_{eff}) < (E_0)$, hal ini seharusnya digunakan terutama untuk kondisi kabel dengan bentang yang sangat panjang. Nilai (E_{eff}) selain dipengaruhi oleh panjang dan gaya juga oleh berat sendiri kabel. Modulus elastis efektif dapat direncanakan dengan formula berikut (Walther dkk, 1999).

$$E_{eff} = E_0 \frac{1}{1 + \frac{\gamma^2 L_h^2 E_0}{12\sigma^3}}$$

Dimana :

E_{eff} : efektif modulus elastis (N/mm^2)

E_0 : modulus elastis dari material kabel tetap (N/mm^2)

γ : berat jenis dari material kabel (N/mm^3)

L_h : panjang kabel yang direncanakan (jarak titik gantung kabel) (mm)

σ : tegangan tarik dalam kabel (N/mm^2)

3.3.3 Dimensi Struktur *Pylon*

Dimensi struktur *pylon* dapat dihitung dengan persamaan berikut $A_{perlu} = \Sigma P_m/f_c'$

3.3.4 Dimensi Struktur Gelagar

A. Tafsiran tinggi gelagar box

Berdasarkan (AASHTO,2012) rasio bentang dengan tinggi yang efisien untuk bentang menerus dapat digunakan:

$$h = 0,04L$$

B. Ketebalan minimum *web* gelagar box

-300 mm jika terdapat saluran untuk penempatan *post tensioning* tendon di badan box
 -350 mm jika terdapat angker tendon yang ditempatkan di badan box

C. Ketebalan minimum *top flens* gelagar box

-175 mm untuk lebar antar badan box < 3 m
 -200 mm untuk lebar antar badan box $3\text{ m} - 4,5$ m
 -250 mm untuk lebar antar badan box $4,5\text{ m} - 7,5$ m

3.4 Perhitungan Gaya Prategang

Berdasarkan SNI T-12-2004 kuat tekan beton yang direncanakan pada umur saat dilakukan transfer ($f'ci$), dinyatakan dalam satuan MPa adalah

$$f'ci = 0,65 f'c$$

A. Tegangan ijin beton saat penyaluran gaya prategang

- Tegangan tekan, $\sigma_{ci} = 0,6 f'ci$

- Tegangan tarik, $\sigma_{ti} = 0,25\sqrt{f'ci}$
- B. Tegangan ijin beton sesaat setelah kehilangan gaya prategang
 - Tegangan tekan, $\sigma_{ci} = 0,45 f'ci$
 - Tegangan tarik, $\sigma_{ti} = 0,5\sqrt{f'ci}$
- C. Merencanakan gaya prategang
 - $\sigma_{ci} = -\frac{F_o}{A} - \frac{F_o \cdot e \cdot y}{I} + \frac{M \cdot y}{I}$
 - $\sigma_{ti} = -\frac{F_o}{A} + \frac{F_o \cdot e \cdot y}{I} - \frac{M \cdot y}{I}$

3.5 Kehilangan Gaya Prategang

Kehilangan gaya prategang disebabkan oleh beberapa faktor, antara lain (Lin dan Burn, 1996) :

- A. Kehilangan langsung (*Immediately Loss*), yaitu kehilangan gaya prategang yang terjadi setelah peralihan gaya prategang yang meliputi :
 - a. Kehilangan prategang akibat perpendekan elastis

$$ES = K_{ES} \cdot E_s \cdot \frac{f_{cir}}{E_{ci}}$$

Dimana, f_{cir} = tegangan beton akibat gaya prategang efektif segera setelah gaya prategang diberikan

E_s = modulus elastisitas tendon prategang

E_{ci} = modulus elastisitas beton

$K_{ES} = 1,0$ untuk struktur pratarik dan $0,5$ untuk struktur pasca Tarik

- b. Kehilangan prategang akibat gesekan kabel

$$\frac{F2 - F1}{F1} = -K \cdot L - \mu \cdot \alpha$$

dimana, $F1$ = tegangan tarik satuan pada ujung pendongkrakan

$F2$ = tegangan tarik satuan pada jarak L

K = koefisien Wobble

μ = koefisien kelengkungan

α = sudut kelengkungan

L = panjang sampai titik yang ditinjau

Tabel 3. 1. Nilai Koefisien Wobble dan koefisien kelengkungan

TIPE TENDON	K tiap meter	μ
Tendon dengan selubung logam flexible		
-tendon kawat	0,0033-0,0049	0,15-0,25
-strand dengan uantaian 7 kawat	0,0016-0,0066	0,15-0,25
-baja mutu tinggi	0,0003-0,002	0,08-0,3
Tendon pada selubung logam kaku		
-strand dengan uantaian 7 kawat	0,0007	0,15-0,25
Tendon yang diminyaki terlebih dahulu		
-tendon kawat / strand dengan uantaian 7 kawat	0,001-0,0066	0,05-0,15
Tendon yang diberi lapisan mastic		
-tendon kawat / strand dengan uantaian 7 kawat	0,0033-0,0066	0,05-0,15

- c. Kehilangan prategang akibat slip angkur

$$ANC = \Delta_{fs} = \frac{\Delta_\alpha \cdot E_s}{L}$$

dimana, Δ_α = deformasi pengangkuran

E_s = modulus elastisitas angkur

L = panjang total kabel

- B. Kehilangan tak langsung (*Time Dependent Loss*), yaitu kehilangan gaya prategang yang bergantung pada fungsi waktu yang meliputi :

- a. Kehilangan prategang akibat rangkak beton (*creep*)

$$CR = K_{cr} \cdot \frac{E_s}{E_c} \cdot (f_{cir} - f_{cds})$$

dimana, K_{cr} = 2,0 untuk struktur pratarik dan 1,6 untuk struktur pasca tarik

f_{cds} = tegangan beton pada titik berat tendon akibat seluruh beban mati yang bekerja pada komponen struktur setelah diberi gaya prategang

f_{cir} = tegangan beton akibat gaya prategang efektif segera setelah gaya prategang diberikan

E_c = modulus elastisitas beton

E_s = modulus elastisitas tendon prategang

- b. Kehilangan prategang akibat susut beton (*shrinkage*)

$$SH = 8,2 \cdot 10^{-6} \cdot K_{sh} \cdot E_s \cdot (1 - 0,06 \cdot \frac{V}{S}) \cdot (100 - RH)$$

dimana, K_{sh} = koefisien faktor susut

V = volume beton

S = luas selimut yang berhubungan dengan udara

RH = kelembaban udara

E_s = modulus elastisitas tendon prategang

Tabel 3. 2. Nilai Koefisien Faktor Susut

waktu setelah perawatan s/d penerapan prategang (hari)	1	2	3	5	7	10	20	30	60
Ksh	0,92	0,85	0,80	0,77	0,73	0,64	0,58	0,45	

- c. Kehilangan prategang akibat relaksasi baja (*relaxation*)

$$RE = [K_{re} - J \cdot (SH + CR + ES)] \cdot C$$

dimana, K_{re} , J , dan C berdasarkan tabel berikut

Tabel 3. 3. Nilai Kre dan J

Tipe Tendon	Kre	J
Strand / kawat stress relieved derajat 1860Mpa	138	0,15
Strand / kawat stress relieved derajat 1720Mpa	128	0,14
Kawat stress relieved derajat 1655Mpa atau 1620Mpa	121	0,13
Strand relaksasi rendah derajat 1860Mpa	35	0,04
Kawat relaksasi rendah derajat 1720Mpa	32	0,037
Kawat relaksasi rendah derajat 1655Mpa atau 1620Mpa	30	0,035
Batang stress relieved derajat 1000Mpa atau 1100Mpa	41	0,05

Tabel 3. 4. Nilai C

Fpi/fpu	Strand/kawat stress relieved	Batang stress relieved atau strand/ kawat relaksasi rendah
0,8	-	1,28
0,79	-	1,22
0,78	-	1,16
0,77	-	1,11
0,76	-	1,05
0,75	1,45	1,00
0,74	1,36	0,95
0,73	1,27	0,90
0,72	1,18	0,85
0,71	1,09	0,80
0,70	1	0,75
0,69	0,94	0,70
0,68	0,89	0,66
0,67	0,83	0,61
0,66	0,78	0,57
0,65	0,73	0,53
0,64	0,68	0,49
0,63	0,63	0,45

F _{pi} /f _{pu}	Strand/kawat stress relieved	Batang stress relieved atau strand/ kawat relaksasi rendah
0,62	0,58	0,41
0,61	0,53	0,37
0,60	0,49	0,33

3.6 Pembebaan

Analisis jembatan *cable stayed* terdiri dari analisis statik dan dinamik, hal ini dimaksudkan untuk menentukan variasi gaya pada elemen pendukung beban (gelagar, *pylon*, dan kabel), sedangkan analisis dinamis digunakan untuk menentukan kestabilan struktur.

3.6.1 Menentukan Pembebaan Statis

Beban statis terdiri dari :

1. Beban tetap
 - a) Berat sendiri

Berat sendiri merupakan berat elemen bahan dari struktur, ditambah dengan elemen bahan non struktural yang dianggap tetap. Berikut merupakan berat isi dan kerapatan massa untuk berat sendiri dari beberapa bahan menurut **SNI 1725-2016 Pasal 7.1 tabel 2**.

Sedangkan faktor beban untuk berat sendiri dari beberapa bahan mengacu **SNI 1725-2016 Pasal 7.2 tabel 3**.

- b) Beban mati tambahan

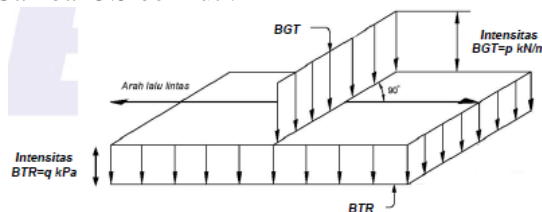
Beban mati tambahan merupakan berat seluruh bahan yang membentuk suatu beban pada struktur yang merupakan elemen non struktural,

dan besarnya dapat berubah seiring dengan bertambahnya umur struktur. Faktor beban untuk beban mati tambahan mengacu pada **SNI 1725-2016 Pasal 7.3 tabel 4.**

2. Beban Lalu lintas

a) Beban lajur “D”

Beban lajur “D” menurut **SNI 1725-2016 Pasal 8.3** terdiri dari beban tersebar merata (UDL) yang digabung dengan beban garis (KEL), lihat Gambar 3.5 berikut :



Gambar 3. 5. Beban lajur “D”

Beban terbagi rata (UDL) mempunyai intensitas q kPa, dengan besarnya q tergantung pada panjang total :

$$L \leq 30\text{m} : q = 9.0 \text{ kPa}$$

$$L \geq 30\text{m} : q = 9.0 (0.5 + 15/L) \text{ kPa}$$

Panjang yang dibebankan L adalah panjang total UDL yang bekerja pada jembatan. Beban garis (KEL) dengan intensitas p KN/m harus ditempatkan tegak lurus arah lalu-lintas pada jembatan. Besarnya intensitas p adalah 49.0 KN/m.

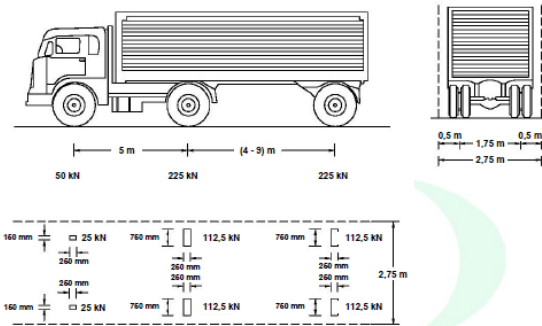
Tabel 3. 5. faktor beban untuk beban lajur “D”

Tipe beban	jembatan	Faktor beban	
		Keadaan batas layan	Keadaan ultimit
Transien	beton	1,00	1,80
	Box girder baja	1,00	2,00

b) Beban truk “T”

Pembebanan truk “T” menurut **SNI 1725-2016 Pasal 8.4** terdiri dari kendaraan truk semi trailer yang mempunyai susunan dan berat as seperti pada Gambar 3.6.

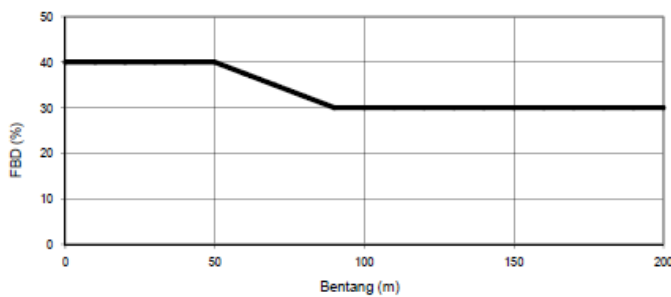
Berat sendiri dari masing-masing as disebar menjadi dua beban merata sama besar yang merupakan bidang kontak antara roda dengan permukaan lantai . jarak antara dua as tersebut antara 4.0 m sampai dengan 9.0m, hal ini dikarenakan untuk mendapatkan pengaruh terbesar pada arah memanjang jembatan. Kendaraan truk “T” ini harus ditempatkan di tengah-tengah lajur lalu lintas rencana.



Gambar 3. 6. Beban Truk

Tabel 3. 6. Faktor beban untuk beban “T”

Tipe beban	jembatan	Faktor beban	
		Keadaan batas layan	Keadaan ultimit
Transien	beton	1,00	1,80
	Box girder baja	1,00	2,00



Gambar 3. 7. Faktor beban dinamis untuk beban “T”

3. Beban lingkungan

Beban lingkungan dapat terjadi karena pengaruh temperatur, angin, banjir, gempa, dan penyebab alamiah lainnya.

a) Pengaruh susut dan rangkak

Pengaruh ini menurut **SNI 1725-2016 Pasal 9.3.2** dihitung menggunakan beban mati jembatan. Apabila rangkak dan penyusutan bisa mengurangi pengaruh muatan lainnya, maka nilai dari rangkak dan penyusutan tersebut harus diambil minimum (misalnya pada waktu transfer dari beton prategang).

Tabel 3. 7. Faktor beban akibat susut dan rangkak

Tipe beban	Faktor beban	
	Keadaan batas layan	Keadaan ultimit
Tetap	1,0	0,5

b) Pengaruh prategang

Menurut **SNI 1725-2016 Pasal 9.3.3** prategang akan menyebabkan pengaruh sekunder pada komponen-komponen yang terkekang pada bangunan statis tidak tentu. Pengaruh sekunder tersebut harus diperhitungkan baik pada batas daya layan ataupun batas ultimit. Prategang harus diperhitungkan sebelum (selama pelaksanaan) dan sesudah kehilangan tegangan dalam kombinasinya dengan beban-beban lainnya.

Tabel 3. 8. Faktor beban akibat pengaruh prategang

Tipe beban	Faktor beban	
	Keadaan batas layan	Keadaan ultimit
Tetap	1,0	1,0

c) Beban angin

- Tekanan angin horizontal.

Tekanan angin menurut **SNI 1725-2016 Pasal 9.6.1** yang ditentukan untuk angin horizontal diasumsikan disebabkan oleh angin rencana dengan kecepatan dasar (V_B) sebesar 90 hingga 126 km/jam.

Untuk jembatan atau bagian jembatan dengan elevasi lebih tinggi dari 10000 mm di atas permukaan tanah atau permukaan air, kecepatan angin rencana V_{DZ} harus dihitung dengan persamaan berikut:

$$V_{DZ} = 2,5 V_0 \left(\frac{V_{10}}{V_B} \right) \ln \left(\frac{Z}{Z_0} \right)$$

Dengan,

V_{DZ} : kecepatan angin rencana pada elevasi rencana, Z (km/jam)

V_{10} : kecepatan angin pada elevasi 10000 mm di atas permukaan tanah atau di atas permukaan air rencana (km/jam)

V_B : kecepatan angin rencana yaitu
90 hingga 126 km/jam

pada elevasi 1000 mm

Z : elevasi struktur diukur dari
permukaan tanah atau

dari permukaan air di mana
beban angin rencana

dihitung ($Z > 10000$ mm)

V_0 : kecepatan gesekan angin, yang
merupakan karakteristik

meteorologi, sebagaimana
ditentukan dalam tabel 3.10,

untuk berbagai macam tipe
permukaan di hulu jembatan
(km/jam)

Z_0 : panjang gesekan di hulu
jembatan, yang merupakan
karakteristik meterologi,
ditentukan pada tabel 2.18 (mm)

V_{10} diperoleh dari:

- Grafik kecepatan angin dasar
untuk berbagai periode ulang.
- Survei angin pada lokasi
jembatan.
- Jika tidak ada data yang lebih
baik, perencana dapat
mengasumsikan bahwa $V_{10} = V_B$
 $= 90$ s/d 126 km/jam.

Tabel 3. 9. Nilai V0 dan Z0

Kondisi	Lahan terbuka	Sub urban	Kota
V ₀ (km/jam)	13,2	17,6	19,3
Z ₀ (mm)	70	1000	2500

- Beban angin pada struktur (EWs)

Tekanan angin rencana (MPa) dapat ditetapkan menggunakan persamaan sebagai berikut:

$$P_D = P_B \left(\frac{V_{DZ}}{V_B} \right)^2$$

Dengan,

P_B : tekanan angin dasar seperti ditentukan dalam tabel 3.10

Tabel 3. 10. Tekanan angin dasar

Komponen bangunan atas	Angin tekan (MPa)	Angin hisap (MPa)
Rangka, kolom, dan pelengkung	0,0024	0,0012
Balok	0,0024	N/A
Permukaan datar	0,0019	N/A

Gaya total beban angin tidak boleh diambil kurang dari 4,4 kN/mm pada bidang tekan dan 2,2 kN/mm pada bidang hisap pada struktur rangka dan pelengkung, serta tidak kurang dari 4,4 kN/mm pada balok atau gelagar.

- Gaya angin pada kendaraan (EW_1)

Jembatan harus direncanakan memikul gaya akibat tekanan angin pada kendaraan, di mana tekanan tersebut harus diasumsikan sebagai tekanan menerus sebesar 1,46 N/mm, tegak lurus dan bekerja 1800 mm di atas permukaan jalan. Komponen beban angin yang bekerja tegak lurus maupun paralel terhadap kendaraan untuk berbagai sudut serang dapat diambil sesuai dalam tabel 3.11 di mana sudut serang ditentukan tegak lurus terhadap arah permukaan kendaraan.

Tabel 3. 11. Komponen beban angin yang bekerja pada kendaraan

Sudut	Komponen tegak lurus	Komponen sejajar
derajat	N/mm	N/mm
0	1,46	0,00
15	1,28	0,18
30	1,20	0,35
45	0,96	0,47
60	0,50	0,55

- d) Pengaruh gempa.

Menurut **SNI 1725-2016 Pasal 9.7** menyatakan bahwa jembatan harus direncanakan agar memiliki kemungkinan kecil untuk runtuh namun dapat mengalami kerusakan yang signifikan dan gangguan terhadap pelayanan akibat gempa.

Beban gempa diambil sebagai beban horizontal yang ditentukan berdasarkan perkalian antara koefisien respons elastik (C_{sm}) dengan berat struktur ekuivalen yang kemudian dimodifikasi dengan faktor modifikasi respons (R_d) dengan formulasi sebagai berikut:

$$E_Q = \frac{C_{sm}}{R_d} \times W_t$$

Dengan,

E_Q : gaya gempa horizontal statis (kN)

C_{sm} : koefisien respons gempa elastis

R_d : faktor modifikasi respons

W_t : berat total struktur terdiri dari beban mati dan hidup yang sesuai (kN)

Koefisien respons elastik C_{sm} diperoleh dari peta percepatan batuan dasar dan spektra percepatan sesuai daerah gempa dan periode ulang gempa rencana. Koefisien percepatan yang

diperoleh berdasarkan peta gempa dikalikan dengan suatu faktor amplifikasi sesuai dengan keadaan tanah sampai kedalaman 30 meter di bawah struktur jembatan.

Atau dapat juga direncanakan dengan metode *response spectrum* dengan periode ulang tertentu sesuai RSNI 2833-2013 tentang Perencanaan Jembatan Terhadap Beban Gempa.

3.7 Kontrol Stabilitas Aerodinamis

Perilaku aerodinamis akibat angin terhadap jembatan *cable stayed* perlu untuk dianalisa dan dikontrol, karena perilaku ini merupakan salah satu penyebab terjadinya kegagalan struktur. Analisa stabilitas pada desain ini meliputi *vortex-shedding* (tumpahan pusaran angin) dan *flutter* (efek ayunan). Akan tetapi dalam menganalisa efek angin yang bekerja pada jembatan seperti desain ini, sebenarnya perlu juga adanya *wind tunnel test* menggunakan model.

3.7.1 Frekwensi alami

Menurut Walther, 1999 hal ini dapat dihitung dengan frekwensi lentur balok (f_B) dan frekwensi alam akibat torsi (f_T) yang didekati menggunakan persamaan berikut ini :

$$f_B = \frac{1,1}{2\pi} \left(\frac{g}{v_{maks}} \right)^{1/2}$$

$$f_T = \frac{\bar{b}}{2r} f_B$$

Dimana :

- f_B = frekwensi alami lentur balok (Hz)
- g = percepatan gravitasi (m/s^2) = $9,81 \text{ kg/cm}^2$
- v_{maks} = deformasi statis maksimum akibat berat sendiri (m)
- f_T = frekwensi alami torsi (Hz)
- \bar{b} = jarak kabel arah meilntang (m)
- r = jari-jari girasi penampang lantai kendaraan (m)

Akan tetapi pada program bantu MIDAS CIVIL nilai frekwensi alami lentur balok (f_B) maupun frekwensi alami torsi (f_T) dapat dicari dengan menggunakan *modal* melalui tahapan *mode* pada menu *result – vibration mode shapes*, dengan syarat yang dipakai adalah nilai pada *mode* yang sesuai persamaan berikut $f_T/f_B \approx 2,5$ (Mathivat).

3.7.2 Efek vortex-shedding

Menurut Walther, 1999 pada kecepatan angin tertentu yang disebut dengan kecepatan kritis, akan terjadi pusaran angin (*vortex-shedding*). Untuk memperoleh nilai percepatan kritis tersebut, digunakan persamaan angka *Strouhal* (S).

$$S = \frac{f_B \cdot h}{V} \quad (\text{Walther, 1999, 7.3.2 – 7.11})$$

Dimana :

- S = angka *Strouhal*
- f_B = frekwensi alami lentur balok
- h = tinggi lantai kendaraan
- V = kecepatan angin yang dihitung berdasarkan angka Strouhal

Selanjutnya dilakukan evaluasi efek pusaran dengan angka *Reynold* (Re). Akibat kecepatan angin yang bekerja besarnya angka *Reynold* harus memenuhi persyaratan, nilai *Re* harus berada antara $10^5 - 10^7$. Berikut persamaan untuk angka *Reynold*.

$$Re = \frac{VB}{\bar{v}} \quad (\text{Walther, 1999, 7.3.2 - 7.10})$$

Dimana :

Re = angka *Reynold*

V = kecepatan angin yang dihitung berdasarkan angka *Strouhal*

B = lebar lantai kendaraan

\bar{v} = viskositas kinematik udara ($0,15 \text{ cm}^2/\text{dt}$)

Akibat adanya terpaan angin, akan terjadi gaya angkat (*uplift*) yang besarnya dapat dihitung dengan persamaan berikut :

$$Fo = \rho \frac{V^2}{2} Ch \quad (\text{Walther, 1999, 7.3.2 - 7.13})$$

Dimana :

Fo = gaya angkat

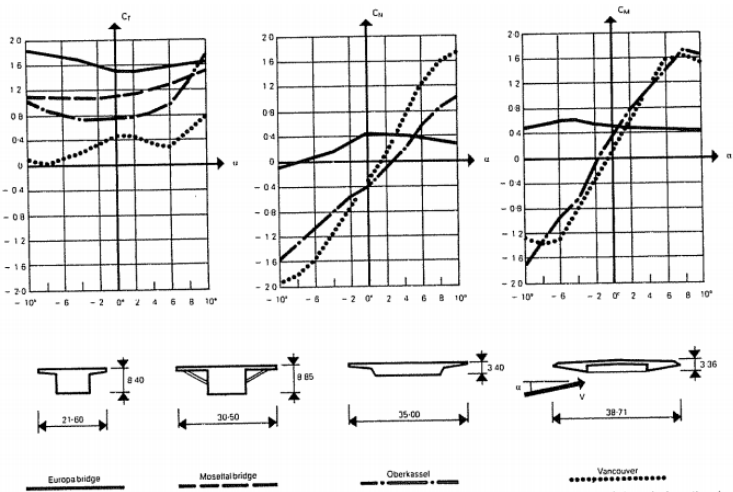
ρ = berat volume udara ($1,3 \text{ kg/m}^3$)

V = kecepatan angin yang dihitung berdasarkan angka *Strouhal*

C = koefisien gaya angkat lantai kendaraan

h = tinggi lantai kendaraan

Besarnya nilai koefisien C dapat dicari dari grafik berikut ini, lihat Gambar 3.8.



Gambar 3.8. Koefisien CN

Gaya ini akan menimbulkan osilasi gelagar yang amplitudonya dapat dihitung dengan menggunakan persamaan berikut ini :

$$v = \frac{\pi F_o}{\delta m} v_{\max}$$

dimana :

v = amplitudo osilasi

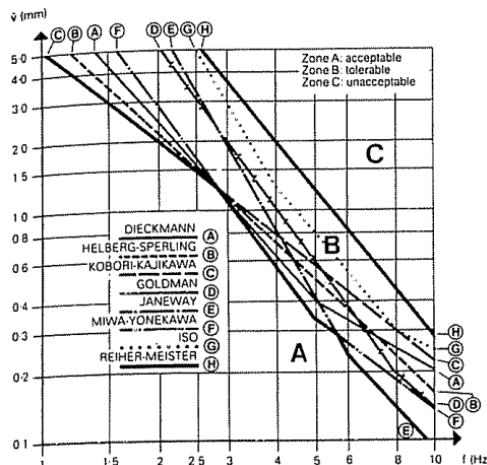
δ = penurunan logaritmik (koefisien peredaman)

F_o = gaya angkat

v_{\max} = deformasi statis maksimum karena berat sendiri

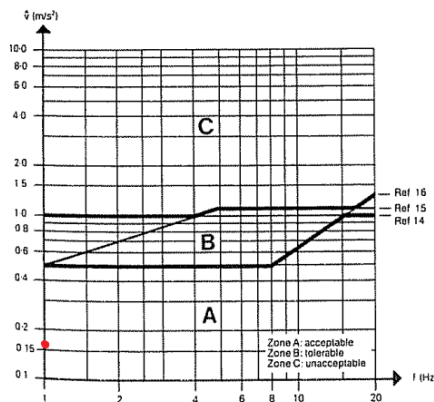
m = berat sendiri lantai kendaraan per meter panjang

Maka dapat diketahui klasifikasi efek psikologis berdasarkan amplitudo (\ddot{v}) dengan melakukan plot nilai \ddot{v} dan f_B pada grafik terkait (untuk lebih jelasnya dapat dilihat pada Gambar 3.9).



Gambar 3. 9. Klasifikasi efek psikologis berdasarkan amplitudo (Walther, 1999)

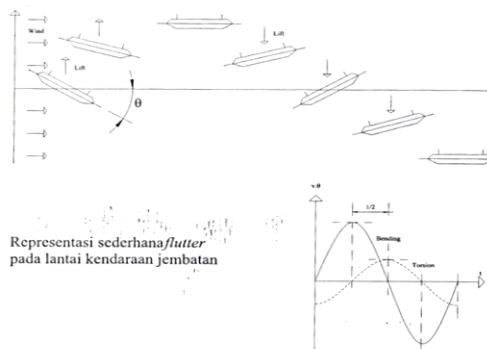
Sedangkan untuk klasifikasi efek psikologi berdasarkan persepatan getaran (\ddot{v}) dapat diperoleh dengan melakukan plot nilai \ddot{v} dan f_B pada grafik terkait (untuk lebih jelasnya lihat Gambar 3.10).



Gambar 3. 10. Klasifikasi efek psikologis berdasarkan percepatan getaran (Walther, 1999)

3.7.3 Efek ayunan (*Flutter*)

Efek ayunan menurut Walther, 1999 pada kecepatan kritis (V_{kritis}) menimbulkan lenturan dan torsi. Berikut ini adalah ilustrasi lantai kendaraan yang mengalami *flutter*:



Gambar 3. 11. Efek ayunan (Walther, 1999)

- a. Yang harus dihindari amplitudo akibat lentur dan torsi tidak terjadi bersamaan, yang ideal berjarak

$$t = \frac{\pi}{2} = 1,57 \text{ detik}$$

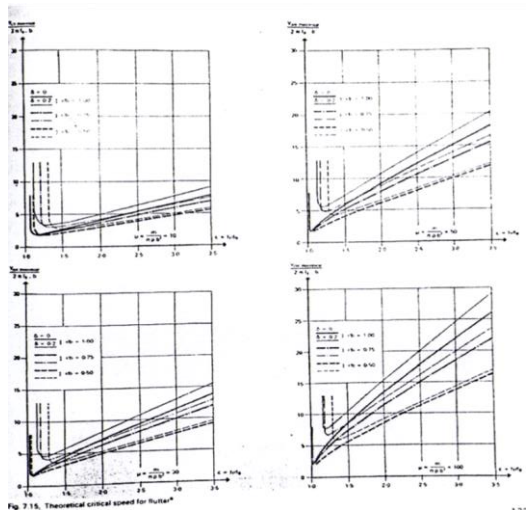
- b. Kecepatan kritis teoritis, $V_{\text{kritis teoritis}}$ metode KLOEPPEL

$$V_{\text{kritis teoritis}} = 2 \cdot \pi \cdot f_B \cdot b$$

$$b = \frac{1}{2} \text{ lebar lantai kendaraan}$$

dapat dicari secara grafis tergantung dari 3 besaran

$$\mu = \frac{m}{\pi \cdot \rho \cdot b^2} ; \quad \varepsilon = \frac{f_T}{f_B} ; \quad \frac{\delta}{b}$$



Gambar 3. 12. Kecepatan kritis teoritis efek ayunan
(Walther, 1999)

c. Kecepatan kritis aktual, $V_{\text{kritis teoritis}}$

Pada kenyataannya lebih kecil dari teoritisnya dihitung dari kecepatan kritis teoritis berdasarkan koreksi sudut datang angin terhadap arah horizontal yang rata-rata 6° , η :

$$V_{\text{kritis teoritis}} = \frac{\eta(\alpha = \pm 6^\circ)}{\eta(\alpha = 0^\circ)} V_{\text{kritis-teoritis}}$$

$$\frac{\eta(\alpha = \pm 6^\circ)}{\eta(\alpha = 0^\circ)} \rightarrow \text{atau } \eta, \text{ koefisien koreksi}$$

3.8 Desain angker

Analisa ini meliputi cek tegangan pada beton pada saat pemberian gaya tarik (*stressing*) yang dapat dihitung berdasarkan buku “Desain Praktis Beton Prategang” Andri Budiadi, 2008 sebagai berikut.

- Pemberian gaya tarik dilakukan pada saat beton berusia 14 hari, dengan kuat tekan beton diperkirakan 85% f'_c .

$$f'_c = 85\% \times f'_c$$

$$f_{cp} = 0,8 \cdot f'_c \sqrt{\frac{A_p'}{A_p} - 0,2}$$

Dimana :

$$A_p' = H \times H$$

$$A_p = (A \times A) - \text{Area } \emptyset D$$

- Tegangan di bawah pelat anker :

$$f_t = \frac{P}{Ap}$$

- Kontrol :

$$f_{cp} > f_t$$

3.9 Metode Pelaksanaan

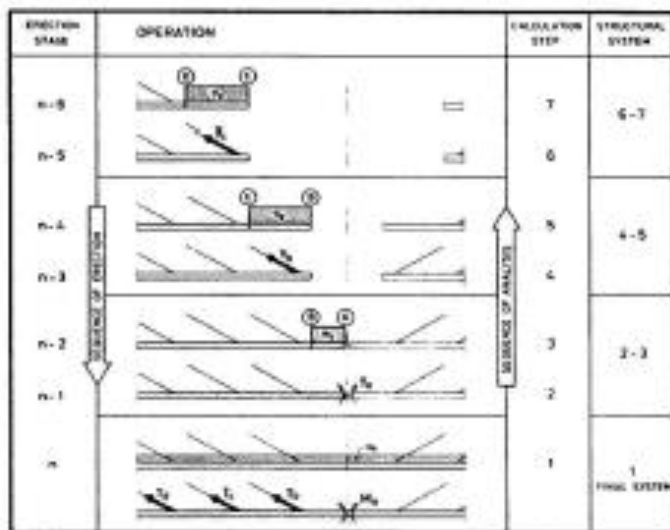
Metode pelaksanaan/*Staging Analysis* konstruksi jembatan *cable stayed* ini didesain dengan *cantilever method* dan dipengaruhi langsung oleh beban *form traveler*.

Metode analisis struktur dibuat dengan metode *demolishing procedure* melalui *backward solution*.

Dimulai dari keadaan final jembatan dilanjutkan dengan melepas bagian per bagian hingga sampai pada keadaan awal pada metode pelaksanaan.

Semua tahapan tersebut di-input-kan kedalam program bantu MIDAS/Civil sehingga didapat hasil gaya per tahapan analisa.

Untuk lebih jelasnya lihat Gambar 3.13.



Gambar 3. 13 Ilustrasi arah berlawanan dari urutan analisis dan pelaksanaan

(Gimsing, 1983)

3.10 Permodelan dan Analisa Struktur

Permodelan dan analisa struktur menggunakan program bantu MIDAS/Civil.

3.11 Menyusun Gambar Kerja

Penyelesaian perencanaan berupa gambar kerja menggunakan program bantu AutoCAD.

BAB IV

ANALISA DAN PEMBAHASAN

4.1 Preliminary Desain

4.1.1 Data Perencanaan Modifikasi

- Nama jembatan : Jembatan Kalipepe
- Lokasi : Tol Solo-Kertosono
- Panjang total : 144 m
- Bentang tengah : 121,5 m
- Bentang tepi : 22,5 m
- Lebar total : 12,6 m
- Lebar lajur : 8,1 m (2/2UD)

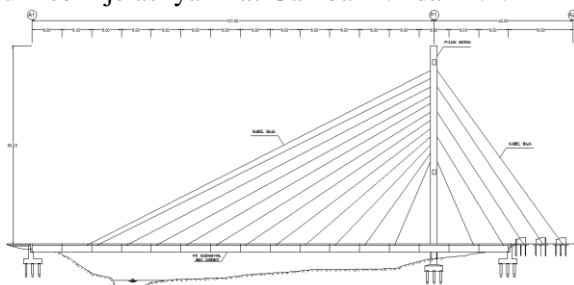
4.1.2 Konfigurasi Susunan Kabel

Konfigurasi susunan kabel pada arah melintang berupa *Double Planes System*, sedangkan untuk arah memanjang berupa *Semi Harp Pattern*.

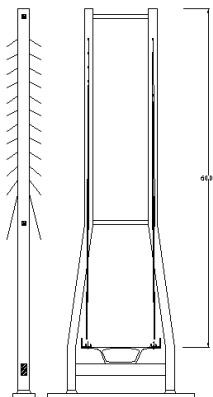
Jarak kabel pada gelagar menurut Whalter dkk. (1999) :

- dek beton (5 m – 10m)
- dek baja (15 m – 25 m)

Pada desain ini dipakai jarak kabel pada gelagar 9 m.
Untuk lebih jelasnya lihat Gambar 4.1 dan 4.2.



Gambar 4. 1. Susunan kabel arah memanjang (satuan dalam meter)



Gambar 4. 2. Susunan kabel arah melintang (satuan dalam meter)

Jenis Kabel dan Anker

Menurut RSNI T-03-2005 Pasal 12.6 kabel pemikul utama yang dipergunakan untuk struktur-struktur jembatan kabel dan jembatan gantung harus dibuat dari material mutu tinggi dengan kuat tarik minimum 1800 N/mm^2 .

Ada dua jenis kabel pararel *VSL 7-wire strand* yang dapat digunakan untuk jembatan kabel, lihat Tabel 4.1.

Tabel 4. 1. Jenis Kabel dan Anker

Standard	ASTM A 416-06 Grade 270	Euronorme 138-3
\varnothing (mm)	15,2	15,7
A_s (mm^2)	140	150
f_u ($f_{ijin}=0,45f_u$)(Mpa)	1860 (837)	1770 (797)
Ukuran anker	7, 12, 19, 31, 37, 61, dan 91 strand	

Dalam desain ini digunakan kabel tipe ASTM A 416-06 Grade 270 dengan f_{ijin} sebesar $0,45f_u$ (Gimsing, 1983).

4.1.3 Gelagar

- Bentuk : *box trapezoidal single cell*
- Material : beton pratekan
- Mutu beton : fc' 80

1. Dimensi Gelagar

A. Tafsiran tinggi gelagar box

Berdasarkan (AASHTO,2012) rasio bentang dengan tinggi yang efisien untuk bentang menerus dapat digunakan:

$$h = 0,04L$$

B. Ketebalan minimum *web* gelagar box

-300 mm jika terdapat saluran untuk penempatan *post tensioning* tendon di badan box
 -350 mm jika terdapat angker tendon yang ditempatkan di badan box

C. Ketebalan minimum *top flens* gelagar box

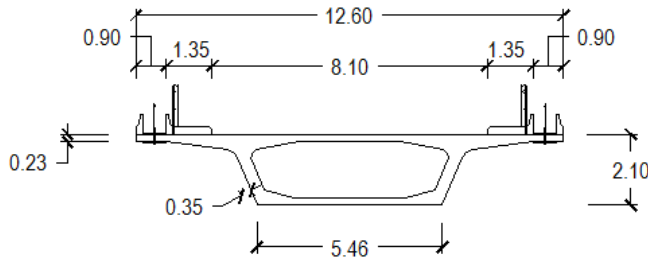
-175 mm untuk lebar antar badan box < 3 m
 -200 mm untuk lebar antar badan box 3 m – 4,5 m
 -250 mm untuk lebar antar badan box 4,5 m-7,5 m

Sedangkan menurut Podolny (1976) dalam bukunya “*Construction & Design of Cable- Stayed Bridges*”, bahwa perbandingan tinggi gelagar dengan bentang jembatan bervariasi antara 1/40 – 1/100.

Dalam tugas akhir ini, tinggi *box girder* direncanakan menggunakan perbandingan 1/60 L dengan tebal *flens* 225 mm dan tebal *web* 350 mm.

$$h = 1/60 \times 121,5 \text{ m} = 2,1 \text{ m}$$

Untuk lebih jelasnya lihat Gambar 4.3.



Gambar 4. 3. Dimensi gelagak box (satuan dalam meter)

4.1.4 Pylon

- Bentuk : *twin tower*
- Material : beton bertulang
- Mutu beton : $f_c' = 50$
- Mutu tulangan : $f_y = 400 \text{ Mpa}$

Tinggi pylon (h), menurut Parke dan Huson (2008) dapat diperkirakan dengan perbandingan antara tinggi rencana (H) dengan panjang bentang utama (L) pada jembatan *cable stayed* simetris dengan kisaran nilai 0,2 – 0,25.

Namun dalam desain ini dikarenakan menggunakan *cable stayed asymmetric system*, maka panjang bentang yang dipikul 1 pylon menjadi 2 kalinya jembatan *cable stayed* simetris. Sehingga nilai perbandingan antara tinggi rencana (H) dengan panjang bentang utama (L) dapat dikali 2 menjadi 0,4 – 0,5.

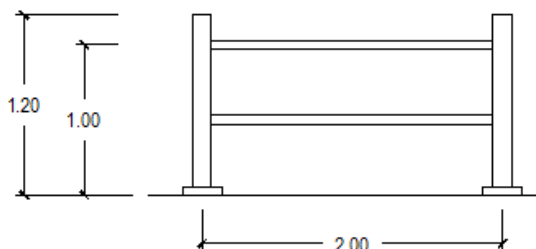
$$\begin{aligned}
 \text{Direncanakan } (H/L) &= 0,5 \\
 L &= 121,5 \text{ m} \\
 \text{Maka diperoleh } H &= 121,5 \text{ m} \times 0,5 \\
 &= 60,75 \text{ m} \approx 60 \text{ m}
 \end{aligned}$$

4.2 Perhitungan Struktur Sekunder

Struktur sekunder pada jembatan ini terdiri dari tiang sandaran, pipa sandaran, kerb dan trotoar. Hasil perhitungan struktur sekunder berlaku sebagai beban saat menganalisa struktur utama.

4.2.1 Tiang dan Pipa Sandaran

Berdasarkan pada RSNI T-02-2005 pasal 12.5, beban yang bekerja pada sandaran adalah berupa gaya horizontal dan vertikal sebesar $w = 0,75 \text{ kN/m}$ dan bekerja pada ketinggian 100 cm dari lantai trotoar. Sandaran menggunakan profil pipa dengan diameter 60,5 mm, lihat Gambar 4.4.



Gambar 4. 4. Tiang sandaran (satuan dalam meter)

Data perencanaan sandaran :

Panjang total jembatan = 144 m

Jarak tiang sandaran = 2 m

Material yang digunakan :

1. Tiang sandaran BJ 37 :

$$f_u = 370 \text{ MPa}$$

$$f_y = 240 \text{ MPa}$$

2. Pipa sandaran :

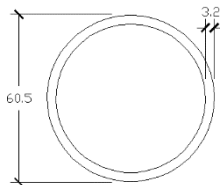
$$\text{Diameter luar } (d_0) = 60,5 \text{ mm}$$

$$\text{Berat pipa } (q) = 3,3 \text{ kg/m}$$

$$\text{Tebal pipa } (t) = 3,2 \text{ mm}$$

$$\text{Mutu baja} = \text{BJ 41}$$

Berikut ilustrasi profil pipa sandaran dapat dilihat pada Gambar 4.5.



Gambar 4. 5. Profil sandaran (satuan dalam mm)

A. Perhitungan Momen pada Pipa Sandaran

- 1) Akibat berat sendiri pipa sandaran

$$\begin{aligned}M_{VD} &= (1/8).q.l^2 \\&= (1/8). 3,3 . 2^2 \\&= 1,65 \text{ kgm} = 0,0165 \text{ kNm}\end{aligned}$$

- 2) Akibat beban vertikal

$$\begin{aligned}M_{VL} &= (1/8).w.l^2 \\&= (1/8). 0,75 . 2^2 \\&= 0,375 \text{ kNm}\end{aligned}$$

$$\begin{aligned}M_V &= M_{VD} + M_{VL} \\&= 0,0165 + 0,375 \\&= 0,3915 \text{ kNm}\end{aligned}$$

- 3) Akibat beban horizontal

$$\begin{aligned}M_H &= (1/8).w.l^2 \\&= (1/8). 0,75 . 2^2 \\&= 0,375 \text{ kNm}\end{aligned}$$

Momen resultan (M_R)

$$\begin{aligned}M_R &= \sqrt{M_H^2 + M_V^2} \\&= \sqrt{0,3915^2 + 0,375^2} \\&= 0,55 \text{ kNm}\end{aligned}$$

B. Cek Kekuatan Profil Pipa Sandaran

1) Batas kelangsungan profil

$$\lambda = \frac{d_o}{t} = \frac{60,5}{3} = 20,17$$

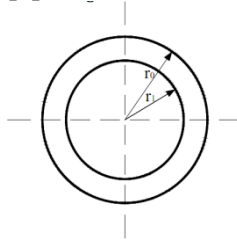
$$\lambda_p = \frac{14800}{f_y} = \frac{14800}{250} = 59,2$$

Karena $\lambda < \lambda_p$ (penampang kompak) maka kuat lentur nominal penampang adalah $M_n = M_p = Z_x \cdot f_y$

2) Kuat lentur nominal

$$Z_x = \frac{4}{3} (r_o^3 - r_i^3) = \frac{4}{3} (30,25^3 - 27,95^3) = 7794,71 \text{ mm}^3$$

Ilustrasi penampang pipa sandaran, lihat Gambar 4.6.



Gambar 4. 6. Penampang pipa sandaran

$$M_n = Z_x \cdot f_y = 7794,71 \text{ mm}^3 \cdot 250 \text{ N/mm}^2$$

$$= 1948677,5 \text{ Nmm}$$

$$= 1,95 \text{ kNm}$$

$$\varphi M_n = 0,9 \cdot 1,95 = 1,95 \text{ kNm} > M_R = 0,55 \text{ kNm}$$

Maka profil dapat digunakan.

C. Perencanaan Tiang Sandaran

Direncanakan tiang sandaran menggunakan baja profil WF 125.60.6.8 dengan spesifikasi :

$$d = 125 \text{ mm} \quad tw = 6,0 \text{ mm}$$

$$\begin{array}{llll}
 bf & = 60 \text{ mm} & tf & = 8,0 \text{ mm} \\
 r & = 9 \text{ mm} & w & = 13,22 \text{ kg/m} \\
 I_x & = 413 \text{ cm}^4 & I_y & = 29 \text{ cm}^4
 \end{array}$$

Sifat mekanis baja struktural

$$\begin{array}{ll}
 BJ & = 37 \\
 f_u & = 370 \text{ MPa} \\
 f_y & = 240 \text{ MPa}
 \end{array}$$

$$\begin{array}{ll}
 \text{Beban horizontal} & = 2 \text{ m. } 0,75 \text{ kN/m} \\
 & = 1,5 \text{ kN}
 \end{array}$$

$$\text{Tinggi tiang sandaran} = 1,2 \text{ m}$$

$$\begin{array}{ll}
 \text{Momen yang terjadi} & = 1,2 \text{ m. } 1,5 \text{ kN} \\
 & = 1,8 \text{ kNm}
 \end{array}$$

Cek tegangan yang terjadi pada tiang sandaran

$$\sigma_u < \sigma_{ijin}$$

$$\sigma_u = \frac{M}{w}$$

$$\begin{aligned}
 w &= \frac{Ix}{y} \\
 &= \frac{413}{6,25}
 \end{aligned}$$

$$= 66,08 \text{ cm}^3$$

$$\sigma_u = \frac{18000}{66,08}$$

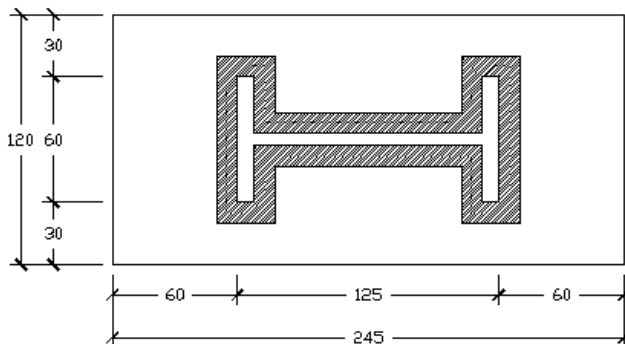
$$= 272,4 \text{ kg/cm}^2 < \sigma_{ijin} = 2400 \text{ kg/cm}^2 \dots \text{OK}$$

D. Perencanaan Sambungan Las Tiang Sandaran

$$\begin{aligned}
 q_{\text{eff tiang}} &= 0,707 \frac{f_u}{F_{E60}} t_w \\
 &= 0,707 \frac{3700}{60 \cdot 70,33} 0,6 \\
 &= 0,372 \text{ cm} \\
 &= 3,72 \text{ mm}
 \end{aligned}$$

$$\begin{aligned}
 Q_{\text{pelat}} &= 1,41 \frac{f_u}{F_{E60}} t_p \\
 &= 1,41 \frac{3700}{60 \cdot 70,33} 0,8 \\
 &= 0,989 \text{ cm} \\
 &= 9,89 \text{ mm}
 \end{aligned}$$

Berikut gambar sambungan las tiang sandaran, Gambar 4.7.



Gambar 4. 7. Sambungan las (satuan dalam mm)

Dicoba $t_e = 1 \text{ cm}$

$$\begin{aligned}
 A &= (4.6\text{cm} + 2.11,3\text{cm} + 4.2,7\text{cm} + 2.6\text{cm}).1\text{cm} \\
 &= 63 \text{ cm}^2
 \end{aligned}$$

$$S_x = 66 \text{ cm}^3$$

Menghitung gaya yang terjadi

$$\begin{aligned} H_{ux} &= H_{uy} \\ f_{hx} &= f_{hy} \\ &= H_{ux}/A \\ &= (0,75\text{kg/cm. } 200\text{cm})/ 63 \text{ cm}^2 \\ &= 2,38 \text{ kg} \end{aligned}$$

$$\begin{aligned} P_{ux} &= P_{uy} \\ f_{vx} &= f_{vy} \\ &= P_{ux}/A \\ &= (0,75\text{kg/cm. } 200\text{cm})/ 63 \text{ cm}^2 \\ &= 2,38 \text{ kg} \end{aligned}$$

$$\begin{aligned} M_{ux} &= f_z \\ &= M_{ux}/S_x \\ &= (200\text{cm. } 0,75\text{kg/cm. } 120\text{cm})/ 66\text{cm}^3 \\ &= 272,72 \text{ kg/cm}^2 \end{aligned}$$

$$\begin{aligned} f_0 &= \sqrt{\left(\sqrt{\left(f_{hx}^2 + f_{hy}^2\right)}\right)^2 + \left(f_{ux} + f_{uy}\right)^2} \\ &= \sqrt{\left(\sqrt{2,38^2 + 2,38^2}\right)^2 + (2,38 + 2,38)^2} \\ &= 5,83 \text{ kg/cm}^2 \end{aligned}$$

$$\begin{aligned} f_{tot} &= \sqrt{f_0^2 + f_z^2} \\ &= \sqrt{272,2^2 + 5,83^2} \\ &= 272,8 \text{ kg/cm}^2 \end{aligned}$$

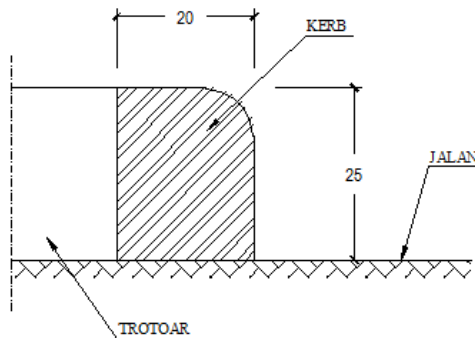
$$\begin{aligned} \varphi f_n &= 0,75 \cdot \text{tw. } F_{E60} \\ &= 0,75 \cdot 0,6 \cdot 60 \cdot 70,33 \\ &= 1898,91 \text{ kg/cm}^2 > f_{tot} = 272,8 \text{ kg/cm}^2 \end{aligned}$$

$$\begin{aligned} t_{e \text{ perlu}} &= f_{\text{tot}} / \varphi f_n \\ &= \frac{272,8}{1898,91} \\ &= 0,15 \text{ cm} \approx 0,2 \text{ cm} \end{aligned}$$

$$\begin{aligned} a_{\text{perlu}} &= t_{e \text{ perlu}} / 0,707 \\ &= 0,2 / 0,707 \\ &= 0,28 \text{ cm} \\ &= 2,8 \text{ mm} \approx 5 \text{ mm} \end{aligned}$$

4.2.2 Kerb

Kerb merupakan balok trotoar yang terletak di sisi luar dari trotoar. Pada puncak kerb bekerja gaya hoisantal sebesar 500 kg. Dimensi kerb direncanakan dengan lebar 20 cm dan tebal 25 cm, lihat Gambar 4.8.



Gambar 4. 8. Potongan trotoar dan kerb (satuan dalam mm)

- Jumlah kerb : 2 buah (kiri-kanan)
- Material : beton bertulang
- Mutu beton : f_c' 30 Mpa
- Mutu tulangan : f_y 240 Mpa

- Diameter tul. : 12 mm

Penulangan Lentur

- $\varphi = 0,8$
- $\beta_1 = 0,85$

- $m = \frac{f_y}{0,85 f_{c'}}$

$$m = \frac{240}{0,85 \cdot 30}$$

$$= 9,41$$

- $\rho_{min} = \frac{1,4}{f_y}$

$$\rho_{min} = \frac{1,4}{240}$$

$$= 0,006$$

- $\rho_b = 0,85 \times \beta_1 \times \frac{f_{c'}}{f_y} \times \frac{600}{600+f_y}$

$$\rho_b = 0,85 \times 0,85 \times \frac{30}{240} \times \frac{600}{600 + 240}$$

$$= 0,064$$

- $\rho_{max} = 0,75 \times \rho_b$

$$= 0,75 \times 0,0645$$

$$= 0,048$$

- $d = 200 - 20 - (1/2.12)$

$$= 174 \text{ mm}$$

- $b = 1000 \text{ mm}$

- $M_u = \text{gaya horizontal H} \times \text{tebal kerb}$

$$= 500 \text{ kg} \times 25 \text{ cm}$$

- $= 12500 \text{ kgcm}$
- $M_n = Mu / \phi$
 $= 1,25 \cdot 10^6 \text{ N.mm} / 0,8$
 $= 1,56 \cdot 10^8 \text{ N.mm}$
- $R_n = M_n / b \cdot d^2$
 $= 1,56 \cdot 10^8 \text{ N.mm} / 1000 \text{ mm} \times (174 \text{ mm})^2$
 $= 0,052$
- $\rho_{\text{perlu}} = \frac{1}{m} x \left(1 - \sqrt{1 - \frac{2 \times m \times R_n}{f_y}}\right)$
 $= \frac{1}{9,41} x \left(1 - \sqrt{1 - \frac{2 \times 9,41 \times 0,052}{240}}\right)$
 $= 0,0002$

Karena $\rho_{\text{perlu}} < \rho_{\text{min}}$, maka yang digunakan ρ_{min}

$$\begin{aligned}\text{As perlu} &= \rho_{\text{min}} \times b \times d \\ &= 0,006 \times 1000 \text{ mm} \times 174 \text{ mm} \\ &= 1015 \text{ mm}^2\end{aligned}$$

Dipasang 10Ø12 dengan As 1130,4 mm²

Dipasang sengkang minimum Ø8-200 mm

4.2.3 Trotoar

Sesuai dengan RSNI T-02-2005, semua trotoar harus direncanakan untuk memikul beban nominal yang berdasarkan luasannya. Untuk lebih jelasnya lihat Tabel 4.2

Tabel 4. 2. Luas trotoar terhadap beban nominal

Luas	Beban Nominal (kPa)
$A < 10 \text{ m}^2$	5
$10 < A < 100 \text{ m}^2$	$5,33 - A/30$
$A \geq 100 \text{ m}^2$	2

Direncanakan

- Panjang total jembatan = 144 m
- Jarak antar tiang sandaran = 2m
- Lebar trotoar = 1 m
- Tinggi trotoar = 0,25 m
- Luas trotoar = $144 \text{ m} \times 1 \text{ m} = 144 \text{ m}^2$

$$\begin{aligned}\text{Berat nominal} &= 2 \text{ kPa} \\ &= 200 \text{ kg/m}^2 \times 2 \text{ m} \\ &= 400 \text{ kg/m}\end{aligned}$$

$$\begin{aligned}\text{Berat sendiri} &= 1\text{m} \times 0,25 \text{ m} \times 2 \text{ m} \times 2400 \text{ kg/m}^3 \\ &= 1200 \text{ kg/m}\end{aligned}$$

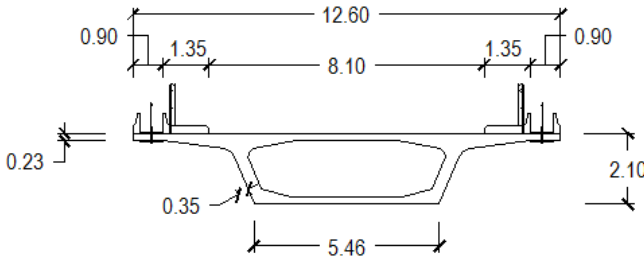
4.3 Permodelan Dan Analisa Struktur

Dalam analisa struktur jembatan *cable stayed* ini menggunakan program bantu MIDAS CIVIL. Beban yang bekerja pada desain ini berupa beban statik, dinamik, dan *staging analysis*.

Beban yang termasuk beban statik antara lain adalah beban mati, beban mati tambahan, beban hidup, dan beban angin. Untuk beban dinamik adalah beban gempa dengan analisa *response spectrum*. Sedangkan untuk beban *staging analysis* berupa beban yang bekerja diatas jembatan pada waktu pelaksanaan (pendirian) jembatan.

4.3.1 Dimensi Gelagar

Berdasarkan bab sebelumnya, digunakan gelagar berupa box girder trapezoidal dengan mengacu pada standar PCI. Untuk lebih jelasnya lihat Gambar 4.9.



Gambar 4. 9. Penampang melintang gelagar (satuan dalam meter)

4.3.2 Dimensi Kabel

Menurut RSNI T-03-2005 Pasal 12.6 kabel pemukul utama yang dipergunakan untuk struktur-struktur jembatan kabel dan jembatan gantung harus dibuat dari material mutu tinggi dengan kuat tarik minimum 1800 N/mm^2 .

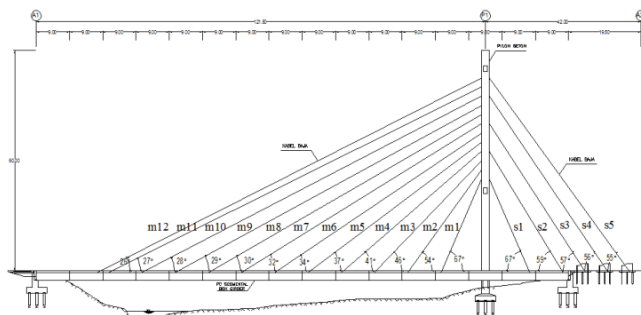
Ada dua jenis kabel pararel *VSL 7-wire strand* yang dapat digunakan untuk jembatan kabel, lihat Tabel 4.2 :

Tabel 4. 3. Jenis Kabel dan Anker

Standard	ASTM A 416-06 Grade 270	Euronorme 138-3
\varnothing (mm)	15,2	15,7
A_s (mm^2)	140	150
f_u ($f_{ijin}=0,45f_u$) (Mpa)	1860 (837)	1770 (797)
Ukuran anker	7, 12, 19, 31, 37, 61, dan 91 strand	

Dalam perencanaan ini digunakan kabel tipe ASTM A 416-06 Grade 270 dengan f_{ijin} sebesar $0,45f_u$ (Gimsing, 1983).

Kabel bentang tepi diberi simbol “s” dan bentang tengah diberi simbol “m”. Penomoran kabel dimulai dari kabel yang terdekat dengan *pylon*. Untuk lebih jelasnya lihat Gambar 4.10.



Gambar 4. 10. Tatahan sistem kabel

Dimensi awal kabel didekati dengan persamaan berikut (Gimsing, 1983)

$$Asc = \frac{(W\lambda + P)\cos\theta}{(0,45f_u)\sin 2\theta / 2 - \gamma.a}$$

Dimana :

- | | |
|-----------|---|
| Asc | : Luas penampang kabel |
| W | : Beban mati dan hidup merata |
| P | : Beban terpusat |
| λ | : Jarak antar angker kabel pada gelagar |
| θ | : Sudut kabel terhadap horisontal |
| γ | : Berat jenis kabel (77.01 kN/m^3) |
| f_u | : Tegangan putus kabel (1860 Mpa) |
| a | : jarak mendatar dari <i>pylon</i> ke angker kabel pada gelagar (<i>girder</i>) |

Menghitung jumlah kabel. (Gimsing, 1983)

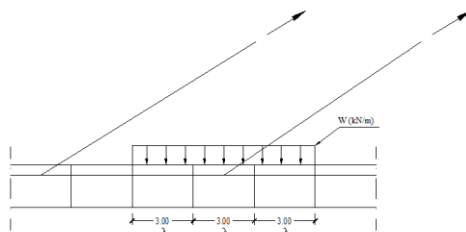
$$n = \frac{Asc}{As}$$

dimana :

As : Luas penampang kabel

Perhitungan beban yang dipikul kabel ($W\lambda + P$)

Beban yang dipikul meliputi beban hidup, beban mati, dan beban tambahan lain seperti beban air hujan dan beban pejalan kaki pada trotoar. Dimana jarak antar kabel didesain 9 m, sehingga satu kabel memikul beban-beban di atas selebar 9 m. Serta karena didesain 2 kabel yang menopang gelagar, yaitu pada sisi kanan dan kiri gelagar, maka perhitungan beban yang dipikul dikalikan $\frac{1}{2}$ nya. Untuk lebih jelasnya lihat Gambar 4.11.



Gambar 4. 11. Ilustrasi beban yang dipikul kabel

Berat sendiri gelagar

$$\begin{aligned} q &= A \times B_j \text{ beton} \times \lambda \\ &= 6,455 \text{ m}^2 \times 24 \text{ kn/m}^3 \times 9 \text{ m} \\ &= 1394,3 \text{ kN} \end{aligned}$$

$$\begin{aligned} qu &= 0,5 \times q \times LF \\ &= 0,5 \times 1394,3 \times 1,2 \dots SNI 1725-2016 \\ &= 836,6 \text{ kN} \end{aligned}$$

Beban mati tambahan

Berat aspal

$$\begin{aligned} qu &= 0,5 \times \text{tebal aspal} \times b_j \text{ aspal} \times \text{lebar jalan} \times \lambda \times LF \\ &= 0,5 \times 0,05 \text{ m} \times 22 \text{ kN/m}^3 \times 8,1 \text{ m} \times 9 \text{ m} \times 2 \end{aligned}$$

$$= 80,2 \text{ kN} \dots SNI 1725-2016$$

Berat air hujan 2 cm

$$\begin{aligned} qu &= 0,5 \times \text{tinggi air hujan} \times b_j \text{ air} \times \text{lebar jalan} \times \lambda \times LF \\ &= 0,5 \times 0,02 \text{ m} \times 10 \text{ kN/m}^3 \times 8,1 \text{ m} \times 9 \text{ m} \times 2 \\ &= 14,6 \text{ kN} \dots RSNI T-02-2005 \end{aligned}$$

Berat railing dan kerb

$$\begin{aligned} q &= 1,4 \text{ kN/m} \\ qu &= q \times \lambda \times LF \dots RSNI T-02-2005 \\ &= 1,4 \text{ kN/m} \times 9 \text{ m} \times 2 \\ &= 25,2 \text{ kN} \end{aligned}$$

Berat trotoar pejalan kaki

$$\begin{aligned} q &= 16 \text{ kN/m} \\ qu &= q \times \lambda \times LF \dots RSNI T-02-2005 \\ &= 16 \text{ kN/m} \times 9 \text{ m} \times 1,8 \\ &= 259,2 \text{ kN} \end{aligned}$$

$$\begin{aligned} W_{DL} &= \text{berat sendiri} + \text{beban mati tambahan} \\ &= 836,6 \text{ kN} + 80,2 \text{ kN} + 14,6 \text{ kN} + 25,2 \text{ kN} + 259,2 \text{ kN} \\ &= 1215,8 \text{ kN} \end{aligned}$$

Beban hidup

Beban Terbagi Rata (BTR)

$$\begin{aligned} BTR &= 9 \times (0,5 + 15/L) \text{ kN/m}^2 \dots SNI 1725-2016 \\ &= 9 \times (0,5 + 15/144) \\ &= 5,44 \text{ kN/m}^2 \end{aligned}$$

$$\begin{aligned} W_{LL1} &= 0,5 \times BTR \times \text{lebar jalan} \times \lambda \times LF \\ &= 0,5 \times 5,44 \text{ kN/m}^2 \times 8,1 \text{ m} \times 9 \text{ m} \times 1,8 \\ &= 356,9 \text{ kN} \end{aligned}$$

Beban Garis Terpusat (BGT)

$$BGT = 49 \text{ kN/m} \dots SNI 1725-2016$$

$$W_{LL2} = 0,5 \times BGT \times (1+FBD) \times \text{lebar jalan} \times LF$$

$$\begin{aligned}
 &= 0,5 \times 49 \text{ kN/m} \times (1+30\%) \times 8,1 \text{ m} \times 1,8 \\
 &= 464,4 \text{ kN}
 \end{aligned}$$

$$\begin{aligned}
 W_{LL} &= W_{LL1} + W_{LL2} \\
 &= 356,9 \text{ kN} + 464,4 \text{ kN} \\
 &= 821,3 \text{ kN}
 \end{aligned}$$

$$\begin{aligned}
 (W\lambda + P) &= W_{LL} + W_{DL} \\
 &= 821,3 \text{ kN} + 1215,8 \text{ kN} \\
 &= 2037,1 \text{ kN}
 \end{aligned}$$

Perhitungan jumlah kabel

Kabel m2, $a = 20 \text{ m}$, $\theta = 54^\circ$

$$\begin{aligned}
 \sigma_{ijin} &= 0,45 \times 1860 \text{ N/mm}^2 \\
 &= 837 \text{ N/mm}^2 \\
 &= 837000 \text{ kN/m}^2
 \end{aligned}$$

$$Asc = \frac{(2037,1) \times \cos 54}{837000 \times \sin(2 \times 54)/2 - 77,01 \times 20}$$

$$Asc = 0,003 \text{ m}^2$$

$$Asc = 3015 \text{ mm}^2$$

Digunakan kabel tipe I Ø 15,2 mm ; $As = 140 \text{ mm}^2$

$$\text{jumlah kabel perlu (n)} = \frac{Asc}{As} = \frac{2996}{140} = 21,5 = 22 \text{ kabel}$$

Perhitungan selanjutnya akan di tabelkan pada Tabel 4.4.

Tabel 4. 4. Kebutuhan jumlah kabel

No	θ (°)	$W\lambda + P$ (kN)	a_i (m)	Asc (m2)	n perlu (kabel)	n pasang (kabel)
m1	67	3347.60	11	0.0043	31.0359	32
m2	54	2037.10	20	0.0030	21.5374	22
m3	46	2037.10	29	0.0034	24.4687	25
m4	41	2037.10	38	0.0038	26.7999	27
m5	37	2037.10	47	0.0041	29.2373	30
m6	34	2037.10	56	0.0044	31.7228	32
m7	32	2037.10	65	0.0047	33.2794	34
m8	30	2037.10	74	0.0049	35.3281	36
m9	29	2037.10	83	0.0051	36.6774	37
m10	28	2037.10	92	0.0053	38.0994	39
m11	27	1512.92	101	0.0041	29.4104	30
m12	26	4725.24	104	0.0134	95.3974	96
s1	67	3347.60	11	0.0043	31.0359	32
s2	59	6111.30	20	0.0087	61.8943	62
s3	57	6111.30	26	0.0088	62.6829	63
s4	56	6111.30	32	0.0089	63.8997	64
s5	55	6238.16	38	0.0091	65.0463	66

Dalam pelaksanaan, kabel akan mengalami lendutan (melengkung) akibat berat sendiri. Namun dalam analisa dianggap lurus dengan memberikan faktor koreksi pada E (Modulus Elastisitas) dengan persamaan sebagai berikut (H-J Ernst)

$$E_{eff} = \frac{E_0}{1 + \frac{(\gamma L)^2}{12\sigma^3} \cdot E_0}$$

Dimana :

E_{eff} = modulus elastisitas ekivalen

E_0 = modulus elastisitas kabel

$$= 2 \cdot 10^5 \text{ MPa}$$

γ = berat jenis kabel

$$= 77 \text{ kN/m}^3$$

$$= 77 \cdot 10^{-6} \text{ N/mm}^3$$

L = jarak titik gantung kabel (mm)

σ = tegangan tarik kabel

$$= 0,45 \cdot f_u$$

$$= 837 \text{ N/mm}^2$$

Perhitungan modulus elastisitas ekivalen kabel

Kabel m2, $L = 34,41 \text{ m}$, $\theta = 54^\circ$

$$E_{eff} = \frac{200000}{1 + \frac{(77 \cdot 10^{-6} \times 34410)^2}{12 \times 837^3}} \times 200000$$

$$E_{eff} = 199960 \text{ MPa}$$

Perhitungan nilai modulus elatisitas efektif ekivalen selengkapnya dapat dilihat pada Tabel 4.5

Tabel 4. 5. Nilai modulus elastisitas ekivalen kabel

No	θ	L	Eeq
	(°)	(m)	(MPa)
m1	67	27.77	199974.01
m2	54	34.41	199960.10
m3	46	42.09	199940.31
m4	41	50.33	199914.66
m5	37	58.9	199883.14
m6	34	67.68	199845.73
m7	32	76.59	199802.49
m8	30	85.59	199753.40
m9	29	94.65	199698.51
m10	28	103.77	199637.72
m11	27	112.92	199571.16
m12	27	116.73	199541.80
s1	67	27.77	199974.01
s2	59	38.59	199949.82
s3	57	47.76	199923.15
s4	56	57.36	199889.17
s5	55	66.9	199849.27

Dari tabel 4.5 dapat dilihat bahwa koreksi modulus elastisitas yang terjadi sangat kecil, sehingga dapat diabaikan. Hal ini berarti lendutan yang terjadi akibat berat sendiri kabel sangat kecil, sehingga dapat dianggap sebagai kabel lurus.

4.3.3 Dimensi Pylon

Besarnya dimensi *pylon* diperkirakan berdasar nilai jumlah gaya aksial tekan kabel untuk satu sisi kolom vertikal.

- 1) Material *pylon* = beton bertulang
- 2) f_c' = 50 Mpa
- 3) f_y = 400 Mpa

Besarnya gaya yang terjadi pada *pylon* akibat kabel dapat dilihat pada Tabel 4.6

Tabel 4. 6. Gaya Aksial pada Pylon

No	θ (°)	T (kN)
m1	67	6695.20
m2	54	4074.20
m3	46	4074.20
m4	41	4074.20
m5	37	4074.20
m6	34	4074.20
m7	32	4074.20
m8	30	4074.20
m9	29	4074.20
m10	28	4074.20
m11	27	3025.84
m12	26	9450.48
s1	67	6695.20
s2	59	12222.60
s3	57	12222.60
s4	56	12222.60
s5	55	12476.32
$\sum T$	=	111678.64

Dimensi *pylon* :

$$A = \frac{\sum T}{f'_c}$$

Untuk mengantisipasi momen yang timbul pada pylon, maka f'_c yang digunakan dalam prelim ini dikalikan dengan 30%.

$$\begin{aligned} &= \frac{106368 \times 10^3}{0,3 \times 50} \\ &= 7091200 \text{ mm}^2 \\ &= 70912 \text{ cm}^2 \end{aligned}$$

Luas Penampang direncanakan :

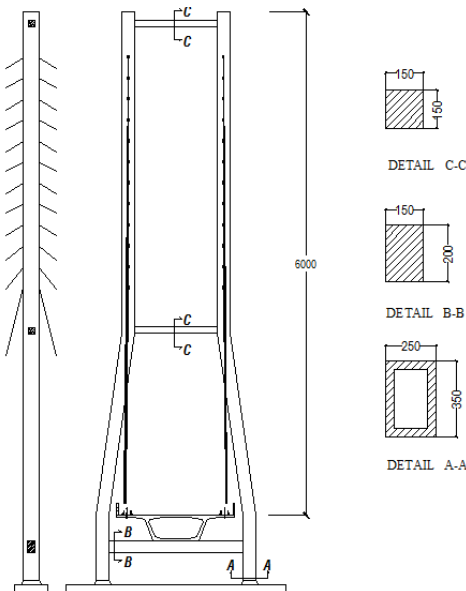
$$\begin{aligned} A &= b \cdot (1,5 \cdot b) \\ &= 1,5 \cdot b^2 \end{aligned}$$

$$\begin{aligned} b &= \sqrt{\frac{A}{1,5}} \\ &= \sqrt{\frac{67095,33}{1,5}} \\ &= 222,8 \text{ cm} \approx 250 \text{ cm} \end{aligned}$$

$$\begin{aligned} h &= 1,5 \cdot 222,8 \text{ cm} \\ &= 334,2 \text{ cm} \approx 350 \text{ cm} \end{aligned}$$

Maka digunakan dimensi *pylon* $b = 250 \text{ cm}$ dan $h = 350 \text{ cm}$

Untuk lebih jelasnya lihat Gambar 4.12.



Gambar 4. 12. Dimensi Penampang Pylon (satuan dalam cm)

4.3.4 Analisa Pembebaan

A. Beban Mati (DL)

Terdiri dari berat sendiri gelagar dan beban mati tambahan.

Berat sendiri gelagar

$$\begin{aligned}
 q &= A \times B_j \text{ beton} \\
 &= 6,455 \text{ m}^2 \times 24 \text{ kN/m}^3 \dots SNI 1725-2016 \\
 &= 155 \text{ kN/m}
 \end{aligned}$$

Sedangkan beban mati tambahan terdiri dari :

Berat aspal

$$\begin{aligned}
 qu &= \text{tebal aspal} \times \text{bj aspal} \times \text{lebar jalan} \\
 &= 0,05 \text{ m} \times 22 \text{ kN/m}^3 \times 8,1 \text{ m} \dots SNI 1725-2016 \\
 &= 8,91 \text{ kN/m}
 \end{aligned}$$

Berat air hujan 2 cm

$$\begin{aligned}
 \text{qu} &= \text{tinggi air hujan} \times \text{bj air} \times \text{lebar jalan} \\
 &= 0,02 \text{ m} \times 10 \text{ kN/m}^3 \times 8,1 \text{ m} \dots \text{RSNI T-02-2005} \\
 &= 1,62 \text{ kN/m}
 \end{aligned}$$

Berat railing dan kerb

$$\text{q} = 1,4 \text{ kN/m}$$

Berat trotoar pejalan kaki

$$\text{q} = 16 \text{ kN/m} \dots \text{RSNI T-02-2005}$$

B. Beban Hidup (LL)

Terdiri dari beban terbagi rata (BTR) dan beban garis terpusat (BGT).

Beban Terbagi Rata (BTR)

$$\begin{aligned}
 \text{BTR} &= 9 \times (0,5+15/L) \text{ kN/m}^2 \dots \text{SNI 1725-2016} \\
 &= 9 \times (0,5+15/144) \\
 &= 5,44 \text{ kN/m}^2 \\
 \text{qu} &= 5,44 \text{ kN/m}^2 \times \text{lebar jalan} \\
 &= 5,44 \text{ kN/m}^2 \times 8,1 \text{ m} \\
 &= 44,1 \text{ kN/m}
 \end{aligned}$$

Beban Garis Terpusat (BGT)

$$\begin{aligned}
 \text{BGT} &= 49 \text{ kN/m} \dots \text{SNI 1725-2016} \\
 \text{qu} &= \text{BGT} \times (1+FBD) \times \text{lebar jalan} \\
 &= 49 \text{ kN/m} \times (1+30\%) \times 8,1 \text{ m} \\
 &= 516 \text{ kN}
 \end{aligned}$$

C. Beban Rem (TB)

Berdasarkan SNI 1725-2016 gaya rem harus diambil yang terbesar dari:

- 25% dari berat gandar truk desain
- $$\begin{aligned}
 \text{qu} &= 0,25 \times 225 \text{ kN} \\
 &= 56,25 \text{ Kn}
 \end{aligned}$$

- 5% dari berat truk rencana ditambah beban BTR

$$q_u = 0,05 \times (500 \text{ kN} + (44,1 \text{ kN/m} \times 15 \text{ m}))$$

$$= 58 \text{ kN}$$

Maka diambil beban rem sebesar 58 kN yang di tempatkan di semua lajur rencana untuk bekerja secara horisontal pada jarak 1800 mm di atas permukaan jalan pada masing-masing arah longitudinal dan dipilih yang paling menentukan.

D. Beban Temperatur (EUn)

Berdasarkan SNI 1725-2016 besar rentang simpangan kibat beban temperatur harus didesain dari:

$$\Delta T = \alpha \cdot L(T_{\max} - T_{\min})$$

Dengan,

- L : panjang komponen jembatan (mm)
- α : koefisien muai temperature (mm/mm/°C), ditentukan pada tabel 4.7
- T_{\max} : temperatur jembatan rata-rata maksimum, ditentukan pada tabel 4.8
- T_{\min} : temperatur jembatan rata-rata minimum, ditentukan pada tabel 4.8

Maka,

$$\Delta T = 11 \cdot 10^{-6} \cdot 144 \cdot 10^3 (40^\circ\text{C} - 15^\circ\text{C}) = 39,6^\circ\text{C}$$

Tabel 4. 7. Sifat bahan rata-rata akibat pengaruh temperatur

Bahan	Nilai koefisien, α	Modulus Elastisitas (MPa)
Baja	12×10^{-6}	200.000
Beton		
-kuat tekan <30 MPa	10×10^{-6}	$4700\sqrt{f_c'}$
-kuat tekan >30 MPa	11×10^{-6}	

Tabel 4. 8. Temperatur jembatan rata-rata nominal

Tipe bangunan atas	Tmin	Tmax
Lantai beton di atas gelagar/ box beton	15°C	40°C
Lantai beton di atas gelagar,box, atau rangka baja	15°C	40°C
Lantai pelat baja di atas gelagar,box, atau rangka baja	15°C	45°C

E. Beban Angin (EW)

Pada perencanaan ini arah angin diasumsikan bekerja tegak lurus terhadap jembatan maupun kendaraan yang lewat di atasnya dan dihitung berdasarkan SNI 1725-2016.

Menentukan kecepatan angin rencana

Untuk jembatan atau bagian jembatan dengan elevasi lebih tinggi dari 10000 mm di atas permukaan tanah atau permukaan air, kecepatan angin rencana V_{DZ} harus dihitung dengan persamaan berikut:

$$V_{DZ} = 2,5 V_0 \left(\frac{V_{10}}{V_B} \right) \ln \left(\frac{Z}{Z_0} \right)$$

Dengan,

V_{DZ} : kecepatan angin rencana pada elevasi rencana, (km/jam)

- V_{10} : kecepatan angin pada elevasi 10000 mm di atas permukaan tanah atau di atas permukaan air rencana (km/jam)
- V_B : kecepatan angin rencana yaitu 90 hingga 126 km/jam pada elevasi 1000 mm
- Z : elevasi struktur diukur dari permukaan tanah atau dari permukaan air di mana beban angin rencana dihitung ($Z > 10000$ mm)
- V_0 : kecepatan gesekan angin, yang merupakan karakteristik meteorologi, sebagaimana ditentukan dalam Tabel 6.7, untuk berbagai macam tipe permukaan di hulu jembatan
- Z_0 : panjang gesekan di hulu jembatan, yang merupakan karakteristik meterologi, ditentukan pada Tabel 4.9.
- V_{10} diperoleh dari:
- Grafik kecepatan angin dasar untuk berbagai periode ulang.
 - Survei angin pada lokasi jembatan.
 - Jika tidak ada data yang lebih baik, perencana dapat mengasumsikan bahwa $V_{10} = V_B = 90$ s/d 126 km/jam.

Tabel 4. 9. Nilai V_0 dan Z_0

Kondisi	Lahan terbuka	Sub urban	Kota
V_0 (km/jam)	13,2	17,6	19,3
Z_0 (mm)	70	1000	2500

Karena jembatan terletak di daerah sub urban, maka:

$$V_{DZ} = 2,5 \times 17,6 \left(\frac{90}{90} \right) \ln \left(\frac{11000}{1000} \right) = 105,5 \text{ km/jam}$$

Beban angin pada struktur (EWs)

Tekanan angin rencana (MPa) dapat ditetapkan menggunakan persamaan sebagai berikut:

$$P_D = P_B \left(\frac{V_{DZ}}{V_B} \right)^2$$

Dengan,

P_B : tekanan angin dasar seperti ditentukan dalam Tabel 4.10

Tabel 4. 10. Tekanan angin dasar

Komponen bangunan atas	Angin tekan (MPa)	Angin hisap (MPa)
Rangka, kolom, dan pelengkung	0,0024	0,0012
Balok	0,0024	N/A
Permukaan datar	0,0019	N/A

Gaya total beban angin tidak boleh diambil kurang dari 4,4 kN/m pada bidang tekan dan 2,2 kN/m pada bidang hisap pada struktur rangka dan pelengkung, serta tidak kurang dari 4,4 kN/m pada balok atau gelagar.

$$P_D = 0,0024 \left(\frac{105,5}{90} \right)^2 = 0,0033 \text{ N/mm}^2$$

$$\begin{aligned} \text{EWs} &= P_D \times \text{tinggi gelagar} \\ &= 0,0033 \text{ N/mm}^2 \times 2100 \text{ mm} \\ &= 6,925 \text{ N/mm} \approx 6,925 \text{ kN/m} \end{aligned}$$

Karena EWs rencana lebih besar dari 4,4 kN/m, maka diambil EWs rencana yang sebesar 6,925 kN/m.

Gaya angin pada kendaraan (EW₁)

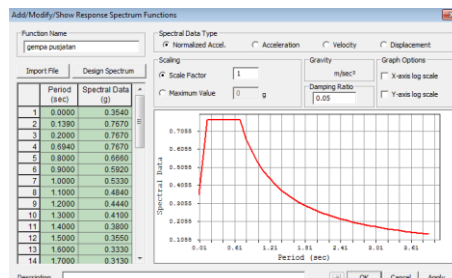
Jembatan harus direncanakan memikul gaya akibat tekanan angin pada kendaraan, di mana tekanan tersebut harus diasumsikan sebagai tekanan menerus sebesar 1,46 N/mm, tegak lurus dan bekerja 1800 mm di atas permukaan jalan.

F. Beban Gempa (EQ)

Untuk pembebanan gempa pada desain jembatan ini digunakan metode *response spectrum* dengan program bantu MIDAS/Civil. Berdasarkan RSNI 2833-201X, dapat dilihat posisi kota Solo dalam peta gempa 1000 tahun dengan kemungkinan terlampaui 7% dalam 75 tahun memiliki data sebagai berikut:

- Percepatan puncak di batuan dasar (PGA) : 0,3g
- Percepatan 0,2 detik di batuan dasar (S_s) : 0,6g
- Percepatan 1 detik di batuan dasar (S₁) : 0,3g

Berdasarkan data di atas dan data tanah yang diperoleh, maka didapatkan kelas situs tanah D yaitu tanah sedang. Parameter tersebut diinputkan ke dalam program bantu MIDAS/Civil untuk mendapatkan grafik *response spectrum*. Untuk lebih jelasnya lihat Gambar 4.13

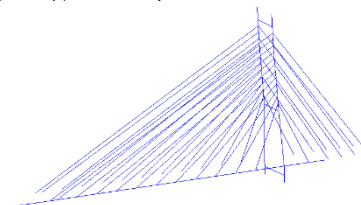


Gambar 4. 13. Grafik Response Spectrum MIDAS/Civil

1. Menghitung Koefisien Respons Gempa Elastik (C_{sm})

Nilai koefisien respons gempa elastik (C_{sm}) dihitung berdasarkan RSNI 2833-201X Ps. 5.4.2.

Arah X (Longitudinal)



Gambar 4. 14. Vibration mode shape pada mode 1 menunjukkan lentur arah X

Diketahui :

$$T_{\text{output MIDAS}} = 1,26 \text{ sec} \text{ (mode 1)}$$

$$T_0 = 0,139 \text{ sec}$$

$$T_s = 0,694 \text{ sec}$$

Sehingga $T_{\text{output MIDAS}} > T_s$, maka digunakan persamaan ke 3 pada RSNI 2833-201X Ps. 5.4.2.

$$C_{sm} = \frac{SD1}{T} = \frac{0,533}{1,26} = 0,423$$

Maka dapat dihitung gaya geser dasar seismik (V) berdasarkan RSNI 2833-201X Ps. 5.1 dengan persamaan berikut :

$$V_{\text{statik}} = \frac{C_{sm}}{R} \times Wt$$

Dimana :

C_{sm} = koefisien respons gempa elastik pada moda getar

W_t = berat total struktur

R = faktor modifikasi respons = 1,5 (kesepakatan komisi keselamatan jembatan dan terowongan jalan)

Nilai W_t (berat total struktur) didapat dari jumlah reaksi perletakan arah vertikal pada MIDAS, didapat :

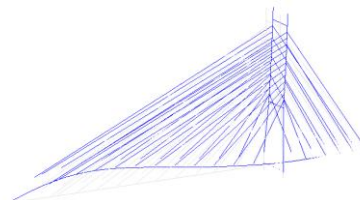
$$W_t = 43397,68 \text{ kN}$$

Sehingga

$$V_{statik} = \frac{0,423}{1,5} \times 43397,68 = 12238,15 \text{ kN}$$

$$0,85 V_{statik} = 0,85 \times 12238,15 = 10402,43 \text{ kN}$$

Arah Y (Transversal)



Gambar 4. 15. Vibration mode shape pada mode 2 menunjukan lentur arah Y

Diketahui :

$$T_{output MIDAS} = 1,19 \text{ sec (mode 2)}$$

$$T_0 = 0,139 \text{ sec}$$

$$T_s = 0,694 \text{ sec}$$

Sehingga $T_{output MIDAS} > T_s$, maka digunakan persamaan ke 3 pada RSNI 2833-201X Ps. 5.4.2.

$$C_{sm} = \frac{SD1}{T} = \frac{0,533}{1,19} = 0,45$$

Maka dapat dihitung gaya geser dasar seismik (V) berdasarkan RSNI 2833-201X Ps. 5.1 dengan persamaan berikut :

$$V_{\text{statik}} = \frac{C_{sm}}{R} \times Wt$$

Dimana :

C_{sm} = koefisien respons gempa elastik pada moda getar

Wt = berat total struktur

R = faktor modifikasi respons = 3 (kesepakatan komisi keselamatan jembatan dan terowongan jalan)

Nilai Wt (berat total struktur) didapat dari jumlah reaksi perletakan arah vertikal pada MIDAS, didapat :

$$Wt = 43397,68 \text{ kN}$$

Sehingga

$$V_{\text{statik}} = \frac{0,45}{3} \times 43397,68 = 6479,26 \text{ kN}$$

$$0,85 V_{\text{statik}} = 0,85 \times 6479,26 = 5507,37 \text{ kN}$$

2. Kontrol Pengaruh Gempa

Arah X (Longitudinal)

Pada bangunan atas jembatan pengaruh gempa harus direduksi, untuk gempa pada struktur jembatan arah X memiliki faktor modifikasi respons (R) yang lebih kecil dari gempa pada struktur jembatan arah Y, hal ini terjadi karena pada arah longitudinal tidak boleh ada struktur yang leleh.

Pada arah X diambil nilai $R = R_{\text{statik}} = 1,5$, sehingga pada respons spektrum MIDAS nilai *scale factor* diubah menjadi = 0,66.

Kemudian dicari nilai V_{dinamik} akibat gempa arah X dengan menjumlah semua reaksi geser arah X pada semua perletakan

Didapat nilai V_{dinamik} arah X = 9693,7 kN

Dikarenakan *base shear* dari perhitungan dinamis lebih kecil daripada perhitungan statis, maka gaya gempa yang ada harus dikalikan dengan faktor skala agar besarnya *base shear* gempa dinamis minimal sebesar 85% *base shear* perhitungan statik. Besarnya faktor skala untuk gempa arah x sebesar $0,85 \times 12238,15 / 9693,7 = 1,07 \approx 1,1$

Sehingga terkontrol OK karena V_{dinamik} arah X > $0,85 V_{\text{statik}}$

Arah Y (Transversal)

Pada bangunan atas jembatan pengaruh gempa harus dire-duksi, untuk gempa pada struktur jembatan arah Y memiliki faktor modifikasi respons (R) yang lebih besar dari gempa pada struktur jembatan arah X, hal ini terjadi karena pada arah transversal boleh ada struktur yang leleh, seperti balok pengaku pada *pylon*.

Pada arah Y diambil nilai R = 3, sehingga pada respons spektrum MIDAS nilai *scale factor* diubah menjadi $1/3 = 0,333$.

Kemudian dicari nilai V_{dinamik} akibat gempa arah Y dengan menjumlah semua reaksi geser arah Y pada semua perletakan

Didapat nilai V_{dinamik} arah Y = 3557,65 kN

Dikarenakan *base shear* dari perhitungan dinamis lebih kecil daripada perhitungan statis, maka gaya gempa yang ada harus dikalikan dengan faktor skala agar besarnya *base shear* gempa dinamis minimal sebesar 85% *base shear* perhitungan statik. Besarnya faktor skala untuk gempa arah Y sebesar $0,85 \times 6479,26 / 3557,65 = 1,54 \approx 1,6$

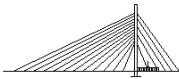
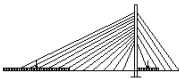
Sehingga terkontrol OK karena $V_{\text{dinamik}} \text{ arah Y} > 0,85 V_{\text{statik}}$

G. Kombinasi Pembebanan

- Kuat 1 = $1,2DL + 2SDL + 1,8LL_i + 1,8TB_i + 1,2EUn$
- Kuat 3 = $1,2DL + 2SDL + 1,4EW_S + 1,2EUn$
- Ekstrem1 = $1,2DL + 2SDL + 0,5LL_i + 0,5TB_i + EQ_x + 0,3EQ_y$
- Ekstrem2 = $1,2DL + 2SDL + 0,5LL_i + 0,5TB_i + 0,3EQ_x + EQ_y$
- Layan1 = $DL + SDL + LL_i + TB_i + 0,3EW_S + EW_L + 1,2EUn$
- Layan 2 = $DL + SDL + 1,3LL_i + 1,3TB_i + 1,2EUn$
- Layan 4 = $DL + SDL + 0,7EW_S + 1,2EUn$

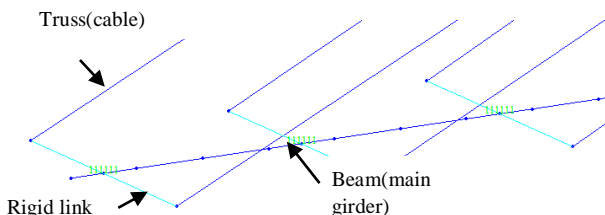
Untuk *Load Factor* masing-masing beban mengacu pada SNI 1725-2016 dan RSNI 2833-201X, sedangkan untuk konfigurasi pembebanan LL dan EW_L mengacu pada Peraturan Kementerian Pekerjaan Umum Nomor 08/SE/M/2015 tentang “Perencanaan Jembatan Beruji Kabel” yang dapat dilihat pada Tabel 4.11.

Tabel 4. 11. Konfigurasi pembebanan LL

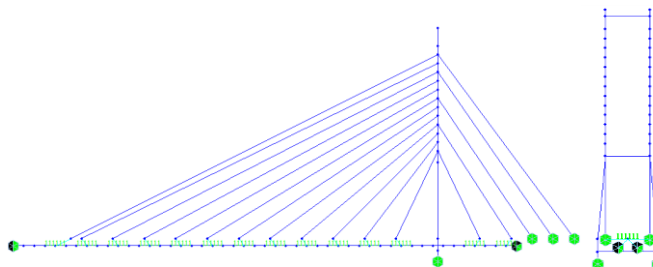
KONFIGURASI	GAMBAR
1	
2	
3	
4	
5	

4.3.5 Permodelan

Permodelan dilakukan dengan program bantu MIDAS/Civil dalam model 3D. Dimana elemen kabel dimodelkan sebagai elemen *truss* yang dihubungkan dengan *rigid link support*, sedangkan *main girder* dimodelkan sebagai elemen *beam*. Untuk lebih jelasnya lihat Gambar 4.16 dan 4.17.



Gambar 4. 16. Permodelan elemen jembatan



Gambar 4. 17. Tampak memanjang dan melintang permodelan

4.3.6 Analisa Struktur

Dari analisa dinamis struktur didapatkan hasil tiap mode yang dapat ditabelkan di bawah ini.

Tabel 4. 12. Periode struktur tiap mode shape

Mode No	Frequency		Period (sec)	Mode No	Frequency		Period (sec)
	(rad/sec)	(cycle/sec)			(rad/sec)	(cycle/sec)	
1	4.962312	0.789776	1.266181	21	49.48777	7.876223	0.126964
2	5.26588	0.838091	1.193188	22	58.31704	9.281445	0.107742
3	5.497243	0.874913	1.14297	23	59.61199	9.487543	0.105401
4	11.50204	1.830607	0.546267	24	61.59237	9.80273	0.102012
5	13.03088	2.07393	0.482176	25	61.61826	9.806851	0.10197
6	17.112	2.72346	0.36718	26	69.36905	11.040426	0.090576
7	17.7203	2.820273	0.354576	27	76.43621	12.1652	0.082202
8	18.87984	3.00482	0.332799	28	76.71627	12.209774	0.081902
9	20.80406	3.311069	0.302017	29	77.98658	12.41195	0.080568
10	22.99514	3.659791	0.27324	30	79.63332	12.674037	0.078901
11	24.59078	3.913744	0.25551	31	86.38763	13.749018	0.072732
12	25.36407	4.036816	0.24772	32	86.48849	13.765071	0.072648
13	30.77709	4.898325	0.204151	33	91.43167	14.551801	0.06872
14	34.32735	5.463367	0.183037	34	92.88207	14.78264	0.067647
15	35.69425	5.680917	0.176028	35	95.4061	15.184353	0.065857
16	36.62735	5.829424	0.171544	36	104.2861	16.597651	0.060249
17	38.87708	6.187479	0.161617	37	106.6659	16.976401	0.058905
18	42.07993	6.697229	0.149315	38	107.3231	17.081001	0.058545
19	48.16023	7.664938	0.130464	39	112.1111	17.843039	0.056044
20	48.32927	7.691842	0.130008	40	112.9387	17.974751	0.055634

Tabel 4. 13. Modal Participation masses (%)

Mode No	TRAN-X		TRAN-Y		Mode No	TRAN-X		TRAN-Y	
	MASS(%)	SUM(%)	MASS(%)	SUM(%)		MASS(%)	SUM(%)	MASS(%)	SUM(%)
1	0.00	0.00	29.82	29.82	11	0.00	31.74	0.45	82.31
2	1.21	1.21	0.00	29.82	12	33.50	65.23	0.00	82.31
3	0.00	1.21	45.17	74.99	13	0.00	65.23	0.01	82.32
4	0.00	1.21	0.00	74.99	14	0.00	65.24	0.00	82.32
5	6.68	7.89	0.00	74.99	15	0.34	65.57	0.00	82.32
6	0.00	7.89	6.87	81.86	16	0.00	65.57	0.07	82.39
7	23.56	31.45	0.00	81.86	17	15.92	81.49	0.00	82.39
8	0.15	31.60	0.00	81.86	18	0.00	81.49	3.40	85.78
9	0.00	31.60	0.00	81.86	19	0.00	81.49	2.65	88.43
10	0.14	31.74	0.00	81.86	20	0.00	81.49	1.02	89.45
Mode No	TRAN-X		TRAN-Y		Mode No	TRAN-X		TRAN-Y	
	MASS(%)	SUM(%)	MASS(%)	SUM(%)		MASS(%)	SUM(%)	MASS(%)	SUM(%)
21	2.59	84.08	0.00	89.45	31	0.00	86.79	0.99	90.49
22	2.04	86.12	0.00	89.45	32	0.00	86.79	0.00	90.49
23	0.00	86.12	0.00	89.45	33	0.00	86.79	1.50	91.99
24	0.26	86.38	0.00	89.45	34	0.16	86.95	0.00	91.99
25	0.00	86.38	0.00	89.45	35	0.00	86.95	0.01	92.00
26	0.40	86.77	0.00	89.45	36	0.00	86.95	0.00	92.00
27	0.00	86.77	0.02	89.48	37	0.00	86.95	0.84	92.84
28	0.01	86.79	0.00	89.48	38	2.70	89.65	0.00	92.84
29	0.00	86.79	0.03	89.51	39	0.00	89.65	0.00	92.84
30	0.00	86.79	0.00	89.51	40	2.42	92.07	0.00	92.84

Dari analisa statis dan dinamis terhadap struktur didapatkan gaya dalam tiap elemen yang dapat ditabelkan di bawah ini.

Tabel 4. 14. Hasil output gaya dalam dek

Load	Axial	Shear-y	Shear-z	Torsion	Moment-y	Moment-z
	(kN)	(kN)	(kN)	(kN·m)	(kN·m)	(kN·m)
ekstrem 1-2	31759.25	650.27	635.50	707.70	105558.23	14363.71
ekstrem 2-3	23371.50	2425.00	-5456.11	3333.69	31963.88	6.64
kuat 1-2	0.00	-14.66	-15893.39	-20.04	-46573.58	-43.97
ekstrem 2-3	-9545.94	1820.69	-2253.13	3689.52	-12548.06	66745.22
kuat 1-5	24289.03	-9.97	-1687.12	-331.66	158571.69	93.01
ekstrem 2-4	5945.69	111.55	2906.82	1230.55	5445.91	100779.31

Tabel 4. 15. Hasil output gaya dalam pylon

Elem	Load	Axial	Shear-y	Shear-z	Torsion	Moment-y	Moment-z
		(kN)	(kN)	(kN)	(kN·m)	(kN·m)	(kN·m)
kolom	kuat 1-1	-49659.68	501.95	4217.32	5734.11	-108821.71	-6486.31
	ekstrem 2-1	-39674.31	5267.52	3312.69	5279.35	-52336.81	22344.36
	kuat 1-2	-8859.89	81.23	-6767.93	-951.52	39711.85	-130.65
	kuat 1-2	-47443.78	-3857.33	4128.88	-6812.40	-94884.89	7906.00
	kuat 1-2	-49246.09	499.68	4198.44	5686.62	-108838.95	-6436.00
	ekstrem 2-1	-39987.52	-2158.11	3296.81	-3386.68	-59980.38	29180.26
balok	kuat 1-1	-3808.71	-23.30	335.93	72.74	-162.34	1358.79
	ekstrem 2-3	-73.49	251.47	2033.23	236.11	13118.27	1971.93
	ekstrem 2-3	-3349.47	196.94	3388.87	95.50	16865.26	2002.26
	ekstrem 2-3	-73.49	251.47	2033.23	236.11	13118.27	1971.93
	ekstrem 2-1	-3597.75	190.17	3378.35	115.75	16948.34	2118.36
	ekstrem 2-2	-3588.69	189.37	3379.02	117.57	16943.63	2119.16

Tabel 4. 16. Hasil output gaya kabel

Kabel	Gaya
m12	6692.12 kN
m11	9734.31 kN
m10	13015.19 kN
m9	10153.82 kN
m8	7880.63 kN
m7	6572.06 kN
m6	6864.06 kN
m5	7760.78 kN
m4	7455.06 kN
m3	6599.34 kN
m2	6349.39 kN
m1	6483.56 kN
s1	5422.42 kN
s2	11835.35 kN
s3	10211.87 kN
s4	12236.17 kN
s5	14010.40 kN

4.4 Staging Analysis

Metode pelaksanaan/*Staging Analysis* konstruksi jembatan *cable stayed* ini didesain dengan *cantilever method* dan dipengaruhi langsung oleh beban *form traveler* dengan *forward method*. Urutan pekerjaannya sebagai berikut:

1. Pengecoran *pylon* dan blok angkur dengan metode *cor in situ*
2. Pemasangan gelagar dimulai dari *pylon* dengan bantuan *crane* dan penyangga sementara
3. Pemasangan gelagar dan kabel dilakukan secara *balance* terlebih dahulu ke arah *main span* dan *side span* hingga sisi *side span* terpasang seluruhnya dengan bantuan *form traveller*
4. Pemasangan gelagar dan kabel dilanjutkan ke arah *main span* dengan bantuan *form traveller* hingga selesai
5. Beban yang bekerja saat pelaksanaan hanya berat gelagar dan *form traveller*, sedangkan beban servis baru bekerja saat pelaksanaan selesai

Sedangkan untuk metode analisisnya dilakukan dengan metode *demolishing procedure* melalui *backward solution*. Dimulai dari keadaan final jembatan dilanjutkan dengan melepas bagian per bagian hingga sampai pada keadaan awal pada metode pelaksanaan. Semua tahapan tersebut di-input-kan kedalam program bantu MIDAS/Civil sehingga didapat hasil gaya per tahapan analisa.

4.4.1 Pembebanan Staging Analysis

Pada saat pelaksanaan *staging analysis* beban *deck* jembatan akan dipikul oleh *form traveler* yang kemudian akan disalurkan pada jembatan. Untuk konfigurasi pembebanan dapat dilihat pada Tabel 4.17 berikut ini.

Tabel 4. 17. Konfigurasi pembebanan untuk staging analysis

Kasus	Konfigurasi Beban
1	<i>DL + Form Traveler</i>

Beban yang dipikul selama tahap pelaksanaan adalah:

- Berat sendiri gelagar per segmen (3m)

$$\begin{aligned} qu &= A \times B_j \text{ beton} \times \lambda \times LF \dots SNI 1725-2016 \\ &= 6,455 \text{ m}^2 \times 24 \text{ kN/m}^3 \times 3 \text{ m} \times 1,2 \\ &= 560 \text{ kN} \end{aligned}$$
- Beban *form traveler* tipe *overhead triangle* berdasarkan produk Hangzhou Nante Machinery Co.Ltd.

$$\begin{aligned} qu &= 1000 \text{ kN} \times LF \dots SNI 1725-2016 \\ &= 1000 \text{ kN} \times 1,25 \\ &= 1250 \text{ kN} \end{aligned}$$

Total beban per segmen saat *staging* sebesar 1810 kN

Spesifikasi *form traveler* yang akan digunakan dalam *staging analysis* mengikuti spesifikasi Hangzhou Nante Machinery Co.Ltd. yang dapat dilihat pada Tabel 4.18 dan Gambar 4.18.

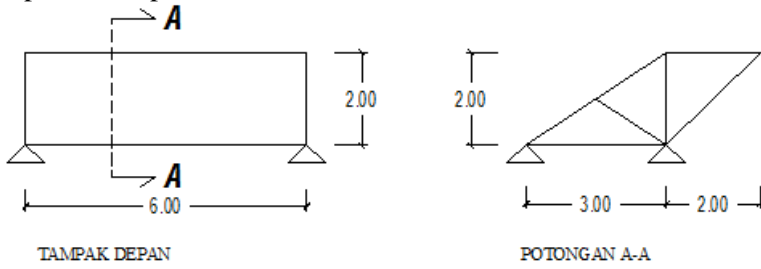
Tabel 4. 18. Spesifikasi Form Traveler Tipe Overhead Triangle

Description	Specification
Model	Shuangpeng
Capacity	≤ 130 ton
Segmen Length	≤ 5 m
Deck Width	≤ 35 m
Bridge Type	Balanced Cantilever or Cable Stay
Launching Mechanism	Mechanical or Hydraulic

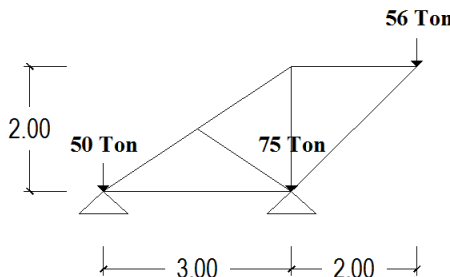


Gambar 4. 18. Contoh form traveler yang dipakai

Sebelum beban *staging analysis* diinputkan pada program MIDAS/CIVIL V2011, lebih dahulu dilakukan analisa distribusi beban dari *form traveler* ke gelagar dengan menggunakan program bantu SAP 2000 V14.2.2. Berikut ilustrasi analisa yang dapat dilihat pada Gambar 4.19 dan 4.20.



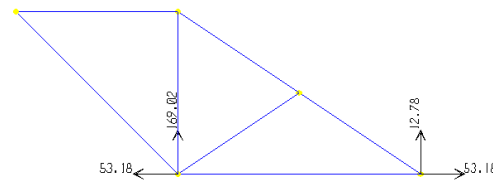
Gambar 4. 19. Spesifikasi form traveler (dalam m)



Gambar 4. 20. Permodelan dan input beban pada form traveler

Dalam permodelan dan input beban pada *form traveler* ini, berat sendiri profil baja diabaikan, sehingga beban yang dianalisa hanya sebesar 1810 kN dari perhitungan sebelumnya, yang meliputi berat sendiri *form traveler* dan berat *deck* per segmen pengangkatan (dengan panjang segmen 3m).

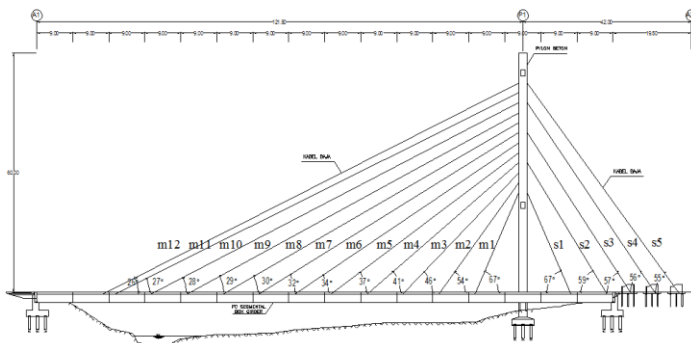
Dari analisa menggunakan SAP 2000 V14.2.2 didapatkan hasil analisa untuk reaksi dari *form traveler* akibat beban rencana yang akan diinputkan ke program MIDAS/CIVIL sebagai beban pelaksanaan. Untuk lebih jelasnya dapat dilihat pada Gambar 4.21.



Gambar 4. 21. Hasil analisa reaksi pada form traveler (dalam ton)

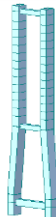
4.4.2 Tahapan Staging Analysis

Berikut adalah urutan pelaksanaan *staging analysis* dengan program bantu MIDAS/Civil. Dimana urutan pelaksanaan di lapangan sama dengan urutan analisisnya, namun pelaksanaan di lapangan menggunakan *forward method* sedangkan analisisnya menggunakan *backward solution*. Sebelumnya dilakukan penomoran terlebih dahulu terhadap kabel dan gelagar. Untuk lebih jelasnya lihat Gambar 4.22.



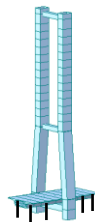
Gambar 4. 22. Penomoran kabel dan gelagar

1. Pembangunan jembatan dimulai dari struktur *pylon*.



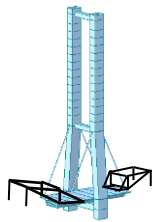
Gambar 4. 23 Cycle 1

2. Pemasangan gelagar g0 dan g1 menggunakan *crane* dan disangga di atas perancah sementara.



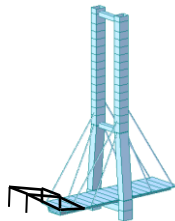
Gambar 4. 24. Cycle 2

3. Pemasangan kabel m1 dan s1



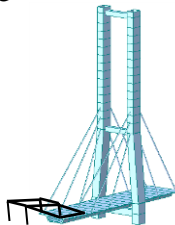
Gambar 4. 25. Cycle 3

4. Pemasangan gelagar g2 dan kabel m2 serta s2



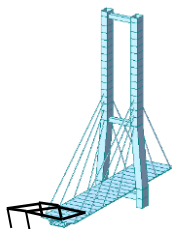
Gambar 4. 26. Cycle 4

5. Pemasangan gelagar g3 dan kabel m3



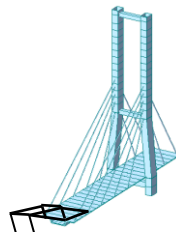
Gambar 4. 27. Cycle 5

6. Pemasangan gelagar g4 dan kabel m4



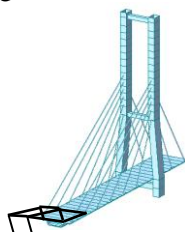
Gambar 4. 28. Cycle 6

7. Pemasangan gelagar g5 dan kabel m5



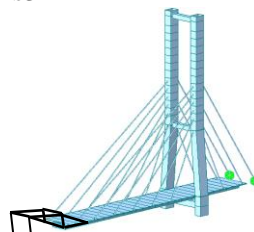
Gambar 4. 29. Cycle 7

8. Pemasangan gelagar g6 dan kabel m6



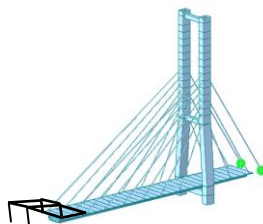
Gambar 4. 30. Cycle 8

9. Pemasangan kabel s3



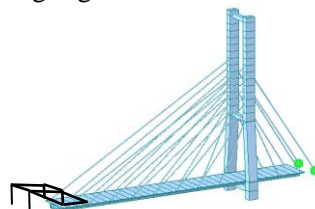
Gambar 4. 31. Cycle 9

10. Pemasangan gelagar g7 dan kabel m7



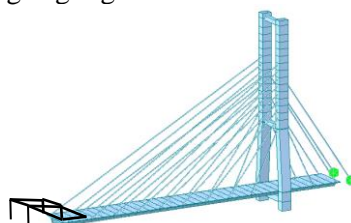
Gambar 4. 32. Cycle 10

11. Pemasangan gelagar g8 dan kabel m8



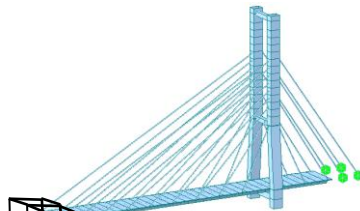
Gambar 4. 33. Cycle 11

12. Pemasangan gelagar g9 dan kabel m9



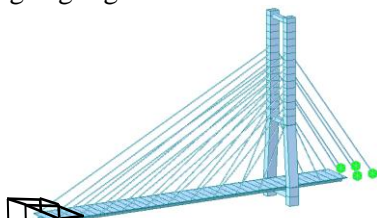
Gambar 4. 34. Cycle 12

13. Pemasangan kabel s4



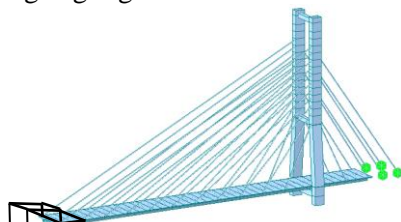
Gambar 4. 35. Cycle 13

14. Pemasangan gelagar g10 dan kabel m10



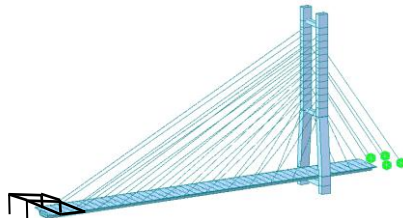
Gambar 4. 36. Cycle 14

15. Pemasangan gelagar g11 dan kabel m11



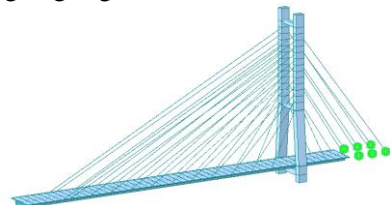
Gambar 4. 37. Cycle 15

16. Pemasangan gelagar g12 dan kabel m12



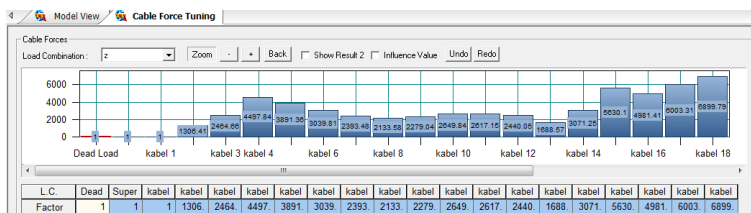
Gambar 4. 38. Cycle 16

17. Pemasangan gelagar g13 dan kabel s5

Gambar 4. 39. Tahap akhir *staging*

4.4.3 Tuning Kabel Awal

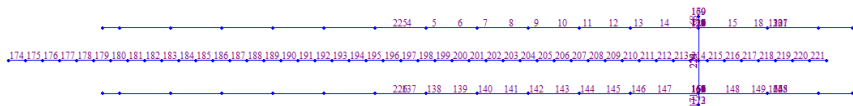
Merupakan langkah awal untuk mengetahui besarnya gaya tarik pada kabel yang dibutuhkan sesuai dengan beban yang dipikul. Metode yang digunakan dengan cara *unknown load factor* pada tiap kabel yang telah diberi gaya pretension awal 1 per satuan gaya. Setelah di *run* dengan beberapa kali *trial and error*, didapatkan besarnya gaya kabel awal pada menu *cable force tuning*. Untuk lebih jelasnya lihat Gambar 4.40.



Gambar 4. 40. Hasil cable force tuning dengan beban mati

Dengan memasukkan hasil *cable force tuning* di atas pada masing-masing kabel, maka dapat dilanjutkan dengan *staging analysis* berdasarkan tahapan di bab sebelumnya. Berikut adalah hasil output MIDAS/CIVIL *staging analysis* yang berupa gaya dalam pada dek dan *displacement* nya serta gaya dalam pada pylon dan kabel.

4.4.4 Hasil staging analysis



Gambar 4. 41. Penomoran elemen dek

Tabel 4. 19. Hasil output gaya dalam dek pada staging analysis

Element	Load	Stage	Aksial (kN)	Shear (kN)	Moment (kN·m)
214	Summation	CS47	-23892.17	12637.33	29528.22
214	Summation	CS47	-23892.17	13117.10	-9103.41
213	Summation	CS47	-2232.43	-2273.39	59142.42



Gambar 4. 42. Penomoran node dek

Tabel 4. 20. Hasil output displacement dek pada *staging analysis*

Node	Load	Stage	Step	DX (m)	DY (m)	DZ (m)	Node	Load	Stage	Step	DX (m)	DY (m)	DZ (m)
145	Summation	Min/Max	max	0.00	0.00	0.56	169	Summation	Min/Max	max	0.01	0.00	0.28
			min	0.00	0.00	-0.01				min	-0.01	0.00	-0.01
146	Summation	Min/Max	max	0.00	0.00	0.67	170	Summation	Min/Max	max	0.01	0.00	0.25
			min	-0.01	0.00	-0.01				min	-0.01	0.00	-0.01
147	Summation	Min/Max	max	0.00	0.00	0.72	171	Summation	Min/Max	max	0.01	0.00	0.23
			min	-0.01	0.00	-0.01				min	-0.01	0.00	-0.01
148	Summation	Min/Max	max	0.00	0.00	0.76	172	Summation	Min/Max	max	0.01	0.00	0.20
			min	-0.01	0.00	0.01				min	-0.01	0.00	-0.01
149	Summation	Min/Max	max	0.01	0.00	0.80	173	Summation	Min/Max	max	0.01	0.00	0.17
			min	-0.02	0.00	-0.01				min	-0.01	0.00	-0.01
150	Summation	Min/Max	max	0.01	0.00	0.81	174	Summation	Min/Max	max	0.01	0.00	0.16
			min	-0.02	0.00	0.00				min	-0.01	0.00	-0.01
151	Summation	Min/Max	max	0.01	0.00	0.76	175	Summation	Min/Max	max	0.01	0.00	0.13
			min	-0.02	0.00	0.00				min	-0.01	0.00	-0.01
152	Summation	Min/Max	max	0.01	0.00	0.71	176	Summation	Min/Max	max	0.01	0.00	0.11
			min	-0.02	0.00	0.00				min	-0.01	0.00	-0.01
153	Summation	Min/Max	max	0.01	0.00	0.66	177	Summation	Min/Max	max	0.01	0.00	0.09
			min	-0.02	0.00	0.01				min	-0.01	0.00	-0.01
154	Summation	Min/Max	max	0.01	0.00	0.61	178	Summation	Min/Max	max	0.01	0.00	0.08
			min	-0.02	0.00	0.01				min	-0.01	0.00	-0.01
155	Summation	Min/Max	max	0.01	0.00	0.56	179	Summation	Min/Max	max	0.01	0.00	0.06
			min	-0.02	0.00	0.01				min	-0.01	0.00	-0.01
156	Summation	Min/Max	max	0.01	0.00	0.56	180	Summation	Min/Max	max	0.01	0.00	0.04
			min	-0.01	0.00	0.01				min	-0.01	0.00	-0.01
157	Summation	Min/Max	max	0.01	0.00	0.52	181	Summation	Min/Max	max	0.01	0.00	0.03
			min	-0.01	0.00	0.01				min	0.00	0.00	-0.01
158	Summation	Min/Max	max	0.01	0.00	0.50	182	Summation	Min/Max	max	0.01	0.00	0.02
			min	-0.01	0.00	0.01				min	0.00	0.00	-0.01
159	Summation	Min/Max	max	0.01	0.00	0.51	183	Summation	Min/Max	max	0.01	0.00	0.01
			min	-0.01	0.00	0.01				min	0.00	0.00	-0.01
160	Summation	Min/Max	max	0.01	0.00	0.47	184	Summation	Min/Max	max	0.01	0.00	0.00
			min	-0.01	0.00	0.01				min	0.00	0.00	-0.01
161	Summation	Min/Max	max	0.01	0.00	0.44	185	Summation	Min/Max	max	0.01	0.00	0.00
			min	-0.01	0.00	0.01				min	0.00	0.00	0.00
162	Summation	Min/Max	max	0.01	0.00	0.40	186	Summation	Min/Max	max	0.01	0.00	0.00
			min	-0.01	0.00	0.00				min	0.00	0.00	0.00
163	Summation	Min/Max	max	0.01	0.00	0.37	187	Summation	Min/Max	max	0.01	0.00	0.01
			min	-0.01	0.00	0.00				min	0.00	0.00	0.00
164	Summation	Min/Max	max	0.01	0.00	0.35	188	Summation	Min/Max	max	0.01	0.00	0.02
			min	-0.01	0.00	0.00				min	0.00	0.00	0.00
165	Summation	Min/Max	max	0.01	0.00	0.35	189	Summation	Min/Max	max	0.01	0.00	0.02
			min	-0.01	0.00	0.00				min	0.00	0.00	0.00
166	Summation	Min/Max	max	0.01	0.00	0.32	190	Summation	Min/Max	max	0.00	0.00	0.03
			min	-0.01	0.00	0.00				min	0.00	0.00	0.00
167	Summation	Min/Max	max	0.01	0.00	0.32	191	Summation	Min/Max	max	0.00	0.00	0.04
			min	-0.01	0.00	-0.01				min	0.00	0.00	0.00
168	Summation	Min/Max	max	0.01	0.00	0.31	192	Summation	Min/Max	max	0.00	0.00	0.00
			min	-0.01	0.00	-0.01				min	0.00	0.00	0.00

Tabel 4. 21. Hasil output gaya dalam pylon pada staging analysis

Element	Load	Stage	Axial (kN)	Shear-y (kN)	Shear-z (kN)	Torsion (kN·m)	Moment-y (kN·m)	Moment-z (kN·m)
kolom	Summation	CS2	-35170.5	-384.36	609.27	-578.78	-375.87	4661.32
		CS2	-34232.8	2745.88	609.27	620.79	1451.94	-5391.05
		CS2	-5792.7	60.4	-3133.99	-212.48	7834.99	328.88
		CS48	-13465.8	1005.47	-1045.90	-1956.92	40196.23	-2011.41
		CS48	-14403.5	265.19	-1045.90	-1824.49	43333.93	-1248.97
		CS2	-34232.8	2745.88	609.27	620.79	1451.94	-5391.05
balok	Summation	CS2	-2685.1	0.0	-317.2	0.0	-393.9	385.3
		CS2	2361.5	0.0	-570.0	0.0	-1882.8	42.0
		CS2	2361.5	0.0	-570.0	0.0	-1882.8	42.0
		CS9	-2275.2	0.0	-317.2	0.0	-431.1	594.3

Tabel 4. 22. Hasil output gaya kabel pada staging analysis

Kabel	Load	Stage	Force (kN)
m12	Summation	CS1	1049.77
m11	Summation	CS1	1875.06
m10	Summation	CS0	3596.94
m9	Summation	CS0	2858.59
m8	Summation	CS0	1973.93
m7	Summation	CS0	1391.03
m6	Summation	CS0	1168.71
m5	Summation	CS5	1147.79
m4	Summation	CS8	1523.10
m3	Summation	CS8	1545.94
m2	Summation	CS21	1600.38
m1	Summation	CS48	1993.47
s1	Summation	CS0	3015.80
s2	Summation	CS0	6113.11
s3	Summation	CS0	5499.27
s4	Summation	CS0	6467.62
s5	Summation	CS0	7287.66

4.5 Struktur Kabel

Struktur kabel merupakan salah satu struktur utama pada konstruksi jembatan *cable stayed*, karena struktur kabel akan memikul beban dari lantai kendaraan yang kemudian akan disalurkan ke *pylon* (menara).

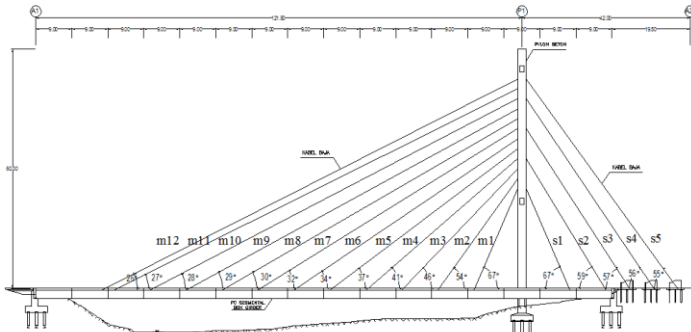
4.5.1 Data Perencanaan

Telah dijelaskan pada bab sebelumnya bahwa ada dua jenis kabel pararel *VSL 7-wire strand* yang dapat digunakan untuk desain jembatan kabel. Pada desain ini digunakan kabel yang spesifikasinya disesuaikan dengan persyaratan RSNI T-03-2005 pasal 12.6, yang menyatakan bahwa kabel pemikul utama yang dipergunakan untuk struktur-struktur jembatan kabel dan jembatan gantung harus dibuat dari material mutu tinggi dengan kuat tarik minimum 1800 N/mm^2 , maka dipakai kabel tipe ASTM A 416-06 Grade 270 dengan $f_{ijin} = 0,45f_u$ (Gimsing, 1983). Untuk lebih jelasnya lihat tabel 4.23 berikut.

Tabel 4. 23. Jenis Kabel dan Anker

Standard	ASTM A 416-06 Grade 270	Euronorme 138-3
\emptyset (mm)	15,2	15,7
A_s (mm^2)	140	150
f_u ($f_{ijin}=0,45f_u$)(Mpa)	1860 (837)	1770 (797)
Ukuran anker	7, 12, 19, 31, 37, 61, dan 91 strand	

Seperti yang telah dijelaskan pada bab sebelumnya, kabel bentang tepi diberi simbol “s” dan bentang tengah diberi simbol “m”. Penomoran kabel dimulai dari kabel yang terdekat dengan *pylon*. Untuk lebih jelasnya lihat Gambar 4.43. Sedangkan untuk jumlah strand awal dapat dilihat pada Tabel 4.24.



Gambar 4. 43. Tatatan sistem kabel

Tabel 4. 24. Kebutuhan preliminary jumlah kabel

No	θ ($^{\circ}$)	$W\lambda + P$ (kN)	a_i (m)	Asc (m ²)	n perlu (kabel)	n pasang (kabel)
m1	67	3347.60	11	0.0043	31.0359	32
m2	54	2037.10	20	0.0030	21.5374	22
m3	46	2037.10	29	0.0034	24.4687	25
m4	41	2037.10	38	0.0038	26.7999	27
m5	37	2037.10	47	0.0041	29.2373	30
m6	34	2037.10	56	0.0044	31.7228	32
m7	32	2037.10	65	0.0047	33.2794	34
m8	30	2037.10	74	0.0049	35.3281	36
m9	29	2037.10	83	0.0051	36.6774	37
m10	28	2037.10	92	0.0053	38.0994	39
m11	27	1512.92	101	0.0041	29.4104	30
m12	26	4725.24	104	0.0134	95.3974	96
s1	67	3347.60	11	0.0043	31.0359	32
s2	59	6111.30	20	0.0087	61.8943	62
s3	57	6111.30	26	0.0088	62.6829	63
s4	56	6111.30	32	0.0089	63.8997	64
s5	55	6238.16	38	0.0091	65.0463	66

4.5.2 Gaya Stressing Kabel

Dalam pelaksanaannya, setiap kabel diberi gaya tarik (*stressing*) terlebih dahulu sebelum dibebani. Hal ini dimaksudkan untuk mengatur posisi gelagar agar sesuai dengan

posisi akhir sebelum menerima beban hidup. Apabila gaya tarik ini tidak diberikan pada kabel, maka akan berdampak kurang baik pada gelagar, gelagar akan melendut terlebih dahulu sebelum menerima beban hidup, hal ini terjadi akibat deformasi kabel karena dibebani lantai kendaraan.

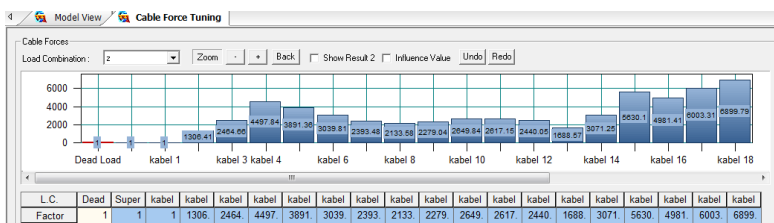
Dengan menggunakan program bantu MIDAS CIVIL dapat dianalisa besarnya gaya tarik setiap kabel tersebut dengan menggunakan menu *unknown load factors calculation*. Langkah-langkah dalam melakukan analisa gaya tarik kabel akan dijelaskan sebagai berikut :

1. Melakukan input gaya tarik sebesar 1 kN pada setiap kabel.
2. Memberi batasan deformasi untuk nodal pada lantai kendaraan. Hal ini dimaksudkan untuk memberikan input pada program, kondisi akhir yang direncanakan untuk lantai kendaraan. Besarnya batasan yang di masukkan dalam analisa adalah sebesar +0,01m dan -0,01m, yang berarti bahwa lantai kendaraan boleh melendut maksimal $\pm 0,01\text{m}$ pada kondisi akhir setelah dilakukan *stressing*.
3. Menentukan beban yang ikut mempengaruhi kondisi akhir sebelum diberi beban hidup. Beban tersebut adalah beban tetap dan beban *superimpose*.
4. Melakukan iterasi dengan program MIDAS CIVIL, program melakukan iterasi pada gaya tarik sebesar 1 kN yang sebelumnya telah diinputkan dalam program.
5. Hasil dari analisa berupa load factor untuk masing-masing kabel, hal ini berhubungan dengan menu *unknown load factors calculation*.

Hasil dari iterasi masing-masing gaya kabel dapat dilihat pada Tabel 4.25 dan Gambar 4.44 berikut ini.

Tabel 4. 25. Gaya tarik awal kabel

Kabel	Pretension
m12	1306 kN
m11	2464 kN
m10	4497 kN
m9	3891 kN
m8	3039 kN
m7	2393 kN
m6	2133 kN
m5	2279 kN
m4	2649 kN
m3	2617 kN
m2	2440 kN
m1	1688 kN
s1	3071 kN
s2	5630 kN
s3	4981 kN
s4	6003 kN
s5	6899 kN



Gambar 4. 44. Hasil cable force tuning dengan beban mati

Dari gaya tarik awal (*pre-tension*) tersebut dapat diperoleh kebutuhan *strand* dan luas penampang kabel. Untuk lebih jelasnya dapat dilihat pada Tabel 4.26 berikut ini.

Tabel 4. 26. Kebutuhan jumlah kabel akibat gaya tarik awal

Kabel	f ijin (MPa)	P (kN)	Asc pre (mm ²)	N pre (kabel)	A perlu (mm ²)	N perlu (kabel)	N pakai (kabel)	A pakai (mm ²)
m12	837	1306	4345	32	1560	11.1	12	1680
m11	837	2464	3015	22	2944	21.0	22	3080
m10	837	4497	3426	25	5373	38.4	43	6020
m9	837	3891	3752	27	4649	33.2	37	5180
m8	837	3039	4093	30	3631	25.9	31	4340
m7	837	2393	4441	32	2859	20.4	22	3080
m6	837	2133	4659	34	2548	18.2	19	2660
m5	837	2279	4946	36	2723	19.4	22	3080
m4	837	2649	5135	37	3165	22.6	31	4340
m3	837	2617	5334	39	3127	22.3	31	4340
m2	837	2440	4117	30	2915	20.8	22	3080
m1	837	1688	13356	96	2017	14.4	19	2660
s1	837	3071	4345	32	3669	26.2	31	4340
s2	837	5630	8665	62	6726	48.0	55	7700
s3	837	4981	8776	63	5951	42.5	43	6020
s4	837	6003	8946	64	7172	51.2	55	7700
s5	837	6899	9106	66	8243	58.9	61	8540

Kemudian A_{pakai} diinput pada MIDAS, dan didapatkan gaya kabel yang baru, diambil gaya-gaya maksimum dari semua kombinasi yang ada, untuk lebih jelasnya dapat dilihat pada Tabel 4.27 berikut ini.

Tabel 4. 27. Gaya maksimum tiap kabel

Kabel	Gaya
m12	6178.04 kN
m11	8628.99 kN
m10	11570.55 kN
m9	9617.04 kN
m8	7785.43 kN
m7	6673.19 kN
m6	6350.54 kN
m5	6646.31 kN
m4	7132.18 kN
m3	6880.05 kN
m2	6305.65 kN
m1	5371.22 kN
s1	3920.96 kN
s2	8459.84 kN
s3	7262.21 kN
s4	8797.56 kN
s5	10134.72 kN

Dari gaya-gaya maksimum tersebut dapat diperoleh kebutuhan *strand* dan luas penampang kabel yang sebenarnya. Untuk lebih jelasnya dapat dilihat pada Tabel 4.28 berikut ini.

Tabel 4. 28. Kebutuhan jumlah kabel akibat gaya tarik maksimum

Kabel	f_{ijin} (MPa)	P (kN)	Asc pre (mm ²)	N pre (kabel)	A perlu (mm ²)	N perlu (kabel)	N pakai (kabel)	A aktual (mm ²)
m12	837	6178	1680	12	7381	52.7	61	8540
m11	837	8629	3080	22	10309	73.6	85	11900
m10	837	11571	6020	43	13824	98.7	127	17780
m9	837	9617	5180	37	11490	82.1	91	12740
m8	837	7785	4340	31	9302	66.4	73	10220
m7	837	6673	3080	22	7973	56.9	61	8540
m6	837	6351	2660	19	7587	54.2	61	8540
m5	837	6646	3080	22	7941	56.7	73	10220
m4	837	7132	4340	31	8521	60.9	73	10220
m3	837	6880	4340	31	8220	58.7	61	8540
m2	837	6306	3080	22	7534	53.8	55	7700
m1	837	5371	2660	19	6417	45.8	61	8540
s1	837	3921	4340	31	4685	33.5	55	7700
s2	837	8460	7700	55	10107	72.2	127	17780
s3	837	7262	6020	43	8676	62.0	127	17780
s4	837	8798	7700	55	10511	75.1	127	17780
s5	837	10135	8540	61	12108	86.5	127	17780

4.5.3 Analisa Penampang Kabel dengan A_{aktual}

Setelah diperoleh nilai A_{aktual} dari perhitungan sebelumnya, nilai A_{aktual} dimasukkan dalam MIDAS CIVIL untuk memperoleh gaya kabel yang sesungguhnya. Berikut hasil analisa dapat dilihat pada Tabel 4.29 berikut ini.

Tabel 4. 29. Hasil analisa gaya tarik dari A_{aktual}

Kabel	Gaya
m12	6692.12 kN
m11	9734.31 kN
m10	13015.19 kN
m9	10153.82 kN
m8	7880.63 kN
m7	6572.06 kN
m6	6864.06 kN
m5	7760.78 kN
m4	7455.06 kN
m3	6599.34 kN
m2	6349.39 kN
m1	6483.56 kN
s1	5422.42 kN
s2	11835.35 kN
s3	10211.87 kN
s4	12236.17 kN
s5	14010.40 kN

Dari hasil tabel diatas didapatkan nilai gaya tarik kabel yang sesungguhnya, kemudian akan dicek dengan A_{aktual} . Apabila kabel dengan desain A_{aktual} tersebut mampu untuk menahan gaya kabel P, maka penampang kabel memenuhi syarat. Berikut akan ditunjukkan contoh perhitungannya.

Kabel S₅ :

$$\begin{aligned}
 A_{S_{aktual}} &= 17780 \text{ mm}^2 \\
 P_n &= f_{ijin} \cdot A_{Spakai} \\
 &= 0,837 \text{ kN/mm}^2 \cdot 17780 \text{ mm}^2 \\
 &= 14881,86 \text{ kN} \\
 P &= 14010,4 \text{ kN} \\
 \text{Maka, } P_n &> P \dots (\text{memenuhi})
 \end{aligned}$$

Untuk perhitungan kontrol kemampuan kabel dengan penampang pakai akibat gaya tarik yang terjadi lainnya dapat dilihat pada Tabel 4.30 berikut ini.

Tabel 4. 30. Kontrol kemampuan kabel dari As_{aktual}

Kabel	f_{ijin} (MPa)	A pakai (mm ²)	P_n (kN)	P (kN)	Kontrol (P < Pn)
m12	837	8540	7147.98	6692.12	ok
m11	837	11900	9960.30	9734.31	ok
m10	837	17780	14881.86	13015.19	ok
m9	837	12740	10663.38	10153.82	ok
m8	837	10220	8554.14	7880.63	ok
m7	837	8540	7147.98	6572.06	ok
m6	837	8540	7147.98	6864.06	ok
m5	837	10220	8554.14	7760.78	ok
m4	837	10220	8554.14	7455.06	ok
m3	837	8540	7147.98	6599.34	ok
m2	837	7700	6444.90	6349.39	ok
m1	837	8540	7147.98	6483.56	ok
s1	837	7700	6444.90	5422.42	ok
s2	837	17780	14881.86	11835.35	ok
s3	837	17780	14881.86	10211.87	ok
s4	837	17780	14881.86	12236.17	ok
s5	837	17780	14881.86	14010.40	ok

Dari hasil kontrol diatas dapat disimpulkan bahwa untuk kebutuhan luas penampang dan jumlah *strand* kabel yang dipakai sudah mampu untuk menahan gaya tarik maksimum yang terjadi.

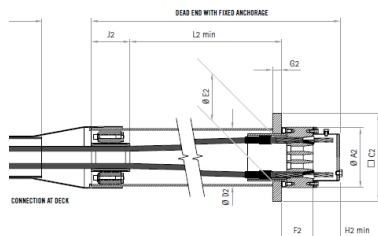
4.5.4 Analisa blok angkur pada *side span*

Angkur kabel dipasang sesuai jumlah strand dan gaya *stressing* nya yang telah dihitung. Perencanaan ini meliputi cek tegangan beton saat *stressing* serta kebutuhan tulangan pencar (*bursting*) dan tulangan pecah (*spalling*).

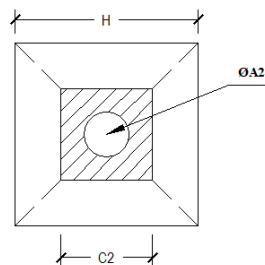
Berikut adalah nilai gaya tarik dan detail serta spesifikasi angker yang digunakan dapat dilihat pada Tabel 4.31 dan Tabel 4.32 serta Gambar 4.45 dan Gambar 4.46.

Tabel 4. 31. Gaya tarik A_{aktual} pada blok angkur

Kabel	Gaya
s3	10211.87 kN
s4	12236.17 kN
s5	14010.40 kN



Gambar 4. 45. Detail angker VSL SSI 2000 yang digunakan



Gambar 4. 46. Notasi dimensi angkur

Tabel 4. 32. Spesifikasi angker VSL SSI 2000 yang digunakan

Dead End **Stay Pipe**

TENDON UNIT	$\varnothing A2$ mm	C2 mm	$\varnothing B2$ mm	$\varnothing E2$ mm	F2 mm	G2 mm	H2 mm	I2 mm	L2 mm	$\varnothing A3$ mm	TENDON UNIT
6-12	185	260	177,8/4,5	150	105	35	105	160	900	125/4,9	6-12
6-19	230	335	219,1/6,3	190	120	50	105	180	1,200	140/5,4	6-19
6-22	250	355	219,1/6,3	205	120	50	105	210	1,350	160/6,2	6-22
6-31	280	415	244,5/6,3	230	145	60	105	210	1,550	180/6,2	6-31
6-37	300	455	273/6,3	255	170	70	105	210	1,750	180/5,6	6-37
6-43	340	505	323,9/7,1	285	175	75	105	210	2,000	200/6,2	6-43
6-55	380	550	323,9/7,1	310	195	75	105	260	2,050	200/6,2	6-55
6-61	380	585	355,6/8	330	215	85	105	260	2,250	225/7,0	6-61
6-73	430	650	406,4/8,8	370	215	95	120	290	2,450	250/7,8	6-73
6-85	430	685	406,4/8,8	370	245	110	120	290	2,600	250/7,8	6-85
6-91	480	730	457/10	420	255	110	120	320	2,800	280/8,7	6-91
6-109	495	775	457/10	420	265	120	120	320	3,000	315/9,8	6-109
6-127	550	845	508/11	475	315	130	120	340	3,350	315/9,8	6-127

Contoh perhitungan angkur kabel s5 dengan tendon 6-127

$$T = 14010 \text{ kN}$$

$$H = 900 \text{ mm}$$

$$\varnothing A2 = 670 \text{ mm}$$

$$A1 = H \times H = 8,1 \cdot 10^5 \text{ mm}^2$$

$$C2 = 845 \text{ mm}$$

$$A2 = (C1 \times C1) - \text{area } \varnothing B1 = 476442 \text{ mm}^2$$

Pemberian gaya tarik dilakukan pada saat beton berusia 14 hari dengan kuat tekan beton diperkirakan 85%fc'

$$fci = 85\% \times 50 \text{ MPa} = 42,5 \text{ MPa}$$

$$fcp = 0,8 \cdot fci \cdot \sqrt{\frac{A1}{A2} - 0,2}$$

$$= 0,8 \cdot 42,5 \cdot \sqrt{\frac{810000}{476442} - 0,2} = 41,6 \text{ MPa}$$

Tegangan di bawah plat angker

$$\begin{aligned} ft &= T/A_1 \\ &= 14010000 / 476442 = 29,4 \text{ MPa} \end{aligned}$$

Syarat, $ft < f_{cp} = 46,2 \text{ Mpa}$ (memenuhi)

Untuk kontrol angkur kabel lain dapat dilihat pada Tabel 4.33

Tabel 4. 33. Kontrol tegangan beton saat *stressing* pada kabel di blok angkur

Kabel	Angkur (strand)	Gaya (kN)	f_{cp} (Mpa)	ft (Mpa)	Kontrol ($ft < f_{cp}$)
s3	127	10211.87	41.64	21.43	OK
s4	127	12236.17	41.64	25.68	OK
s5	127	14010.40	41.64	29.40	OK

Perhitungan tulangan daerah pengangkuran berdasarkan SNI 03 2847-2002 Ps.20.13.3.2

Kebutuhan tulangan pencar

$$\begin{aligned} T_{\text{pencar}} &= 0,25 \cdot T \cdot \left(1 - \frac{c^2}{h}\right) \\ &= 0,25 \cdot 14010 \cdot \left(1 - \frac{845}{900}\right) = 214 \text{ kN} \end{aligned}$$

$$\begin{aligned} d_{\text{pencar}} &= 0,5(h-2e) \\ &= 0,5 \cdot (900-2 \cdot 20) = 450 \text{ mm} \end{aligned}$$

Digunakan sengkang penutup D12 dengan $A_s = 226 \text{ mm}^2$

$$\begin{aligned} A_s \text{ perlu} &= T_{\text{pencar}} / f_y \\ &= 214000 / 400 = 535 \text{ mm}^2 \end{aligned}$$

$$\begin{aligned} n &= A_s \text{ perlu} / A_s \text{ pakai} \\ &= 535 / 226 \\ &= 2,4 \sim 3 \text{ sengkang dekat ujung angkur} \end{aligned}$$

spasi antar sengkang

$$\begin{aligned} s &= d_{\text{pencar}} / n \\ &= 450 / 2,4 = 190 \sim 150 \text{ mm} \end{aligned}$$

maka dipasang sengkang 3D12-150

Untuk mencegah pecah (*spalling*), dipasang tulangan dengan kuat tarik 2%T

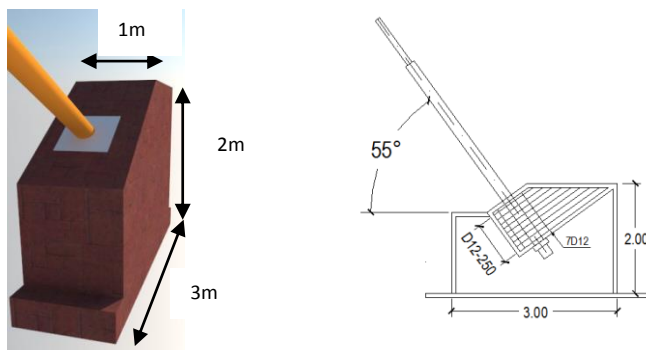
$$\begin{aligned} 2\%T &= 2\% \cdot 14010 \text{ kN} = 280,2 \text{ kN} \\ \text{As perlu} &= 2\%T / f_y \\ &= 280200/400 \\ &= 700,5 \text{ mm}^2 \end{aligned}$$

Digunakan tulangan UD12 dengan As = 113 mm²

$$\begin{aligned} n &= \text{As perlu} / \text{As pakai} \\ &= 700,5 / 113 \\ &= 6,2 \sim 7 \text{ buah tulangan U} \end{aligned}$$

Untuk perhitungan lainnya ditabelkan pada lampiran.

Berikut gambar desain dan detailing blok angkur seperti terlihat pada Gambar 4.47.



Gambar 4.47 Desain dan detail blok angkur

4.6 Gelagar

4.6.1 Tegangan ijin bahan beton

Berikut adalah tegangan ijin beton prategang berdasarkan SNI T-12-2004 Pasal 4.4.1.2.

Kuat tekan beton yang direncanakan pada umur saat dilakukan transfer (f_{ci}'), dinyatakan dalam satuan MPa.

- $f_{ci}' = 0,7 f_c'$
 $= 0,7 \cdot 80 \text{ MPa}$
 $= 56 \text{ MPa}$

A. Tegangan ijin beton saat transfer

- $\sigma_{\text{tekan}} = 0,6 f_{ci}'$
 $= 0,6 \cdot 56$
 $= 34 \text{ MPa}$
- $\sigma_{\text{tarik}} = 0,25 \sqrt{f_{ci}'}$
 $= 0,25 \sqrt{56}$
 $= 1,87 \text{ MPa}$ (namun diusahakan tidak ada tarik untuk segmental)

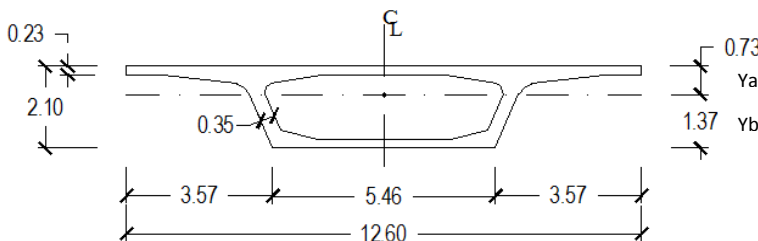
B. Tegangan ijin beton saat servis

- $\sigma_{\text{tekan}} = 0,45 f_c'$
 $= 0,45 \cdot 80$
 $= 36 \text{ MPa}$
- $\sigma_{\text{tarik}} = 0,5 \sqrt{f_c'}$
 $= 0,5 \sqrt{80}$
 $= 4,47 \text{ MPa}$ (namun diusahakan tidak ada tarik untuk segmental)

4.6.2 Propertis penampang gelagar

Berikut adalah propertis dari penampang gelagar yang digunakan. Untuk lebih jelasnya, lihat Gambar 4.47.

- Luas penampang (A) = $6,45 \text{ m}^2$
- Inersia penampang (I) = $3,854 \text{ m}^4$
- Jarak titik berat ke serat atas (Y_a) = $0,734 \text{ m}$
- Jarak titik berat ke serat bawah (Y_b) = $1,366 \text{ m}$
- $W_a = I / Y_a$ = $5,25 \text{ m}^3$
- $W_b = I / Y_b$ = $2,82 \text{ m}^3$
- $K_a = W_b / A$ = $0,44 \text{ m}$
- $K_b = W_a / A$ = $0,81 \text{ m}$



Gambar 4. 47. Model penampang gelagar (dalam m)

4.6.3 Analisa penampang gelagar

1. Perencanaan tendon

- Tendon atas

Direncanakan menggunakan tendon / kabel jenis strand seven wires stress relieved (7 kawat untaian). Dengan mengacu pada tabel VSL, berikut adalah jenis dan karakteristik tendon yang digunakan :

- ✓ Diameter = $15,24 \text{ mm}$
- ✓ Luas nominal (A_{ps}) = 140 mm^2
- ✓ Minimum breaking load = $260,7 \text{ KN}$
- ✓ Modulus elastisitas (E_s) = 195.000 MPa

Berdasarkan pada tabel spesifikasi tendon VSL tegangan maksimum yang diperbolehkan sebesar 0,8 Fpu

Untuk 1 strand diameter 15,2 mm

$$F_o = 0.8 \times F_{pu}$$

$$F_o = 0.8 \times 260,7 \text{ kN}$$

$$F_o = 208,56 \text{ Kn}$$

Untuk tendon 6-27

$$F_{ijin} = F_o \times \text{jumlah strand}$$

$$= 208,56 \text{ kN} \times 27$$

$$= 5631 \text{ kN}$$

Contoh perhitungan segmen AS-CL pada CS-53

$$Mt = 8431 \text{ kNm}$$

Direncanakan letak tendon untuk metode pelaksanaan konstruksi jembatan mendatar dengan meletakan tendon pada flens atas box girder, untuk menghindari kesulitan pemasangan tendon untuk beban kerja. Untuk lebih jelasnya lihat gambar 4.48

Dengan mengambil nilai e pada joint berikut :

$$e = ya - 0.3$$

$$e = 0,73 - 0.3$$

$$e = 0,43 \text{ m}$$

$$\begin{aligned} F_{perlu} &= \frac{Mt}{e+kb} = \frac{8431}{0,43+0,81} \\ &= 6777 \text{ kN} \end{aligned}$$

Dengan menggunakan 10 tendon dan ditarik sebesar :

$$\begin{aligned} F &= f \cdot ijin \times jumlah \text{ tendon} \\ &= 5631 \text{ kN} \times 10 \\ &= 56310 \text{ kN} \end{aligned}$$

Maka gaya tarikan melebihi yang diperlukan, namun diperlukan kontrol tegangan, momen crack, dan momen batas juga.

$$F_{ci} = -\frac{F}{A} \pm \frac{F \cdot e \cdot y}{I} \pm \frac{M \cdot y}{I}$$

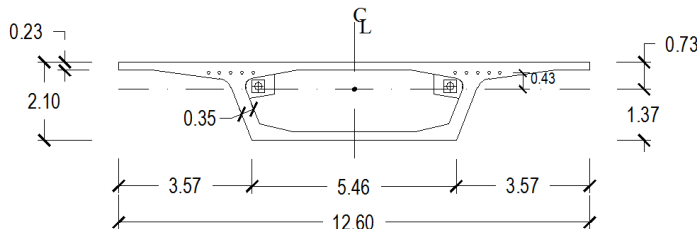
Serat atas

$$\begin{aligned} F_{ci} &= -\frac{56310 \cdot 10^3}{6,45 \cdot 10^6} - \frac{56310 \cdot 10^3 \cdot 0,43 \cdot 10^3 \cdot 0,73 \cdot 10^3}{3,85 \cdot 10^{12}} + \\ &\quad \frac{8431 \cdot 10^6 \cdot 0,73 \cdot 10^3}{3,85 \cdot 10^{12}} \\ &= -11,78 \text{ MPa} > -34 \text{ MPa} (\text{ok}) \end{aligned}$$

Serat Bawah

$$\begin{aligned} F_{ci} &= -\frac{56310 \cdot 10^3}{6,45 \cdot 10^6} + \frac{56310 \cdot 10^3 \cdot 0,43 \cdot 10^3 \cdot 0,73 \cdot 10^3}{3,85 \cdot 10^{12}} - \\ &\quad \frac{8431 \cdot 10^6 \cdot 0,73 \cdot 10^3}{3,85 \cdot 10^{12}} \\ &= -3,06 \text{ MPa} < 0 \text{ MPa} (\text{ok}) \end{aligned}$$

Perhitungan selanjutnya akan ditabelkan pada lampiran.



Gambar 4. 48. Posisi tendon atas (dalam m)

- Tendon bawah

Untuk tendon 6-55

$$\begin{aligned} F_{ijin} &= F_o \times \text{jumlah strand} \\ &= 208,56 \text{ kN} \times 55 \\ &= 11471 \text{ kN} \end{aligned}$$

Contoh perhitungan segmen AS-CL pada CS-2

$$Mt = 12386 \text{ kNm}$$

Direncanakan letak tendon untuk metode pelaksanaan konstruksi jembatan mendatar dengan meletakan tendon pada flens bawah box girder, untuk menghindari kesulitan pemasangan tendon untuk beban kerja. Untuk lebih jelasnya lihat gambar 4.49.

Dengan mengambil nilai e pada joint berikut :

$$\begin{aligned} e &= y_b - 0,25 \\ e &= 1,37 - 0,25 \\ e &= 1,12 \text{ m} \end{aligned}$$

$$\begin{aligned} F_{perlu} &= \frac{Mt}{e+ka} = \frac{12386}{1,07+0,43} \\ &= 7960 \text{ kN} \end{aligned}$$

Dengan menggunakan 4 tendon dan ditarik sebesar :

$$\begin{aligned} F &= f_{ijin} \times \text{jumlah tendon} \\ &= 12386 \text{ kN} \times 4 \\ &= 49544 \text{ kN} \end{aligned}$$

Maka gaya tarikan melebihi yang diperlukan, namun diperlukan kontrol tegangan, momen crack, dan momen

batas juga. Sedangkan untuk tendon atas segmen ini menggunakan 10 tendon 6-27 dengan $F = 56311 \text{ kN}$.

$$F_{ci} = -\frac{F}{A} \pm \frac{F \cdot e \cdot y}{I} \pm \frac{M \cdot y}{I}$$

Serat atas

$$F_{ci} = -\frac{(49544+56311) \cdot 10^3}{6,45 \cdot 10^6} + \frac{49544 \cdot 10^3 \cdot 1,12 \cdot 10^3 \cdot 0,73 \cdot 10^3}{3,85 \cdot 10^{12}} - \frac{56311 \cdot 10^3 \cdot 0,43 \cdot 10^3 \cdot 0,73 \cdot 10^3}{3,85 \cdot 10^{12}} - \frac{12386 \cdot 10^6 \cdot 0,73 \cdot 10^3}{3,85 \cdot 10^{12}}$$

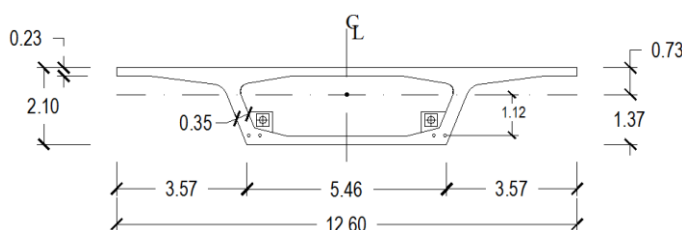
$$= -13,1 \text{ MPa} < 0 \text{ MPa} (\text{ok})$$

Serat Bawah

$$F_{ci} = -\frac{(49554+56311) \cdot 10^3}{6,45 \cdot 10^6} - \frac{49554 \cdot 10^3 \cdot 1,12 \cdot 10^3 \cdot 1,37 \cdot 10^3}{3,85 \cdot 10^{12}} + \frac{56311 \cdot 10^3 \cdot 0,43 \cdot 10^3 \cdot 1,37 \cdot 10^3}{3,85 \cdot 10^{12}} + \frac{12386 \cdot 10^6 \cdot 1,37 \cdot 10^3}{3,85 \cdot 10^{12}}$$

$$= -20,9 \text{ MPa} > -34 \text{ MPa} (\text{ok})$$

Perhitungan selanjutnya akan ditabelkan pada lampiran.



Gambar 4. 49. Posisi tendon bawah (dalam m)

2. Kehilangan prategang

1. Kehilangan langsung

- Akibat perpendekan elastis beton

Pada kehilangan ini memperhitungkan pengaruh penarikan yang berturut-turut. Tetapi akan cukup teliti bila menentukan kehilangan prategang dari kabel pertama dan mengambil setengah dari nilai itu untuk kehilangan prategang rata-rata seluruh kabel. Berikut adalah persamaan yang digunakan.

$$ES = K_{ES} \cdot \frac{E_s}{E_{ci}} \cdot f_{cir}$$

Dimana,

f_{cir} = tegangan beton akibat gaya prategang efektif segera setelah gaya prategang diberikan

E_s = modulus elastisitas tendon prategang

E_{ci} = modulus elastisitas beton

K_{ES} = 1,0 untuk struktur pratarik dan 0,5 untuk struktur pasca tarik

Contoh perhitungan segmen AS-CL pada CS-53

$$f_{cir} = 11,78 \text{ MPa}$$

$$E_s = 200000 \text{ MPa}$$

$$E_{ci} = 4700\sqrt{80} \text{ MPa} = 42038 \text{ MPa}$$

$$K_{ES} = 0,5$$

$$ES = 0,5 \cdot \frac{200000}{42038} \cdot 11,78 = 35,44 \text{ MPa}$$

Perhitungan selanjutnya akan ditabelkan pada lampiran.

- Akibat gesekan kabel

Kehilangan ini dapat dipertimbangkan pada 2 bagian yaitu pengaruh panjang dan pengaruh kelengkungan. Berikut adalah persamaan yang digunakan.

$$\frac{F2 - F1}{F1} = -K \cdot L - \mu \cdot \alpha$$

dimana,

F1 = tegangan tarik satuan pada ujung pendongkrakan

F2 = tegangan tarik satuan pada jarak L

K = koefisien Wobble (diambil 0,0045 berdasarkan Tabel 3.1 dengan asumsi strand dengan untaian 7 kawat)

μ = koefisien kelengkungan (diambil 0,2 berdasarkan Tabel 3.1 dengan asumsi strand dengan untaian 7 kawat)

α = sudut kelengkungan = 0°

L = panjang sampai titik yang ditinjau

Contoh perhitungan segmen AS-CL pada CS-53

K = 0,0045

μ = 0,2

α = 0°

L = 12 m

$$\frac{F2 - F1}{F1} = -0,0045 \cdot 12 - 0,2 \cdot 0$$

$$\frac{F2 - F1}{F1} = -0,054$$

$$\Delta fs1 = \frac{F2 - F1}{F1} \cdot fs \text{ ijin}$$

$$= 0,054 \cdot 1489,7 \text{ MPa}$$

$$= 26,81 \text{ MPa}$$

Perhitungan selanjutnya akan ditabelkan pada lampiran.

- Akibat slip angkur

Pada sistem pasca tarik, tendon yang ditarik kemudian dilepas dan gaya dialihkan ke angkur mengakibatkan angkur cenderung berdeformasi, sehingga tendon dapat tergelincir sedikit sebelum dijepit dengan kokoh. Besar gelincir rata-rata sekitar 2,5 mm. Berikut adalah persamaan yang digunakan.

$$ANC = \Delta_{fs} = \frac{\Delta_a \cdot E_s}{L}$$

dimana,

Δ_a = deformasi pengangkuran (mm)

E_s = modulus elastisitas tendon prategang

L = panjang total tendon prategang (mm)

Contoh perhitungan segmen AS-CL pada CS-53

E_s = 200000 MPa

L = 12 m

$$\Delta_a = \frac{fs \text{ ijin} \cdot L}{E_s} = \frac{1489,7 \cdot 12 \cdot 10^3}{200000} = 89,38 \text{ mm}$$

$$\Delta_{fs2} = \frac{2,5}{\Delta_a} \cdot fs \text{ ijin} = \frac{2,5}{89,38} \cdot 1489,7 = 41,67 \text{ MPa}$$

Perhitungan selanjutnya akan ditabelkan pada lampiran.

2. Kehilangan tak langsung

- Akibat rangkak beton

Salah satu sifat beton adalah dapat mengalami tambahan regangan akibat beban tetap (mati) seiring dengan semakin bertambahnya waktu. Metode umum untuk memperhitungkan rangkak pada beton adalah dengan memasukkan kedalam perhitungan hal-hal berikut

ini : Perbandingan volume terhadap permukaan, umur beton pada saat prategang, kelembaban relatif dan jenis beton (beton ringan atau normal). Kehilangan gaya prategang akibat rangkak untuk komponen struktur dengan tendon terekat dan beton normal dapat dihitung dengan persamaan sebagai berikut.

$$CR = K_{cr} \cdot \frac{E_s}{E_c} \cdot (f_{cir} - f_{cds})$$

dimana,

K_{cr} = 2,0 untuk struktur pratarik dan 1,6 untuk struktur pasca tarik

f_{cds} = tegangan beton pada titik berat tendon akibat seluruh beban mati yang bekerja pada komponen struktur setelah diberi gaya prategang

f_{cir} = tegangan beton akibat gaya prategang efektif segera setelah gaya prategang diberikan

E_c = modulus elastisitas beton

E_s = modulus elastisitas tendon prategang

Contoh perhitungan segmen AS-CL

$$Mt = 7319 \text{ kNm}$$

$$K_{cr} = 1,6$$

$$f_{cds} = \frac{M \cdot e}{I} = \frac{7319 \cdot 10^6 \cdot 0,43 \cdot 10^3}{3,85 \cdot 10^{12}} = 0,82 \text{ MPa}$$

$$f_{cir} = 10,93 \text{ MPa}$$

$$E_c = 4700\sqrt{80} \text{ MPa} = 42038 \text{ MPa}$$

$$E_s = 200000 \text{ MPa}$$

Maka,

$$CR = 1,6 \cdot \frac{200000}{42038} \cdot (10,93 - 0,82) = 76,9 \text{ MPa}$$

Perhitungan selanjutnya akan ditabelkan pada lampiran.

- Akibat susut beton

Susut pada beton dipengaruhi oleh beberapa faktor seperti rangkak, perbandingan antara volume dan permukaan, kelembapan relative, dan waktu dari akhir perawatan sampai dengan bekerjanya gaya prategang. Berikut adalah persamaan yang digunakan.

$$SH = 8,2 \cdot 10^{-6} \cdot K_{sh} \cdot E_s \cdot \left(1 - 0,06 \cdot \frac{V}{S}\right) \cdot (100 - RH)$$

dimana,

K_{sh} = koefisien faktor susut (diambil 0,73 berdasarkan Tabel 3.2 dengan asumsi dilakukan curing biasa)

V = volume beton (m^3)

S = luas selimut yang berhubungan dengan udara (m^2)

RH = kelembaban udara rata-rata (diambil 80%)

E_s = modulus elastisitas tendon prategang

Karena penampang box sama di sepanjang bentang, maka nilai kehilangan prategang akibat susut beton juga sama, dengan perhitungan sebagai berikut:

$$V = 19,35 \text{ m}^3$$

$$S = 136,35 \text{ m}^2$$

$$E_s = 200000 \text{ MPa}$$

Maka,

$$SH = 8,2 \cdot 10^{-6} \cdot 0,73 \cdot 200000 \cdot \left(1 - 0,06 \cdot \frac{19,35}{136,35}\right) \cdot (100 - 80)$$

$$= 23,74 \text{ MPa}$$

Perhitungan selanjutnya akan ditabelkan pada lampiran.

- Akibat relaksasi baja

Sebenarnya balok pratekan mengalami perubahan regangan baja yang konstan di dalam tendon bila terjadi rangkak yang tergantung pada waktu. Akibat perpendekan elastis (ES), serta kehilangan gaya pratekan yang tergantung pada waktu yaitu CR dan SH, maka akan mengakibatkan terjadi pengurangan yang kontinu pada tegangan tendon. Oleh karena itu untuk memperkirakan kehilangan gaya pratekan akibat pengaruh tersebut digunakan perumusan sebagai berikut :

$$RE = (K_{re} - J(SH + CR + ES)) \times C$$

Dimana tendon yang dipakai adalah tipe strand atau kawat *stress relieved* derajat 1860 MPa. Sehingga didapat

$$K_{re} = 128 \text{ MPa} \text{ (Tabel 3.3)}$$

$$J = 0,14 \text{ (Tabel 3.3)}$$

$$C = 0,28 \text{ (Tabel 3.4)}$$

Contoh perhitungan segmen AS-CL

$$RE = (128 - 0,14 \cdot (23,74 + 119,2 + 37,94)) \cdot 0,28 = 33,3 \text{ MPa}$$

Perhitungan selanjutnya akan ditabelkan pada lampiran.

3. Kontrol diagram tegangan efektif

- Ketika momen positif terbesar

Contoh perhitungan segmen AS-CL

Tegangan prategang efektif pada tendon

$$\begin{aligned} f_{se} &= f_s - \Delta_{ES} - \Delta_{fs1} - \Delta_{fs2} - CR - SH - RE \\ &= 1489,7 - 25,9 - 26,81 - 41,67 - 38,45 - 23,74 - 33,3 \\ &= 1299,7 \text{ MPa} \end{aligned}$$

Gaya prategang efektif tendon bawah

$$\begin{aligned} F_{se} &= f_{se} \times A_p \times n \text{ tendon} \\ &= 1299,7 \text{ MPa} \times 55 \times 140 \text{ mm}^2 \times 4 \\ &= 40031,9 \text{ kN} \end{aligned}$$

Gaya prategang efektif tendon atas

$$F_{se} = 52200,2 \text{ kN}$$

Momen positif terbesar = 949 kNm

$$F_{ci} = -\frac{F}{A} \pm \frac{F \cdot e \cdot y}{I} \pm \frac{M \cdot y}{I}$$

Serat atas

$$F_{ci} = -\frac{\frac{(40032+52200) \cdot 10^3}{6,45 \cdot 10^6} + \frac{40032 \cdot 10^3 \cdot 1,12 \cdot 10^3 \cdot 0,73 \cdot 10^3}{3,85 \cdot 10^{12}} - \frac{52200 \cdot 10^3 \cdot 0,43 \cdot 10^3 \cdot 0,73 \cdot 10^3}{3,85 \cdot 10^{12}}}{\frac{949 \cdot 10^6 \cdot 0,73 \cdot 10^3}{3,85 \cdot 10^{12}}} -$$

$$= -10,3 \text{ MPa} < 0 \text{ MPa (ok)}$$

Serat Bawah

$$F_{ci} = -\frac{(40032+52200).10^3}{6,45.10^6} - \frac{40032.10^3.1,12.10^3.1,37.10^3}{3,85.10^{12}} + \frac{52200.10^3.0,43.10^3.1,37.10^3}{3,85.10^{12}} + \frac{949.10^6.1,37.10^3}{3,85.10^{12}}$$

$$= -21,7 \text{ MPa} > -36 \text{ MPa} (\text{ok})$$

Perhitungan selanjutnya akan ditabelkan pada lampiran.

- Ketika momen negatif terbesar

Contoh perhitungan segmen AS-CL

Momen negatif terbesar = 16579 kNm

$$F_{ci} = -\frac{F}{A} \pm \frac{F.e.y}{I} \pm \frac{M.y}{I}$$

Serat atas

$$F_{ci} = -\frac{(40642+52200).10^3}{6,45.10^6} + \frac{40642.10^3.1,12.10^3.0,73.10^3}{3,85.10^{12}} - \frac{52200.10^3.0,43.10^3.0,73.10^3}{3,85.10^{12}} - \frac{16579.10^6.0,73.10^3}{3,85.10^{12}}$$

$$= -6,9 \text{ MPa} < 0 \text{ MPa} (\text{ok})$$

Serat Bawah

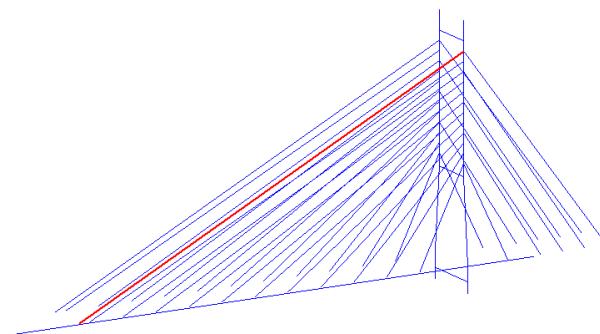
$$F_{ci} = -\frac{(40642+52200).10^3}{6,45.10^6} - \frac{40642.10^3.1,12.10^3.1,37.10^3}{3,85.10^{12}} + \frac{52200.10^3.0,43.10^3.1,37.10^3}{3,85.10^{12}} + \frac{16579.10^6.1,37.10^3}{3,85.10^{12}}$$

$$= -28,3 \text{ MPa} > -36 \text{ MPa (ok)}$$

Perhitungan selanjutnya akan ditabelkan pada lampiran.

4. Analisa kabel putus 1

Pada jembatan kabel diperlukan analisa saat kabel putus 1 pada posisi paling kritis untuk mengontrol kekuatan dek. Dimana posisi kabel yang putus adalah kabel terluar dengan asumsi dek akan kehilangan gaya tekan dari kabel terluar sehingga perlu dikontrol diagram tegangannya. Untuk lebih jelasnya lihat gambar 4.50.



Gambar 4. 50. Posisi kabel putus 1

- Ketika momen positif terbesar

Contoh perhitungan segmen AS-CL

Tegangan prategang efektif pada tendon

$$\begin{aligned} f_{se} &= f_s - \Delta_{ES} - \Delta_{fs1} - \Delta_{fs2} - CR - SH - RE \\ &= 1489,7 - 26,45 - 26,81 - 39,18 - 38,45 - 23,74 - 33,3 \\ &= 1298,6 \text{ MPa} \end{aligned}$$

Gaya prategang efektif tendon bawah

$$\begin{aligned} F_{se} &= f_{se} \times A_p \times n \text{ tendon} \\ &= 1298,6 \text{ MPa} \times 55 \times 140 \text{ mm}^2 \times 4 \\ &= 39997 \text{ kN} \end{aligned}$$

Gaya prategang efektif tendon atas

$$F_{se} = 52519 \text{ kN}$$

Momen positif terbesar = 1947 kNm

$$F_{ci} = -\frac{F}{A} \pm \frac{F \cdot e \cdot y}{I} \pm \frac{M \cdot y}{I}$$

Serat atas

$$\begin{aligned} F_{ci} &= -\frac{(39997+52519).10^3}{6,45.10^6} + \frac{39997.10^3.1,12.10^3.0,73.10^3}{3,85.10^{12}} - \\ &\quad \frac{525519.10^3.0,43.10^3.0,73.10^3}{3,85.10^{12}} - \frac{1947.10^6.0,73.10^3}{3,85.10^{12}} \\ &= -10,5 \text{ MPa} < 0 \text{ MPa (ok)} \end{aligned}$$

Serat Bawah

$$F_{ci} = -\frac{(39997+52519).10^3}{6,45.10^6} - \frac{39997.10^3.1,12.10^3.1,37.10^3}{3,85.10^{12}} + \frac{52519.10^3.0,43.10^3.1,37.10^3}{3,85.10^{12}} + \frac{1947.10^6.1,37.10^3}{3,85.10^{12}}$$

$$= -21,4 \text{ MPa} > -36 \text{ MPa (ok)}$$

Perhitungan selanjutnya akan ditabelkan pada lampiran.

- Ketika momen negatif terbesar

Contoh perhitungan segmen AS-CL

Momen negatif terbesar = 16775 kNm

$$F_{ci} = -\frac{F}{A} \pm \frac{F.e.y}{I} \pm \frac{M.y}{I}$$

Serat atas

$$F_{ci} = -\frac{(40649+52519).10^3}{6,45.10^6} + \frac{40649.10^3.1,12.10^3.0,73.10^3}{3,85.10^{12}} - \frac{52519.10^3.0,43.10^3.0,73.10^3}{3,85.10^{12}} - \frac{16775.10^6.0,73.10^3}{3,85.10^{12}}$$

$$= -6,95 \text{ MPa} < 0 \text{ MPa (ok)}$$

Serat Bawah

$$F_{ci} = -\frac{(40649+52519).10^3}{6,45.10^6} - \frac{40649.10^3.1,12.10^3.1,37.10^3}{3,85.10^{12}} + \frac{52519.10^3.0,43.10^3.1,37.10^3}{3,85.10^{12}} + \frac{16775.10^6.1,37.10^3}{3,85.10^{12}}$$

$$= -28,4 \text{ MPa} > -36 \text{ MPa (ok)}$$

Perhitungan selanjutnya akan ditabelkan pada lampiran.

5. Kontrol momen retak

Balok memenuhi syarat retak jika momen yang bekerja padanya tidak melampaui momen retak tahanan balok. Perhitungan kontrol momen retak tahanan box gider dilakukan pada saat pelaksanaan dan pada saat bentang jembatan sudah tersusun keseluruhan yang dikontrol pada daerah tumpuan dan lapangan.

$$M_{cr} = F \left(e + \frac{r^2}{y} \right) + \frac{f_r I}{y}$$

Contoh perhitungan segmen As-CL pada CS-53

Diketahui

$$F_r = 1,87 \text{ MPa} = 1870 \text{ kN/m}^2$$

$$F = 52663 \text{ kN}$$

$$e = 0,43 \text{ m}$$

$$r^2 = 0,598 \text{ m}^2$$

$$ya = 0,73 \text{ m}$$

$$I = 3,85 \text{ m}^4$$

$$M_y = 8431 \text{ kNm}$$

$$M_{cr} = 52663 \left(0,43 + \frac{0,598}{0,73} \right) + \frac{1870 \cdot 3,85}{0,73} = 75550 \text{ kNm}$$

Syarat,

$$M < M_{cr}$$

$$8431 \text{ kNm} < 75550 \text{ kNm} \text{ (Syarat memenuhi)}$$

Perhitungan selanjutnya akan ditabelkan pada lampiran.

6. Kontrol momen batas

Momen tahanan batas pada box yang akan dianalisa dengan prinsip kesetimbangan statis aksial (kopel), dimana besarnya gaya tekan batas beton (C) bernilai sama dengan gaya tarik batas pada (T), dengan menghitung lengan momen antara gaya gaya C dan T maka akan didapatkan nilai momen batas, (M_u), faktor reduksi terhadap lentur dapat diambil 0,9.

Arah vertikal

Contoh perhitungan segmen As-CL pada CS-53

Diketahui

$$f_{ci} = 56 \text{ MPa} = 56000 \text{ kN/m}^2$$

$$T = 52663 \text{ kN}$$

$$b = 5,46 \text{ m}$$

$$d = 2,1 \text{ m}$$

$$M_y = 8431 \text{ kNm}$$

Perhitungan tinggi tegangan tekan beton

$$a = \frac{T}{0,85.f'_c.bw}$$

$$= \frac{52663}{0,85.56000.5,46} = 0,2$$

Perhitungan Kemampuan Penampang

$$\begin{aligned} M_n &= 0,9 \left(T \left(d - \frac{a}{2} \right) \right) \\ &= 0,9 \left(52663 \left(2,1 - \frac{0,2}{2} \right) \right) = 94793 \text{ kNm} \end{aligned}$$

Syarat,

$$M < \emptyset M_n$$

8431 kNm < 94793 kNm (Syarat memenuhi)

Perhitungan selanjutnya akan ditabelkan pada lampiran.

Arah transversal

Diketahui

$$f'_c = 80 \text{ MPa} = 80000 \text{ kN/m}^2$$

$$T = 28364 \text{ kN}$$

$$b = 2,1 \text{ m}$$

$$d = 5,46 \text{ m}$$

$$M_z = 100779 \text{ kNm}$$

Perhitungan tinggi tegangan tekan beton

$$a = \frac{T}{0,85.f_c'.bw}$$

$$= \frac{28364}{0,85.80000.2,1} = 0,2$$

Perhitungan Kemampuan Penampang

$$\begin{aligned} M_n &= 0,9 \left(T \left(d - \frac{a}{2} \right) \right) \\ &= 0,9 \left(28364 \left(5,46 - \frac{0,2}{2} \right) \right) = 136828 \text{ kNm} \end{aligned}$$

Syarat,

$$M < \phi M_n$$

100779 kNm < 136828 kNm (Syarat memenuhi)

7. Kontrol lendutan

Lendutan ke bawah akibat beban servis

$$\Delta 1 = 0,49 \text{ m} (\text{output midas})$$

Lendutan ke atas akibat prategang

$$\begin{aligned} \Delta 2 &= \frac{5.F.e.L^2}{48.E.I} - \frac{M.L^2}{8.E.I} \\ &= \frac{5.58390.10^3.1,12.10^3.144.10^{3^2}}{48.42038.3,85.10^{12}} - \frac{85113.10^6.75.10^{3^2}}{8.42038.3,85.10^{12}} \end{aligned}$$

$$= 0,47 \text{ m}$$

Lendutan total

Berdasarkan SNI T-12-2004 Ps. 9.2.1

Syarat, $\Delta = \Delta_1 - \Delta_2 \leq \Delta_{ijin}$

$$= 0,49 - 0,47 \leq L/800$$

$$= 0,02 \text{ m} \leq 144/800$$

$$= 0,02 \text{ m} < 0,18 \text{ m} \text{ (memenuhi)}$$

8. Kontrol torsi

Perhitungan konstanta torsi

Pelat atas

$$\eta_1 = \frac{0,35}{[0,75 + \left(\frac{x_1}{y_1}\right)]}$$

dimana, x_1 = tebal pelat atas = 225 mm

y_1 = lebar pelat atas = 12600 mm

maka,

$$\eta_1 = \frac{0,35}{[0,75 + \left(\frac{225}{12600}\right)]} = 0,46$$

Pelat badan

$$\eta_1 = \frac{0,35}{[0,75 + \left(\frac{x_1}{y_1}\right)]}$$

dimana, x_1 = tebal pelat atas = 350 mm

y_1 = lebar pelat atas = 1770 mm

maka,

$$\eta_1 = \frac{0,35}{[0,75 + \left(\frac{350}{1770}\right)]} = 0,37$$

Pelat bawah

$$\eta_1 = \frac{0,35}{[0,75 + \left(\frac{x_1}{y_1}\right)]}$$

dimana, x_1 = tebal pelat atas = 225 mm

y_1 = lebar pelat atas = 5460 mm

maka,

$$\eta_1 = \frac{0,35}{[0,75 + \left(\frac{225}{5460}\right)]} = 0,44$$

$$\text{konstanta torsi} = \sum \eta_1 \cdot x_1^2 \cdot y_1$$

$$= (0,46 \cdot 225^2 \cdot 12600) + (0,37 \cdot 350^2 \cdot 1770) + (0,44 \cdot 225^2 \cdot 5460)$$

$$= 495269250$$

Kuat torsi penampang

$$\begin{aligned} T_c &= 6\sqrt{fc'} \cdot \sqrt{1 + \frac{10 \cdot \frac{F}{A}}{fc'} \cdot \sum \eta_1 \cdot x_1^2 \cdot y_1} \\ &= 6\sqrt{80} \cdot \sqrt{1 + \frac{10 \cdot \frac{56729.10^3}{6,45 \cdot 10^6}}{80} \cdot 495269250} \\ &= 3,85 \cdot 10^4 \text{ kNm} \end{aligned}$$

Torsi ijin

Berdasarkan SNI T-12-2004 Ps.5.4.5 tulangan puntir tidak diperlukan bila,

$$\frac{T_u}{\phi T_c} < 0,25$$

$$\frac{3689,5}{0,7.38500} < 0,25$$

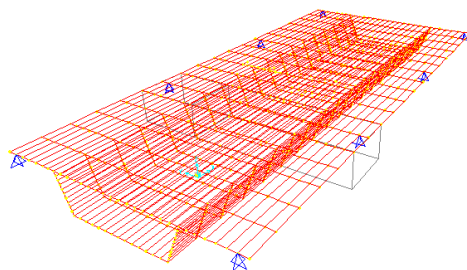
$0,14 < 0,25$ (memenuhi)

Maka tidak diperlukan tulangan puntir

9. Penulangan arah longitudinal

- Penulangan flens

Untuk mengantisipasi momen arah transversal akibat kendaraan, maka dipasang tulangan lentur arah transversal dimana permodelannya menggunakan program bantu SAP2000. Untuk lebih jelasnya lihat Gambar 4.55.



Gambar 4. 51. Permodelan untuk penulangan memanjang box

Data perencanaan

$$f_c' = 80 \text{ MPa}$$

$$f_y = 400 \text{ MPa}$$

$$\text{diameter tulangan} = 22 \text{ mm}$$

$$\text{cover beton} = 25 \text{ mm}$$

$$\text{tinggi efektif, } d = 189 \text{ mm}$$

$$\text{lebar badan, } bw = 1000 \text{ mm}$$

$$M_u = 470 \text{ kNm}$$

$$M_n = M_u/0,8 = 587 \text{ kNm}$$

$$R_n = M_n/b.d^2 = 16,4$$

$$m = f_y/0,85.f_c' = 5,8$$

$$\rho_{min} = 1,4/f_y = 0,0035$$

$$\beta_1 = 0,85 - 0,008(f_c' - 30) = 0,45$$

$$\rho_b = \frac{0,85.f_c'.\beta_1}{f_y} \times \frac{600}{600+f_y} = 0,046$$

$$\rho_{max} = 0,75\rho_b = 0,034$$

$$\rho_{perlu} = \frac{1}{m} \left(1 - \sqrt{1 - \frac{2.m.R_n}{f_y}} \right) = 0,046$$

Karena $\rho_{min} < \rho_{perlu} > \rho_{max}$, maka digunakan ρ_{max}

$$A_s \text{ perlu} = \rho_{max}.b.d = 6426 \text{ mm}^2$$

Dipasang D22-50 dengan $A_s = 7603 \text{ mm}^2$ (memenuhi)

- Penulangan web

Direncanakan tulangan geser dipasang pada daerah web dengan data-data sebagai berikut.

Data perencanaan

$$f_c' = 80 \text{ MPa}$$

$$f_y = 400 \text{ MPa}$$

$$\text{diameter tulangan} = 25 \text{ mm}$$

$$\text{cover beton} = 25 \text{ mm}$$

tinggi efektif, d	= 2223 mm
lebar badan, bw	= 313 mm
Luas penampang	= $6,45 \cdot 10^6 \text{ mm}^2$
Inersia	= $3,85 \cdot 10^{12} \text{ mm}^4$
F tendon atas	= 33786 kN
F tendon bawah	= 22942 kN
e tendon atas	= 0,43 m
e tendon bawah	= 1,12 m
ya	= 0,73 m
yb	= 1,37 m

Berdasarkan RSNI T-12-2004, kuat geser beton tidak boleh melebihi nilai terkecil dari 2 kondisi retak, yaitu

1. Kondisi retak geser terlentur

$$V_{ci} = \frac{\sqrt{fc'}}{20} bw \cdot d + Vd + \frac{Vi \cdot M_{cr}}{M_{max}}$$

Dimana,

Vd = gaya geser akibat beban mati tidak terfaktor

Vi = gaya geser akibat beban luar tidak terfaktor

$$M_{cr} = \frac{I}{yt} \left(\frac{\sqrt{fc'}}{2} + fpe - fd \right)$$

$$fd = \frac{Md \cdot yt}{I} = \frac{32193 \cdot 10^6 \cdot 1,12 \cdot 10^3}{3,85 \cdot 10^{12}} = 9,36 \text{ MPa}$$

$$\begin{aligned} fpe &= \frac{F}{A} + \frac{F \cdot e \cdot y}{I} \\ &= \frac{56728 \cdot 10^3}{6,45 \cdot 10^6} + \frac{33786 \cdot 10^3 \cdot 430,730}{3,85 \cdot 10^{12}} + \frac{22942 \cdot 10^3 \cdot 1120,1370}{3,85 \cdot 10^{12}} \\ &= 20,7 \text{ MPa} \end{aligned}$$

$$M_{cr} = \frac{3,85 \cdot 10^{12}}{1370} \left(\frac{\sqrt{80}}{2} + 20,7 - 9,36 \right) = 44401 \text{ kNm}$$

$$\begin{aligned} V_{ci} &= \frac{\sqrt{80}}{20} \cdot 313,2223 + 10906 \cdot 10^3 + \frac{11536 \cdot 10^3 \cdot 44401 \cdot 10^6}{158572 \cdot 10^6} \\ &= 14448 \text{ kN} \end{aligned}$$

2. Kondisi retak geser bagian badan

Karena tendon posisi lurus (tidak ada bengkokan) maka nilai V_p adalah 0 atau tidak menahan geser.

$$\begin{aligned} V_{cw} &= 0,3(\sqrt{fc'} + fpe)bw.d + Vp \\ &= 0,3(\sqrt{80} + 20,7)313.2223 + 0 = 6210 \text{ kN} \end{aligned}$$

Karena $V_{cw} < V_{ci}$ maka digunakan V_{cw} sebagai V_c

$$Vu = 15893 \text{ kN}$$

$$\begin{aligned} Vs &= Vu/\varphi - Vc \\ &= 15893/0,75 - 6210 = 14981 \text{ kN} \end{aligned}$$

Digunakan sengkang 4 kaki

$$S_{perlu} = \frac{4,025\pi \cdot 25^2 \cdot 400.2223}{14981 \cdot 10^3} = 116 \text{ mm}$$

Maka dipasang sengkang D25-100

- Penulangan blok ujung

Tendon atas

Data perencanaan

Tendon unit 6-27

Min. breaking load = 7039 kN

$fc' = 80 \text{ MPa}$

$fci = 56 \text{ MPa}$

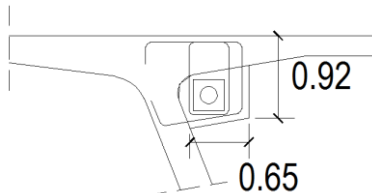
$fy = 400 \text{ MPa}$

diameter tulangan = 22 mm

selimut beton = 25 mm

spasi tulangan = 200 mm

untuk desain penampang lihat Gambar 4.51.



Gambar 4. 52. Penulangan blok ujung atas (dalam m)

Untuk tendon 6-27

$$F_o = 0,8 \text{ fpu}$$

$$= 0,8 \cdot 7039 = 5631 \text{ kN}$$

Tegangan ijin tarik beton saat transfer

$$\begin{aligned}\sigma_{\text{tarik}} &= 0,25\sqrt{f_{ci}'} \\ &= 0,25\sqrt{56}\end{aligned}$$

$$= 1,87 \text{ MPa}, \text{ namun diusahakan tidak ada tarik}$$

Tegangan tarik terjadi

$$\begin{aligned}0,18 f &= 0,18 F_o/A \\ &= 0,18 \cdot 5631 \cdot 10^3 / 650.920 \\ &= 1,69 \text{ MPa}\end{aligned}$$

Tegangan tarik yang dipikul tulangan

$$1,69 - 0 = 1,69 \text{ MPa}$$

Gaya tarik yang dipikul tulangan

$$1,69 \text{ MPa} \times 200 \text{ mm} \times 650 \text{ mm} = 220343 \text{ N}$$

$$A_s_{\text{perlu}} = 220343 \text{ N} / 400 \text{ MPa} = 550,8 \text{ mm}^2$$

$$S_{\text{perlu}} = \frac{0,25\pi \cdot 22^2 \cdot 400.614}{220343} = 424 \text{ mm}$$

Maka sengkang D22-200 telah mencukupi kebutuhan

Tendon bawah

Data perencanaan

Tendon unit 6-55

Min. breaking load = 14339 kN

$f_c' = 80 \text{ MPa}$

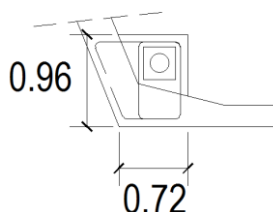
$f_y = 400 \text{ MPa}$

diameter tulangan = 22 mm

selimut beton = 25 mm

spasi tulangan = 200 mm

untuk desain penampang lihat Gambar 4.52



Gambar 4. 53. Penulangan blok ujung bawah (dalam m)

Untuk tendon 6-55

$F_o = 0,8 \text{ fpu}$

$$= 0,8 \cdot 14339 = 11471 \text{ kN}$$

Tegangan ijin tarik beton saat servis

$$\sigma_{tarik} = 0,5\sqrt{f_c'}$$

$$= 0,5\sqrt{80}$$

= 3,54 MPa, namun diusahakan tidak ada tarik

Tegangan tarik terjadi

$$0,18 f = 0,18 F_o/A$$

$$\begin{aligned}
 &= 0,18 \cdot 11471 \cdot 10^3 / 720.960 \\
 &= 2,98 \text{ MPa}
 \end{aligned}$$

Tegangan tarik yang dipikul tulangan

$$2,98 - 0 = 2,98 \text{ MPa}$$

Gaya tarik yang dipikul tulangan

$$2,98 \text{ MPa} \times 200 \text{ mm} \times 720 \text{ mm} = 430162 \text{ N}$$

$$A_{\text{perlu}} = 430162 \text{ N} / 400 \text{ MPa} = 1075 \text{ mm}^2$$

$$S_{\text{perlu}} = \frac{0,25\pi \cdot 22^2 \cdot 400.684}{430162} = 241 \text{ mm}$$

Maka sengkang D22-200 telah mencukupi kebutuhan

- Kontrol dimensi blok ujung

Tendon atas

Data perencanaan

Tendon unit 6-27

Min. breaking load = 7039 kN

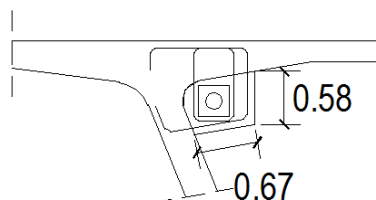
$f_c' = 80 \text{ MPa}$

lebar blok ujung, $b = 530 \text{ mm}$

tinggi blok ujung, $h = 550 \text{ mm}$

panjang blok ujung, $p = 1000 \text{ mm}$

untuk desain penampang lihat Gambar 4.53.



Gambar 4. 54. Periksa blok ujung bawah (dalam m)

Untuk tendon 6-27

$$F_o = 0,8 \text{ fpu}$$

$$= 0,8 \cdot 7039 = 5631 \text{ kN}$$

Luas geser blok ujung

$$A = (b+h) \cdot p = (580+670) \cdot 1000 = 1250000 \text{ mm}^2$$

Kemampuan geser blok ujung

$$F = A \cdot f_c' = 1250000 \times 80 = 100000000 \text{ N}$$

Syarat,

$$F > F_o$$

$$100000 \text{ kN} > 5631 \text{ kN} \text{ (memenuhi)}$$

Tendon bawah

Data perencanaan

Tendon unit 6-55

Min. breaking load = 14339 kN

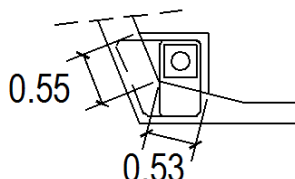
$f_c' = 80 \text{ MPa}$

lebar blok ujung, $b = 530 \text{ mm}$

tinggi blok ujung, $h = 550 \text{ mm}$

panjang blok ujung, $p = 1000 \text{ mm}$

untuk desain penampang lihat Gambar 4.54



Gambar 4. 55. Periksa blok ujung bawah (dalam m)

Untuk tendon 6-55

$$F_o = 0,8 \text{ fpu}$$

$$= 0,8 \cdot 14339 = 11471 \text{ kN}$$

Luas geser blok ujung

$$A = (b+h) \cdot p = (550+530) \cdot 1000 = 1080000 \text{ mm}^2$$

Kemampuan geser blok ujung

$$F = A \cdot f_c' = 1080000 \times 80 = 86400000 \text{ N}$$

Syarat,

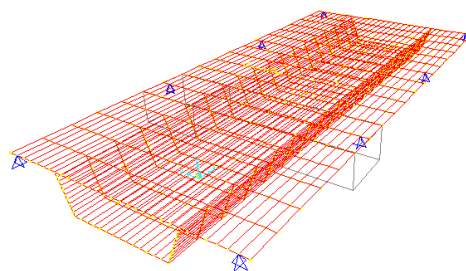
$$F > F_o$$

$$86400 \text{ kN} > 11471 \text{ kN} \text{ (memenuhi)}$$

10. Penulangan arah transversal

- Penulangan flens

Untuk menganalisis momen arah transversal akibat kendaraan, maka dipasang tulangan lentur arah transversal dimana permodelannya menggunakan program bantu SAP2000. Untuk lebih jelasnya lihat Gambar 4.55.



Gambar 4. 56. Permodelan untuk penulangan melintang box

Data perencanaan

$f_c' = 80 \text{ MPa}$

$f_y = 400 \text{ MPa}$

diameter tulangan = 22 mm

cover beton = 25 mm

tinggi efektif, $d = 189 \text{ mm}$

lebar badan, $b_w = 1000 \text{ mm}$

$M_u = 423 \text{ kNm}$

$M_n = M_u/0,8 = 529 \text{ kNm}$

$R_n = M_n/b.d^2 = 14,8$

$m = f_y/0,85.f_c' = 5,8$

$\rho_{min} = 1,4/f_y = 0,0035$

$\beta_1 = 0,85 - 0,008(f_c' - 30) = 0,45$

$\rho_b = \frac{0,85.f_c'.\beta_1}{f_y} \times \frac{600}{600+f_y} = 0,046$

$\rho_{max} = 0,75\rho_b = 0,034$

$\rho_{perlu} = \frac{1}{m} \left(1 - \sqrt{1 - \frac{2.m.R_n}{f_y}} \right) = 0,042$

Karena $\rho_{min} < \rho_{perlu} > \rho_{max}$, maka digunakan ρ_{max}

$A_s \text{ perlu} = \rho_{max}.b.d = 6426 \text{ mm}^2$

Dipasang D22-50 dengan $A_s = 7603 \text{ mm}^2$ (memenuhi)

- Penulangan web

Data perencanaan

$f_c' = 80 \text{ MPa}$

$f_y = 400 \text{ MPa}$

diameter tulangan = 22 mm

cover beton = 25 mm

tinggi efektif, $d = 292 \text{ mm}$

lebar badan, bw = 1000 mm

$$Mu = 475 \text{ kNm}$$

$$Mn = Mu/0,8 = 594 \text{ kNm}$$

$$Rn = Mn/b.d^2 = 6,9$$

$$m = fy/0,85.fc' = 5,8$$

$$\rho_{min} = 1,4/fy = 0,0035$$

$$\beta_1 = 0,85-0,008(fc' - 30) = 0,45$$

$$\rho_b = \frac{0,85.fc'.\beta_1}{fy} \times \frac{600}{600+fy} = 0,046$$

$$\rho_{max} = 0,75\rho_b = 0,034$$

$$\rho_{perlu} = \frac{1}{m} \left(1 - \sqrt{1 - \frac{2.m.Rn}{fy}} \right) = 0,018$$

Karena $\rho_{min} < \rho_{perlu} < \rho_{max}$, maka digunakan ρ_{perlu}

$$As \text{ perlu} = \rho_{perlu}.b.d = 5318 \text{ mm}^2$$

Dipasang D22-70 dengan $As = 5431 \text{ mm}^2$ (memenuhi)

11. Perencanaan *shear-key joint* antar segmen

Dimensi bidang geser tiap segmen

Pada sayap = 854 cm x 15 cm

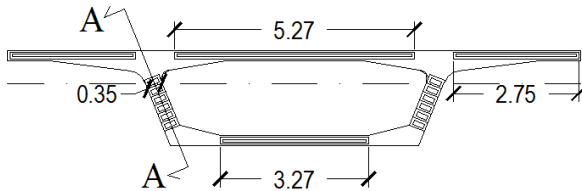
Pada sayap = 275 cm x 15 cm

Pada badan = 12 x 350 cm x 20 cm

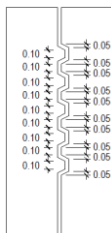
Luas beton yang memikul geser

$$Ac = (854 \times 15) + (2 \times 275 \times 15) + (12 \times 350 \times 20) \\ = 105060 \text{ cm}^2$$

Untuk lebih jelasnya lihat Gambar 4.57 dan 4.58



Gambar 4. 57. Rencana shear-key joint (dalam m)



Gambar 4. 58. Potongan A-A (dalam m)

Gaya maksimum yang bekerja pada joint antar segmen

$$V_u = 15893 \text{ kN}$$

$$M_u = 158572 \text{ kNm}$$

Data perencanaan

$$f'_c = 80 \text{ MPa}$$

$$f_y = 400 \text{ MPa}$$

$$\text{diameter tulangan} = 25 \text{ mm}$$

$$\text{cover beton} = 25 \text{ mm}$$

$$\text{tinggi efektif, } d = 1200 \text{ mm}$$

$$\text{lebar badan, } bw = 14140 \text{ mm}$$

$$\text{Luas penampang} = 6,45 \cdot 10^6 \text{ mm}^2$$

$$\text{Inersia} = 3,85 \cdot 10^{12} \text{ mm}^4$$

$$F \text{ tendon atas} = 33786 \text{ kN}$$

$$\begin{aligned}
 F \text{ tendon bawah} &= 22942 \text{ kN} \\
 e \text{ tendon atas} &= 0,43 \text{ m} \\
 e \text{ tendon bawah} &= 1,12 \text{ m} \\
 ya &= 0,73 \text{ m} \\
 yb &= 1,37 \text{ m}
 \end{aligned}$$

Berdasarkan RSNI T-12-2004, kuat geser beton tidak boleh melebihi nilai terkecil dari 2 kondisi retak, yaitu

1. Kondisi retak geser terlentur

$$V_{ci} = \frac{\sqrt{f_{ci}}}{20} bw \cdot d + Vd + \frac{Vi \cdot M_{cr}}{M_{max}}$$

Dimana,

Vd = gaya geser akibat beban mati tidak terfaktor

Vi = gaya geser akibat beban luar tidak terfaktor

$$M_{cr} = \frac{I}{yt} \left(\frac{\sqrt{f_{ci}}}{2} + fpe - fd \right)$$

$$fd = \frac{Md \cdot yt}{I} = \frac{32193 \cdot 10^6 \cdot 1,12 \cdot 10^3}{3,85 \cdot 10^{12}} = 9,36 \text{ MPa}$$

$$\begin{aligned}
 fpe &= \frac{F}{A} + \frac{F \cdot e \cdot y}{I} \\
 &= \frac{56728 \cdot 10^3}{6,45 \cdot 10^6} + \frac{33786 \cdot 10^3 \cdot 430 \cdot 0,73}{3,85 \cdot 10^{12}} + \frac{22942 \cdot 10^3 \cdot 1120 \cdot 1,37}{3,85 \cdot 10^{12}} \\
 &= 20,7 \text{ MPa}
 \end{aligned}$$

$$M_{cr} = \frac{3,85 \cdot 10^{12}}{1370} \left(\frac{\sqrt{80}}{2} + 20,7 - 9,36 \right) = 44401 \text{ kNm}$$

$V_{ci} =$

$$\begin{aligned}
 &\frac{\sqrt{80}}{20} \cdot 14140 \cdot 1120 + 10906 \cdot 10^3 + \frac{11536 \cdot 10^3 \cdot 44401 \cdot 10^6}{158572 \cdot 10^6} \\
 &= 21219 \text{ kN}
 \end{aligned}$$

2. Kondisi retak geser bagian badan

Karena tendon posisi lurus (tidak ada bengkokan) maka nilai V_p adalah 0 atau tidak menahan geser.

$$V_{cw} = 0,3(\sqrt{fc'} + fpe)bw.d + Vp$$

$$= 0,3(\sqrt{80} + 20,7)14140.1120 + 0 = 140841 \text{ kN}$$

Karena $V_{ci} < V_{cw}$ maka digunakan V_{ci} sebagai V_c

$$Vu = 15893 \text{ kN}$$

$$Vs = Vu/\phi - Vc$$

$$= 15893/0,75 - 21219 = -28 \text{ kN}$$

Maka tidak diperlukan tulangan geser tambahan karena kuat geser beton sudah mampu memikul gaya geser.

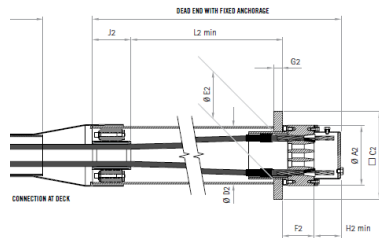
12. Perencanaan angkur pada gelagar

Angkur kabel dipasang sesuai jumlah strand dan gaya *stressing* nya yang telah dihitung. Perencanaan ini meliputi cek tegangan beton saat *stressing* serta kebutuhan tulangan pencar (*bursting*) dan tulangan pecah (*spalling*).

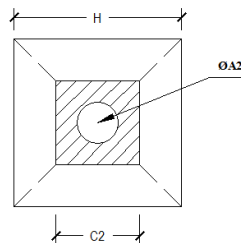
Berikut adalah nilai gaya tarik dan detail serta spesifikasi angker yang digunakan dapat dilihat pada Tabel 4.34 dan Tabel 4.35. serta Gambar 4.59 dan Gambar 4.60.

Tabel 4. 34. Gaya tarik A_{aktual} pada gelagar

Kabel	Gaya
m12	6692.12 kN
m11	9734.31 kN
m10	13015.19 kN
m9	10153.82 kN
m8	7880.63 kN
m7	6572.06 kN
m6	6864.06 kN
m5	7760.78 kN
m4	7455.06 kN
m3	6599.34 kN
m2	6349.39 kN
m1	6483.56 kN
s1	5422.42 kN
s2	11835.35 kN



Gambar 4. 59. Detail angker VSL SSI 2000 yang digunakan



Gambar 4. 60. Notasi dimensi angkur

Tabel 4. 35. Spesifikasi angker VSL SSI 2000 yang digunakan

Dead End

Stay Pipe

TENDON UNIT	$\varnothing A2$ mm	C2 mm	$\varnothing D2$ mm	$\varnothing E2$ mm	F2 mm	G2 mm	H2 min mm	I2 mm	L2 min mm	$\varnothing A3$ mm 	TENDON UNIT
6-12	185	260	177.8/4.5	150	105	35	105	160	900	125/4.9	6-12
6-19	230	335	219.1/6.3	190	120	50	105	180	1,200	140/5.4	6-19
6-22	250	355	219.1/6.3	205	120	50	105	210	1,350	160/6.2	6-22
6-31	280	415	244.5/6.3	230	145	60	105	210	1,550	160/6.2	6-31
6-37	300	455	273/6.3	255	170	70	105	210	1,750	180/6.6	6-37
6-43	340	505	323.9/7.1	285	175	75	105	210	2,000	200/6.2	6-43
6-55	380	550	323.9/7.1	310	195	75	105	260	2,050	200/6.2	6-55
6-61	380	585	355.6/8	330	215	85	105	260	2,250	225/7.0	6-61
6-73	430	650	406.4/8.8	370	215	95	120	290	2,450	250/7.8	6-73
6-85	430	685	406.4/8.8	370	245	110	120	290	2,600	250/7.8	6-85
6-91	480	730	457/10	420	255	110	120	320	2,800	280/8.7	6-91
6-109	495	775	457/10	420	265	120	120	320	3,000	315/9.8	6-109
6-127	550	845	508/11	475	315	130	120	340	3,350	315/9.8	6-127

Contoh perhitungan angkur kabel m10 dengan tendon 6-127

$$\text{T} = 13015 \text{ kN}$$

$$\text{H} = 900 \text{ mm}$$

$$\varnothing A2 = 550 \text{ mm}$$

$$A1 = \text{HxH} = 8,1 \cdot 10^5 \text{ mm}^2$$

$$\text{C2} = 845 \text{ mm}$$

$$\text{A2} = (\text{C2} \times \text{C2}) - \text{area } \varnothing A2 = 476442 \text{ mm}^2$$

Pemberian gaya tarik dilakukan pada saat beton berusia 14 hari dengan kuat tekan beton diperkirakan $70\% f_c'$

$$fci = 70\% \times 80 \text{ MPa} = 56 \text{ MPa}$$

$$\begin{aligned} fcp &= 0,8 \cdot fci \cdot \sqrt{\frac{A_1}{A_2} - 0,2} \\ &= 0,8 \cdot 56 \cdot \sqrt{\frac{810000}{476442} - 0,2} = 54,86 \text{ MPa} \end{aligned}$$

Tegangan di bawah plat angker

$$ft = T/A_2$$

$$= 13015000 / 476442 = 27,31 \text{ MPa}$$

Syarat, $ft < fcp = 41,6 \text{ MPa}$ (memenuhi)

Untuk kontrol angkur kabel lain dapat dilihat pada Tabel 4.36.

Tabel 4. 36. Kontrol tegangan beton saat *stressing* pada kabel di gelagar

Kabel	Angkur (strand)	Gaya (kN)	fcp (Mpa)	ft (Mpa)	Kontrol (ft < fcp)
m12	61	6692.12	81.86	29.24	OK
m11	85	9734.31	67.93	30.04	OK
m10	127	13015.19	54.86	27.31	OK
m9	91	10153.82	64.94	28.84	OK
m8	73	7880.63	73.89	28.41	OK
m7	61	6572.06	81.86	28.72	OK
m6	61	6864.06	81.86	29.99	OK
m5	73	7760.78	73.89	27.98	OK
m4	73	7455.06	73.89	26.88	OK
m3	61	6599.34	81.86	28.83	OK
m2	55	6349.39	90.52	33.57	OK
m1	61	6483.56	81.86	28.33	OK
s1	55	5422.42	90.52	28.67	OK
s2	127	11835.35	54.86	24.83	OK

Perhitungan tulangan daerah pengangkuran berdasarkan SNI 03 2847-2002 Ps.20.13.3.2

Kebutuhan tulangan pencar

$$\begin{aligned} T_{\text{pencar}} &= 0,25 \cdot T \cdot \left(1 - \frac{c^2}{h}\right) \\ &= 0,25 \cdot 13015 \cdot \left(1 - \frac{845}{900}\right) = 200,2 \text{ kN} \\ d_{\text{pencar}} &= 0,5(h-2e) \\ &= 0,5(900-2 \cdot 0) = 450 \text{ mm} \end{aligned}$$

Digunakan sengkang penutup D12 dengan $A_s = 226 \text{ mm}^2$

$$\begin{aligned} \text{As perlu} &= T_{\text{pencar}} / f_y \\ &= 200200 / 400 = 500,54 \text{ mm}^2 \\ n &= \text{As perlu} / \text{As pakai} = \\ &= 500,54 / 226 \\ &= 2,2 \sim 3 \text{ sengkang dekat ujung angkur} \end{aligned}$$

spasi antar sengkang

$$\begin{aligned} s &= d_{\text{pencar}} / n \\ &= 450 / 2,2 = 205 \sim 200 \text{ mm} \end{aligned}$$

maka dipasang sengkang 3D12-200

Untuk mencegah pecah (*spalling*), dipasang tulangan dengan kuat tarik 2%T

$$2\%T = 2\% \cdot 13015 \text{ kN} = 260,3 \text{ kN}$$

$$\begin{aligned} \text{As perlu} &= 2\%T / f_y \\ &= 260300 / 400 = 650,75 \text{ mm}^2 \end{aligned}$$

Digunakan tulangan UD12 dengan $A_s = 113 \text{ mm}^2$

$$\begin{aligned} n &= \text{As perlu} / \text{As pakai} \\ &= 650,75 / 113 = 5,75 \sim 6 \text{ buah tulangan U} \end{aligned}$$

Untuk perhitungan lainnya ditabelkan pada lampiran.

13. Perencanaan perletakan pada gelagar

Pada modifikasi jembatan Kalipepe ini akan digunakan perletakan jembatan yang berfungsi meneruskan beban dari bangunan atas ke bangunan bawah jembatan. Perletakan yang digunakan pada jembatan ini merupakan pelat baja sirkular (pot bearing). Dengan penggunaan perletakan pot bearing tersebut akan mampu mengakomodasi perpindahan arah akibat beban yang ada.

Asumsi perletakan yang digunakan dalam permodelan modifikasi ini adalah rol-rol di kedua ujung gelagar seperti terlihat pada Gambar 4.61.



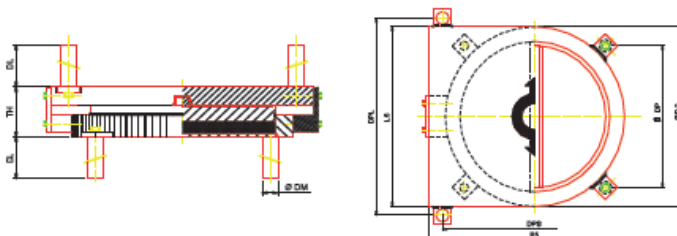
Gambar 4. 61.Asumsi perletakan jembatan

Dari hasil analisa MIDAS/CIVIL diperoleh gaya pada perletakan sebesar :

$$H = 2400 \text{ kN}$$

$$V = 12500 \text{ kN}$$

Dari hasil reaksi vertikal pada perletakan pot bearing, maka akan direncanakan unidirectional pot bearing VSL tipe PU 1800/1300/H2 EN dengan jumlah 2 buah. Dimensi dan spesifikasi dapat dilihat pada Gambar 4.62 dan Tabel 4.37.



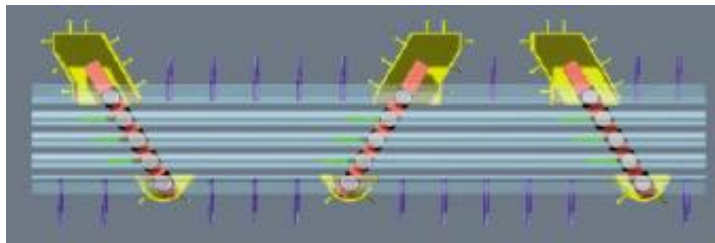
Gambar 4. 62. Dimensi pot bearing

Tabel 4. 37. Spesifikasi pot bearing

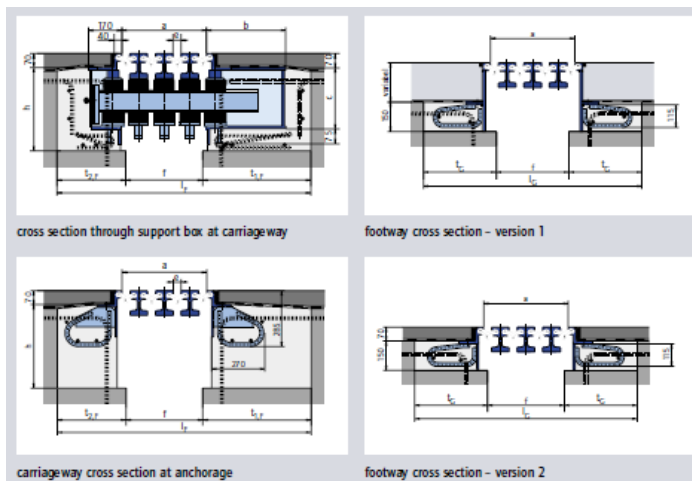
BEARING TYPE	V MAX ULS (kN)	H MAX ULS (kN)	V MAX SLS (kN)	H MAX SLS (kN)	Pot Ø D2 (mm)	Total height TH (mm)	Top Plate Dimensions L5 x B5 (mm)	Recommended Pier Ø (mm)	DM Ø (mm)	D1 (mm)	D2 (mm)	DPB (mm)	DP (mm)
PU 100/70/H2 EN	977	210	700	140	250	83	290 x 250	400	30	150	200	310	219
PU 200/140/H2 EN	1.953	420	1.400	280	312	84	347 x 312	499	30	150	257	372	263
PU 300/220/H2 EN	3.069	660	2.200	440	390	103	405 x 390	624	30	150	315	450	318
PU 390/280/H2 EN	3.906	840	2.800	560	439	105	440 x 439	702	40	200	350	499	353
PU 490/350/H2 EN	4.883	1.050	3.500	700	492	113	492 x 492	787	40	200	402	552	390
PU 630/450/H2 EN	6.278	1.350	4.500	900	553	129	553 x 553	885	40	200	463	613	433
PU 700/500/H2 EN	6.975	1.500	5.000	1.000	588	130	588 x 588	941	60	300	478	668	472
PU 840/600/H2 EN	8.370	1.800	6.000	1.200	624	143	624 x 624	998	60	300	514	704	498
PU 900/650/H2 EN	9.068	1.950	6.500	1.300	651	149	651 x 651	1.042	60	300	541	731	517
PU 1000/700/H2 EN	9.765	2.100	7.000	1.400	673	150	673 x 673	1.077	60	300	563	735	532
PU 1120/800/H2 EN	11.160	2.400	8.000	1.600	721	153	721 x 721	1.154	60	300	611	801	566
PU 1200/850/H2 EN	11.858	2.550	8.500	1.700	754	154	754 x 754	1.206	60	300	641	834	590
PU 1320/950/H2 EN	13.253	2.850	9.500	1.900	782	166	782 x 782	1.251	60	300	672	862	610
PU 1400/1000/H2 EN	13.950	3.000	10.000	2.000	804	167	804 x 804	1.286	60	300	694	884	625
PU 1535/1100/H2 EN	15.345	3.300	11.000	2.200	838	184	838 x 838	1.341	70	350	718	928	656
PU 1700/1300/H2 EN	16.740	3.600	12.000	2.400	860	196	860 x 860	1.408	70	350	760	970	686
PU 1800/1300/H2 EN	18.135	3.900	13.000	2.600	914	188	914 x 914	1.462	80	400	784	1014	717
PU 2000/1400/H2 EN	19.530	4.200	14.000	2.800	944	200	944 x 944	1.510	80	400	814	1044	738
PU 2100/1500/H2 EN	20.925	4.500	15.000	3.000	978	201	978 x 978	1.565	90	450	848	1078	762
PU 2250/1600/H2 EN	22.320	4.800	16.000	3.200	1.022	214	1022 x 1022	1.635	90	450	892	1122	793
PU 2400/1700/H2 EN	23.715	5.100	17.000	3.400	1.048	215	1048 x 1048	1.677	90	450	916	1148	812
PU 2500/1800/H2 EN	25.110	5.400	18.000	3.600	1.077	221	1077 x 1077	1.723	90	450	947	1177	832
PU 2650/1900/H2 EN	26.505	5.700	19.000	3.800	1.108	223	1108 x 1108	1.773	90	450	978	1208	854
PU 2800/2000/H2 EN	27.900	6.000	20.000	4.000	1.151	225	1151 x 1151	1.842	90	450	1021	1251	885
PU 3000/2200/H2 EN	30.690	6.600	22.000	4.400	1.286	234	1286 x 1286	2.058	90	450	1156	1386	980

14. Perencanaan expansion joint

Untuk mengantisipasi deformasi arah longitudinal, diperlukan *expansion joint* pada kedua sisi abutment yang menyambungkan gelang dengan oprit jembatan. Digunakan jenis *expansion joint* yang mensupport perpindahan ke satu sisi longitudinal jembatan saja. Untuk lebih jelasnya lihat Gambar 4.63 dan Gambar 4.64.



Gambar 4. 63. Jenis expansion joint yang digunakan



Gambar 4. 64. Detail expansion joint yang digunakan

Dari hasil analisa MIDAS/CIVIL diperoleh perpindahan max arah longitudinal pada ujung gelagar sebesar :

$$dx = 63 \text{ mm}$$

Maka digunakan tipe expansion joint DS160 dengan toleransi perpindahan sebesar 160 mm. Untuk spesifikasi dan dimensinya dapat dilihat pada Tabel 4.38.

Tabel 4. 38. Dimensi dan spesifikasi expansion joint

type	a [mm]	b [mm]	c [mm]	h [mm]	$l_{1,F}$ [mm]	$l_{2,F-C}$ [mm]	l_{min} [mm]	l_{max} [mm]	l_F [mm]	l_G [mm]	u_x [mm]	u_y *) [mm]	u_z *) [mm]
DS160	150	260	290	420	400	350	115	130	865	815	130 (160)	+ 80	+ 10
DS240	270	310	300	430	450	380	225	250	1055	985	195 (240)	± 120	± 15
DS320	390	360	310	440	500	390	300	370	1190	1080	260 (320)	± 160	± 20
DS400	510	410	320	450	560	400	410	490	1370	1210	325 (400)	± 200	± 25
DS480	630	460	330	460	620	410	520	610	1550	1340	390 (480)	± 240	± 30
DS560	750	510	340	470	680	420	630	730	1730	1470	455 (560)	± 280	± 35
DS640	870	560	350	480	740	430	740	850	1910	1600	520 (640)	± 320	± 40
DS720	990	610	360	490	800	440	850	970	2090	1730	585 (720)	± 360	± 40
DS800	1110	660	370	500	860	450	960	1090	2270	1860	650 (800)	± 400	± 40
DS880	1230	710	380	510	920	460	1070	1210	2450	1990	715 (880)	± 440	± 40
DS960	1350	760	390	520	980	470	1180	1330	2630	2120	780 (960)	± 480	± 45
DS1040	1470	810	400	530	1040	480	1290	1450	2810	2250	845 (1040)	± 520	± 45
DS1120	1590	860	410	540	1100	490	1400	1570	2990	2380	910 (1120)	± 560	± 45
DS1200	1710	910	420	550	1160	500	1510	1690	3170	2510	975 (1200)	± 600	± 45

4.6.4 Kontrol Stabilitas Aerodinamis

Perilaku aerodinamis akibat angin terhadap jembatan *cable stayed* perlu untuk dianalisa dan dikontrol, karena perilaku ini merupakan salah satu penyebab terjadinya kegagalan struktur. Analisa stabilitas pada desain ini meliputi *vortex-shedding* (tumpahan pusaran angin) dan *flutter* (efek ayunan). Akan tetapi dalam menganalisa efek angin yang bekerja pada jembatan seperti desain ini, sebenarnya perlu juga adanya *wind tunnel test* menggunakan model.

1. Frekwensi alami

Dihitung dengan frekwensi lentur balok (f_B) dan frekwensi alam akibat torsi (f_T) yang didekati menggunakan persamaan berikut ini :

$$f_B = \frac{1,1}{2\pi} \left(\frac{g}{v_{maks}} \right)^{1/2}$$

$$f_T = \frac{\bar{b}}{2r} f_B$$

Dimana :

f_B = frekwensi alami lentur balok (Hz)

g = percepatan gravitasi (m/s^2) = $9,81 \text{ kg/cm}^2$

v_{maks} = deformasi statis maksimum akibat berat sendiri (m)
= $0,34 \text{ m}$ (dari analisa MIDAS CIVIL)

f_T = frekwensi alami torsi (Hz)

\bar{b} = jarak kabel arah meilntang (m) = $11,5 \text{ m}$

r = jari-jari girasi penampang lantai kendaraan (m)

$$rx = \sqrt{\frac{Ix}{A}} = \sqrt{\frac{9,22 \cdot 10^4}{6,5 \cdot 10^2}} = 11,91m$$

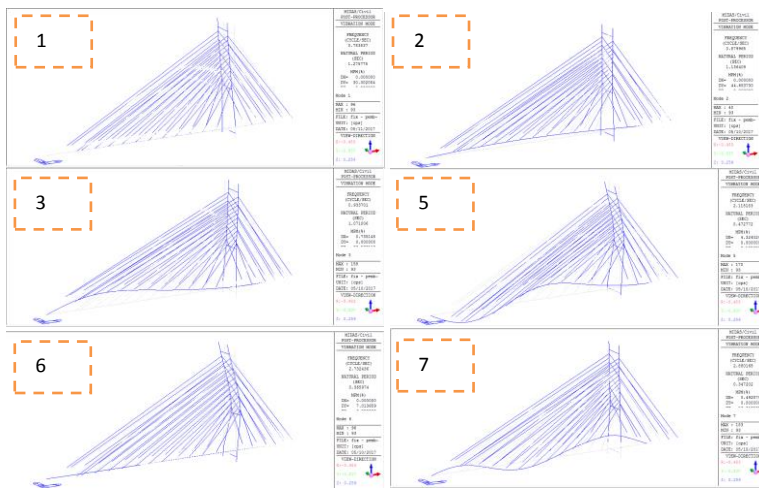
$$ry = \sqrt{\frac{Iy}{A}} = \sqrt{\frac{3,86 \cdot 10^4}{6,5 \cdot 10^2}} = 7,7m$$

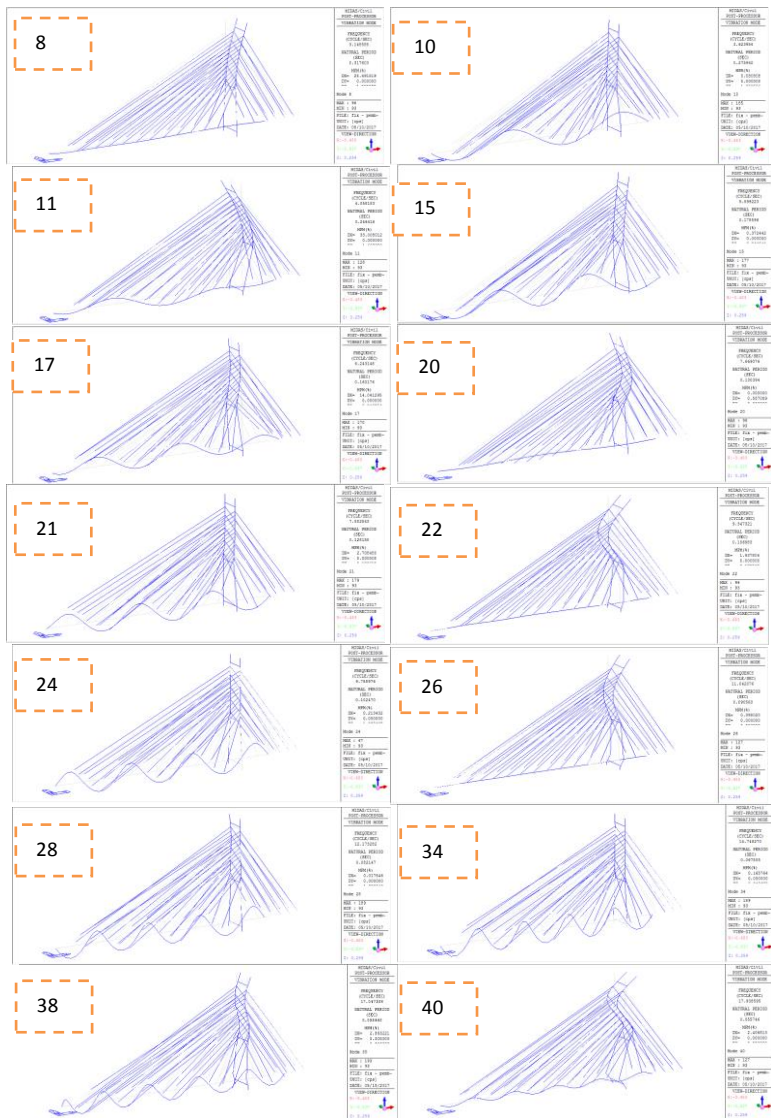
maka,

$$f_B = \frac{1,1}{2 \cdot \pi} \left(\frac{9,81}{0,34} \right)^{\frac{1}{2}} = 0,94 \text{ Hz}$$

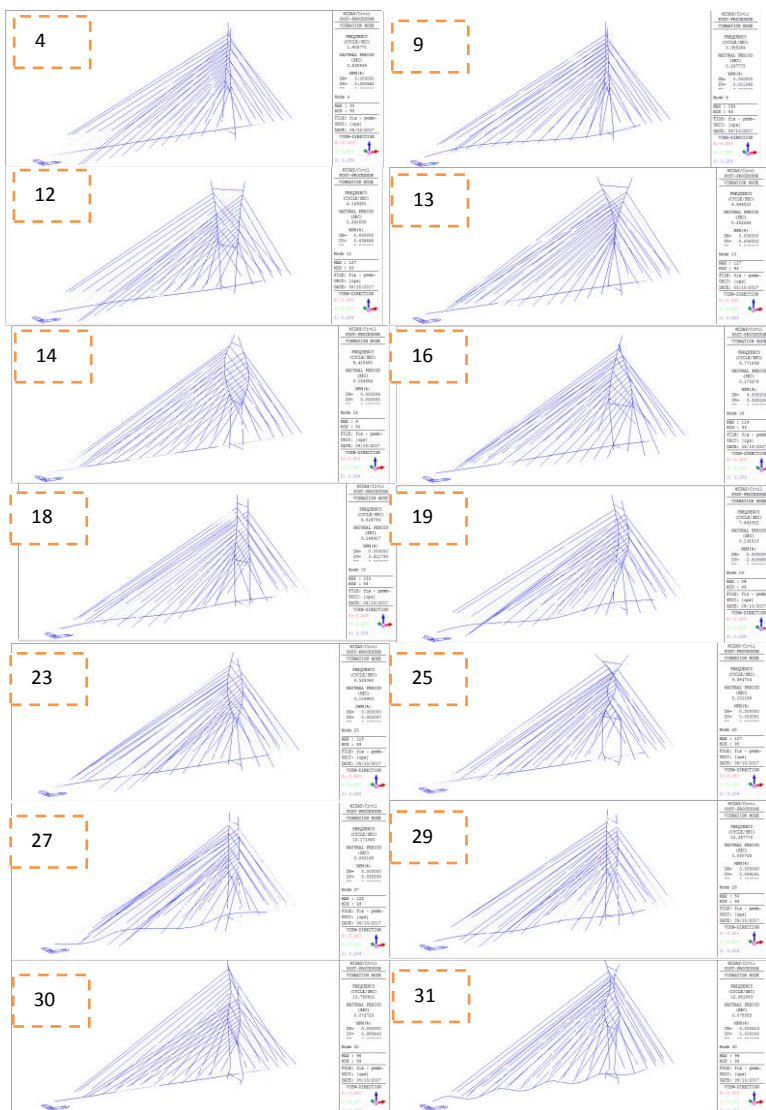
$$f_T = \frac{22}{2 \cdot 7,7} \cdot 0,94 = 1,34 \text{ Hz}$$

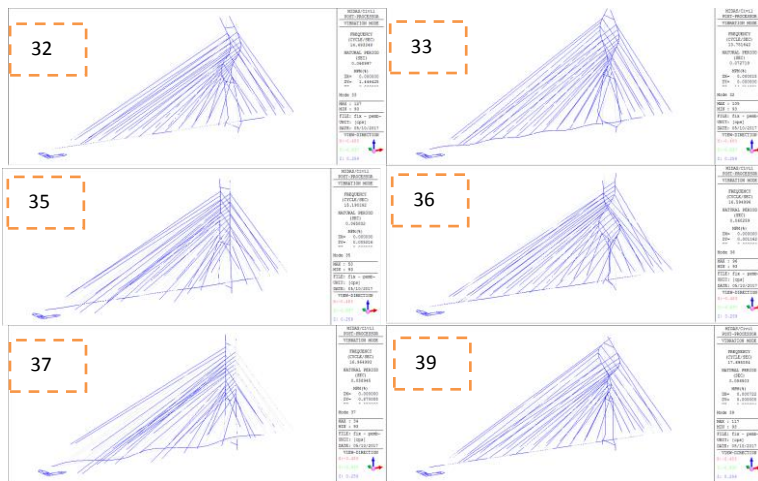
Akan tetapi pada program bantu MIDAS CIVIL nilai frekwensi alami lentur balok (f_B) maupun frekwensi alami torsi (f_T) dapat dicari dengan menggunakan *modal* melalui tahapan *mode* pada menu *result – vibration mode shapes*, dengan syarat yang dipakai adalah nilai pada *mode* yang sesuai persamaan berikut $f_T/f_B \approx 2,5$ (Mathivat). Berikut nilai frekwensi alami lentur balok (f_B) dan frekwensi alami torsi (f_T) yang didapat dari program bantu MIDAS CIVIL dapat dilihat pada Gambar 4.61 dan Gambar 4.62.





Gambar 4. 65. mode frekwensi lentur (fB)





Gambar 4. 66. mode frekwensi torsi (fT)

Berikut rekapitulasi nilai frekwensi lentur (f_B) maupun frekwensi torsi (f_T) dari hasil analisa menggunakan program MIDAS CIVIL dapat dilihat pada Tabel 4.37.

Tabel 4. 39. nilai f_B dan f_T

Mode No	Frequency		Period (sec)
	(cycle/sec)	(sec)	
1	lentur longitudinal	0.784	1.276
2	lentur transversal	0.880	1.136
3	lentur vertikal	0.934	1.071
4	torsi	1.903	0.526
5	lentur vertikal	2.115	0.473
6	lentur longitudinal	2.732	0.366
7	lentur vertikal	2.880	0.347
8	lentur transversal	3.149	0.318
9	torsi	3.358	0.298
10	lentur vertikal	3.624	0.276
11	lentur vertikal	4.058	0.246
12	torsi	4.149	0.241
13	torsi	4.944	0.202
14	torsi	5.418	0.185
15	lentur vertikal	5.599	0.179

Mode No		Frequency (cycle/sec)	Period (sec)
16	torsi	5.771	0.173
17	lentur vertikal	6.243	0.160
18	torsi	6.830	0.146
19	torsi	7.662	0.131
20	lentur longitudinal	7.669	0.130
21	lentur vertikal	7.803	0.128
22	lentur longitudinal	9.347	0.107
23	torsi	9.525	0.105
24	lentur vertikal	9.759	0.102
25	torsi	9.885	0.101
26	lentur longitudinal	11.042	0.091
27	torsi	12.171	0.082
28	lentur vertikal	12.173	0.082
29	torsi	12.388	0.081
30	torsi	12.682	0.079
31	torsi	13.751	0.073
32	torsi	13.752	0.073
33	torsi	14.493	0.069
34	lentur vertikal	14.748	0.068
35	torsi	15.190	0.066
36	torsi	16.595	0.060
37	torsi	16.965	0.059
38	lentur vertikal	17.047	0.059
39	torsi	17.698	0.057
40	lentur longitudinal	17.939	0.056

2. Efek vortex-shedding

Pada kecepatan angin tertentu yang disebut dengan kecepatan kritis, akan terjadi pusaran angin (*vortex-shedding*). Untuk memperoleh nilai percepatan kritis tersebut, digunakan persamaan angka *Strouhal* (S).

$$S = \frac{f_B \cdot h}{V} \quad (\text{Walther, 1999, 7.3.2 - 7.11})$$

Dimana :

- S = angka *Strouhal*
- f_B = frekwensi alami lentur balok
- h = tinggi lantai kendaraan

V = kecepatan angin yang dihitung berdasarkan angka *Strouhal*

Kecepatan angin (V) dicari dengan menggunakan persamaan angka *Strouhal*. Dipakai angka *Strouhal* (s) = 0,2, tinggi lantai kendaraan (h) = 2,1 m

$$V = \frac{0,94 \cdot 2,1}{0,2} = 9,87 \text{ m/s}$$

Selanjutnya dilakukan evaluasi efek pusaran dengan angka *Reynold* (Re). Akibat kecepatan angin yang bekerja besarnya angka *Reynold* harus memenuhi persyaratan, nilai Re harus berkisar antara $10^5 - 10^7$. Berikut persamaan untuk angka *Reynold*.

$$Re = \frac{VB}{\bar{v}} \quad (\text{Walther, 1999, 7.3.2 - 7.10})$$

Dimana :

Re = angka *Reynold*

V = kecepatan angin yang dihitung berdasarkan angka *Strouhal*

B = lebar lantai kendaraan

\bar{v} = viskositas kinematik udara ($0,15 \text{ cm}^2/\text{dt}$)

$$R_e = \frac{9,87 \cdot 12,6}{0,15 \cdot 10^{-4}} = 8,3 \times 10^6$$

Maka, nilai Re memenuhi persyaratan.

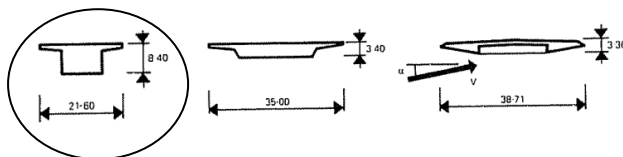
Akibat adanya terpaan angin, akan terjadi gaya angkat (*uplift*) yang besarnya dapat dihitung dengan persamaan berikut :

$$Fo = \rho \frac{V^2}{2} Ch \quad (\text{Walther, 1999, 7.3.2 - 7.13})$$

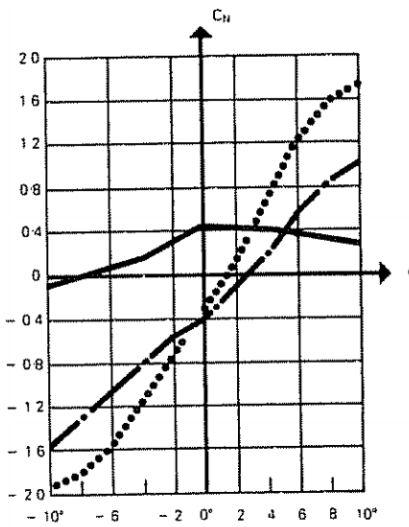
Dimana :

- F_o = gaya angkat
 ρ = berat volume udara ($1,3 \text{ kg/m}^3$)
 V = kecepatan angin yang dihitung berdasarkan angka *Strouhal*
 C = koefisien gaya angkat lantai kendaraan
 h = tinggi lantai kendaraan

besarnya nilai koefisien C dapat dicari dari grafik berikut ini, lihat Gambar 4.63 dan Gambar 4.64.



Gambar 4. 67. Macam penampang deck



Gambar 4. 68. Koefisien C_N

Grafik koefisien C_N diatas merupakan hasil dari tiga bentuk penampang lantai kendaraan dari beberapa jembatan yang sudah ada (sudah dibangun). Berdasarkan bentuk penampang lantai kendaraan yang didesain, penampang yang paling kiri (yang ditandai dengan lingkaran) cukup mempresentasikan bentuk penampang lantai kendaraan yang didesain. Dengan α diambil sebesar 0° , maka akan didapat nilai koefisien C_N sebesar 0,4. Tetapi pada kondisi nyata, angin tidak selalu mengenai lantai kendaraan dalam arah horizontal secara sempurna. Terkadang nilai α dapat berubah berkisar antara 3° sampai dengan 9° , maka sebagai pembanding coba diambil nilai α rata-rata sebesar 6° . sehingga didapat nilai C_N sebesar 0,38. Maka dari perbandingan tersebut nilai C_N yang dipakai dalam desain adalah yang paling besar yaitu 0,4.

$$F_o = 1,3 \cdot \frac{9,87^2}{2} \cdot 0,38 \cdot 2,1 = 50,53 \text{ N/m}$$

Gaya ini akan menimbulkan osilasi gelagar yang amplitudonya dapat dihitung dengan menggunakan persamaan berikut ini :

$$v = \frac{\pi F_o}{\delta m} v_{\max}$$

dimana :

v = amplitudo osilasi

δ = penurunan logaritmik (koefisien peredaman)

F_o = gaya angkat

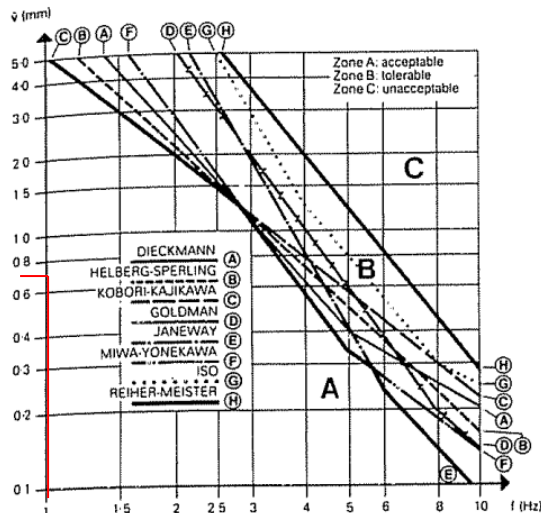
v_{\max} = deformasi statis maksimum karena berat sendiri

m = berat sendiri lantai kendaraan per meter panjang

$$\hat{v} = \frac{\pi}{0,05} \cdot \frac{50,53}{155 \cdot 10^3} \cdot 0,34 = 0,0069 \text{ m} = 6,9 \text{ mm}$$

Maka dapat diketahui klasifikasi efek psikologis berdasarkan amplitudo (v) dengan melakukan plot nilai amplitudo osilasi sebesar 6,9 mm dengan frekuensi sebesar 0,94 Hz yang masuk ke

dalam zona *acceptable*. Untuk lebih jelasnya dapat dilihat pada Gambar 4.65.

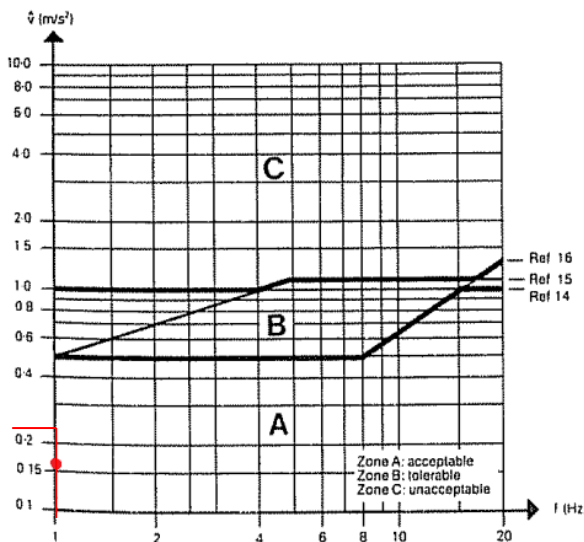


Gambar 4. 69. Klasifikasi efek psikologis berdasarkan amplitudo (Walther, 1999)

Sedangkan untuk klasifikasi efek psikologi berdasarkan perseptakan getaran (\ddot{v}) dapat diperoleh dengan melakukan plot nilai \ddot{v} dan f_B pada grafik terkait yang untuk lebih jelasnya lihat Gambar 4.66.

$$\begin{aligned}\hat{\ddot{v}} &= 4\pi^2 \times f^2 \times \hat{v} \\ &= 4\pi^2 \times 0,94^2 \times 0,0069 \\ &= 0,24 \text{ m/s}^2\end{aligned}$$

Percepatan sebesar $0,24 \text{ m/s}^2$ dengan frekuensi $0,94 \text{ Hz}$ masuk dalam zona *acceptable*.

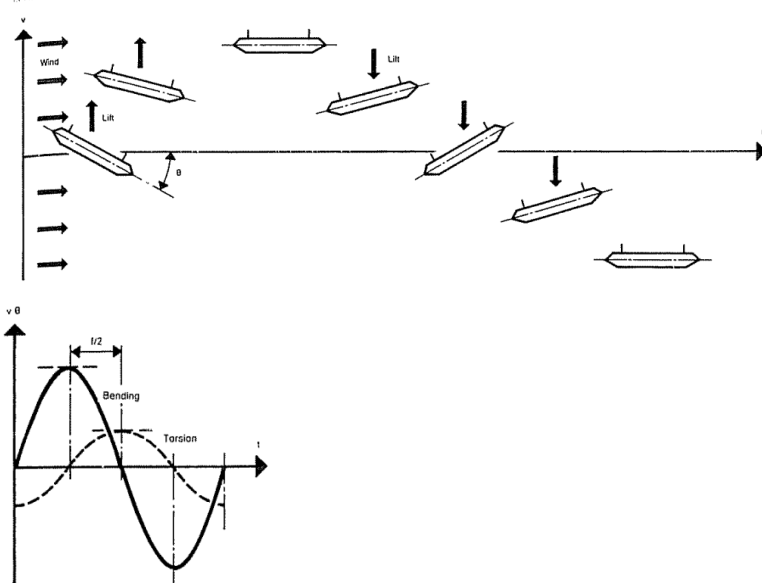


Gambar 4. 70. Klasifikasi efek psikologis berdasarkan percepitan getaran (Walther, 1999)

Dari kedua grafik diatas didapat kesimpulan bahwa desain jembatan ini dapat diterima (*acceptable*) baik berdasarkan nilai amplitudo (v) vs frekwensi alami lentur balok (f_B) maupun nilai percepitan getaran (\ddot{v}) vs frekwensi alami torsi (f_T).

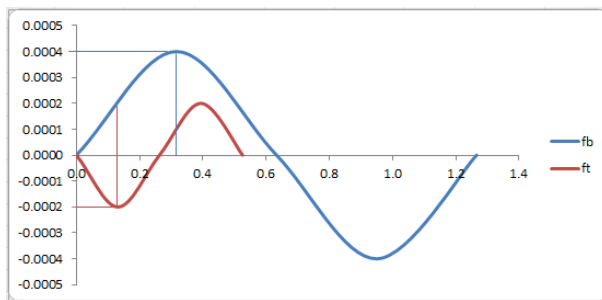
3. Efek Flutter (Ayunan)

Fenomena efek ayunan ini yang terjadi pada kecepatan kritis akan menimbulkan ayunan lentur (f_B) dan ayunan torsi (f_T), yang harus dihindari adalah nilai amplitudo akibat ayunan lentur dan ayunan torsi tidak terjadi secara bersamaan. Maka dari itu desain yang ideal, nilai perbandingan dari keduanya sebaiknya memiliki perbedaan fase sebesar $\pi/2$ atau berkisar 1,57 detik. Untuk lebih jelasnya lihat ilustrasi pada Gambar 4.67 berikut ini.



Gambar 4. 71. Efek ayunan dengan beda fase $\pi/2$

Berikut adalah efek *flutter* hasil permodelan midas yang dapat dilihat pada Gambar 4.68.



Gambar 4. 72. Grafik efek flutter $T_{\text{bending}}=1,26$ dan $T_{\text{torsion}}=0,53$

Untuk mendapatkan kecepatan kritis teoritis ($V_{\text{kritis teoritis}}$), dapat digunakan metode KLOEPPEL, dengan persamaan sebagai berikut :

$$V_{\text{kritis teoritis}} = 2\pi \cdot f_B \cdot b$$

$$b = 0,5 \text{ lebar lantai kendaraan}$$

Dimana nilai $V_{\text{kritis teoritis}}$ dapat dicari secara grafis dari Gambar 9.14 dan tergantung dari tiga (3) besaran berikut ini :

$$\mu = \frac{m}{\pi \rho b^2}$$

$$= \frac{155000}{\pi \times 13 \times 6,3^2}$$

$$= 95,62$$

$$\delta = 0,05$$

$$r/b = 7,7/6,3$$

$$= 1,22 \text{ dipakai} = 1,00$$

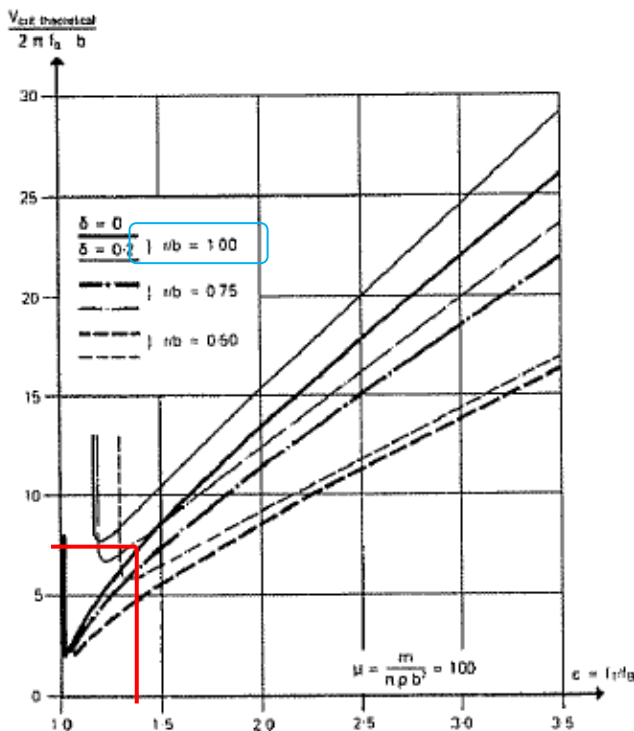
$$\varepsilon = \frac{f_T}{f_B} = \frac{1,34}{0,94} = 1,43$$

Berikut rekapitulasi cek beda fase antara frekwensi lentur (f_B) dengan frekwensi torsi (f_T) dapat dilihat pada Tabel 4.38.

Tabel 4. 40. Rekapitulasi nilai ε

f_B, f_T	$\varepsilon = f_T/f_B$	f_B, f_T	$\varepsilon = f_T/f_B$
f_{B1}, f_{T4}	2.428	f_{B17}, f_{T27}	1.950
f_{B2}, f_{T9}	3.597	f_{B20}, f_{T29}	1.615
f_{B3}, f_{T12}	4.444	f_{B21}, f_{T30}	1.625
f_{B5}, f_{T13}	2.337	f_{B22}, f_{T31}	1.471
f_{B6}, f_{T14}	1.983	f_{B24}, f_{T32}	1.409
f_{B7}, f_{T16}	2.004	f_{B26}, f_{T33}	1.313
f_{B8}, f_{T18}	2.169	f_{B28}, f_{T35}	1.248
f_{B10}, f_{T19}	2.114	f_{B34}, f_{T36}	1.125
f_{B11}, f_{T23}	2.347	f_{B38}, f_{T37}	0.995
f_{B15}, f_{T25}	1.765	f_{B40}, f_{T39}	0.987

Untuk menentukan nilai kecepatan kritis teoritis pelu dicari nilai faktor pengali yang didapatkan dari Gambar 4.69 dengan melakukan plot nilai perbandingan frekwensi torsi dengan frekwensi lentur (f_T/f_B) yang telah didapat dari Tabel 4.38.



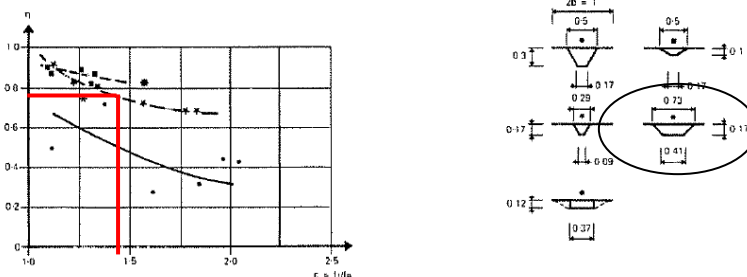
Gambar 4. 73. Kecepatan kritis teoritis untuk efek ayunan
(Walther, 1999)

$$\frac{V_{\text{kritis-teoritis-MIDAS}}}{2\pi f_B b} = 7,5 \dots \text{(dari Gambar 9.10)}$$

$$V_{\text{kritis teoritis-MIDAS}} = 7,5 \cdot (2\pi \cdot f_B \cdot b) \\ = 7,5 \cdot (2\pi \cdot 0,94 \cdot (0,5 \cdot 12,6))$$

$$= 7,5 \cdot (18,036 \text{ m/dt}) \\ = 279,1 \text{ m/dt}$$

Besar kecepatan kritis teoritis ini harus dikoreksi menjadi kecepatan kritis actual, menggunakan grafik berikut, lihat Gambar 4.70.



Gambar 4. 74. Grafik koefisien koreksi
(Walther, 1999)

Dari grafik diatas, dengan menyesuaikan bentuk penampang yang paling mendekati didapat nilai $\eta = 0,75$.

$$V_{\text{kritis actual-MIDAS}} = 0,75 \cdot 279,1 \text{ m/dt} \\ = 209,33 \text{ m/dt}$$

Tetapi pada kondisi nyata, angin tidak selalu mengenai lantai kendaraan dalam arah horizontal secara sempurna. Terkadang nilai α dapat berubah berkisar antara 3° sampai dengan 9° , maka sebagai pembanding coba diambil nilai α rata-rata sebesar 6° . Untuk jenis lantai kendaraan dengan penampang box, perlu ada koreksi sebesar $1/3$ (Walther, 1999).

$$\eta(\alpha = \pm 6^\circ) = (1/3) \cdot 0,75 \\ = 0,25$$

Sehingga kecepatan aktual :

$$\begin{aligned} V_{\text{kritis actual-MIDAS}} &= 0,25 \cdot 279,1 \text{ m/dt} \\ &= 69,78 \text{ m/dt} \dots (\text{OK}) > V_{\text{desain}} = 29,3 \text{ m/dt} \end{aligned}$$

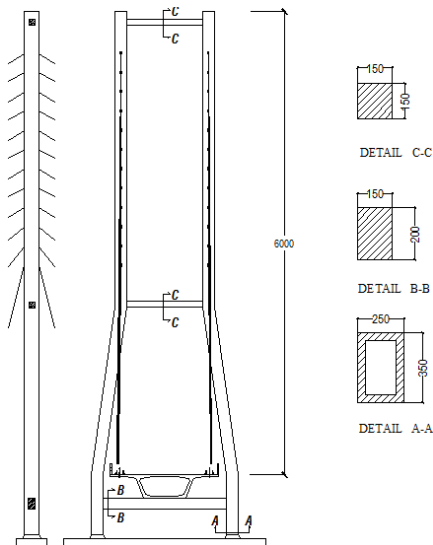
Hal ini menunjukkan bahwa, apabila pada kondisi nyata dilapangan bertiup angin dengan kecepatan 69,78 m/dt, maka akan muncul efek ayunan (*flutter*). Maka dari itu kecepatan angin di lapangan tidak boleh lebih dari itu, sedangkan pada perencanaan telah didesain besarnya kecepatan angin 29,3 m/dt. Sehingga analisa efek ayunan memenuhi. Analisa ini perlu dilanjutkan dengan pembuktian menggunakan model pada terowongan angin, agar diperoleh hasil yang akurat.

4.7 Pylon

4.7.1 Penampang pylon

Struktur *pylon* berfungsi memikul beban yang terjadi pada lantai kendaraan, baik berupa beban hidup maupun beban mati, beban dari lantai kendaraan disalurkan melalui kabel ke *pylon* untuk kemudian ditransfer ke pondasi.

Seperti yang sudah dijelaskan pada bab sebelumnya, berikut adalah bentuk penampang *pylon* yang digunakan. Dimana penampang *pylon* dibagi menjadi 3 bagian, yaitu kolom, *lower cross beam* dan *upper cross beam*. Untuk lebih jelasnya lihat Gambar 4.71



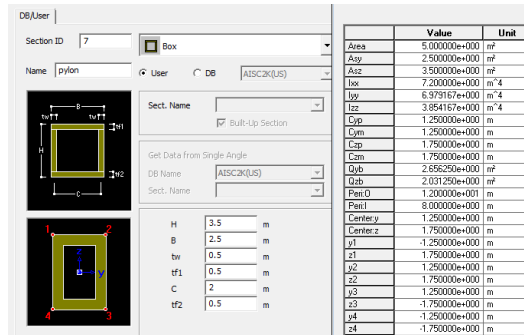
Gambar 4. 75. Dimensi Penampang Pylon (satuan dalam cm)

4.7.2 Analisa penampang pylon

1. Penulangan kolom

Berikut adalah propertis dari penampang kolom yang digunakan. Untuk lebih jelasnya, lihat Gambar 4.72

- Mutu beton (f_c') = 50 MPa
- Mutu tulangan (f_y) = 400 MPa.



Gambar 4. 76. Section properties penampang kolom

A. Penulangan lentur

Arah transversal (*braced frame*)

Cek pengaruh kelangsungan

$$\frac{k \cdot l}{r} \leq 34 - 12 \left(\frac{M_1}{M_2} \right) \dots \text{SNI 2847-2013 Ps.10.10.1$$

Dimana:

k = faktor panjang efektif komponen struktur (1)

l = panjang bebas komponen tekan (60 m)

r = jari-jari girasi penampang (0,87m)

M_1 = momen ujung terfaktor yang lebih kecil (22344 kNm)

M_2 = momen ujung terfaktor yang lebih besar (29180 kNm)

maka,

$$\frac{1.60}{0,87} \leq 34 - 12 \left(\frac{22344}{29180} \right)$$

68,96 > 16,85 ... dianalisa sebagai kolom langsing

Perbesaran momen

$$Q = \frac{\Sigma P_u \cdot \Delta \alpha}{V_u \cdot I} \leq 0,05 \dots \text{SNI 2847-2013 Ps.10.10.5.2}$$

Dimana:

P_u = gaya tekan terfaktor (39987 kN)

$\Delta \alpha$ = simpangan relatif (0,0351 m)

V_u = gaya geser terfaktor (3297 kN)

I = inersia ($3,85 \text{ m}^4$)

maka,

$$\frac{39987.0,0351}{3297.3,85} = 0,11 > 0,05 \dots \text{kolom dianggap bergoyang}$$

Prosedur perbesaran momen bergoyang

$$EI = \frac{0,4Ec.I}{1+\beta d} \dots \text{SNI 2847-2013 Pers. 10-15}$$

$$= \frac{0,4 \cdot 33234 \cdot 10^6 \cdot 3,85}{1+0,5} = 3,4 \cdot 10^{10} \text{ kNm}^2$$

$$P_c = \frac{\pi^2 \cdot EI}{(k.l)^2} \dots \text{SNI 2847-2013 Pers. 10-13}$$

$$= \frac{\pi^2 \cdot 3,4 \cdot 10^{10}}{(1.60)^2} = 9,32 \cdot 10^7 \text{ kN}$$

Faktor perbesaran momen

$$\delta ns = \frac{Cm}{1 - \frac{Pu}{0,75Pc}} \geq 1,0 \dots \text{SNI 2847-2013 Pers. 10-13}$$

Cm diambil sebesar 1,0 untuk komponen dengan beban transversal diantara tumpuannya.

Maka,

$$\delta ns = \frac{1}{1 - \frac{39987}{0,75 \cdot 9,32 \cdot 10^7}} = 1,001$$

Momen desain

$$Mc = \delta ns \cdot Mu$$

$$= 1,001 \cdot 29180 \text{ kNm} = 29209 \text{ kNm}$$

Arah longitudinal (unbraced frame)

Cek pengaruh kelangsungan

$$\frac{k \cdot l}{r} \leq 22 \dots \text{SNI 2847-2013 Ps.10.10.1}$$

Dimana:

k = faktor panjang efektif komponen struktur (1,75)

l = panjang bebas komponen tekan (60 m)

r = jari-jari girasi penampang (1,18m)

maka,

$$\frac{1,60}{1,18} \leq 22$$

$88,98 > 22$... dianalisa sebagai kolom langsing

Prosedur perbesaran momen bergoyang

$$\begin{aligned} EI &= \frac{0,4Ec.I}{1+\beta d} \dots \text{SNI 2847-2013 Pers. 10-15} \\ &= \frac{0,4 \cdot 33234 \cdot 10^6 \cdot 6,98}{1+0,5} = 6,2 \cdot 10^{10} \text{ kNm}^2 \end{aligned}$$

$$\begin{aligned} P_c &= \frac{\pi^2 \cdot EI}{(k \cdot l)^2} \dots \text{SNI 2847-2013 Pers. 10-13} \\ &= \frac{\pi^2 \cdot 6,2 \cdot 10^{10}}{(1,60)^2} = 16,9 \cdot 10^7 \text{ kN} \end{aligned}$$

Faktor perbesaran momen

$$\delta_{ns} = \frac{Cm}{1 - \frac{Pu}{0,75Pc}} \geq 1,0 \dots \text{SNI 2847-2013 Pers. 10-13}$$

Cm diambil sebesar 1,0 untuk komponen dengan beban transversal diantara tumpuannya.

Maka,

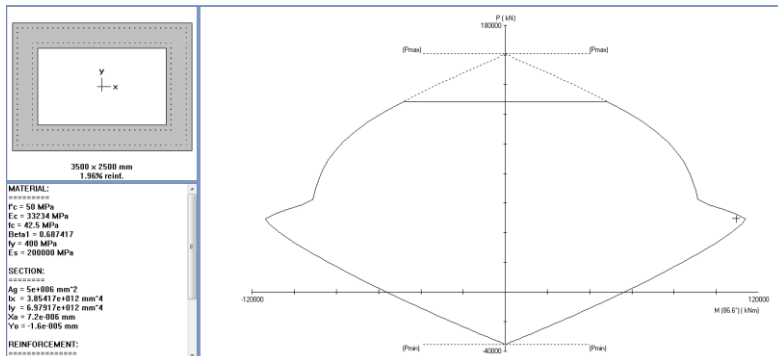
$$\delta_{ns} = \frac{1}{1 - \frac{49659}{0,75 \cdot 16,9 \cdot 10^7}} = 1,003$$

Momen desain

$$M_c = \delta_{ns} \cdot M_u$$

$$= 1,003 \cdot 108822 \text{ kNm} = 109250 \text{ kNm}$$

Direncanakan tulangan longitudinal menggunakan D25 dan tulangan tranversal menggunakan D25. Kemudian kebutuhan tulangan akan direncanakan dan dianalisa menggunakan *spColumn*. Untuk lebih jelasnya dapat dilihat pada Gambar 47.3.



Gambar 4. 77. Hasil analisa kolom pada program bantu *spColumn*

Dari hasil analisa didapat :

200 buah D25 (1,96 %) dengan $A_s = 98175 \text{ mm}^2$

Kontrol jarak antar tulangan

$$\begin{aligned}
 s &= \frac{b - 2 \cdot \text{cover} - 2 \cdot \emptyset - n \cdot D}{n - 1} \\
 &= \frac{3500 - 2.100 - 2.25 - 23.36}{23 - 1} \\
 &= 110 \text{ mm} > 40 \text{ mm} \text{ (memenuhi)}
 \end{aligned}$$

B. Penulangan geser

Arah transversal

$$N_u = 39674 \text{ kN}$$

$$V_u = 5267 \text{ kN}$$

Kuat geser beton berdasarkan SNI 2847-2013 Ps. 11.2.1.2

$$\begin{aligned} V_c &= 0,17 \left(1 + \frac{N_u}{14A_g} \right) \lambda \sqrt{f'_c} b d \\ &= 0,17 \left(1 + \frac{39674}{14 \cdot 5 \cdot 10^6} \right) 1 \cdot \sqrt{50} \cdot 389 \cdot 3389 = 1586 \text{ kN} \end{aligned}$$

Karena $V_u > \phi V_c$, maka perlu tulangan geser.

Syarat,

$$V_u \leq \phi V_n$$

$$V_u \leq \phi V_c + \phi V_s$$

$$\begin{aligned} V_s &= V_u / \phi - V_c \\ &= 5267 \cdot 10^3 / 0,85 - 1586 \cdot 10^3 \\ &= 4611 \cdot 10^3 \text{ N} \end{aligned}$$

Digunakan sengkang 4 kaki

$$\begin{aligned} A_v &= 4 \cdot \pi \cdot 0,25 \cdot d^2 \\ &= 4 \cdot \pi \cdot 0,25 \cdot 25^2 = 1962 \text{ mm}^2 \end{aligned}$$

$$\begin{aligned} s &= \frac{A_v \cdot f_y \cdot d}{V_s} \\ &= \frac{1962 \cdot 400 \cdot 889}{4611 \cdot 10^3} = 151 \text{ mm} \end{aligned}$$

Syarat spasi sengkang berdasarkan SNI 2847-2013 Ps. 21.3.4.2

- $8D$ lentur = $8.25\text{mm} = 200 \text{ mm}$
- $24D$ sengkang = $24.22\text{mm} = 528 \text{ mm}$
- $\frac{1}{2}$ dimensi kolom terkecil = $2500/2 = 1250 \text{ mm}$
- 300 mm

Diambil spasi terkecil yaitu 200 mm

Maka digunakan sengkang 4D25-100

Arah longitudinal

$$N_u = 8860 \text{ kN}$$

$$V_u = 6768 \text{ kN}$$

Kuat geser beton berdasarkan SNI 2847-2013 Ps. 11.2.1.2

$$\begin{aligned} V_c &= 0,17 \left(1 + \frac{N_u}{14A_g} \right) \lambda \sqrt{f_{c'} b} d \\ &= 0,17 \left(1 + \frac{8860}{14 \cdot 5 \cdot 10^6} \right) 1 \cdot \sqrt{50} \cdot 389 \cdot 2389 = 1117 \text{kN} \end{aligned}$$

Karena $V_u > \phi V_c$, maka perlu tulangan geser.

Syarat,

$$V_u \leq \phi V_n$$

$$V_u \leq \phi V_c + \phi V_s$$

$$\begin{aligned} V_s &= V_u / \phi - V_c \\ &= 6768 \cdot 10^3 / 0,85 - 1117 \cdot 10^3 \\ &= 6845 \cdot 10^3 \text{ N} \end{aligned}$$

Digunakan sengkang 4 kaki

$$\begin{aligned} A_v &= 4\pi \cdot 0,25 \cdot d^2 \\ &= 4\pi \cdot 0,25 \cdot 25^2 = 1962 \text{ mm}^2 \end{aligned}$$

$$\begin{aligned} s &= \frac{A_v \cdot f_y \cdot d}{V_s} \\ &= \frac{1962 \cdot 400 \cdot 889}{6845 \cdot 10^3} = 102 \text{ mm} \end{aligned}$$

Syarat spasi sengkang berdasarkan SNI 2847-2013 Ps. 21.3.5.2

- 8D lentur = $8 \cdot 25 \text{ mm} = 200 \text{ mm}$
- 24D sengkang = $24 \cdot 22 \text{ mm} = 528 \text{ mm}$
- $\frac{1}{2}$ dimensi kolom terkecil = $2500/2 = 1250 \text{ mm}$
- 300 mm

Diambil spasi terkecil yaitu 200 mm

Maka digunakan sengkang 4D25-100

C. Penulangan torsi

$$T_u = 6812 \text{ kNm}$$

Desain tulangan torsi berdasarkan SNI 2847-2013 Ps. 11.5

$$T_u \leq \varphi 0,083 \lambda \sqrt{f c'} \left(\frac{A_{cp}^2}{P_{cp}} \right)$$

$$6812 \text{ kNm} \leq 0,85 \cdot 0,083 \cdot 1 \sqrt{50} \left(\frac{5000000^2}{12000} \right)$$

$6812 \text{ kNm} > 1039 \text{ kNm} \dots$ maka perlu tulangan torsi

$$\begin{aligned} T_n &= T_u / \varphi \\ &= 6812 / 0,85 = 8015 \text{ kNm} \end{aligned}$$

$$\begin{aligned} A_o &= 0,85 A_{oh} \\ &= 0,85 \cdot (2389 \cdot 3389) = 6881873 \text{ mm}^2 \end{aligned}$$

$$T_n = \frac{2A_o \cdot A_t \cdot f_y}{s} \cdot \cot\theta, \text{ maka}$$

$$A_t/s = \frac{T_n}{2A_o \cdot f_y \cdot \cot\theta} = \frac{8015000000}{2.6881873.400.\cot45} = 1,46 \text{ mm}^2$$

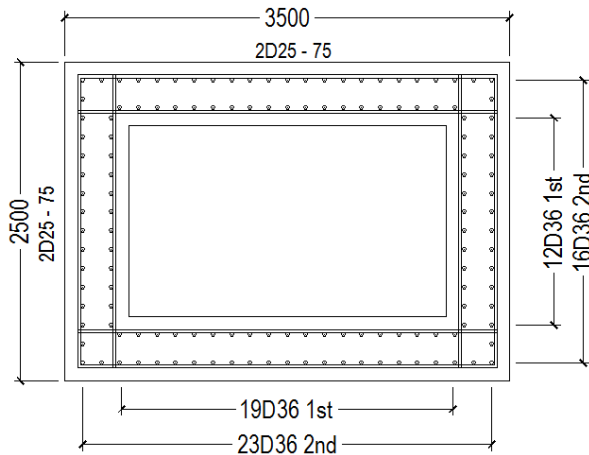
Tulangan longitudinal tambahan untuk menahan puntir

$$A_l = \frac{A_t}{s} \cdot P_h \cdot \frac{f_{yl}}{f_{yt}} \cdot \cot^2\theta$$

$$= 1,46 \cdot (2 \cdot (2389 + 3389)) \cdot \frac{400}{400} \cdot \cot^2 45 = 16872 \text{ mm}^2$$

Sehingga untuk mengakomodasi tulangan puntir dan untuk memudahkan pelaksanaan digunakan tulangan lentur 132 buah D36 (2,69 %) dengan $A_s = 134376 \text{ mm}^2$ dan sengkang 4 D25-75

Untuk lebih jelasnya lihat Gambar 4.74.

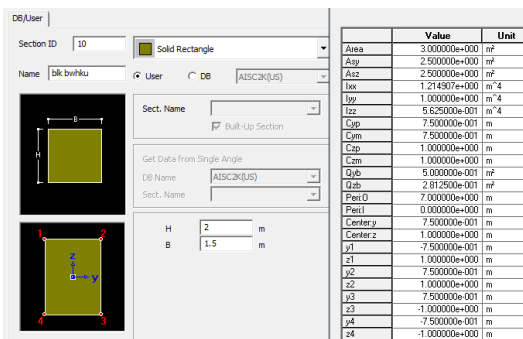


Gambar 4. 78. Desain penulangan kolom

2. Penulangan lower cross beam

Berikut adalah propertis dari penampang *lower cross beam* yang digunakan. Untuk lebih jelasnya, lihat Gambar 47.5.

- Mutu beton ($f_{c'}$) = 50 MPa
- Mutu tulangan (f_y) = 400 MPa.



Gambar 4. 79. Section properties penampang lower cross beam

Berikut adalah gaya dalam yang bekerja hasil analisa program bantu MIDAS/CIVIL

- $P_u = 3388 \text{ kN}$
- $M_u = 2951 \text{ kNm}$
- $V_u = 1358 \text{ kN}$
- $T_u = 39,33 \text{ kNm}$

Komponen struktur yang mengalami tekan dapat diabaikan apabila gaya tekan yang terjadi kurang dari:

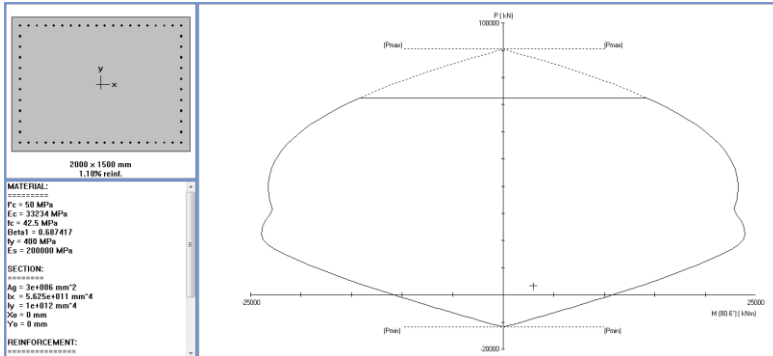
$$P_u < 0,1.f_{c'}A_g$$

$$3388.10^3 < 0,1.50.3.10^6$$

$3388.10^3 < 15000.10^3$... maka gaya aksial dapat diabaikan

A. Penulangan lentur

Direncanakan tulangan longitudinal menggunakan D25 dan tulangan tranversal menggunakan D22. Kemudian kebutuhan tulangan akan direncanakan dan dianalisa menggunakan *spColumn*. Untuk lebih jelasnya dapat dilihat pada Gambar 47.6.



Gambar 4. 80. Hasil analisa lower cross beam pada program bantu *spColumn*

Dari hasil analisa didapat :

$$60 \text{ D25 (1,10\%)} \text{ As} = 32885 \text{ mm}^2$$

Kontrol jarak antar tulangan

$$s = \frac{b - 2 \cdot \text{cover} - 2 \cdot \emptyset - n \cdot D}{n - 1}$$

$$= \frac{2000 - 2.75 - 2.22 - 20.25}{20 - 1}$$

$$= 68,7 \text{ mm} > 40 \text{ mm} \text{ (memenuhi)}$$

B. Penulangan geser

Kuat geser beton berdasarkan SNI 2847-2013 Ps. 11.2.1.2

$$V_c = 0,17 \left(1 + \frac{N_u}{14A_g} \right) \lambda \sqrt{f_{c'}} b d = 0$$

Karena $V_u > \phi V_c$, maka perlu tulangan geser.

Syarat,

$$V_u \leq \phi V_n$$

$$V_u \leq \phi V_c + \phi V_s$$

$$V_s = V_u / \phi - V_c$$

$$= 1358 \cdot 10^3 / 0,85 - 0$$

$$= 1598 \cdot 10^3 \text{ N}$$

Digunakan sengkang 4 kaki

$$A_v = 4 \cdot \pi \cdot 0,25 \cdot d^2$$

$$= 4 \cdot \pi \cdot 0,25 \cdot 22^2 = 1519 \text{ mm}^2$$

$$s = \frac{A_v \cdot f_y \cdot d}{V_s}$$

$$= \frac{1519 \cdot 400 \cdot 1892}{1598 \cdot 10^3} = 719 \text{ mm}$$

Syarat spasi sengkang berdasarkan SNI 2847-2013 Ps. 21.3.5.2

- 8D lentur = $8 \cdot 25 \text{ mm} = 200 \text{ mm}$
- 24D sengkang = $24 \cdot 22 \text{ mm} = 528 \text{ mm}$
- $\frac{1}{2}$ dimensi kolom terkecil = $2500/2 = 1250 \text{ mm}$
- 300 mm

Diambil spasi terkecil yaitu 200 mm

Maka digunakan sengkang 4D22-200

C. Penulangan torsi

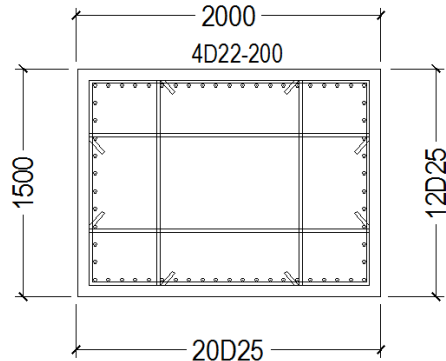
Desain tulangan torsi berdasarkan SNI 2847-2013 Ps. 11.5

$$Tu \leq \varphi 0,083 \lambda \sqrt{fc'} \left(\frac{Acp^2}{Pcp} \right)$$

$$39,33 \text{ kNm} \leq 0,85 \cdot 0,083 \cdot 1 \sqrt{50} \left(\frac{3000000^2}{7000} \right)$$

$39,33 \text{ kNm} < 641 \text{ kNm}$. . maka tidak perlu tulangan torsi

Berikut hasil penulangan *lower cross beam*, untuk lebih jelasnya lihat Gambar 47.7.

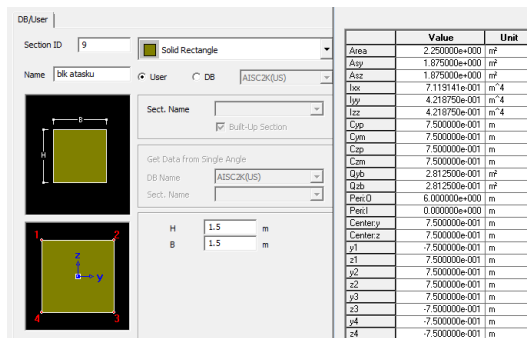


Gambar 4. 81. Desain penulangan lower cross beam

3. Penulangan upper cross beam

Berikut adalah propertis dari penampang *upper cross beam* yang digunakan. Untuk lebih jelasnya, lihat Gambar 4.78.

- Mutu beton ($f_{c'}$) = 50 MPa
- Mutu tulungan (f_y) = 400 MPa



Gambar 4. 82. Section properties penampang upper cross beam

Berikut adalah gaya dalam yang bekerja hasil analisa program bantu MIDAS/CIVIL

- $P_u = 3598 \text{ kN}$
- $M_u = 16948 \text{ kNm}$
- $V_u = 3388 \text{ kN}$
- $T_u = 236 \text{ kNm}$

Komponen struktur yang mengalami tekan dapat diabaikan apabila gaya tekan yang terjadi kurang dari:

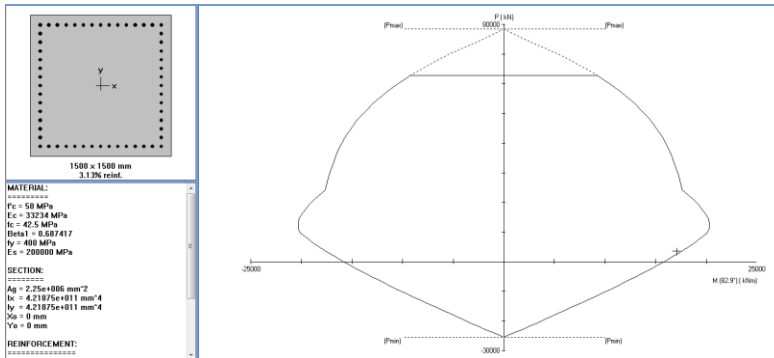
$$P_u < 0,1.f_{c'}.\text{Ag}$$

$$3598.10^3 < 0,1.50.2,25.10^6$$

$3598.10^3 < 11250.10^3 \dots$ maka gaya aksial dapat diabaikan

A. Penulangan lentur

Direncanakan tulangan longitudinal menggunakan D40 dan tulangan tranversal menggunakan D22. Kemudian kebutuhan tulangan akan direncanakan dan dianalisa menggunakan *spColumn*. Untuk lebih jelasnya dapat dilihat pada Gambar 4.79.



Gambar 4. 83. Hasil analisa upper cross beam pada program bantu *spColumn*

Dari hasil analisa didapat :

$$56 \text{ D40 (1,10\%)} A_s = 70371 \text{ mm}^2$$

Kontrol jarak antar tulangan

$$s = \frac{b - 2 \cdot \text{cover} - 2 \cdot \phi - n \cdot D}{n - 1}$$

$$\begin{aligned}
 &= \frac{1500 - 2.75 - 2.22 - 15.40}{15 - 1} \\
 &= 50,4 \text{ mm} > 40 \text{ mm} \text{ (memenuhi)}
 \end{aligned}$$

B. Penulangan geser

Kuat geser beton berdasarkan SNI 2847-2013 Ps. 11.2.1.2

$$V_c = 0,17 \left(1 + \frac{N_u}{14A_g} \right) \lambda \sqrt{f'_c} b d = 0$$

Karena $V_u > \varphi V_c$, maka perlu tulangan geser.

Syarat,

$$V_u \leq \varphi V_n$$

$$V_u \leq \varphi V_c + \varphi V_s$$

$$V_s = V_u / \varphi - V_c$$

$$= 3388 \cdot 10^3 / 0,85 - 0$$

$$= 3985 \cdot 10^3 \text{ N}$$

Digunakan sengkang 4 kaki

$$A_v = 4 \cdot \pi \cdot 0,25 \cdot d^2$$

$$= 4 \cdot \pi \cdot 0,25 \cdot 22^2 = 1519 \text{ mm}^2$$

$$s = \frac{A_v f_y d}{V_s}$$

$$= \frac{1519 \cdot 400 \cdot 1383}{3985 \cdot 10^3} = 210 \text{ mm}$$

Syarat spasi sengkang berdasarkan SNI 2847-2013 Ps. 21.3.5.2

- $8D$ lentur $= 8 \cdot 25 \text{ mm} = 200 \text{ mm}$
- $24D$ sengkang $= 24 \cdot 22 \text{ mm} = 528 \text{ mm}$
- $\frac{1}{2}$ dimensi kolom terkecil $= 2500/2 = 1250 \text{ mm}$
- 300 mm

Diambil spasi terkecil yaitu 200 mm

Maka digunakan sengkang $4D22-200$

C. Penulangan torsi

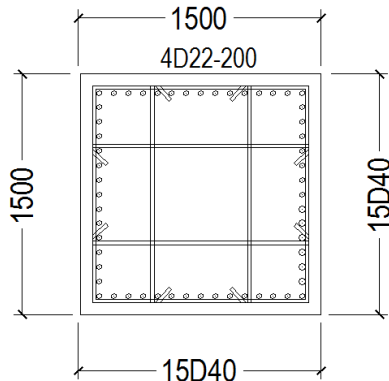
Desain tulangan torsi berdasarkan SNI 2847-2013 Ps. 11.5

$$Tu \leq \varphi 0,083 \lambda \sqrt{fc'} \left(\frac{Acp^2}{Pcp} \right)$$

$$236 \text{ kNm} \leq 0,85 \cdot 0,083 \cdot 1 \sqrt{50} \left(\frac{2250000^2}{6000} \right)$$

$236 \text{ kNm} < 429 \text{ kNm}$. . maka tidak perlu tulangan torsi

Berikut hasil penulangan *upper cross beam*, untuk lebih jelasnya lihat Gambar 4.80.



Gambar 4. 84. Desain penulangan upper cross beam

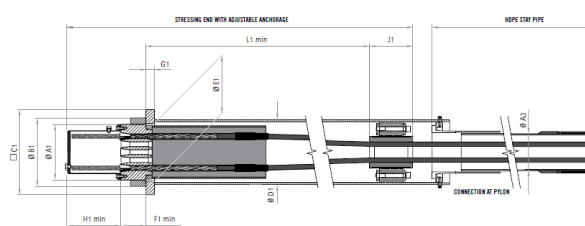
4.7.3 Analisa angkur pada pylon

Angkur kabel dipasang sesuai jumlah strand dan gaya *stressing* nya yang telah dihitung. Perencanaan ini meliputi cek tegangan beton saat *stressing* serta kebutuhan tulangan pencar (*bursting*) dan tulangan pecah (*spalling*).

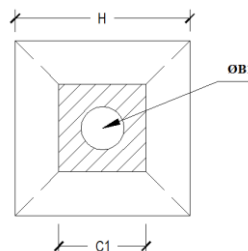
Berikut adalah nilai gaya tarik dan detail serta spesifikasi angker yang digunakan dapat dilihat pada Tabel 4.39 dan Tabel 4.40 serta Gambar 4.81 dan Gambar 4.82.

Tabel 4. 41. Gaya tarik dari A_{aktual} pada *pylon*

Kabel	Gaya
m12	6692.12 kN
m11	9734.31 kN
m10	13015.19 kN
m9	10153.82 kN
m8	7880.63 kN
m7	6572.06 kN
m6	6864.06 kN
m5	7760.78 kN
m4	7455.06 kN
m3	6599.34 kN
m2	6349.39 kN
m1	6483.56 kN
s1	5422.42 kN
s2	11835.35 kN
s3	10211.87 kN
s4	12236.17 kN
s5	14010.40 kN



Gambar 4. 85. Detail angker VSL SSI 2000 yang digunakan



Gambar 4. 86. Notasi dimensi angkur

Tabel 4. 42. Spesifikasi angker VSL SSI 2000 yang digunakan
Stay Stressing End

TENDON UNIT	Number of strands n	Minimum breaking load kN	Force at 45% kN	Transverse force kN	TENDON UNIT	$\varnothing A1$ mm	$\varnothing E1$ mm	$C1$ mm	$\varnothing D1$ mm	$\varnothing E1$ mm	$F1$ min mm	$G1$ min mm	$H1$ min mm	$J1$ mm	$L1$ min mm
6-12	12	3,348	1,507	50	6-12	190	230	290	219.1/6.3	196	85	30	235	160	1,500
6-19	19	5,301	2,385	80	6-19	235	285	355	267/6.3	241	100	35	245	180	1,750
6-22	22	6,138	2,762	90	6-22	255	310	385	298.5/7.1	261	110	40	245	210	1,900
6-31	31	8,649	3,892	130	6-31	285	350	440	323.9/7.1	291	130	45	275	210	2,100
6-37	37	10,323	4,645	150	6-37	310	380	485	355.6/8.0	316	140	50	295	210	2,300
6-43	43	11,997	5,399	180	6-43	350	425	540	406.4/8.8	356	145	55	305	210	2,550
6-55	55	15,345	6,905	230	6-55	385	470	585	419/10	391	165	60	325	260	2,650
6-61	61	17,019	7,659	250	6-61	385	470	600	419/10	391	180	65	345	260	2,850
6-73	73	20,367	9,165	300	6-73	440	530	680	508/11	446	180	75	345	290	3,050
6-85	85	23,715	10,672	350	6-85	440	540	710	508/11	446	210	80	375	290	3,150
6-91	91	25,389	11,425	375	6-91	490	590	760	559/12.5	496	195	80	385	320	3,400
6-109	109	30,411	13,685	450	6-109	505	610	795	559/12.5	511	215	90	400	320	3,550
6-127	127	35,433	15,945	525	6-127	560	670	865	610/12.5	566	255	95	410	340	3,950

Contoh perhitungan angkur kabel s5 dengan tendon 6-127

$$T = 14010 \text{ kN}$$

$$H = 900 \text{ mm}$$

$$\phi B_1 = 670 \text{ mm}$$

$$A_2 = H \times H = 8,1 \cdot 10^5 \text{ mm}^2$$

$$C_1 = 865 \text{ mm}$$

$$A_1 = (C_1 \times C_1) - \text{area } \phi B_1 = 395660 \text{ mm}^2$$

Pemberian gaya tarik dilakukan pada saat beton berusia 14 hari dengan kuat tekan beton diperkirakan 85%fc'

$$f_{ci} = 85\% \times 50 \text{ MPa} = 42,5 \text{ MPa}$$

$$\begin{aligned} f_{cp} &= 0,8 \cdot f_{ci} \cdot \sqrt{\frac{A_2}{A_1} - 0,2} \\ &= 0,8 \cdot 42,5 \cdot \sqrt{\frac{810000}{395660} - 0,2} = 46,2 \text{ MPa} \end{aligned}$$

Tegangan di bawah plat angker

$$f_t = T/A_1$$

$$= 14010000 / 395660 = 35,41 \text{ MPa}$$

Syarat, $f_t < f_{cp} = 46,2 \text{ Mpa}$ (memenuhi)

Untuk kontrol angkur kabel lain dapat dilihat pada Tabel 4.41

Tabel 4. 43. Kontrol tegangan beton saat *stressing* pada kabel di *pylon*

Kabel	Angkur (strand)	Gaya (kN)	fcp (Mpa)	ft (Mpa)	Kontrol (ft < fcp)
m12	61	6692.12	69.19	35.86	OK
m11	85	9734.31	56.31	35.37	OK
m10	127	13015.19	46.20	32.88	OK
m9	91	10153.82	53.34	33.36	OK
m8	73	7880.63	60.33	32.58	OK
m7	61	6572.06	69.19	35.22	OK
m6	61	6864.06	69.19	36.79	OK
m5	73	7760.78	60.33	32.08	OK
m4	73	7455.06	60.33	30.82	OK
m3	61	6599.34	69.19	35.37	OK
m2	55	6349.39	72.91	37.61	OK
m1	61	6483.56	69.19	34.75	OK
s1	55	5422.42	72.91	32.12	OK
s2	127	11835.35	46.20	29.90	OK
s3	127	10211.87	46.20	25.80	OK
s4	127	12236.17	46.20	30.91	OK
s5	127	14010.40	46.20	35.39	OK

Perhitungan tulangan daerah pengangkuran berdasarkan SNI 03 2847-2002 Ps.20.13.3.2

Kebutuhan tulangan pencar

$$\begin{aligned} T_{\text{pencar}} &= 0,25 \cdot T \cdot \left(1 - \frac{c_1}{h}\right) \\ &= 0,25 \cdot 14010 \cdot \left(1 - \frac{865}{900}\right) = 136,21 \text{ kN} \end{aligned}$$

$$\begin{aligned} d_{\text{pencar}} &= 0,5(h-2e) \\ &= 0,5(900-2 \cdot 20) = 450 \text{ mm} \end{aligned}$$

Digunakan sengkang penutup D12 dengan $A_s = 226 \text{ mm}^2$

$$\begin{aligned}
 As \text{ perlu} &= T_{\text{pencar}} / f_y \\
 &= 136210 / 400 = 340,52 \text{ mm}^2 \\
 n &= As \text{ perlu} / As \text{ pakai} \\
 &= 340,52 / 226 \\
 &= 1,5 \sim 2 \text{ sengkang dekat ujung angkur}
 \end{aligned}$$

spasi antar sengkang

$$\begin{aligned}
 s &= d_{\text{pencar}} / n \\
 &= 450 / 1,5 = 298 \sim 250 \text{ mm}
 \end{aligned}$$

maka dipasang sengkang 2D12-250

Untuk mencegah pecah (*spalling*), dipasang tulangan dengan kuat tarik 2%T

$$2\%T = 2\% \cdot 14010 \text{ kN} = 280,2 \text{ kN}$$

$$\begin{aligned}
 As \text{ perlu} &= 2\%T / f_y \\
 &= 280200 / 400 = 700,5 \text{ mm}^2
 \end{aligned}$$

Digunakan tulangan UD12 dengan As = 113 mm²

$$\begin{aligned}
 n &= As \text{ perlu} / As \text{ pakai} \\
 &= 700,5 / 113 = 6,2 \sim 7 \text{ buah tulangan U}
 \end{aligned}$$

Untuk perhitungan lainnya ditabelkan pada lampiran.

Halaman ini sengaja dikosongkan

BAB V

PENUTUP

5.1 Ringkasan

Berdasarkan analisa yang telah dilakukan dapat disimpulkan beberapa hal, yaitu:

1. Bentang total jembatan sepanjang 144 m dengan main span sepanjang 121,5 m dan *side span* sepanjang 22,5 m.
2. Lebar total jembatan selebar 12,6 m dengan lebar jalan 8,1m untuk lajur 2/2 UD.
3. Digunakan kabel penggantung VSL SSI 2000 tipe ASTM A 416-06 Grade 270 dengan jumlah strand bervariasi antara 55-127 strand.
4. Digunakan tendon prategang VSL *posttension* tipe ASTM A 416-06 Grade 270 unit 6-27 untuk flens atas dan 6-55 untuk flens bawah.
5. Digunakan beton *precast* f'_c 80MPa pada gelagar dan beton *cast in situ* f'_c 50MPa pada *pylon*.
6. Digunakan mutu tulangan f_y 400 MPa untuk tulangan utama maupun sengkang pada gelagar dan *pylon*.
7. Digunakan tulangan lentur pada flens D22-50, D22-70 pada web dan sengkang D25-100.
8. Digunakan tulangan 132D36 dan sengkang 4D25-75 pada kolom *pylon*, tulangan 60D25 dan sengkang 4D22-200 pada *lower cross beam*, serta tulangan 56D40 dan sengkang 4D22-200 pada *top cross beam*.
9. Digunakan angkur pada *deck* dan *pylon* tipe DRT *stay cable system* VSL SSI 2000.
10. Digunakan perletakan *pot bearing* GOODCO Z-TECH tipe PMCG 20000 series *unidirectional*.
11. Digunakan MAURER expansion joint tipe DS160 dengan toleransi perpindahan sebesar 160 mm.

12. Berdasarkan analisa stabilitas aerodinamis menunjukkan perbandingan antara frekuensi alami torsi (ft) dengan frekuensi alami lentur (fb) sebesar 2,43 dengan $V_{rencana}$ sebesar 29,3 m/s < $V_{kritis-aktual}$ sebesar 69,78m/s sehingga tidak mengalami *flutter/ayunan*. Sedangkan klasifikasi efek psikologis baik berdasarkan amplitudo maupun percepatan getaran masuk dalam kategori dapat diterima (*acceptable*).
13. Berdasarkan analisa 1 kabel putus, jembatan dengan spesifikasi diatas masih dalam kondisi aman terhadap kontrol tegangan beton, momen batas, dan momen *crack*.

5.2 Saran

Berdasarkan analisa yang telah dilakukan terdapat beberapa saran yang dapat dilakukan, yaitu:

1. Konfigurasi dan jenis beban dapat ditambah agar desain menjadi lebih teliti.
2. Untuk desain asimetris *cable-stayed* sebaiknya bentuk *pylon* dimiringkan ke arah *side span* agar momen pada *pylon* tidak terlalu besar.
3. Penetapan jumlah *strand* sebaiknya ditambah sekitar 5% dari jumlah *strand* perlu untuk mengantisipasi penambahan *strand* dikemudian hari.
4. Selain analisa aerodinamis secara manual, ada baiknya dilakukan uji *wind tunnel* dengan jembatan berskala.

DAFTAR PUSTAKA

- AASHTO, 2012. *AASHTO LRFD Bridge Design Specification, 7th ed.* Washington, D.C.: American Association of State Highway and Transportation Officials.
- AASHTO-PCI-ASBI Standard Segment For Span-By-Span Construction, 2011.
- Benaim, Robert. 2008. *The Design of Prestressed Concrete Bridges.*
- Bridge Management System. **Peraturan Perencanaan Teknik Jembatan.** BMS 1992. Departemen PU Dirjen Bina Marga.
- Budiadi, Andri. 2008. **Desain Praktis Beton Pratengang.**
- Gimsing, N.J. 1983. **Cable Supported Bridges, Concepts and Design,** John Wiley and Sons, New York.
- Gimsing, Neils J. , 1999. *Cable Stayed Bridges- Past, Present and Future. Proceedings of the International Association for Bridge and Structural Engineering,* Juni.
- Gimsing, Neils J. , dan Christos T. Georgakis. 2012. *Cable Suported Bridge Concept and Design Third Edition.* Denmark, John Wiley and Sons Ltd.
- Juvani, Jani, dan Olli Lipponen. 2012. “**Cable Stayed Bridge**”. Alto University 7 (November).
- Leonhardt, F., 1987. *Cable Stayed Bridges With Prestressed Concrete. Journal of the Prestressed Concrete Institute,* September-Oktober.
- Ma’arif, Faqih. 2012. “**Analisa Struktur Jembatan**”. Universitas Negeri Yogyakarta (Juli).
- Muller, J. M., 2006. *Historical-Technical Series. Journal of the Prestressed Concrete Institute,* Maret-April.
- Ned, T. L. & Burn, H., 1993. *Desain Struktur Beton Pratengang. Third ed.* Jakarta: Erlangga.

- Parke, Gerard, dan Nigel Hewson. 2008. *ICE Manual of Bridge Engineering Second Edition*. London, Thomas Telford Ltd.
- Peraturan Kementerian Pekerjaan Umum Nomor 08/SE/M/2015. **Perencanaan Jembatan Beruji Kabel**.
- Podolny Jr, Walter dan Muller, Jean M. 1982. *Prestress Concrete Segmental Bridge*, USA.
- Reis, A.J. & Pedro, J. O., 2001. *Asymmetric and Curved Cable Stayed Bridges. Proceedings of the International Association for Bridge and Structural Engineering*, Januari.
- Rombach, G., 2002. **Precast segmental box girder bridges with external prestressing**. INSA Rennes, p. 1.
- RSNI T-12-2004, **Perencanaan Struktur Beton untuk Jembatan**.
- RSNI 2833-2013. **Perencanaan Jembatan Terhadap Beban Gempa**. Badan Standarisasi Nasional, 2013.
- SNI 1725-2016, **Pembebatan untuk Jembatan**.
- SNI 2847-2013, **Persyaratan Beton Struktural untuk Bangunan Gedung**.
- Soegiharjo, H, Irawan D, Harwijono. 2007. **Kuliah Rekayasa Jembatan Bentang Panjang**. Jurusan Teknik Sipil ITS
- Strasky, J., 1993. *Design and Construction of Cable Stayed Bridges in the Czech Republic. Journal of the Prestressed Concrete Institute*, Nopember-Desember.
- Troitsky, M.S. .1988. *Cable-stayed Bridge Theory and Design*. London, BSp Professional Books.
- Walter, R. , Houriet, Isler, Moia, Klein. 1999. *Cable Stayed Bridge Second Edition*. London, Thomas Telford Publishing.
- Yuskar dan Andi, 2005. *Kajian Sambungan Antara Pilar dan Kabel Pada Jembatan Cable Stayed*, Jakarta: Universitas Indonesia.

BIODATA PENULIS



Lahir pada tanggal 2 Januari 1994 di Surabaya, penulis merupakan anak sulung dari lima bersaudara. Bernama lengkap Mohammad Akbar Alrasyidi, penulis yang akrab di panggil Akbar ini pernah mengeyam pendidikan di bangku SD Islam Al-Azhar Surabaya sebelum pindah ke SDN Ketabang I Surabaya, juga di bangku SMPN 9 Surabaya serta di bangku SMAN 1 Surabaya. Selepas bangku SMA, penulis melanjutkan studi nya di D3 Teknik Sipil FTSP-ITS selama 3 tahun dan meneruskannya ke jenjang sarjana di jurusan Teknik Sipil ITS. Penulis juga aktif berorganisasi di setiap jenjang pendidikannya. Selain mengisi waktu dengan kegiatan akademik dan organisasi, di waktu senggangnya penulis juga senang menghabiskan waktu untuk berolahraga dan menonton film.

LAMPIRAN

- Lampiran A – Kontrol diagram tegangan
- Lampiran B – Kontrol momen crack dan momen batas
- Lampiran C – Tulangan daerah pengangkuran
- Lampiran D – Brosur tendon prategang dan angkurnya
- Lampiran E – Brosur kabel penggantung dan angkurnya
- Lampiran F – Brosur perletakan
- Lampiran G – Brosur expansion joint
- Lampiran H – Contoh desain blok angkur
- Lampiran I – Flowchart permodelan midas

A

elemen	A (mm ²)	y _s (mm)	y _b (mm)	I	M _l	tbawah	estas	n bawah	Fbawah	n atas	Fatasi	Δ _{st}	Δ _{s1}	Δ _{s2}	CR	SH	RE	f _{sp}	Fse	f _u (Mpa)	Kontrol		
																					Kontrol		
214	6.45	1.37	0.73	3.85	949	1.12	0.43	4	45883.2	10	56311.2	25.99	26.81	41.67	38.45	23.74	33.31	1299.74	40031.93	-10.362	-21.768	OK	OK
213	6.45	1.37	0.73	3.85	947	1.12	0.43	4	45883.2	8	45048.96	19.62	26.81	41.67	27.62	23.74	34.00	1316.25	40540.37	-7.882	-22.037	OK	OK
215	6.45	1.37	0.73	3.85	504	1.12	0.43	4	45883.2	8	45048.96	19.42	26.81	41.67	29.30	23.74	33.94	1314.82	40496.55	-7.802	-22.170	OK	OK
212	6.45	1.37	0.73	3.85	-653	1.12	0.43	4	45883.2	6	33786.72	12.53	26.81	41.67	16.27	23.74	34.75	1333.94	10185.47	-5.072	-22.891	OK	OK
216	6.45	1.37	0.73	3.85	-2141	1.12	0.43	2	22941.6	6	33786.72	15.00	26.81	41.67	20.88	23.74	34.46	1327.16	20438.24	-5.993	-12.051	OK	OK
211	6.45	1.37	0.73	3.85	-4100	1.12	0.43	4	45883.2	10	56311.2	23.71	26.81	41.67	34.23	23.74	33.57	1305.99	40224.36	-9.390	-23.664	OK	OK
217	6.45	1.37	0.73	3.85	-7065	1.12	0.43	2	22941.6	10	56311.2	25.50	26.81	41.67	34.16	23.74	33.50	1304.33	20086.69	-10.046	-13.628	OK	OK
210	6.45	1.37	0.73	3.85	-12557	1.12	0.43	2	22941.6	8	45048.96	16.64	26.81	41.67	24.47	23.74	34.25	1322.12	20360.72	-6.470	-15.712	OK	OK
218	6.45	1.37	0.73	3.85	-16187	1.12	0.43	2	22941.6	10	56311.2	21.37	26.81	41.67	23.26	23.74	34.11	1316.76	20308.87	-8.337	-16.983	OK	OK
209	6.45	1.37	0.73	3.85	-10807	1.12	0.43	2	22941.6	6	33786.72	11.07	26.81	41.67	15.55	23.74	34.83	1336.04	20574.95	-4.317	-15.198	OK	OK
219	6.45	1.37	0.73	3.85	-11028	1.12	0.43	2	22941.6	8	45048.96	17.34	26.81	41.67	19.50	23.74	34.42	1326.23	20423.98	-6.820	-15.206	OK	OK
208	6.45	1.37	0.73	3.85	-81010	1.12	0.43	2	22941.6	6	33786.72	11.07	26.81	41.67	15.75	23.74	34.83	1333.85	20572.03	-4.317	-15.197	OK	OK
220	6.45	1.37	0.73	3.85	-8069	1.12	0.43	2	22941.6	8	45048.96	18.68	26.81	41.67	23.62	23.74	34.20	1320.99	20343.29	-7.374	-14.112	OK	OK
207	6.45	1.37	0.73	3.85	-12631	1.12	0.43	2	22941.6	8	45048.96	16.61	26.81	41.67	26.34	23.74	34.18	1320.37	20333.67	-6.464	-15.724	OK	OK
221	6.45	1.37	0.73	3.85	7	1.12	0.43	2	22941.6	6	33786.72	15.97	26.81	41.67	11.89	23.74	34.78	1334.85	20565.74	-9.001	-11.368	OK	OK
206	6.45	1.37	0.73	3.85	-10444	1.12	0.43	2	22941.6	8	45048.96	17.60	26.81	41.67	27.57	23.74	34.09	1304.35	20086.98	-6.789	-14.812	OK	OK
205	6.45	1.37	0.73	3.85	-10105	1.12	0.43	2	22941.6	6	33786.72	11.39	26.81	41.67	17.62	23.74	34.74	1319.86	2025.77	-4.391	-14.811	OK	OK
204	6.45	1.37	0.73	3.85	-9639	1.12	0.43	2	22941.6	8	45048.96	17.91	26.81	41.67	27.05	23.74	34.09	1304.50	20099.24	-6.955	-14.528	OK	OK
203	6.45	1.37	0.73	3.85	-4918	1.12	0.43	2	22941.6	8	45048.96	20.11	26.81	41.67	31.59	23.74	33.82	1298.06	19990.48	-7.848	-12.800	OK	OK
202	6.45	1.37	0.73	3.85	-2884	1.12	0.43	2	22941.6	6	33786.72	14.66	26.81	41.67	22.23	23.74	34.40	1311.73	20200.59	-5.773	-12.183	OK	OK
201	6.45	1.37	0.73	3.85	-1750	1.12	0.43	2	22941.6	8	45048.96	21.54	26.81	41.67	34.01	23.74	33.67	1294.36	19933.51	-8.463	-11.646	OK	OK
200	6.45	1.37	0.73	3.85	-4629	1.12	0.43	2	22941.6	8	45048.96	24.43	26.81	41.67	37.60	23.74	33.41	1285.16	19837.72	-9.674	-9.203	OK	OK
199	6.45	1.37	0.73	3.85	8295	1.12	0.43	2	22941.6	6	33786.72	19.72	26.81	41.67	29.76	23.74	33.91	1300.21	20023.18	-7.912	-12.132	OK	OK
198	6.45	1.37	0.73	3.85	10893	1.12	0.43	2	22941.6	8	45048.96	27.27	26.81	41.67	41.97	23.74	33.12	1281.25	19731.32	-10.673	-7.054	OK	OK
197	6.45	1.37	0.73	3.85	21333	1.12	0.43	2	22941.6	8	45048.96	32.00	26.81	41.67	48.86	23.74	32.65	1270.10	1959.49	-12.671	-3.259	OK	OK
196	6.45	1.37	0.73	3.85	29423	1.12	0.43	4	45883.2	6	33786.72	26.16	26.81	41.67	39.52	23.74	33.26	1284.67	39567.85	-10.812	-11.395	OK	OK
195	6.45	1.37	0.73	3.85	37670	1.12	0.43	4	45883.2	8	45048.96	36.26	26.81	41.67	56.33	23.74	32.17	1258.84	38772.33	-14.878	-8.047	OK	OK
194	6.45	1.37	0.73	3.85	52182	1.12	0.43	4	45883.2	8	45048.96	42.84	26.81	41.67	66.77	23.74	31.49	1242.51	38269.34	-17.670	-2.626	OK	OK
193	6.45	1.37	0.73	3.85	60980	1.12	0.43	6	68824.8	6	33786.72	37.32	26.81	41.67	57.94	23.74	32.07	1256.29	58040.38	-15.760	-10.381	OK	OK
192	6.45	1.37	0.73	3.85	67691	1.12	0.43	6	68824.8	8	45048.96	46.72	26.81	41.67	74.26	23.74	31.03	1231.59	56899.37	-19.556	-7.387	OK	OK
191	6.45	1.37	0.73	3.85	80062	1.12	0.43	6	68824.8	8	45048.96	52.33	26.81	41.67	83.30	23.74	30.44	1217.53	56250.07	-21.949	-2.645	OK	OK
190	6.45	1.37	0.73	3.85	89505	1.12	0.43	8	91766.4	6	33786.72	47.10	26.81	41.67	73.89	23.74	31.03	1211.58	57865.43	-20.176	-10.085	OK	OK
189	6.45	1.37	0.73	3.85	97655	1.12	0.43	8	91766.4	8	45048.96	57.16	26.81	41.67	87.72	23.74	30.07	1206.66	74453.42	-24.278	-6.432	OK	OK
188	6.45	1.37	0.73	3.85	111634	1.12	0.43	10	114708	6	33786.72	53.99	26.81	41.67	83.19	23.74	30.38	1216.05	59365.80	-23.378	-12.026	OK	OK
187	6.45	1.37	0.73	3.85	122685	1.12	0.43	10	114708	8	45048.96	65.36	26.81	41.67	100.58	23.74	29.22	1188.44	91510.00	-28.066	-6.951	OK	OK
186	6.45	1.37	0.73	3.85	130970	1.12	0.43	10	114708	8	45048.96	69.12	26.81	41.67	103.34	23.74	28.95	1182.20	91029.30	-29.697	-3.750	OK	OK
185	6.45	1.37	0.73	3.85	140530	1.12	0.43	10	114708	8	45048.96	73.45	26.81	41.67	112.10	23.74	28.43	1169.63	90061.66	-31.559	-0.029	OK	OK
184	6.45	1.37	0.73	3.85	147162	1.12	0.43	12	137649.6	8	45048.96	73.31	26.81	41.67	113.00	23.74	28.39	1166.90	108006.10	-31.782	-7.358	OK	OK
183	6.45	1.37	0.73	3.85	150980	1.12	0.43	12	137649.6	10	56311.2	81.28	26.81	41.67	122.08	23.74	27.71	1152.54	106494.58	-35.008	-5.292	OK	OK
182	6.45	1.37	0.73	3.85	154128	1.12	0.43	12	137649.6	8	45048.96	76.47	26.81	41.67	118.15	23.74	28.06	1160.92	107269.23	-33.150	-4.484	OK	OK
181	6.45	1.37	0.73	3.85	154468	1.12	0.43	12	137649.6	8	45048.96	76.70	26.81	41.67	121.57	23.74	27.91	1157.42	106945.46	-33.245	-4.121	OK	OK
180	6.45	1.37	0.73	3.85	158572	1.12	0.43	12	137649.6	8	45048.96	78.48	26.81	41.67	122.87	23.74	27.79	1154.47	106672.61	-34.005	-2.580	OK	OK
179	6.45	1.37	0.73	3.85	156831	1.12	0.43	12	137649.6	8	45048.96	77.69	26.81	41.67	118.83	23.74	27.98	1159.09	107100.31	-33.643	-3.432	OK	OK
178	6.45	1.37	0.73	3.85	143417	1.12	0.43	12	137649.6	6	33786.72	65.25	26.81	41.67	95.81	23.74	29.41	1193.13	110245.04	-28.458	-9.905	OK	OK
177	6.45	1.37	0.73	3.85	127075	1.12	0.43	10	114708	6	33786.72	60.98	26.81	41.67	86.60	23.74	29.96	1206.06	92866.60	-26.345	-6.130	OK	OK
176	6.45	1.37	0.73	3.85	107906	1.12	0.43	8	91766.4	4	22524.48	49.02	26.81	41.67	55.61	23.74	31.28	1237.50	76229.87	-21.160	-3.787	OK	OK
175	6.45	1.37	0.73	3.85	85609	1.12	0.43	6	68824.8	4	22524.48	42.11	26.81	41.67	55.59	23.74	32.04	1255.66	58011.70	-17.981	-1.623	OK	OK
174	6.45	1.37	0.73	3.85	60484	1.12	0.43	6	68824.8	2	11262.24	24.36	26.81	41.67	55.56	23.74	33.91						

A

momen negatif terbesar

elemen	A	y_1	y_2	I	M_1	etawatih	estas	n_bawali	F_bawali	n_atas	Fatas	Δ_{11}	Δ_{12}	Δ_{21}	CR	SH	RE	f_{sw}	f_{se}	f_{st} (Mpa)	Kontrol			
	(mm ²)	(m)	(m)	(mm ³)	kNm	m	m	kN	kN	kN	Mpa	Mpa	Mpa	Mpa	Mpa	Mpa	Mpa	Mpa	Mpa	kh	Alt	Bantah	Atlas	Bantah
214	6.45	1.37	0.73	3.85	-16579	1.12	0.43	4	45883.2	10	56311.2	18.05	26.81	41.67	25.75	23.74	34.14	1319.55	40642.23	6.989	-28.317	OK	OK	
213	6.45	1.37	0.73	3.85	-15395	1.12	0.43	4	45883.2	8	45048.96	12.22	26.81	41.67	15.77	23.74	34.78	1334.72	41109.37	-4.736	-28.142	OK	OK	
215	6.45	1.37	0.73	3.85	-20670	1.12	0.43	4	45883.2	8	45048.96	9.83	26.81	41.67	13.96	23.74	34.95	1338.76	41233.75	-3.777	-30.080	OK	OK	
212	6.45	1.37	0.73	3.85	-19016	1.12	0.43	4	45883.2	6	33786.72	4.21	26.81	41.67	2.96	23.74	35.62	1354.70	41724.82	-1.538	-29.752	OK	OK	
216	6.45	1.37	0.73	3.85	-26973	1.12	0.43	2	22941.6	6	33786.72	3.75	26.81	41.67	2.88	23.74	35.64	1355.23	20870.53	-1.239	-21.090	OK	OK	
211	6.45	1.37	0.73	3.85	-25864	1.12	0.43	4	45883.2	10	56311.2	13.85	26.81	41.67	18.45	23.74	34.60	1338.59	40982.14	-5.201	-31.795	OK	OK	
217	6.45	1.37	0.73	3.85	-35490	1.12	0.43	2	22941.6	10	56311.2	12.62	26.81	41.67	13.56	23.74	34.85	1338.46	20581.52	-4.604	-23.975	OK	OK	
210	6.45	1.37	0.73	3.85	-36112	1.12	0.43	2	22941.6	8	45048.96	5.97	26.81	41.67	7.40	23.74	35.37	1348.75	20770.77	-1.961	-24.287	OK	OK	
218	6.45	1.37	0.73	3.85	-49676	1.12	0.43	2	22941.6	10	56311.2	6.20	26.81	41.67	-1.02	23.74	35.70	1356.61	20891.86	-1.925	-29.174	OK	OK	
209	6.45	1.37	0.73	3.85	-30615	1.12	0.43	2	22941.6	6	33786.72	2.10	26.81	41.67	1.20	23.74	35.77	1358.43	20919.77	-0.525	-22.408	OK	OK	
219	6.45	1.37	0.73	3.85	-37434	1.12	0.43	2	22941.6	8	45048.96	5.37	26.81	41.67	0.36	23.74	35.68	1356.08	20883.65	-1.765	-24.818	OK	OK	
208	6.45	1.37	0.73	3.85	-28490	1.12	0.43	2	22941.6	6	33786.72	3.06	26.81	41.67	2.94	23.74	35.67	1355.83	20879.82	-0.932	-21.633	OK	OK	
220	6.45	1.37	0.73	3.85	-27406	1.12	0.43	2	22941.6	8	45048.96	9.92	26.81	41.67	9.60	23.74	35.12	1342.85	20679.93	-3.671	-21.151	OK	OK	
207	6.45	1.37	0.73	3.85	-35511	1.12	0.43	2	22941.6	8	45048.96	6.25	26.81	41.67	9.75	23.74	35.26	1346.23	20731.98	-2.084	-24.053	OK	OK	
221	6.45	1.37	0.73	3.85	-46574	1.12	0.43	2	22941.6	8	33786.72	5.13	26.81	41.67	-5.45	23.74	35.92	1361.89	20913.06	-0.106	-28.107	OK	OK	
206	6.45	1.37	0.73	3.85	-28988	1.12	0.43	2	22941.6	8	45048.96	9.20	26.81	41.67	14.12	23.74	34.97	1325.31	20409.81	-3.238	-21.563	OK	OK	
205	6.45	1.37	0.73	3.85	-26369	1.12	0.43	2	22941.6	6	33786.72	4.02	26.81	41.67	5.83	23.74	35.51	1338.24	20608.90	-1.277	-20.731	OK	OK	
204	6.45	1.37	0.73	3.85	-32042	1.12	0.43	2	22941.6	8	45048.96	7.82	26.81	41.67	10.81	23.74	35.16	1329.82	20479.24	-2.666	-22.683	OK	OK	
203	6.45	1.37	0.73	3.85	-25713	1.12	0.43	2	22941.6	8	45048.96	10.68	26.81	41.67	16.52	23.74	34.81	1321.59	20325.50	-3.867	-20.370	OK	OK	
202	6.45	1.37	0.73	3.85	-21598	1.12	0.43	2	22941.6	6	33786.72	6.18	26.81	41.67	9.26	23.74	35.28	1332.88	20526.38	-2.190	-18.995	OK	OK	
201	6.45	1.37	0.73	3.85	-28146	1.12	0.43	2	22941.6	8	45048.96	9.58	26.81	41.67	14.88	23.74	34.92	1324.22	20393.03	-3.409	-21.255	OK	OK	
200	6.45	1.37	0.73	3.85	-17857	1.12	0.43	2	22941.6	8	45048.96	14.24	26.81	41.67	21.31	23.74	34.47	1315.58	20229.15	-5.369	-17.518	OK	OK	
199	6.45	1.37	0.73	3.85	-9781	1.12	0.43	2	22941.6	6	33786.72	11.93	26.81	41.67	16.66	23.74	34.77	1320.64	20337.85	-4.462	-14.703	OK	OK	
198	6.45	1.37	0.73	3.85	-15868	1.12	0.43	2	22941.6	8	45048.96	16.19	26.81	41.67	24.24	23.74	34.28	1306.90	20157.09	-6.190	-15.957	OK	OK	
197	6.45	1.37	0.73	3.85	-1571	1.12	0.43	2	22941.6	8	45048.96	23.05	26.81	41.67	34.54	23.74	33.59	1292.44	19963.51	-9.067	-10.453	OK	OK	
196	6.45	1.37	0.73	3.85	-11006	1.12	0.43	4	45883.2	6	33786.72	17.81	26.81	41.67	15.56	23.74	34.13	1305.49	40209.08	-7.268	-18.216	OK	OK	
195	6.45	1.37	0.73	3.85	-11063	1.12	0.43	4	45883.2	8	45048.96	24.21	26.81	41.67	37.04	23.74	33.44	1286.92	39698.71	-9.757	-17.987	OK	OK	
194	6.45	1.37	0.73	3.85	-21211	1.12	0.43	4	45883.2	8	45048.96	28.76	26.81	41.67	44.25	23.74	32.96	1271.62	39350.80	-11.692	-14.231	OK	OK	
193	6.45	1.37	0.73	3.85	-28900	1.12	0.43	6	68824.8	6	33786.72	22.78	26.81	41.67	34.68	23.74	33.39	1292.55	9715.76	-9.554	-22.674	OK	OK	
192	6.45	1.37	0.73	3.85	-28450	1.12	0.43	6	68824.8	8	45048.96	28.95	26.81	41.67	45.82	23.74	32.89	1275.95	39849.78	-11.965	-22.424	OK	OK	
191	6.45	1.37	0.73	3.85	-38408	1.12	0.43	6	68824.8	8	45048.96	33.46	26.81	41.67	53.11	23.74	32.42	1264.62	38425.49	-13.891	-18.606	OK	OK	
190	6.45	1.37	0.73	3.85	-46256	1.12	0.43	8	91766.4	6	33786.72	27.51	26.81	41.67	42.54	23.74	33.08	1280.47	78877.08	-11.766	-27.072	OK	OK	
189	6.45	1.37	0.73	3.85	-45795	1.12	0.43	8	91766.4	8	45048.96	33.67	26.81	41.67	50.13	23.74	32.53	1267.28	78064.64	-14.194	-26.801	OK	OK	
188	6.45	1.37	0.73	3.85	-55892	1.12	0.43	10	114708	6	33786.72	28.73	26.81	41.67	42.79	23.74	33.02	1279.06	98467.71	-12.483	-34.454	OK	OK	
187	6.45	1.37	0.73	3.85	-63787	1.12	0.43	10	114708	8	45048.96	38.68	26.81	41.67	57.89	23.74	32.01	1255.02	96536.61	-16.554	-30.649	OK	OK	
186	6.45	1.37	0.73	3.85	-63732	1.12	0.43	10	114708	8	45048.96	38.65	26.81	41.67	54.60	23.74	32.15	1258.21	96881.87	-16.555	-30.804	OK	OK	
185	6.45	1.37	0.73	3.85	-72880	1.12	0.43	10	114708	8	45048.96	42.80	26.81	41.67	63.06	23.74	31.64	1246.11	9950.10	-18.336	-27.049	OK	OK	
184	6.45	1.37	0.73	3.85	-79737	1.12	0.43	12	137649.6	8	45048.96	42.77	26.81	41.67	64.12	23.74	31.60	1245.12	115048.71	-18.536	-35.134	OK	OK	
183	6.45	1.37	0.73	3.85	-80220	1.12	0.43	12	137649.6	10	56311.2	49.35	26.81	41.67	71.01	23.74	31.05	1232.19	113854.27	-21.165	-34.318	OK	OK	
182	6.45	1.37	0.73	3.85	-86370	1.12	0.43	12	137649.6	8	45048.96	45.77	26.81	41.67	69.04	23.74	31.28	1237.52	114346.66	-19.838	-32.396	OK	OK	
181	6.45	1.37	0.73	3.85	-90293	1.12	0.43	12	137649.6	8	45048.96	47.55	26.81	41.67	74.92	23.74	30.97	1230.17	113667.39	-20.602	-30.632	OK	OK	
180	6.45	1.37	0.73	3.85	-91304	1.12	0.43	12	137649.6	8	45048.96	48.01	26.81	41.67	74.11	23.74	30.98	1230.51	113668.82	-20.790	-30.291	OK	OK	
179	6.45	1.37	0.73	3.85	-87767	1.12	0.43	12	137649.6	8	45048.96	46.40	26.81	41.67	68.77	23.74	31.26	1237.17	114314.11	-20.074	-31.883	OK	OK	
178	6.45	1.37	0.73	3.85	-80976	1.12	0.43	12	137649.6	6	33786.72	36.96	26.81	41.67	50.55	23.74	32.38	1263.71	116767.10	-16.191	-35.628	OK	OK	
177	6.45	1.37	0.73	3.85	-68297	1.12	0.43	10	114708	6	33786.72	34.35	26.81	41.67	44.00	23.74	32.75	1272.50	7982.82	-14.857	-29.780	OK	OK	
176	6.45	1.37	0.73	3.85	52319	1.12	0.43	8	91766.4	4	22524.48	23.89	26.81	41.67	25.58	23.74	33.91	1300.22	80093.67	-10.371	-25.581	OK	OK	
175	6.45	1.37	0.73	3.85	34658	1.12	0.43	6	68824.8	4	22524.48	19.02	26.81	41.67	16.86	23.74	34.46	1313.26	60672.63	-8.124	-21.147	OK	OK	
174	6.45	1.37	0.73	3.85	15316	1.12	0.43	6	68824.8	2	11262.24	3.89	26.81	41.67	-7.57	23.74	36.06	1351.23	62426.73	-1.845	-28.956	OK	OK	

A

moment positif terbesar kabel putus 1

elemen	A	y_c	y_b	I	M _c	ebawah	atas	n bawah	Flawah	n atas	Fatas	Δ_{h1}	Δ_{h2}	Δ_{h3}	CR	SH	RE	I_w	F_{st}	I_w (Mpa)	Kontrol	
	(mm ²)	(m)	(m)	(m ³)	KNm	m	m	m	N	N	Mpa	Mpa	Mpa	Mpa	Mpa	Mpa	Mpa	KN	Atas	Bawah	Atas	Bawah
214	6.45	1.37	0.73	3.85	1947	1.12	0.43	4	45883.2	10	56311.2	26.45	26.81	41.67	39.18	23.74	33.26	1298.61	3997.21	-10.554	-21.396	OK
213	6.45	1.37	0.73	3.85	1945	1.12	0.43	4	45883.2	8	45048.96	20.08	26.81	41.67	28.34	23.74	33.95	1315.12	40550.62	-8.074	-21.664	OK
215	6.45	1.37	0.73	3.85	1344	1.12	0.43	4	45883.2	8	45048.96	19.80	26.81	41.67	29.91	23.74	33.90	1313.87	40467.29	-7.964	-21.856	OK
212	6.45	1.37	0.73	3.85	249	1.12	0.43	4	45883.2	6	33786.72	12.94	26.81	41.67	16.93	23.74	34.70	1322.92	41054.05	-5.245	-22.554	OK
216	6.45	1.37	0.73	3.85	-1541	1.12	0.43	2	22941.6	6	33786.72	15.27	26.81	41.67	21.31	23.74	34.43	1326.48	20427.79	-6.108	-11.832	OK
211	6.45	1.37	0.73	3.85	-3581	1.12	0.43	4	45883.2	10	56311.2	23.94	26.81	41.67	34.61	23.74	33.55	1305.40	40206.29	-9.489	-23.470	OK
217	6.45	1.37	0.73	3.85	-6707	1.12	0.43	2	22941.6	10	56311.2	25.66	26.81	41.67	34.42	23.74	33.48	1303.93	20080.45	-10.114	-13.497	OK
210	6.45	1.37	0.73	3.85	-12604	1.12	0.43	2	22941.6	8	45048.96	16.62	26.81	41.67	24.44	23.74	34.25	1322.18	20361.52	-6.461	-15.729	OK
218	6.45	1.37	0.73	3.85	-16301	1.12	0.43	2	22941.6	10	56311.2	21.32	26.81	41.67	23.18	23.74	34.11	1318.89	20310.86	-8.315	-17.025	OK
209	6.45	1.37	0.73	3.85	-10871	1.12	0.43	2	22941.6	6	33786.72	11.04	26.81	41.67	15.51	23.74	34.84	1336.11	20576.66	-4.305	-15.221	OK
219	6.45	1.37	0.73	3.85	-11132	1.12	0.43	2	22941.6	8	45048.96	17.29	26.81	41.67	19.43	23.74	34.43	1326.35	20425.76	-6.801	-15.243	OK
208	6.45	1.37	0.73	3.85	-10874	1.12	0.43	2	22941.6	11	33786.72	11.04	26.81	41.67	15.71	23.74	34.48	1335.92	20573.15	-4.305	-15.220	OK
220	6.45	1.37	0.73	3.85	-8161	1.12	0.43	2	22941.6	8	45048.96	18.64	26.81	41.67	23.55	23.74	34.21	1321.10	20344.89	-7.356	-14.146	OK
207	6.45	1.37	0.73	3.85	-12764	1.12	0.43	2	22941.6	8	45048.96	16.55	26.81	41.67	24.26	23.74	34.18	1320.52	20333.99	-6.439	-15.772	OK
221	6.45	1.37	0.73	3.85	7	1.12	0.43	2	22941.6	6	33786.72	15.97	26.81	41.67	11.89	23.74	34.78	1334.85	20556.74	-9.001	-11.368	OK
206	6.45	1.37	0.73	3.85	-10518	1.12	0.43	2	22941.6	8	45048.96	17.57	26.81	41.67	27.51	23.74	34.09	1304.43	20088.28	-6.774	-14.839	OK
205	6.45	1.37	0.73	3.85	-10115	1.12	0.43	2	22941.6	6	33786.72	11.38	26.81	41.67	17.62	23.74	34.74	1319.87	20325.96	-4.389	-14.815	OK
204	6.45	1.37	0.73	3.85	-9953	1.12	0.43	2	22941.6	8	45048.96	17.99	26.81	41.67	27.08	23.74	34.09	1304.43	20088.43	-6.964	-14.511	OK
203	6.45	1.37	0.73	3.85	-4822	1.12	0.43	2	22941.6	8	45048.96	20.15	26.81	41.67	31.66	23.74	33.82	1297.97	1998.80	-7.867	-12.765	OK
202	6.45	1.37	0.73	3.85	-2773	1.12	0.43	2	22941.6	6	33786.72	14.71	26.81	41.67	22.90	23.74	34.39	1311.60	2019.65	-5.794	-12.142	OK
201	6.45	1.37	0.73	3.85	-1626	1.12	0.43	2	22941.6	8	45048.96	21.60	26.81	41.67	34.10	23.74	33.66	1294.24	1993.35	-8.487	-11.601	OK
200	6.45	1.37	0.73	3.85	-4776	1.12	0.43	2	22941.6	8	45048.96	24.50	26.81	41.67	37.71	23.74	33.40	1288.00	1983.15	-9.702	-9.279	OK
199	6.45	1.37	0.73	3.85	8472	1.12	0.43	2	22941.6	6	33786.72	19.80	26.81	41.67	29.89	23.74	33.90	1300.01	20020.10	-7.946	-8.058	OK
198	6.45	1.37	0.73	3.85	11107	1.12	0.43	2	22941.6	8	45048.96	27.37	26.81	41.67	42.12	23.74	33.11	1281.01	1972.76	-10.914	-6.976	OK
197	6.45	1.37	0.73	3.85	21853	1.12	0.43	2	22941.6	8	45048.96	29.10	26.81	41.67	44.22	23.74	32.95	1277.34	1967.02	-12.963	-3.136	OK
196	6.45	1.37	0.73	3.85	30064	1.12	0.43	4	45883.2	6	33786.72	26.45	26.81	41.67	39.98	23.74	33.23	1283.95	39454.56	-10.935	-11.156	OK
195	6.45	1.37	0.73	3.85	38427	1.12	0.43	4	45883.2	8	45048.96	36.60	26.81	41.67	56.87	23.74	32.14	1257.99	38745.98	-15.023	-7.764	OK
194	6.45	1.37	0.73	3.85	53036	1.12	0.43	4	45883.2	8	45048.96	43.22	26.81	41.67	67.39	23.74	31.45	1241.55	38230.61	-17.835	-2.307	OK
193	6.45	1.37	0.73	3.85	61931	1.12	0.43	6	68824.8	6	33786.72	37.75	26.81	41.67	58.63	23.74	32.02	1255.21	57990.71	-15.944	-10.017	OK
192	6.45	1.37	0.73	3.85	67733	1.12	0.43	6	68824.8	8	45048.96	47.20	26.81	41.67	75.02	23.74	30.98	1240.41	56844.95	-19.758	-6.988	OK
191	6.45	1.37	0.73	3.85	81135	1.12	0.43	6	68824.8	8	45048.96	52.82	26.81	41.67	84.08	23.74	30.39	1216.22	56194.03	-22.157	-2.233	OK
190	6.45	1.37	0.73	3.85	90610	1.12	0.43	8	91166.4	6	33786.72	47.60	26.81	41.67	74.69	23.74	30.98	1230.33	75788.53	-20.391	-9.851	OK
189	6.45	1.37	0.73	3.85	98739	1.12	0.43	8	91166.4	8	45048.96	57.65	26.81	41.67	88.50	23.74	30.01	1207.43	74377.93	-24.489	-6.006	OK
188	6.45	1.37	0.73	3.85	11208	1.12	0.43	10	114708	6	33786.72	54.43	26.81	41.67	83.90	23.74	30.33	1214.95	9350.98	-23.569	-11.634	OK
187	6.45	1.37	0.73	3.85	123590	1.12	0.43	10	114708	8	45048.96	65.75	26.81	41.67	101.21	23.74	29.17	1287.46	91434.74	-28.235	-6.603	OK
186	6.45	1.37	0.73	3.85	131714	1.12	0.43	10	114708	8	45048.96	69.45	26.81	41.67	103.87	23.74	28.92	1291.36	90045.54	-29.842	-3.451	OK
185	6.45	1.37	0.73	3.85	149098	1.12	0.43	10	114708	8	45048.96	73.62	26.81	41.67	112.37	23.74	28.41	1299.78	90038.78	-31.633	-2.533	OK
184	6.45	1.37	0.73	3.85	149174	1.12	0.43	12	137649.6	8	45048.96	73.32	26.81	41.67	115.01	23.74	28.39	1168.88	108004.90	-31.784	-7.353	OK
183	6.45	1.37	0.73	3.85	156135	1.12	0.43	12	137649.6	10	36311.2	81.11	26.81	41.67	121.82	23.74	27.72	1152.95	10632.71	-34.338	-5.442	OK
182	6.45	1.37	0.73	3.85	15927	1.12	0.43	12	137649.6	8	45048.96	75.93	26.81	41.67	117.28	23.74	28.12	1162.28	10704.68	-32.914	-4.978	OK
181	6.45	1.37	0.73	3.85	15927	1.12	0.43	12	137649.6	8	45048.96	75.93	26.81	41.67	120.32	23.74	27.99	1159.36	10172.23	-32.908	-4.830	OK
180	6.45	1.37	0.73	3.85	156905	1.12	0.43	12	137649.6	8	45048.96	77.73	26.81	41.67	121.66	23.74	27.87	1156.35	10864.74	-33.678	-3.267	OK
179	6.45	1.37	0.73	3.85	151754	1.12	0.43	12	137649.6	8	45048.96	75.39	26.81	41.67	115.15	23.74	28.22	1164.83	107630.56	-32.645	-5.524	OK
178	6.45	1.37	0.73	3.85	139297	1.12	0.43	12	137649.6	6	33786.72	63.38	26.81	41.67	92.83	23.74	29.61	1197.78	11067.51	-27.649	-11.603	OK
177	6.45	1.37	0.73	3.85	123913	1.12	0.43	10	114708	6	33786.72	59.55	26.81	41.67	84.31	23.74	30.11	1209.33	93141.86	-25.727	-7.402	OK
176	6.45	1.37	0.73	3.85	105601	1.12	0.43	8	91766.4	4	22524.48	48.02	26.81	41.67	24.21	23.74	31.38	1239.99	76383.43	-20.731	-4.653	OK
175	6.45	1.37	0.73	3.85	84361	1.12	0.43	6	68824.8	4	22524.48	41.54	26.81	41.67	34.61	23.74	30.31	1242.24	21262.24	-10.526	-11.759	OK
174	6.45	1.37	0.73	3.85	60193	1.12	0.43	6	68824.8	2	11262.24	24.22	26.81	41.67	24.96	23.74	33.92	1300.50	60087.96	-10.526	-11.759	OK

A

elemen	A (mm ²)	Y _b		Y _a		I _x (mm ⁴)	M _x atas/bawah	estas	n bawah	Bawah	n atas	Fatasi	Δ ₃₁	Δ ₃₁	Δ ₃₂	CR	SH	RE	f _{st}	F _{st}	f _{cu} (Mpa)	Kontrol
		(mm)	(mm)	(mm)	(mm)																	
214	6.45	1.37	0.73	3.85	-16775	1.12	0.43	4	45883.2	10	56311.2	17.96	26.81	41.67	25.60	23.74	34.15	1319.77	40649.05	-6.951	-28.390	OK
213	6.45	1.37	0.73	3.85	-15624	1.12	0.43	4	45883.2	8	45048.96	12.12	26.81	41.67	15.61	23.74	34.79	1334.98	41117.34	-4.692	-28.228	OK
215	6.45	1.37	0.73	3.85	-20849	1.12	0.43	4	45883.2	8	45048.96	9.75	26.81	41.67	13.83	23.74	34.96	1338.96	41240.00	-3.693	-30.147	OK
212	6.45	1.37	0.73	3.85	-19262	1.12	0.43	4	45883.2	6	33786.72	4.10	26.81	41.67	2.78	23.74	35.63	1354.98	41733.36	-1.490	-29.844	OK
216	6.45	1.37	0.73	3.85	-27136	1.12	0.43	2	22941.6	6	33786.72	3.67	26.81	41.67	2.76	23.74	35.65	1355.41	20873.37	-1.208	-21.149	OK
211	6.45	1.37	0.73	3.85	-26126	1.12	0.43	4	45883.2	10	56311.2	13.73	26.81	41.67	18.26	23.74	34.62	1338.88	40991.23	-5.151	-31.893	OK
217	6.45	1.37	0.73	3.85	-35636	1.12	0.43	2	22941.6	10	56311.2	12.56	26.81	41.67	13.45	23.74	34.86	1338.63	20584.07	-4.576	-24.028	OK
210	6.45	1.37	0.73	3.85	-36384	1.12	0.43	2	22941.6	8	45048.96	5.85	26.81	41.67	7.20	23.74	35.38	1349.06	20775.51	-1.908	-24.386	OK
218	6.45	1.37	0.73	3.85	-49820	1.12	0.43	2	22941.6	10	56311.2	6.13	26.81	41.67	-1.12	23.74	35.70	1356.78	20894.37	-1.899	-29.226	OK
209	6.45	1.37	0.73	3.85	-30886	1.12	0.43	2	22941.6	6	33786.72	1.97	26.81	41.67	1.00	23.74	35.79	1358.73	20994.48	-0.473	-22.506	OK
219	6.45	1.37	0.73	3.85	-37566	1.12	0.43	2	22941.6	8	45048.96	5.31	26.81	41.67	0.27	23.74	35.68	1356.23	20885.94	-1.740	-24.866	OK
208	6.45	1.37	0.73	3.85	-28747	1.12	0.43	2	22941.6	6	33786.72	2.94	26.81	41.67	2.75	23.74	35.68	1356.12	20884.29	-0.883	-21.726	OK
220	6.45	1.37	0.73	3.85	-27525	1.12	0.43	2	22941.6	8	45048.96	9.86	26.81	41.67	9.52	23.74	35.13	1342.99	20682.00	-3.649	-21.195	OK
207	6.45	1.37	0.73	3.85	-35799	1.12	0.43	2	22941.6	8	45048.96	6.11	26.81	41.67	9.54	23.74	35.28	1346.56	20736.99	-2.028	-24.157	OK
221	6.45	1.37	0.73	3.85	-46861	1.12	0.43	2	22941.6	8	33786.72	5.26	26.81	41.67	-5.24	23.74	35.91	1361.56	20968.06	-0.052	-28.206	OK
206	6.45	1.37	0.73	3.85	-29234	1.12	0.43	2	22941.6	8	45048.96	9.09	26.81	41.67	13.95	23.74	34.98	1325.59	20414.08	-3.191	-21.652	OK
205	6.45	1.37	0.73	3.85	-26582	1.12	0.43	2	22941.6	6	33786.72	3.92	26.81	41.67	5.68	23.74	35.52	1338.48	20612.61	-1.236	-20.809	OK
204	6.45	1.37	0.73	3.85	-32249	1.12	0.43	2	22941.6	8	45048.96	7.77	26.81	41.67	10.66	23.74	35.17	1330.06	20428.85	-2.626	-22.759	OK
203	6.45	1.37	0.73	3.85	-25853	1.12	0.43	2	22941.6	8	45048.96	10.62	26.81	41.67	12.42	23.74	34.82	1321.75	2034.90	-3.840	-20.421	OK
202	6.45	1.37	0.73	3.85	-21667	1.12	0.43	2	22941.6	6	33786.72	6.15	26.81	41.67	9.21	23.74	35.29	1332.96	20527.58	-2.177	-19.020	OK
201	6.45	1.37	0.73	3.85	-28173	1.12	0.43	2	22941.6	8	45048.96	9.57	26.81	41.67	14.86	23.74	34.92	1324.25	20393.50	-3.404	-21.365	OK
200	6.45	1.37	0.73	3.85	-17780	1.12	0.43	2	22941.6	8	45048.96	14.28	26.81	41.67	21.36	23.74	34.47	1313.49	20277.82	-5.383	-17.490	OK
199	6.45	1.37	0.73	3.85	-6901	1.12	0.43	2	22941.6	6	33786.72	11.62	26.81	41.67	16.79	23.74	34.76	1320.44	20324.71	-4.495	-14.637	OK
198	6.45	1.37	0.73	3.85	-13291	1.12	0.43	2	22941.6	8	45048.96	15.31	26.81	41.67	24.44	23.74	34.26	1308.59	20152.32	-6.243	-15.857	OK
197	6.45	1.37	0.73	3.85	-1938	1.12	0.43	2	22941.6	8	45048.96	22.21	26.81	41.67	34.80	23.74	33.57	1292.02	19891.12	-9.158	-10.319	OK
196	6.45	1.37	0.73	3.85	-11453	1.12	0.43	4	45883.2	6	33786.72	18.02	26.81	41.67	26.49	23.74	34.11	1304.98	40193.52	-7.354	-18.109	OK
195	6.45	1.37	0.73	3.85	-11442	1.12	0.43	4	45883.2	8	45048.96	24.38	26.81	41.67	37.31	23.74	33.42	1288.49	39865.53	-9.830	-17.646	OK
194	6.45	1.37	0.73	3.85	-21596	1.12	0.43	4	45883.2	8	45048.96	28.98	26.81	41.67	44.06	23.74	32.94	1277.09	39334.27	-1.174	-14.653	OK
193	6.45	1.37	0.73	3.85	-29460	1.12	0.43	6	68824.8	8	33786.72	23.04	26.81	41.67	35.09	23.74	33.56	1291.92	59686.50	-9.662	-22.459	OK
192	6.45	1.37	0.73	3.85	-29054	1.12	0.43	6	68824.8	8	45048.96	29.22	26.81	41.67	46.26	23.74	32.86	1275.26	58917.23	-12.062	-22.192	OK
191	6.45	1.37	0.73	3.85	-39077	1.12	0.43	6	68824.8	8	45048.96	33.76	26.81	41.67	55.56	23.74	32.38	1263.86	58901.56	-14.020	-18.350	OK
190	6.45	1.37	0.73	3.85	-46958	1.12	0.43	8	91766.4	6	33786.72	27.83	26.81	41.67	43.05	23.74	33.05	1279.68	78828.15	-11.903	-26.795	OK
189	6.45	1.37	0.73	3.85	-46518	1.12	0.43	8	91766.4	8	45048.96	33.99	26.81	41.67	50.65	23.74	32.49	1266.47	78014.32	-14.334	-26.517	OK
188	6.45	1.37	0.73	3.85	-56608	1.12	0.43	10	114708	6	33786.72	29.06	26.81	41.67	43.30	23.74	32.99	1278.25	98425.36	-12.623	-34.166	OK
187	6.45	1.37	0.73	3.85	-64490	1.12	0.43	10	114708	8	45048.96	39.00	26.81	41.67	55.56	23.74	31.98	1254.23	96575.41	-16.692	-30.367	OK
186	6.45	1.37	0.73	3.85	-64476	1.12	0.43	10	114708	8	45048.96	38.99	26.81	41.67	55.14	23.74	32.11	1257.37	96817.11	-16.700	-30.505	OK
185	6.45	1.37	0.73	3.85	-73539	1.12	0.43	10	114708	8	45048.96	43.10	26.81	41.67	63.54	23.74	31.61	1245.36	95927.79	-18.465	-26.784	OK
184	6.45	1.37	0.73	3.85	-80301	1.12	0.43	12	137494.6	8	45048.96	43.02	26.81	41.67	64.53	23.74	31.57	1244.48	11498.83	-18.64	-34.901	OK
183	6.45	1.37	0.73	3.85	-80819	1.12	0.43	12	137494.6	10	56311.2	49.63	26.81	41.67	71.44	23.74	31.03	1231.51	11379.61	-21.283	-34.071	OK
182	6.45	1.37	0.73	3.85	-86702	1.12	0.43	12	137494.6	8	45048.96	45.92	26.81	41.67	55.56	23.74	31.26	1237.14	11431.93	-19.904	-32.260	OK
181	6.45	1.37	0.73	3.85	-90348	1.12	0.43	12	137494.6	8	45048.96	47.57	26.81	41.67	74.96	23.74	30.97	1230.10	11361.66	-20.612	-30.609	OK
180	6.45	1.37	0.73	3.85	-90766	1.12	0.43	12	137494.6	8	45048.96	47.76	26.81	41.67	73.72	23.74	31.01	1231.11	11375.48	-20.684	-30.512	OK
179	6.45	1.37	0.73	3.85	-88890	1.12	0.43	12	137494.6	8	45048.96	46.01	26.81	41.67	68.13	23.74	31.30	1238.16	114045.71	-19.902	-32.244	OK
178	6.45	1.37	0.73	3.85	-79882	1.12	0.43	12	137494.6	6	33786.72	36.46	26.81	41.67	49.76	23.74	32.43	1264.95	116881.27	-15.976	-35.979	OK
177	6.45	1.37	0.73	3.85	-66408	1.12	0.43	10	114708	6	33786.72	33.50	26.81	41.67	42.63	23.74	32.84	1274.64	98147.26	-14.487	-30.540	OK
176	6.45	1.37	0.73	3.85	51250	1.12	0.43	8	91766.4	4	22524.48	23.40	26.81	41.55	24.81	23.74	33.96	1301.43	80168.06	-10.163	-26.000	OK
175	6.45	1.37	0.73	3.85	34411	1.12	0.43	6	68824.8	4	22524.48	18.91	26.81	41.55	25.56	23.74	34.47	1313.54	60685.54	-8.076	-21.242	OK
174	6.45	1.37	0.73	3.85	15889	1.12	0.43	6	68824.8	2	11622.4	4.15	26.81	41.55	-7.16	23.74	36.03	1350.88	62396.78	-1.955	-28.736	OK

B

momen positif terbesar							
Elemen	Mu	ØMn	Kontrol	M _{cl}	Kontrol	1,2 Mcr	Kontrol
	kNm	kNm	ØMn> Mu	kNm	Mcr>Mu	kNm	ØMn>1,2Mcr
214	949	156044.32	OK	93109.04	OK	111730.8519	OK
213	947	156727.31	OK	93487.66	OK	112185.1899	OK
215	504	156748.84	OK	93499.59	OK	112199.51	OK
212	-653	137965.91	OK	71544.32	OK	85853.18878	OK
216	-2141	98219.21	OK	71688.45	OK	86026.13556	OK
211	-4100	171923.85	OK	111532.77	OK	133839.3271	OK
217	-7065	134598.03	OK	112044.89	OK	134453.865	OK
210	-12557	115989.31	OK	91631.46	OK	109957.758	OK
218	-16187	134998.64	OK	112375.68	OK	134850.8124	OK
209	-10807	98200.06	OK	71544.32	OK	85853.18878	OK
219	-11028	116419.09	OK	92139.63	OK	110567.5567	OK
208	-10810	98200.09	OK	71544.32	OK	85853.18878	OK
220	-8069	116274.05	OK	92017.96	OK	110421.5475	OK
207	-12631	116036.00	OK	91683.21	OK	110019.8546	OK
221	7	117081.36	OK	92846.06	OK	111415.2729	OK
206	-10444	114856.74	OK	90820.84	OK	108985.0082	OK
205	-10105	97249.48	OK	70936.36	OK	85123.62644	OK
204	-9639	114939.23	OK	90925.58	OK	109110.6989	OK
203	-4918	114797.60	OK	90833.19	OK	108999.832	OK
202	-2884	97157.01	OK	70936.36	OK	85123.62644	OK
201	-1750	114817.45	OK	90901.01	OK	109081.2153	OK
200	4629	78931.51	OK	51272.10	OK	61526.5258	OK
199	8295	79194.80	OK	51412.01	OK	61694.41137	OK
198	10893	78772.76	OK	51187.76	OK	61425.30899	OK
197	21333	78508.11	OK	51047.16	OK	61256.59674	OK
196	29423	154536.39	OK	92273.65	OK	110728.3827	OK
195	37670	153451.37	OK	91673.00	OK	110007.5989	OK
194	52182	152745.03	OK	91282.17	OK	109538.6099	OK
193	60980	225382.73	OK	132331.56	OK	158797.8773	OK
192	67691	223929.57	OK	131492.62	OK	157791.1481	OK
191	80062	223063.30	OK	130992.87	OK	157191.4392	OK
190	89505	292416.91	OK	171889.41	OK	206267.2931	OK
189	97655	290432.72	OK	170693.34	OK	204832.0106	OK
188	111634	356302.56	OK	211296.30	OK	253555.5638	OK
187	122685	353621.35	OK	209605.88	OK	251527.0536	OK
186	130970	352735.34	OK	209048.01	OK	250857.6103	OK
185	140530	351712.37	OK	208404.36	OK	250085.2302	OK
184	147162	413323.37	OK	248075.47	OK	297690.5658	OK
183	150680	411168.74	OK	246655.60	OK	295986.718	OK
182	154128	412469.82	OK	247512.70	OK	297015.2362	OK
181	154648	412406.07	OK	247470.68	OK	296964.8163	OK
180	158572	411924.95	OK	247153.65	OK	296584.3837	OK
179	156831	412138.42	OK	247294.30	OK	296753.1611	OK
178	143417	415502.11	OK	249513.74	OK	299416.4919	OK
177	127075	354654.18	OK	210256.65	OK	252307.9835	OK
176	107806	292037.86	OK	171660.80	OK	205992.9569	OK
175	85609	224643.05	OK	131904.44	OK	158285.3247	OK
174	60484	227382.36	OK	133487.23	OK	160184.6717	OK

B

momen negatif terbesar							
Elemen	Mu	ØMn	Kontrol	M _{cr}	Kontrol	1,2 Mcr	Kontrol
	kNm	kNm	ØMn>Mu	kNm	Mcr>Mu	kNm	ØMn>1,2Mcr
214	-16579	172237.14	OK	111532.77	OK	133839.3271	OK
213	-15395	155538.03	OK	91631.46	OK	109957.758	OK
215	-20670	155688.28	OK	91650.58	OK	109980.6997	OK
212	-19016	138436.08	OK	71544.32	OK	85853.18878	OK
216	-26973	98537.09	OK	71688.45	OK	86026.13556	OK
211	-25864	172470.22	OK	111532.77	OK	133839.3271	OK
217	-35490	134954.73	OK	112044.89	OK	134453.865	OK
210	-36112	116287.89	OK	91631.46	OK	109957.758	OK
218	-49676	135418.82	OK	112375.68	OK	134850.8124	OK
209	-30615	98453.64	OK	71544.32	OK	85853.18878	OK
219	-37434	116753.74	OK	92139.63	OK	110567.5567	OK
208	-28490	98426.44	OK	71544.32	OK	85853.18878	OK
220	-27406	116519.14	OK	92017.96	OK	110421.5475	OK
207	-35511	116326.02	OK	91683.21	OK	110019.8546	OK
221	-46574	117384.33	OK	92846.06	OK	111415.2729	OK
206	-28988	115091.91	OK	90820.84	OK	108985.0082	OK
205	-26369	97457.76	OK	70936.36	OK	85123.62644	OK
204	-32042	115223.32	OK	90925.58	OK	109110.6989	OK
203	-25713	115061.32	OK	90833.19	OK	108999.832	OK
202	-21598	97396.67	OK	70936.36	OK	85123.62644	OK
201	-28146	115152.18	OK	90901.01	OK	109081.2153	OK
200	-17857	114950.75	OK	90820.84	OK	108985.0082	OK
199	-9781	97245.33	OK	70936.36	OK	85123.62644	OK
198	-13565	114896.32	OK	90820.84	OK	108985.0082	OK
197	1571	79009.00	OK	51313.28	OK	61575.93577	OK
196	11006	155431.86	OK	92769.65	OK	111323.586	OK
195	11063	154745.72	OK	92389.58	OK	110867.4915	OK
194	21121	154256.56	OK	92118.71	OK	110542.4496	OK
193	28900	227624.90	OK	133627.50	OK	160353.0025	OK
192	28450	226674.35	OK	133077.88	OK	159693.4541	OK
191	38408	225978.26	OK	132675.60	OK	159210.7157	OK
190	46256	296273.85	OK	174218.98	OK	209062.7748	OK
189	45795	295062.54	OK	173486.69	OK	208184.0336	OK
188	55892	362236.34	OK	215049.35	OK	258059.215	OK
187	63787	359902.73	OK	213571.39	OK	256285.6662	OK
186	63732	359908.56	OK	213575.08	OK	256290.0929	OK
185	72880	358934.88	OK	212959.17	OK	255551.0052	OK
184	79737	421555.24	OK	253523.07	OK	304227.6811	OK
183	80220	419784.96	OK	252348.46	OK	302818.1506	OK
182	86370	420747.97	OK	252987.22	OK	303584.6605	OK
181	90293	420270.14	OK	252670.22	OK	303204.2609	OK
180	91304	420147.03	OK	252588.56	OK	303106.2705	OK
179	87767	420577.80	OK	252874.31	OK	303449.1703	OK
178	80976	423113.92	OK	254558.68	OK	305470.4141	OK
177	68297	360918.11	OK	214214.15	OK	257056.9766	OK
176	52319	296985.57	OK	174649.52	OK	209579.4216	OK
175	34658	228204.37	OK	133962.72	OK	160755.258	OK
174	15316	230534.57	OK	135311.94	OK	162374.3224	OK

B

momen positif terbesar kabel putus 1							
Elemen	M _u	ØM _n	Kontrol	M _{cr}	Kontrol	1,2 M _{cr}	Kontrol
	kNm	kNm	ØM _{n>Mu}	kNm	M _{cr>Mu}	kNm	ØM _{n>1,2M_{cr}}
214	1947	171772.06	OK	111532.77	OK	133839.3271	OK
213	1945	155098.40	OK	91631.46	OK	109957.758	OK
215	1344	155130.17	OK	91650.58	OK	109980.6997	OK
212	249	137942.80	OK	71544.32	OK	85853.18878	OK
216	-1541	98211.53	OK	71688.45	OK	86026.13556	OK
211	-3581	171910.83	OK	111532.77	OK	133839.3271	OK
217	-6707	134593.54	OK	112044.89	OK	134453.865	OK
210	-12604	115989.89	OK	91631.46	OK	109957.758	OK
218	-16301	135000.08	OK	112375.68	OK	134850.8124	OK
209	-10871	98200.88	OK	71544.32	OK	85853.18878	OK
219	-11132	116420.40	OK	92139.63	OK	110567.5567	OK
208	-10874	98200.92	OK	71544.32	OK	85853.18878	OK
220	-8161	116275.22	OK	92017.96	OK	110421.5475	OK
207	-12764	116037.68	OK	91683.21	OK	110019.8546	OK
221	7	117081.36	OK	92846.06	OK	111415.2729	OK
206	-10518	114857.69	OK	90820.84	OK	108985.0082	OK
205	-10115	97249.62	OK	70936.36	OK	85123.62644	OK
204	-9593	114938.65	OK	90925.58	OK	109110.6989	OK
203	-4822	114796.38	OK	90833.19	OK	108999.832	OK
202	-2773	97155.59	OK	70936.36	OK	85123.62644	OK
201	-1626	114815.88	OK	90901.01	OK	109081.2153	OK
200	4776	78927.78	OK	51270.12	OK	61524.14477	OK
199	8472	79190.32	OK	51409.63	OK	61691.55494	OK
198	11107	78767.33	OK	51184.87	OK	61421.84919	OK
197	21853	78670.53	OK	51133.44	OK	61360.13362	OK
196	30064	154505.25	OK	92256.41	OK	110707.6934	OK
195	38427	153414.55	OK	91652.62	OK	109983.1464	OK
194	53036	152703.46	OK	91259.18	OK	109511.0155	OK
193	61931	225316.21	OK	132293.14	OK	158751.7728	OK
192	68733	223856.63	OK	131450.53	OK	157740.6404	OK
191	81135	222988.13	OK	130949.52	OK	157139.4196	OK
190	90610	292318.30	OK	171829.93	OK	206195.9175	OK
189	98739	290335.79	OK	170634.95	OK	204761.9413	OK
188	112608	356198.59	OK	211230.69	OK	253476.8291	OK
187	123550	353528.89	OK	209547.64	OK	251457.1716	OK
186	131714	352655.74	OK	208997.91	OK	250797.4948	OK
185	140908	351671.93	OK	208378.92	OK	250054.7091	OK
184	147174	413321.97	OK	248074.54	OK	297689.4537	OK
183	150315	411213.53	OK	246685.09	OK	296022.111	OK
182	152927	412617.04	OK	247609.73	OK	297131.6817	OK
181	152927	412617.04	OK	247609.73	OK	297131.6817	OK
180	156905	412129.38	OK	247288.34	OK	296746.0127	OK
179	151754	412760.72	OK	247704.46	OK	297245.3476	OK
178	139297	416005.74	OK	249846.57	OK	299815.8838	OK
177	123913	354991.93	OK	210469.57	OK	252563.4829	OK
176	105601	292234.82	OK	171779.58	OK	206135.4946	OK
175	84361	224730.39	OK	131954.86	OK	158345.8312	OK
174	60193	227402.69	OK	133498.98	OK	160198.7814	OK

B

momen negatif terbesar kabel putus 1							
Elemen	Mu	ØMn	Kontrol	Mcr	Kontrol	1,2 Mcr	Kontrol
	kNm	kNm	ØMn>Mu	kNm	Mcr>Mu	kNm	ØMn>1,2Mcr
214	-16775	172242.05	OK	111532.77	OK	133839.3271	OK
213	-15624	155543.83	OK	91631.46	OK	109957.758	OK
215	-20849	155692.83	OK	91650.58	OK	109980.6997	OK
212	-19262	138442.37	OK	71544.32	OK	85853.18878	OK
216	-27136	98539.18	OK	71688.45	OK	86026.13556	OK
211	-26126	172476.78	OK	111532.77	OK	133839.3271	OK
217	-35636	134956.56	OK	112044.89	OK	134453.865	OK
210	-36384	116291.35	OK	91631.46	OK	109957.758	OK
218	-49820	135420.62	OK	112375.68	OK	134850.8124	OK
209	-30886	98457.10	OK	71544.32	OK	85853.18878	OK
219	-37566	116755.40	OK	92139.63	OK	110567.5567	OK
208	-28747	98429.73	OK	71544.32	OK	85853.18878	OK
220	-27525	116520.64	OK	92017.96	OK	110421.5475	OK
207	-35799	116329.68	OK	91683.21	OK	110019.8546	OK
221	-46861	117380.69	OK	92846.06	OK	111415.2729	OK
206	-29234	115095.03	OK	90820.84	OK	108985.0082	OK
205	-26582	97460.48	OK	70936.36	OK	85123.62644	OK
204	-32249	115225.95	OK	90925.58	OK	109110.6989	OK
203	-25852	115063.07	OK	90833.19	OK	108999.832	OK
202	-21667	97397.55	OK	70936.36	OK	85123.62644	OK
201	-28173	115152.52	OK	90901.01	OK	109081.2153	OK
200	-17780	114949.78	OK	90820.84	OK	108985.0082	OK
199	-9601	97243.03	OK	70936.36	OK	85123.62644	OK
198	-13291	114892.85	OK	90820.84	OK	108985.0082	OK
197	1938	78999.70	OK	51308.34	OK	61570.00268	OK
196	11453	155410.14	OK	92757.62	OK	111309.1428	OK
195	11442	154727.29	OK	92379.37	OK	110855.2485	OK
194	21596	154233.46	OK	92105.92	OK	110527.1018	OK
193	29460	227585.77	OK	133604.87	OK	160325.8394	OK
192	29054	226632.14	OK	130353.48	OK	159664.1779	OK
191	39077	225931.50	OK	132648.58	OK	159178.2914	OK
190	46958	296211.28	OK	174181.14	OK	209017.3635	OK
189	46518	294998.12	OK	173447.77	OK	208137.3232	OK
188	56608	362160.26	OK	215001.12	OK	258001.344	OK
187	64490	359827.92	OK	213524.05	OK	256228.8584	OK
186	64476	359829.40	OK	213524.99	OK	256229.9831	OK
185	73539	358864.78	OK	212914.85	OK	255497.8155	OK
184	80301	421486.65	OK	253477.52	OK	304173.0263	OK
183	80819	419711.86	OK	252299.99	OK	302759.9918	OK
182	86702	420707.49	OK	252960.36	OK	303552.4282	OK
181	90348	420263.47	OK	252665.79	OK	303198.9459	OK
180	90766	420212.51	OK	252631.99	OK	303158.392	OK
179	86890	420684.58	OK	252945.16	OK	303534.1892	OK
178	79882	423246.75	OK	254647.00	OK	305576.3945	OK
177	66408	361118.95	OK	214341.34	OK	257209.6103	OK
176	51250	297080.66	OK	174707.06	OK	209648.4683	OK
175	34411	228221.63	OK	133972.71	OK	160767.2478	OK
174	15889	230494.58	OK	135288.76	OK	162346.517	OK

C

Tulangan daerah pengangkuran pada gelagar

Kabel	Angkur (strand)	Kebutuhan tulangan pencar			Kebutuhan tulangan pecah		
		n perlu	s perlu	tul pakai	As perlu	n perlu	tul pakai
m12	61	6.48	69.47	7D12-60	334.61	2.96	3D12
m11	85	6.43	69.97	7D12-60	486.72	4.31	5D12
m10	127	2.20	204.58	3D12-200	650.76	5.76	6D12
m9	91	5.30	84.84	6D12-80	507.69	4.49	5D12
m8	73	6.05	74.33	7D12-70	394.03	3.49	4D12
m7	61	6.36	70.74	7D12-70	328.60	2.91	3D12
m6	61	6.64	67.73	7D12-60	343.20	3.04	4D12
m5	73	5.96	75.48	6D12-70	388.04	3.43	4D12
m4	73	5.73	78.58	6D12-70	372.75	3.30	4D12
m3	61	6.39	70.45	7D12-70	329.97	2.92	3D12
m2	55	6.83	65.90	7D12-60	317.47	2.81	3D12
m1	61	6.28	71.71	7D12-70	324.18	2.87	3D12
s1	55	5.83	77.17	6D12-70	271.12	2.40	3D12
s2	127	2.00	224.98	2D12-200	591.77	5.24	6D12

Tulangan daerah pengangkuran pada blok angkur

Kabel	Angkur (strand)	Kebutuhan tulangan pencar			Kebutuhan tulangan pecah		
		n perlu	s perlu	tul pakai	As perlu	n perlu	tul pakai
s3	127	1.73	260.74	2D12-250	510.59	4.52	5D12
s4	127	2.07	217.61	3D12-200	611.81	5.41	6D12
s5	127	2.37	190.05	3D12-150	700.52	6.20	7D12

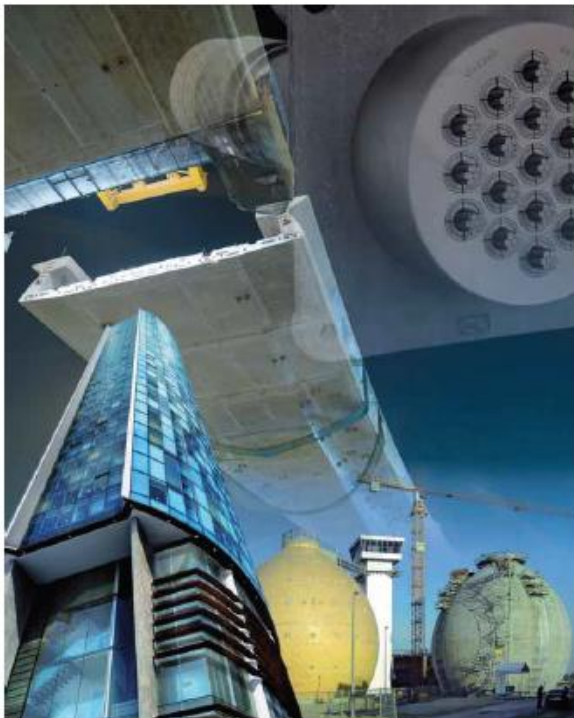
C

Tulangan daerah pengangkuran pada *pylon*

Kabel	Angkur (strand)	Kebutuhan tulangan pencar			Kebutuhan tulangan pecah		
		n perlu	s perlu	tul pakai	As perlu	n perlu	tul pakai
m12	61	6.17	72.95	7D12-70	334.61	2.96	3D12
m11	85	5.68	79.18	6D12-70	486.72	4.31	5D12
m10	127	1.40	321.49	2D12-300	650.76	5.76	6D12
m9	91	4.37	103.02	5D12-100	507.69	4.49	5D12
m8	73	5.33	84.47	6D12-80	394.03	3.49	4D12
m7	61	6.06	74.28	7D12-70	328.60	2.91	3D12
m6	61	6.33	71.12	7D12-70	343.20	3.04	4D12
m5	73	5.25	85.77	6D12-80	388.04	3.43	4D12
m4	73	5.04	89.29	6D12-80	372.75	3.30	4D12
m3	61	6.08	73.97	7D12-70	329.97	2.92	3D12
m2	55	6.15	73.22	7D12-70	317.47	2.81	3D12
m1	61	5.98	75.29	6D12-70	324.18	2.87	3D12
s1	55	5.25	85.74	6D12-80	271.12	2.40	3D12
s2	127	1.27	353.54	2D12-350	591.77	5.24	6D12
s3	127	1.10	409.74	2D12-350	510.59	4.52	5D12
s4	127	1.32	341.96	2D12-300	611.81	5.41	6D12
s5	127	1.51	298.65	2D12-250	700.52	6.20	7D12

D

VSL POST-TENSIONING SOLUTIONS



CONCEPTUAL DESIGN
ENGINEERING SOLUTIONS
CONSTRUCTION PARTNER
FOR BRIDGES, BUILDINGS
CONTAINMENT
STRUCTURES, SLAB ON
GRADE, SPECIAL
STRUCTURES, REPAIR
AND STRENGTHENING

D



1.3 - STRAND PROPERTIES 15mm (0.6")

Strand type	pEN 10138 – 3 (NED) Y 986057				ASTM A 416-06 Grade 270			
Nominal diameter d (mm)		15.3	15.7			15.24		
Nominal cross section A _p (mm ²)		140	150			140		
Nominal mass M (kg/m)		1.033	1.172			1.102		
Nominal yield strength f _{yk,23} (MPa)		165 ^a	164 ^b			165 ^c		
Nominal tensile strength f _{uk} (MPa)		1860	1860			1860		
Specif./min. breaking load F _{pk} (kN)		260	279			260.7		
Young's modulus E (GPa)						260.7		
Reduction after 1000 h at 20°C & 0.1% x F _{pk} (%)					approx. 395			
Reduction after 1000 h at 20°C & 0.2% x F _{pk} (%)					max. 2.5			

^aCharacteristic value measured at 1% pre-strain rate

^bMeasured test of 1% strain rate at 23°C

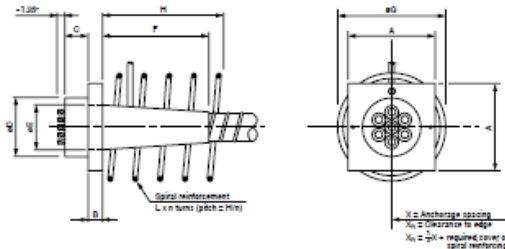
^cValue in accordance with pEN 10138-3 at 23°C, strain rate 10%/s

1.4 - TENDON PROPERTIES 15mm (0.6")

Unit	Strands numbers	Steel area				Breaking load		Corrugated duct duct ^d (recommendation)	Corrugated plastic duct YSL P1-P100 ^e	Steel pipe			
		Ap=acc. to pEN		ASTM		Y108857 (pEN)							
		Ap=15.2 mm ^f	Ap=15.7 mm ^f	A _p =15.24 mm ^g	A _p =15.74 mm ^g	Ap=15.2 mm ^h	Ap=15.7 mm ^h						
		[mm ²]	[mm ²]	[mm ²]	[mm ²]	[mm ²]	[mm ²]	[mm ²]	[mm ²]	[mm ²]			
E-1	1	140	150	140	150	150	150	5	2205	4			
E-2	2	150	160	150	160	150	160	6	2205	-			
E-3	3	160	170	160	170	160	170	6	2205	-			
E-4	4	160	170	160	170	160	170	7	2205	-			
E-5	5	170	180	170	180	170	180	8	2205	-			
E-6	6	170	180	170	180	170	180	8	2205	-			
E-7	7	180	190	180	190	180	190	7	2205	-			
E-8	8	190	200	190	200	190	200	9	2205	-			
E-9	9	190	200	190	200	190	200	9	2205	-			
E-10	10	190	200	190	200	190	200	10	2205	-			
E-11	11	190	200	190	200	190	200	10	2205	-			
E-12	12	190	200	190	200	190	200	11	2205	-			
E-13	13	190	200	190	200	190	200	11	2205	-			
E-14	14	190	200	190	200	190	200	12	2205	-			
E-15	15	210	220	210	220	210	220	13	2205	-			
E-16	16	210	220	210	220	210	220	13	2205	-			
E-17	17	210	220	210	220	210	220	13	2205	-			
E-18	18	210	220	210	220	210	220	13	2205	-			
E-19	19	210	220	210	220	210	220	13	2205	-			
E-20	20	210	220	210	220	210	220	13	2205	-			
E-21	21	210	220	210	220	210	220	13	2205	-			
E-22	22	220	230	220	230	220	230	15	30916	-			
E-23	23	220	230	220	230	220	230	14	31912	22			
E-24	24	230	240	230	240	230	240	15	31912	22			
E-25	25	230	240	230	240	230	240	15	31912	22			
E-26	26	2640	2860	1640	1760	2724	2728	17	319117	22			
E-27	27	2700	2810	1700	1810	2700	2810	17	319117	20			
E-28	28	2800	2920	1800	1920	2800	2920	17	319117	20			
E-29	29	2800	2920	1800	1920	2800	2920	17	319117	20			
E-30	30	2800	2920	1800	1920	2800	2920	17	319117	20			
E-31	31	4040	4150	4140	4250	4040	4150	19	319156	25			
E-32	32	4040	4150	4140	4250	4040	4150	19	319156	25			
E-33	33	4040	4150	4140	4250	4040	4150	19	319156	25			
E-34	34	4040	4150	4140	4250	4040	4150	19	319156	25			
E-35	35	5100	4760	3940	3446	5065	4767	16	319156	27			
E-36	36	5100	4760	3940	3446	5065	4767	16	319156	27			
E-37	37	5100	4760	3940	3446	5065	4767	16	319156	27			
E-38	38	5100	4760	3940	3446	5065	4767	16	319156	27			
E-39	39	5100	4760	3940	3446	5065	4767	16	319156	27			
E-40	40	6830	6495	6260	5110	11987	140247	21	319157	27			
E-41	41	6830	6495	6260	5110	11987	140247	21	319157	27			
E-42	42	6830	6495	6260	5110	11987	140247	21	319157	27			
E-43	43	6830	6495	6260	5110	11987	140247	21	319157	27			
E-44	44	6830	6495	6260	5110	11987	140247	21	319157	27			
E-45	45	6830	6495	6260	5110	11987	140247	21	319157	27			
E-46	46	6830	6495	6260	5110	11987	140247	21	319157	27			
E-47	47	6830	6495	6260	5110	11987	140247	21	319157	27			
E-48	48	6830	6495	6260	5110	11987	140247	21	319157	27			
E-49	49	6830	6495	6260	5110	11987	140247	21	319157	27			
E-50	50	6830	6495	6260	5110	11987	140247	21	319157	27			
E-51	51	6830	6495	6260	5110	11987	140247	21	319157	27			
E-52	52	6830	6495	6260	5110	11987	140247	21	319157	27			
E-53	53	6830	6495	6260	5110	11987	140247	21	319157	27			
E-54	54	6830	6495	6260	5110	11987	140247	21	319157	27			
E-55	55	6830	6495	6260	5110	11987	140247	21	319157	27			
E-56	56	6830	6495	6260	5110	11987	140247	21	319157	27			
E-57	57	6830	6495	6260	5110	11987	140247	21	319157	27			
E-58	58	6830	6495	6260	5110	11987	140247	21	319157	27			
E-59	59	6830	6495	6260	5110	11987	140247	21	319157	27			
E-60	60	6830	6495	6260	5110	11987	140247	21	319157	27			
E-61	61	6830	6495	6260	5110	11987	140247	21	319157	27			
E-62	62	6830	6495	6260	5110	11987	140247	21	319157	27			
E-63	63	6830	6495	6260	5110	11987	140247	21	319157	27			
E-64	64	6830	6495	6260	5110	11987	140247	21	319157	27			
E-65	65	6830	6495	6260	5110	11987	140247	21	319157	27			
E-66	66	6830	6495	6260	5110	11987	140247	21	319157	27			
E-67	67	6830	6495	6260	5110	11987	140247	21	319157	27			
E-68	68	6830	6495	6260	5110	11987	140247	21	319157	27			
E-69	69	6830	6495	6260	5110	11987	140247	21	319157	27			
E-70	70	6830	6495	6260	5110	11987	140247	21	319157	27			
E-71	71	6830	6495	6260	5110	11987	140247	21	319157	27			
E-72	72	6830	6495	6260	5110	11987	140247	21	319157	27			
E-73	73	6830	6495	6260	5110	11987	140247	21	319157	27			
E-74	74	6830	6495	6260	5110	11987	140247	21	319157	27			
E-75	75	6830	6495	6260	5110	11987	140247	21	319157	27			
E-76	76	6830	6495	6260	5110	11987	140247	21	319157	27			
E-77	77	6830	6495	6260	5110	11987	140247	21	319157	27			
E-78	78	6830	6495	6260	5110	11987	140247	21	319157	27			
E-79	79	6830	6495	6260	5110	11987	140247	21	319157	27			
E-80	80	6830	6495	6260	5110	11987	140247	21	319157	27			
E-81	81	6830	6495	6260	5110	11987	140247	21	319157	27			
E-82	82	6830	6495	6260	5110	11987	140247	21	319157	27			
E-83	83	6830	6495	6260	5110	11987	140247	21	319157	27			
E-84	84	6830	6495	6260	5110	11987	140247	21	319157	27			
E-85	85	6830	6495	6260	5110	11987	140247	21	319157	27			
E-86	86	6830	6495	6260	5110	11987	140247	21	319157	27			
E-87	87	6830	6495	6260	5110	11987	140247	21	319157	27			
E-88	88	6830	6495	6260	5110	11987	140247	21	319157	27			
E-89	89	6830	6495	6260	5110	11987	140247	21	319157	27			
E-90	90	6830	6495	6260	5110	11987	140247	21	319157	27			
E-91	91	6830	6495	6260	5110	11987	140247	21	319157	27			
E-92	92	6830	6495	6260	5110	11987	140247	21	319157	27			
E-93	93	6830	6495	6260	5110	11987	140247	21	319157	27			
E-94	94	6830	6495	6260	5110	11987	140247	21	319157	27			
E-95	95	6830	6495	6260	5110	11987	140247	21	319157	27			
E-96	96	6830	6495	6260	5110	11987	140247	21	319157	27			
E-97	97	6830	6495	6260	5110	11987	140247	21	319157	27			
E-98	98	6830	6495	6260	5110	11987	140247	21	319157	27			
E-99	99	6830	6495	6260	5110	11987	140247	21	319157	27			
E-100	100	6830	6495	6260	5110	11987	140247	21	319157	27			
E-101	101	6830	6495	6260	5110	11987</							

D

VSL MULTISTRAND SYSTEMS:
Type E Stressing Anchorage



		Dimensions (Inches)													
		A	B	C	$\#0$	$\#E$	F	$\#0$	H	I	J	K	L	M	X
0.7 Strand	6-1	7.01	0.93	1.7	1.63	1.09	2.23	3.13	3.54	10.5	1.13	4.6	2	1.54	
	6-2	4.65	0.79	1.81	1.54	1.09	2.43	3.13	3.53	10.5	1.13	4.6	2	1.54	
	6-4	6.19	0.79	1.92	1.74	1.17	2.48	3.61	5.91	17.7	1.97	4.4	3	2.09	
	6-7	6.89	0.96	2.17	4.33	2.91	7.48	8.07	7.87	21.7	2.36	4.4	4	2.95	
	6-12	9.06	1.38	2.38	5.91	4.06	14.25	11.22	9.84	2.56	2.83	4.4	5	12.01	
	6-14	11.41	1.57	2.79	7.09	5.81	18.55	14.37	11.81	3.73	3.63	4.6	6	15.16	
	6-22	12.41	1.77	3.95	7.48	5.91	18.66	15.95	14.17	3.55	3.62	4.6	6	16.34	
0.8 Strand	6-1	7.01	0.93	1.7	1.63	1.09	2.23	3.13	3.54	10.5	1.13	4.6	2	1.54	
	6-2	4.65	0.79	1.81	1.54	1.09	2.43	3.13	3.53	10.5	1.13	4.6	2	1.54	
	6-4	6.19	0.79	1.92	1.74	1.17	2.48	3.61	5.91	17.7	1.97	4.4	3	2.09	
	6-7	6.89	0.96	2.17	4.33	2.91	7.48	8.07	7.87	21.7	2.36	4.4	4	2.95	
	6-12	9.06	1.38	2.38	5.91	4.06	14.25	11.22	9.84	2.56	2.83	4.4	5	12.01	
	6-14	11.41	1.57	2.79	7.09	5.81	18.55	14.37	11.81	3.73	3.63	4.6	6	15.16	
	6-22	12.41	1.77	3.95	7.48	5.91	18.66	15.95	14.17	3.55	3.62	4.6	6	16.34	
0.9 Strand	6-1	7.01	0.93	1.7	1.63	1.09	2.23	3.13	3.54	10.5	1.13	4.6	2	1.54	
	6-2	4.65	0.79	1.81	1.54	1.09	2.43	3.13	3.53	10.5	1.13	4.6	2	1.54	
	6-4	6.19	0.79	1.92	1.74	1.17	2.48	3.61	5.91	17.7	1.97	4.4	3	2.09	
	6-7	6.89	0.96	2.17	4.33	2.91	7.48	8.07	7.87	21.7	2.36	4.4	4	2.95	
	6-12	9.06	1.38	2.38	5.91	4.06	14.25	11.22	9.84	2.56	2.83	4.4	5	12.01	
	6-14	11.41	1.57	2.79	7.09	5.81	18.55	14.37	11.81	3.73	3.63	4.6	6	15.16	
	6-22	12.41	1.77	3.95	7.48	5.91	18.66	15.95	14.17	3.55	3.62	4.6	6	16.34	
0.8 Strand	6-1	7.01	0.93	1.7	1.63	1.09	2.23	3.13	3.54	10.5	1.13	4.6	2	1.54	
	6-2	4.65	0.79	1.81	1.54	1.09	2.43	3.13	3.53	10.5	1.13	4.6	2	1.54	
	6-4	6.19	0.79	1.92	1.74	1.17	2.48	3.61	5.91	17.7	1.97	4.4	3	2.09	
	6-7	6.89	0.96	2.17	4.33	2.91	7.48	8.07	7.87	21.7	2.36	4.4	4	2.95	
	6-12	9.06	1.38	2.38	5.91	4.06	14.25	11.22	9.84	2.56	2.83	4.4	5	12.01	
	6-14	11.41	1.57	2.79	7.09	5.81	18.55	14.37	11.81	3.73	3.63	4.6	6	15.16	
	6-22	12.41	1.77	3.95	7.48	5.91	18.66	15.95	14.17	3.55	3.62	4.6	6	16.34	
0.9 Strand	6-1	7.01	0.93	1.7	1.63	1.09	2.23	3.13	3.54	10.5	1.13	4.6	2	1.54	
	6-2	4.65	0.79	1.81	1.54	1.09	2.43	3.13	3.53	10.5	1.13	4.6	2	1.54	
	6-4	6.19	0.79	1.92	1.74	1.17	2.48	3.61	5.91	17.7	1.97	4.4	3	2.09	
	6-7	6.89	0.96	2.17	4.33	2.91	7.48	8.07	7.87	21.7	2.36	4.4	4	2.95	
	6-12	9.06	1.38	2.38	5.91	4.06	14.25	11.22	9.84	2.56	2.83	4.4	5	12.01	
	6-14	11.41	1.57	2.79	7.09	5.81	18.55	14.37	11.81	3.73	3.63	4.6	6	15.16	
	6-22	12.41	1.77	3.95	7.48	5.91	18.66	15.95	14.17	3.55	3.62	4.6	6	16.34	

Notes:

- Other sizes available on request.
- Anchorage spacings are in accordance with test requirements of FIP (Recommendations for Acceptance of Post-Tensioning Systems; March 1992). For proper design and detailing of anchorage zones and related reinforcement, refer to the VSL Publication *Detailing for Post-Tensioning*.

Dimensions are valid for:

- Nominal minimum concrete cylinder strength at 28 days: 4000 psi (28 MPa).
- Maximum prestressing force may be applied when concrete reaches a cylinder strength of 3,500 psi (24 MPa).
- Temporary overstrength to 80% of Guaranteed Ultimate Tensile Strength.
- Yield strength of spiral reinforcement: Grade 80 (400 MPa).
- Information for other concrete strength and conditions are available from your local VSL Representative.
- Large bearing plates are available where bearing stress is arbitrarily limited to 3,000 psi (21 MPa) with the tendon locked off at 70% Guaranteed Ultimate Tensile Strength.
- Spiral reinforcement shall be centered on the anchorage assembly and be placed directly behind the bearing plate.
- Additional orthogonal reinforcement may be required in the local anchorage zone as determined by design.

E

VSL SSI 2000 STAY CABLE SYSTEM



DESIGN
ENGINEERING
SUPPLY
INSTALLATION
MONITORING

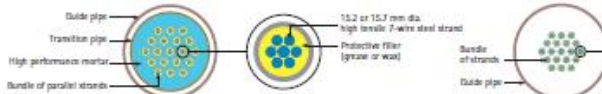
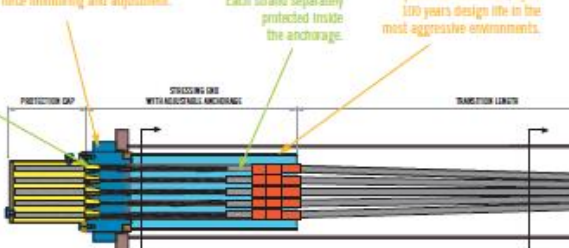
THE SSI 2000 SYSTEM'S FEATURES

Compatible with modern construction methods

Compact anchorages fully prefabricated in workshop, no anchorage component assembly on the deck, single strand installation with light equipment, easy force monitoring and adjustment.

High fatigue resistance

200 MPa with an upper load of 45% of the stay capacity over 2×10^7 load cycles; excellent ultimate resistance after fatigue testing (min. 95% of the specified stay capacity).



SSI 2000: VSL STAY CABLE TECHNOLOGY FOR BRIDGES

The SSI 2000 stay cable system is based on the proven VSL stay cable wedge-strain anchorage technologies, which have been applied for over 20 years. Meeting the most stringent requirements, it has been used in more than 70 stay cable projects and successfully passed many full-scale tests.

Easier to use

The VSL SSI 2000 system is easier to use in all types of cable stayed bridge designs. It incorporates multiple independent and hard-wearing protection layers to guarantee long-term performance. The system also allows

for easy inspection and, where required, cable replacement. It meets and often exceeds the requirements of the latest PTI recommendations for stay cable systems.

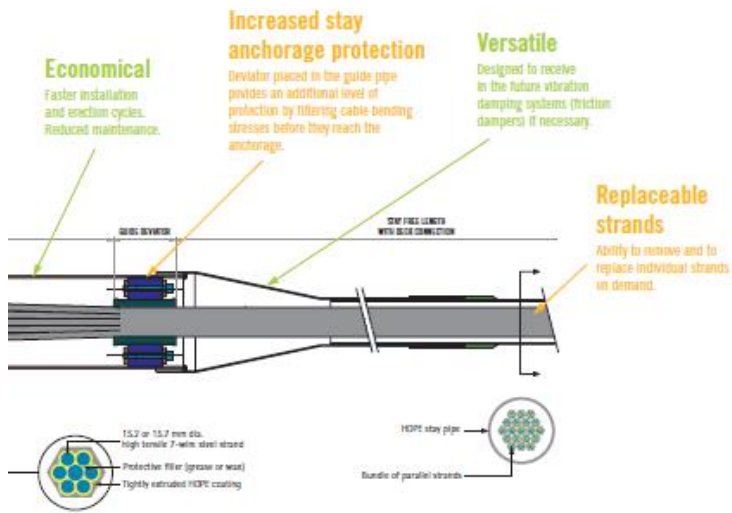
The system has been optimised to facilitate cable installation on site. Because it uses prefabricated anchorages, there is no anchorage component assembly on the dock or the pylon along the critical bridge erection path. These very compact anchorages permit easy installation in confined locations inside box girders or pylons. Single strand installation and stressing are standard features of this system. The 15.2- or 15.7-mm diameter, high-tensile,

7-wire strand is the prime element of this stay cable. It is delivered as monostand, i.e. greased or waxed and sheathed. The strand is factory-manufactured to VSL specifications. Either grease or wax is applied to the wires. The strand is overlaid with a highly oxidized HDPE cover. While not required for durability, the SSI 2000 system can, on request, be delivered with a galvanized or other type of metallic coating.

Full individual encapsulation

The individual encapsulation of each strand avoids the risk of corrosion migration inside stay

SSI 2000 TECHNOLOGY: A NEW



cable areas that cannot be visually inspected. Full individual strand encapsulation is achieved by providing each strand with its own protection tube and sealing details in the anchorages. The performance of the seals can be checked at any time during the design life of the stay. This special sealing system also ensures full protection of the strand during the construction phase. The SSI 2000 option guarantees that the quality of the factory-applied individual protection treatment is maintained over the entire length of the strand from wedge to wedge, and not to wedges when the protection treatment needs to be removed during installation.

Protections for higher durability
Anchorage details are designed to filter vibration and bending stresses in the cable before they reach the wedge anchorages. The deviator placed inside the guide pipe provides the anchorage with an additional level of protection from imposed cable rotations. The corrosion protection options on the anchorages have been designed to provide up to 100 years of design life in the most aggressive environments.

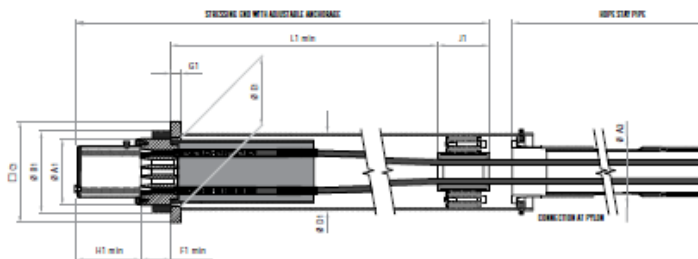
Options
In its standard configuration, the VSL SSI 2000 stay cable system is delivered with its

monstrands positioned inside a black HDPE stay pipe but without any metallic coating. It does not require greasing over the life length. The system can be supplied with a number of options, including use of metal-coated (i.e., galvanized) monostands, coloured HDPE stay pipe (co-extruded or fully coloured), special helical anti-vibration ribs on the stay pipe, stabilizing cables, special anti-vibration danger road to one end of the cable, generally at deck level for easy maintenance and designed to provide high performance and easy installation on both new and existing bridges.

VSL SSI 2000 MAIN DIMENSIONS



SSI 2000 STRESSING AND ANCHORAGE FOR 127 TONNE UNIT (PAPENDRECH BRIDGE)

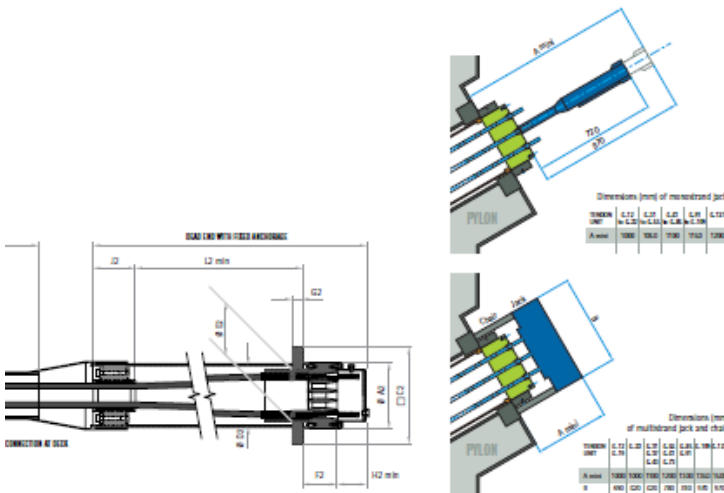


Stay		Stressing End													
TENDON UNIT	Number of strands	Minimum breaking load MN	Force at 45% MN	Transverse force MN	TENDON UNIT	Ø A1	Ø B1	Ø C1	Ø D1	Ø E1	F1 min	G1	H1 min	I1	J1 min
E-12	12	3,348	1,507	50	E-12	190	230	290	210/10.5	190	85	30	235	100	1,000
E-19	19	5,301	2,305	80	E-19	235	285	355	267/6.3	241	100	35	245	180	1,750
E-22	22	6,138	2,702	90	E-22	255	310	385	298.5/7.1	201	110	40	245	210	1,900
E-31	31	8,649	3,892	130	E-31	285	350	440	323.9/7.1	291	130	45	275	210	2,100
E-37	37	10,323	4,645	150	E-37	310	380	485	355.6/8.0	316	140	50	295	210	2,300
E-43	43	11,987	5,309	180	E-43	350	425	540	406.4/8.0	316	145	55	305	210	2,550
E-55	55	15,345	6,905	230	E-55	385	470	585	419/10	391	165	60	325	260	2,850
E-61	61	17,719	7,639	250	E-61	385	470	600	419/10	391	180	65	345	260	2,850
E-73	73	20,367	9,165	300	E-73	440	530	680	508/11	446	180	75	345	290	3,050
E-85	85	23,715	10,672	350	E-85	440	540	710	508/11	446	210	80	375	310	3,150
E-91	91	25,389	11,405	375	E-91	490	590	760	530/12.5	496	195	80	385	320	3,400
E-109	109	30,411	13,685	450	E-109	505	610	795	550/12.5	511	215	90	400	320	3,550
E-127	127	36,423	15,945	525	E-127	580	670	803	610/12.5	566	255	95	410	340	3,950

VSL SSI 2000 STAY CABLE SYSTEMS

E

CABLE-SUSPENDED STRUCTURES WITH VSL | VSL NETWORK



Dead End

TENSION UNIT	Dia2 mm	C2 mm	B2 mm	C3 mm	F2 mm	G2 mm	H2 min mm	I2 mm	L2min mm	O42 mm mm	TENSION UNIT
G-12	185	200	177.0/4.5	150	105	35	105	100	900	120/4.0	G-12
G-19	230	235	219.1/6.3	190	120	50	105	180	1,200	140/5.4	G-19
G-22	250	255	219.1/6.3	205	120	50	105	210	1,350	160/6.3	G-22
G-31	280	415	244.5/6.3	230	145	60	105	210	1,550	160/6.2	G-31
G-37	300	455	273/6.3	255	170	70	105	210	1,750	180/6.6	G-37
G-43	340	505	323.9/7.1	285	175	75	105	210	2,000	200/6.2	G-43
G-55	380	550	323.9/7.1	310	195	75	105	210	2,050	200/6.2	G-55
G-61	380	585	315.5/8	330	215	85	105	210	2,250	220/7.0	G-61
G-73	430	650	406.4/8.8	370	215	95	120	290	2,450	240/7.0	G-73
G-85	430	685	406.4/8.8	370	245	110	120	290	2,600	250/7.8	G-85
G-91	480	730	457/10	420	255	110	120	320	2,800	280/8.7	G-91
G-109	495	775	457/10	420	265	120	120	320	3,000	315/9.0	G-109
G-127	550	845	500/11	475	315	130	120	340	3,350	315/9.0	G-127

Stay Pipe

- Formulas are indicated for almost EN 12336-3 18G257 - 16.0 (Euronorm).
- Admissible transverse force on the standard guide device.
- Valid for minimal eccentric strength of stemming to 45% of stay capacity: 45 MPa (tube), 36 MPa (cylinder). Dimension must be checked in case of other bearing conditions.
- External diameter / wall thickness.
- Minimum height of anchor head allows an adjustability of 40 mm.
- Dimensions valid for load monitoring (adjustment) with multi-strand jack.
- Non-ground stay.
- Guide pipe to be checked for the actual transverse force.

W CONCEPT FOR DURABILITY

VSL SSI 2000 STAY CABLE SYSTEM 7

F

VSL CTT POT BEARINGS



DESIGN
ENGINEERING

TECHNICAL
SUPPORT

BEARING
FABRICATION

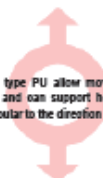
CE

F



VSL – CTT POT BEARINGS

Type PU



Bearings type PU allow movement in one direction and can support horizontal loads perpendicular to the direction of movement.

H2



Bearings according to Euronorm EN 1337

BEARING TYPE	V MAX ULS (kN)	H MAX ULS (kN)	V MAX SLS (kN)	H MAX SLS (kN)	V min SLS, ULS (kN)	Aprox. Weight (kg)
PU 300/70/H2 EN	977	210	700	140	350	40
PU 200/140/H2 EN	1.953	420	1.400	280	700	57
PU 300/220/H2 EN	3.069	650	2.200	440	1.100	101
PU 390/280/H2 EN	3.906	840	2.800	560	1.400	135
PU 490/350/H2 EN	4.883	1.050	3.500	700	1.750	172
PU 630/450/H2 EN	6.278	1.350	4.500	900	2.250	249
PU 709/500/H2 EN	6.975	1.500	5.000	1.000	2.500	320
PU 840/650/H2 EN	8.370	1.800	6.000	1.200	3.000	377
PU 900/850/H2 EN	9.068	1.950	6.500	1.300	3.250	421
PU 1000/700/H2 EN	9.765	2.100	7.000	1.400	3.500	450
PU 1120/800/H2 EN	11.160	2.400	8.000	1.600	4.000	515
PU 1200/950/H2 EN	11.858	2.550	8.500	1.700	4.250	559
PU 1320/950/H2 EN	13.253	2.850	9.500	1.900	4.750	633
PU 1400/1000/H2 EN	13.950	3.000	10.000	2.000	5.000	670
PU 1535/1100/H2 EN	15.345	3.300	11.000	2.200	5.500	843
PU 1700/1200/H2 EN	16.740	3.600	12.000	2.400	6.000	926
PU 1800/1300/H2 EN	18.135	3.900	13.000	2.600	6.500	1.042
PU 2000/1400/H2 EN	19.530	4.200	14.000	2.800	7.000	1.150
PU 2100/1500/H2 EN	20.925	4.500	15.000	3.000	7.500	1.287
PU 2250/1600/H2 EN	22.320	4.800	16.000	3.200	8.000	1.428
PU 2400/1700/H2 EN	23.715	5.100	17.000	3.400	8.500	1.559
PU 2500/1800/H2 EN	25.110	5.400	18.000	3.600	9.000	1.677
PU 2650/1900/H2 EN	26.505	5.700	19.000	3.800	9.500	1.780
PU 2800/2000/H2 EN	27.900	6.000	20.000	4.000	10.000	1.913
PU 3000/2200/H2 EN	30.690	6.600	22.000	4.400	11.000	2.367

Bearings have been designed with the following parameters :

Concrete on Deck is H40 (fck = 40 Mpa)

Concrete on Piers and Abutment is H30 (fck = 30 Mpa)

Minimum Horizontal load is 20% of the Vertical load

Minimum load at SLS and ULS is 50% of Maximum Vertical load at SLS

Movement ± 50 mm

Rotation 0.01 rad

Other models are available under request

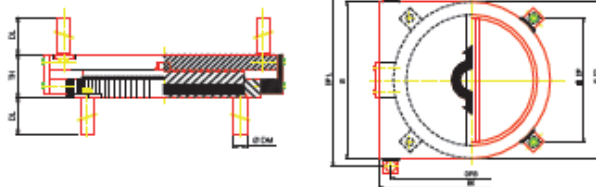


F



Main Dimensions

BEARING TYPE	Pot Ø D2 (mm)	Total height TH (mm)	Top Plate Dimensions L5 x B5 (mm)	Recommended Pier Ø (mm)	DM Ø (mm)	DL (mm)	DPL (mm)	DPB (mm)	DP (mm)
PU 100/70/H2 EN	250	83	290 x 350	400	30	150	200	310	219
PU 200/140/H2 EN	312	84	347 x 312	499	30	150	257	372	268
PU 300/220/H2 EN	390	103	405 x 390	624	30	150	315	450	318
PU 390/280/H2 EN	439	105	440 x 439	702	40	200	350	499	353
PU 490/350/H2 EN	492	113	492 x 492	787	40	200	402	552	390
PU 630/450/H2 EN	553	129	553 x 553	885	40	200	463	613	433
PU 703/500/H2 EN	588	130	588 x 588	941	60	300	478	668	472
PU 840/600/H2 EN	624	145	624 x 624	996	60	300	514	704	498
PU 900/850/H2 EN	651	149	651 x 651	1.042	60	300	541	731	517
PU 1000/700/H2 EN	673	150	673 x 673	1.077	60	300	563	735	532
PU 1120/900/H2 EN	721	153	721 x 721	1.154	60	300	611	801	566
PU 1200/850/H2 EN	754	154	754 x 754	1.205	60	300	664	834	590
PU 1320/950/H2 EN	782	166	782 x 782	1.251	60	300	672	852	610
PU 1400/1000/H2 EN	804	167	804 x 804	1.286	60	300	694	884	625
PU 1535/1100/H2 EN	838	184	838 x 838	1.341	70	350	718	928	656
PU 1700/1200/H2 EN	880	186	880 x 880	1.408	70	350	760	970	686
PU 1800/1300/H2 EN	914	188	914 x 914	1.462	80	400	784	1014	717
PU 2000/1400/H2 EN	944	200	944 x 944	1.510	80	400	814	1044	738
PU 2100/1500/H2 EN	978	201	978 x 978	1.565	90	450	846	1078	762
PU 2250/1600/H2 EN	1.022	214	1022 x 1022	1.635	90	450	892	1122	793
PU 2400/1700/H2 EN	1.048	215	1048 x 1048	1.677	90	450	918	1148	812
PU 2500/1800/H2 EN	1.077	221	1077 x 1077	1.723	90	450	947	1177	832
PU 2850/1900/H2 EN	1.108	225	1108 x 1108	1.773	90	450	978	1208	854
PU 2800/2000/H2 EN	1.151	225	1151 x 1151	1.842	90	450	1021	1251	885
PU 3000/2200/H2 EN	1.295	234	1286 x 1286	2.058	90	450	1156	1386	980



The dimensions given are indicative. Designs and dimensions can be modified by VSL-CTT without prior notifications.



G



Bridge Accessories

MAURER Swivel-Joist Expansion Joint



MAURER SÖHNE
Innovations in steel



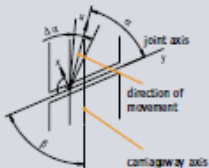
G

Versatility

MAURER Swivel-Joist Expansion Joints can absorb all movements customary in bridge construction. The versatile mechanism of this type makes it suitable for variable skew angles along axes centred on a fixed point and also for complex hybrid movements and rotations about the spatial axes x, y and z.

The recess sizes given in the following pages will give the planner of the bridge structure some assistance for designing. The distribution of a support bar movement to each joint edge can be settled as per requirement or liking, other solutions than those shown below can be designed as well. All dimensions given are without obligation to the planner. For every project all dimensions will have to be determined case by case.

Geometrical restrictions which might be the consequence of the geometry of the boxes and support bars, can be changed by special design any time.



Due to the high standardisation expenditure resulting from Technical Test Specifications according to TU/TP-RÜ only applications of frequent use had been considered (please also refer to the accompanying documents). In Germany the admissible movement per joint gap in transverse direction to the joint-axis has been restricted to

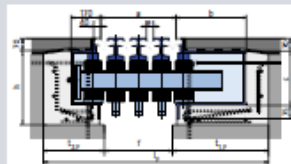
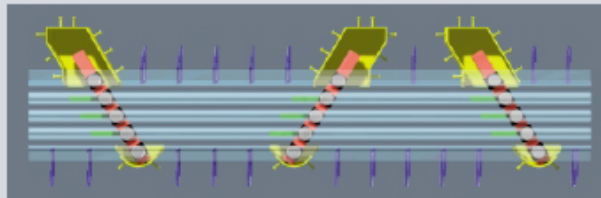
65 mm. However, all expansion joints are designed to take movements of 80 mm. The following table shows the admissible movements for standard designs of the individual types.

type	weight [kg/m]	type	weight [kg/m]	α	Δx	β
D5160	270	D5720	930			
D5340	350	D5800	1030			
D5330	440	D5880	1140			
D5400	530	D5960	1260			
D5480	620	D51040	1380			
D5660	720	D51120	1500			
D5640	820	D51200	1620			
n	type	a_x [mm]	a_y [mm]	a_z [mm]	α [°]	
2	D5160	130 (160)	± 80	± 10		
3	D5340	195 (240)	± 120	± 15		
4	D5320	260 (320)	± 150	± 20		
5	D5400	325 (400)	± 200	± 25		
6	D5480	390 (480)	± 240	± 30		
7	D5660	455 (560)	± 280	± 35		
8	D5640	520 (640)	± 320	± 40	$90^\circ \pm 45^\circ$	any
9	D5720	585 (720)	± 360	± 40		
10	D5800	650 (800)	± 400	± 40		
11	D5880	715 (880)	± 440	± 40		
12	D5960	780 (960)	± 480	± 45		
13	D51040	845 (1040)	± 520	± 45		
14	D51120	910 (1120)	± 560	± 45		
15	D51200	975 (1200)	± 600	± 45		

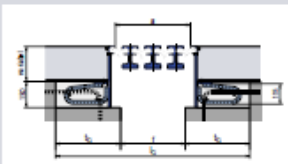
^{*)} Values apply to standard design, bigger values are possible, too.

G

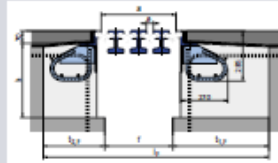
Movement of support bars to one side only Recess dimensions



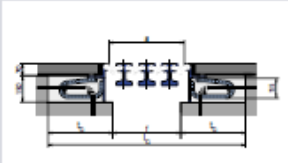
cross section through support box at carriageway



footway cross section - version 1



carriageway cross section at anchorage



footway cross section - version 2

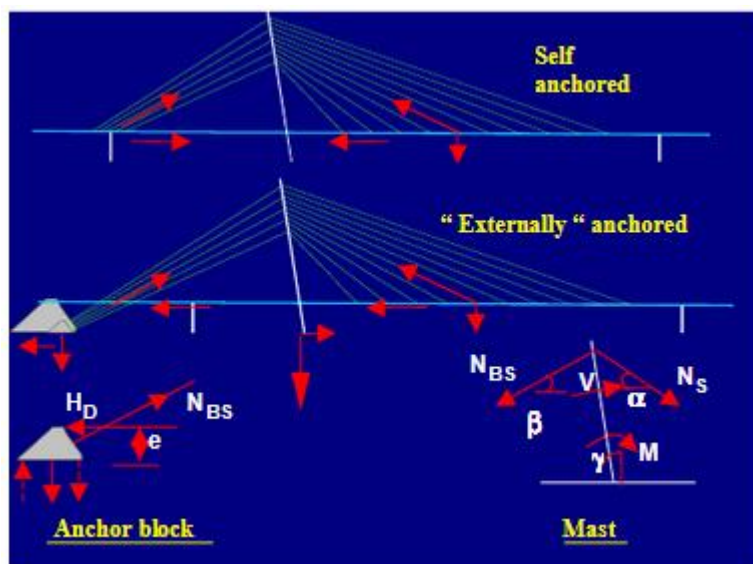
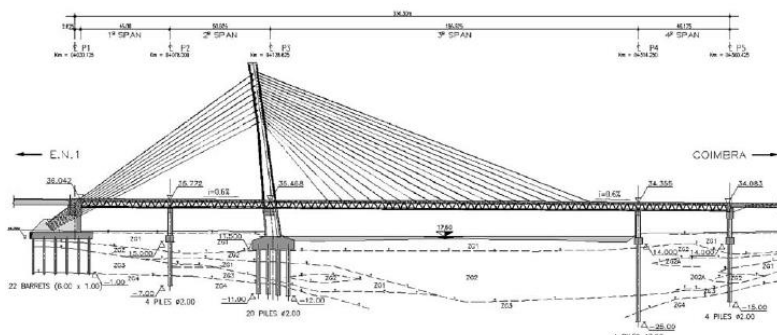
MAURER exp. joint	structural dimensions	concrete recess dimensions				concrete gap dimensions				
		a [mm]	b [mm]	c [mm]	t _{1,F} [mm]	t _{2,F-G} [mm]	t _{min} [mm]	t _{max} [mm]	l _F [mm]	l _G [mm]
2 DS160	150	250	290	420	400	350	115	130	865	815
3 DS340	270	310	300	430	450	380	225	250	1055	985
4 DS370	390	360	310	440	500	390	300	370	1190	1080
5 DS400	510	410	330	450	560	400	410	490	1370	1210
6 DS480	630	460	330	460	620	410	520	610	1550	1340
7 DS560	750	510	340	470	680	420	630	730	1730	1470
8 DS640	870	560	350	480	740	430	740	850	1910	1600
9 DS720	990	610	360	490	800	440	850	970	2090	1730
10 DS800	1110	660	370	500	860	450	960	1050	2270	1820
11 DS880	1230	710	380	510	920	460	1070	1210	2460	1990
12 DS960	1350	760	390	520	980	470	1180	1330	2630	2120
13 DS1040	1470	810	400	530	1040	480	1290	1450	2810	2250
14 DS1120	1590	860	410	540	1100	490	1400	1570	2990	2380
15 DS1200	1710	910	420	550	1160	500	1510	1680	3170	2510

For structures acc. to dimension T₁/T_{1H0} you must also observe the details given in the standard testing specifications

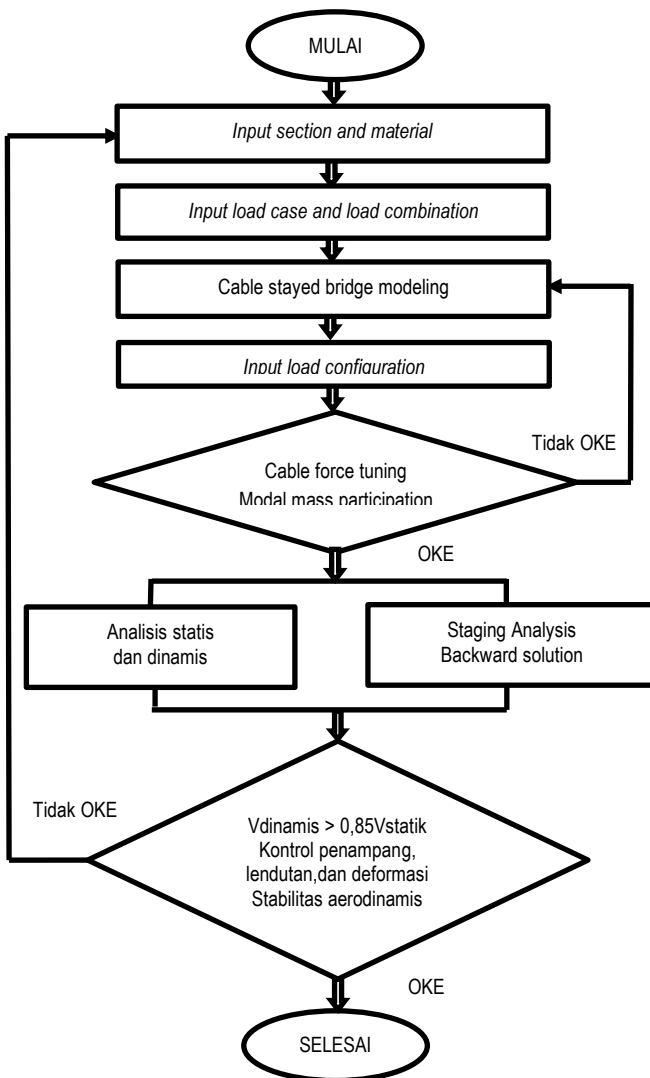
- All dimensions are rectangular to the joint axis.
- n = number of sealing elements
- a, f and l apply to a presetting dimension e = 30 mm for every joint gap and must be adjusted by $n \times \Delta e$ in case of deviating presetting dimension e.
- recesses for footway joints, restraints and tube openings as a rule require prior consent between the planner of the structure and the manufacturer of the expansion joint.
- Smaller recess dimensions are possible by special design of MAURER.

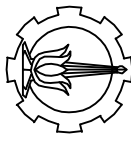
H

Contoh desain blok angkur pada jembatan “*Europa*” yang berupa jembatan *cable stayed* asimetris di Portugal (Reis and Pedro, 2001). Pada Tugas Akhir ini jembatan Kalipepe didesain menggunakan *externally anchored* seperti gambar di bawah.



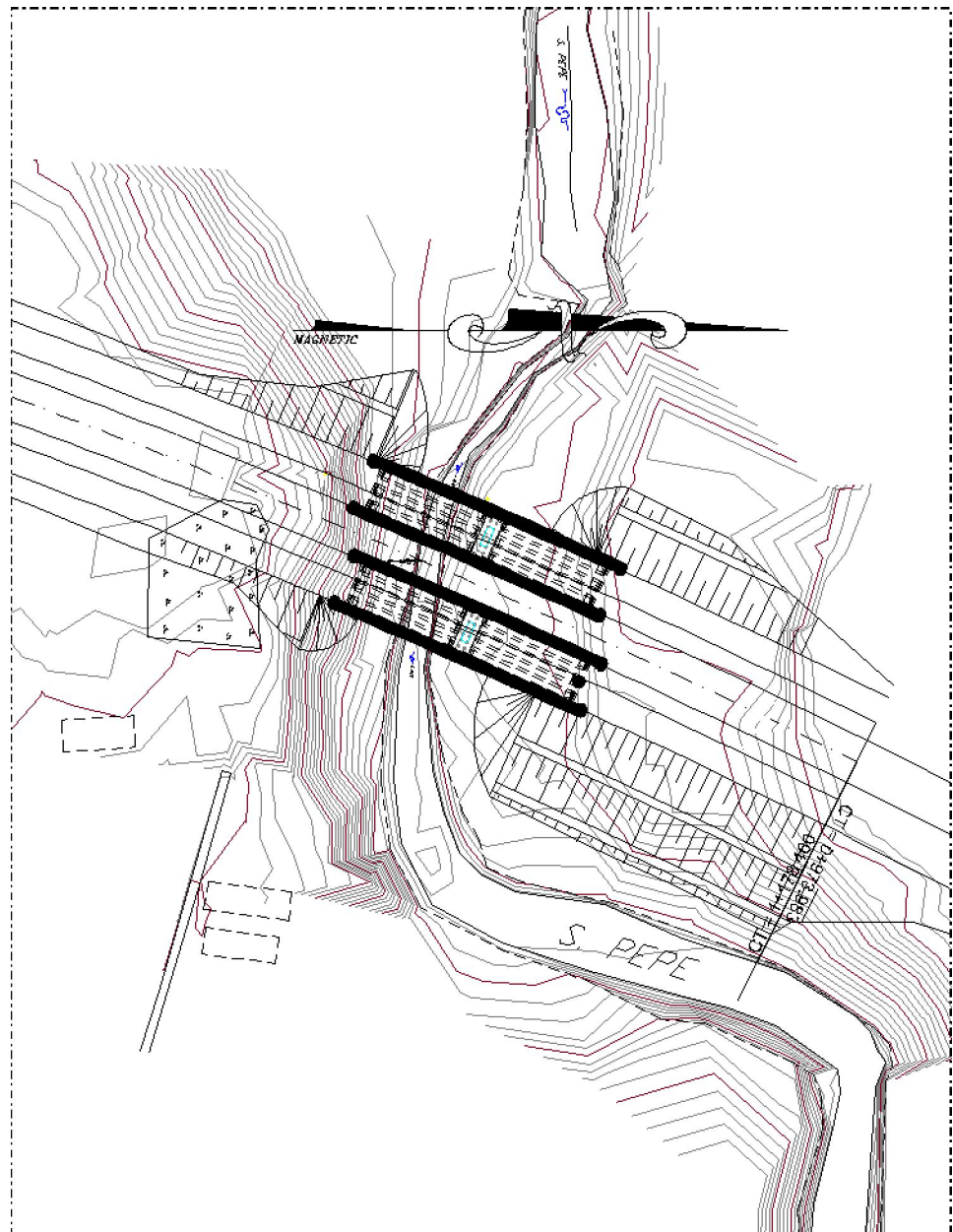
I

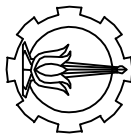




INSTITUT TEKNOLOGI SEPULUH NOPEMBER
PRODI SISTEM KOMPUTER

JUDUL TUGAS AKHIR	JUDUL GAMBAR	SKALA	NO	DOSEN PEMBIMBING	MAHASISWA
DESAIN MODIFIKASI STRUKUR JEMBATAN KALIREJO DENGAN ASYMMETRIC CABLE STAYED SYSTEM DAN PCS GIRDERS	LAYOUT LOKASI JEMBATAN	1 : 2000	1 JMLH 24	Prof. Ir. Taek, ST., MT., PhD NIP. 197002271997021001 Dr. Ir. Mulyati Sugiharto, M.S NIP. 19550219651004	Nehemiah Akbar Alfaridji NRP. 311510522
INSTITUT TEKNOLOGI SEPULUH NOPEMBER PRODI SISTEM KOMPUTER					





JUDUL TUGAS AKHIR.

TAMPAK MEMANJANG

SKALA

NO

DOSEN PEMBIMBING

MAHASISWA

DESAIAN MODIFIKASI STRUKUR
JEMBATAN KALIFERPE DENGAN
ASYMMETRIC CABLE STAYED
SYSTEM DAN PC SB GIRDERS

JMLH

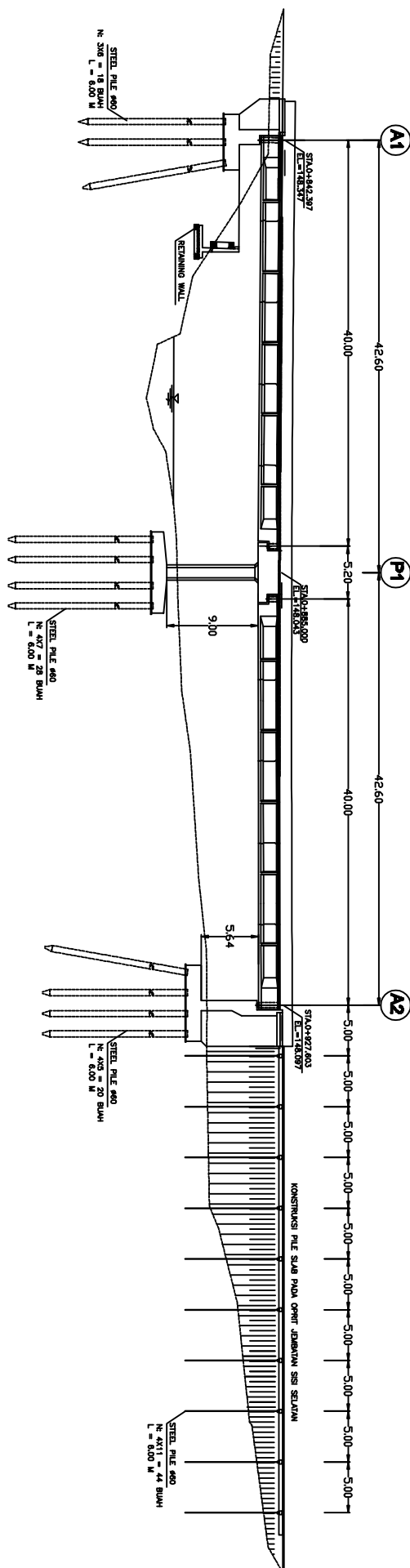
1 : 400

24

Prof. Tanti, ST., MT., PdM
NIP. 197002271991011001

Dr. Ir. Hidayat Soegiharto, M.Sc
NIP. 196502191991011001

Melanawati Akbar Alsayyid
NIP. 3110100020





INSTITUT TEKNOLOGI SEPULUH NOPEMBER
PRODI SISTEM KONEKSI DAN SPASIAL

JUDUL TUGAS AKHIR

SKALA

DOSEN PEMBIMBING

MAHASISWA

DESAIN MODERASI STRUKUR
JEMBATAN KALIRENG DENGAN
PARAMETRIC CABLE STAYED

JUDUL GAMBAR

NO

PROF. TARIK, ST., MT., MM

NIP. 19700227199702101

Mohamad Akbar Alsayid

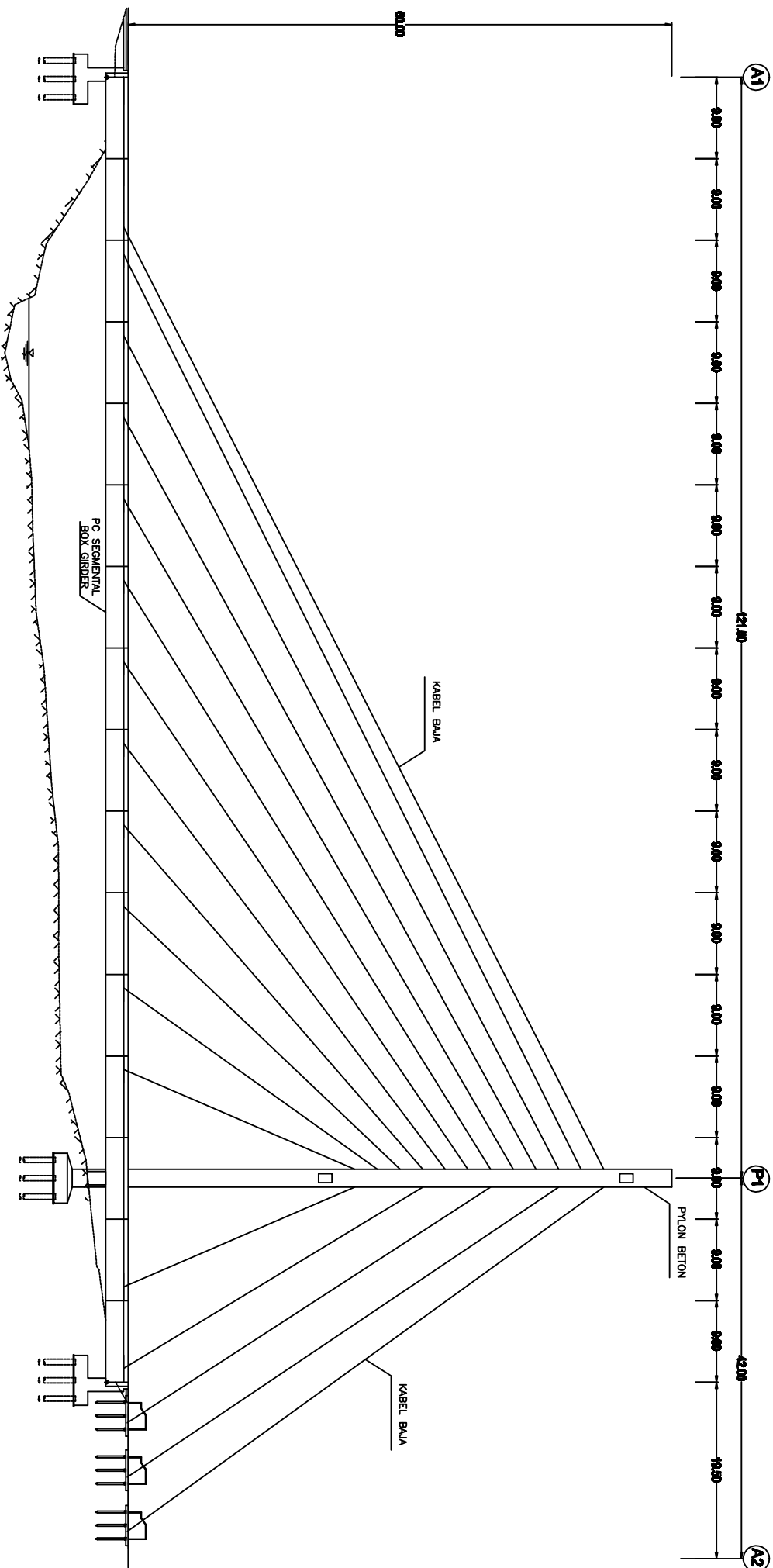
3

JMLH

24

Dr. Ir. Hidayat Sugiharto, M.S

NIP. 19550225198601004





JUDUL TUGAS AKHIR

DESAIN MODELISASI

STRUKTUR JEMBATAN

KALIFER DENGAN

ASYMMETRIC CABLE STAYED

SYSTEM DAN PC SB GREDER

JUDUL GAMBAR

TAMPAK MELINTANG

SKALA

1 : 400

NO

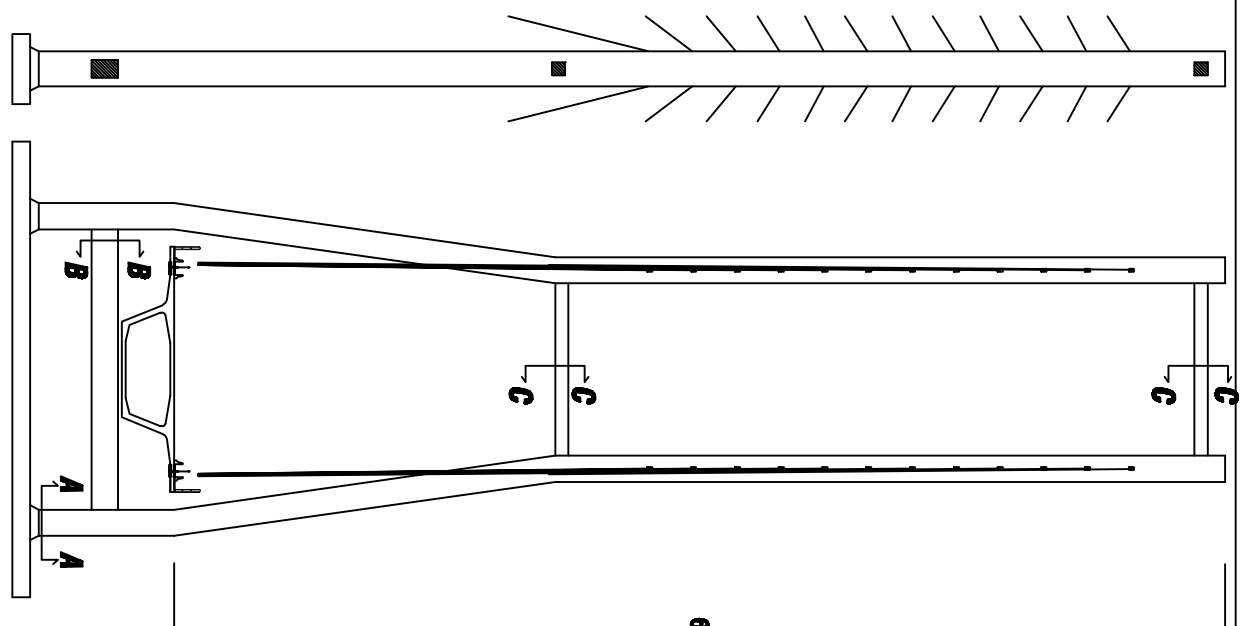
4

DOSEN PEMBIMBING

Prof. Tarki, ST., MT., PhD
NIP. 1970022719992101

MAHASISWA

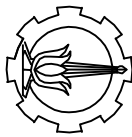
Dr. Ir. Widayat Sugiharto, M.Sc
NIP. 195502251988051004



DETAIL A-A

DETAIL B-B

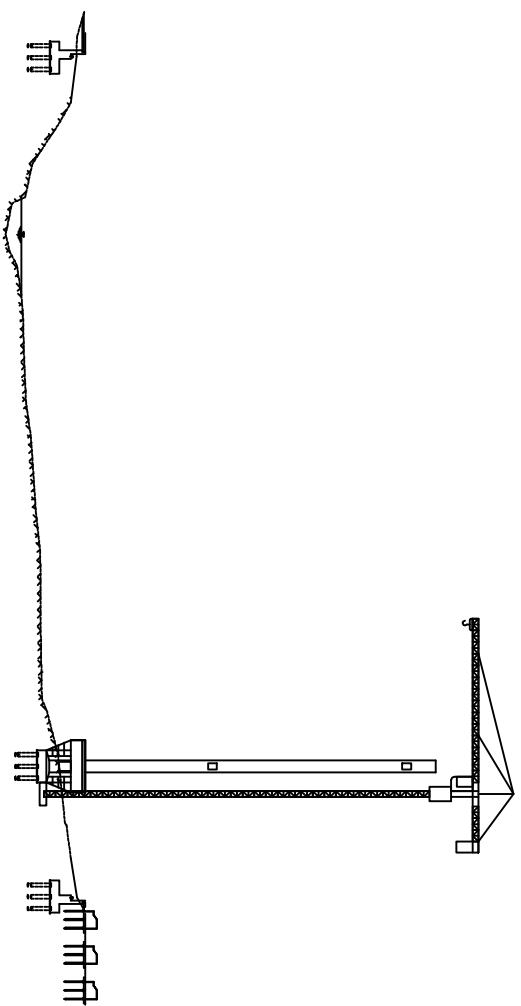
DETAIL C-C



INSTITUT TEKNOLOGI SEPULUH NOPEMBER
PRODI SISTEM PELAKUKAN TERAPAN

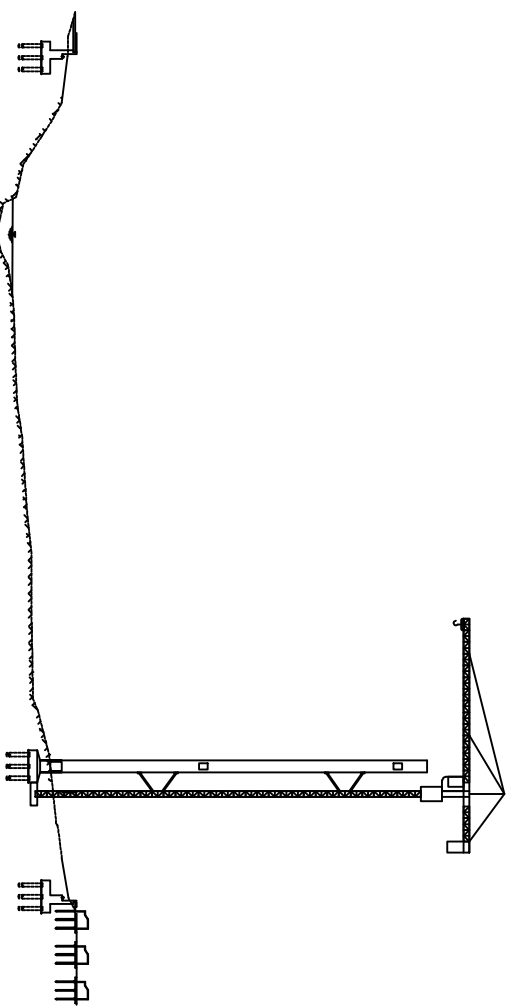
CYCLE 2

SKALA 1:200

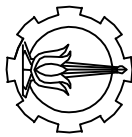


CYCLE 1

SKALA 1:200



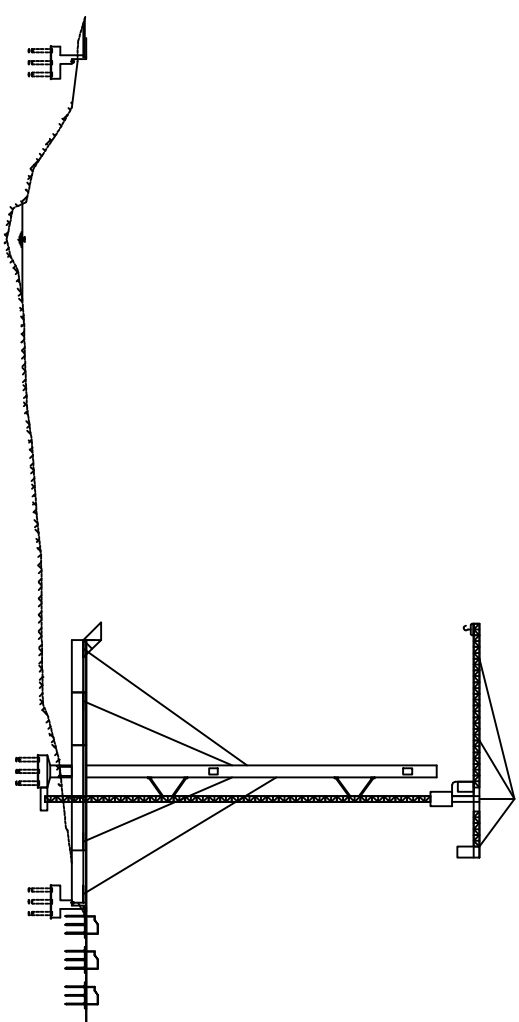
JUDUL TUGAS AKHIR	JUDUL GAMBAR	SKALA	NO	DOSEN PEMBIMBING	MAHASISWA
DESAIN MODERASI STRUKUR JEMBATAN KALIRENG DENGAN ATRAMENTIC CABLE STAYED SYSTEM DAN PCS GIRDERS	TAHAPAN PELAKUKAN JEMBATAN	1 : 600	5	Prof. Tarki, ST., MT., MM NIP. 19700227199702101	Mohamad Albar Alsayid
		24	JMLH	Dr. Ir. Hidayat Soegihardjo, M.S NIP. 19550225198601004	Nurul Imanah



INSTITUT TEKNOLOGI SEPULUH NOPEMBER
PRODI SISTEM KERJA DAN SPASI

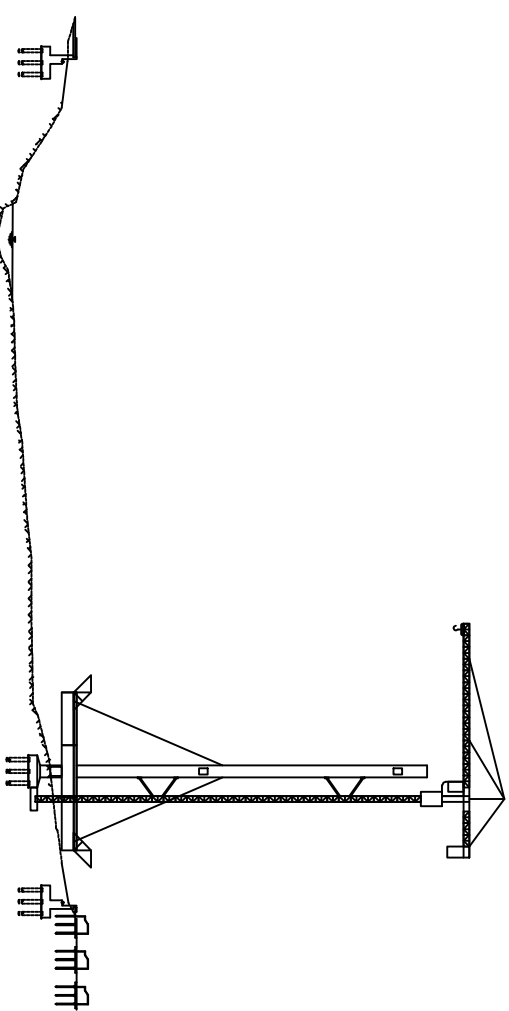
CYCLE 4

SKALA 1:200

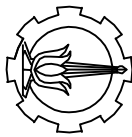


CYCLE 3

SKALA 1:200



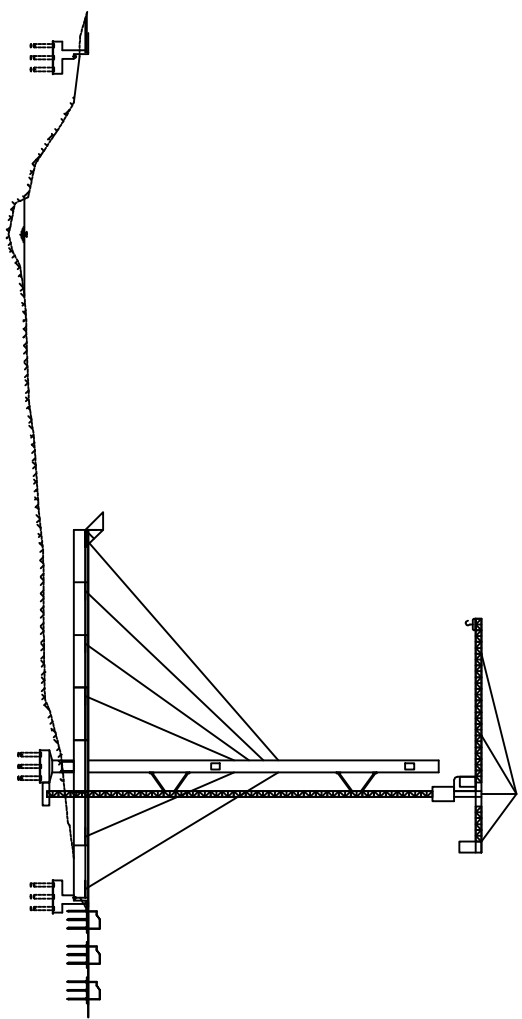
JUDUL TUGAS AKHIR		JUDUL GAMBAR	SKALA	NO	DOSEN PEMBIMBING	MAHASISWA
DESAIN MODERASI STRUKUR JEMBATAN KALIRENG DENGAN ASYMMETRIC CABLE STAYED SYSTEM DAN PCS GIRDERS		TAHAPAN PELAKUANAN JEMBATAN	1 : 600	6	Prof. Tarki, ST., MT., MM NIP. 19700227199702101	Nabawati Albar Alsayid
				JMLH	Dr. Ir. Hidayat Soegihardjo, M.S NIP. 19550225198601004	MRP. 31100022
				24		



INSTITUT TEKNOLOGI SEPULUH NOPEMBER
PRODI SISTEM KERJA DAN SPASI

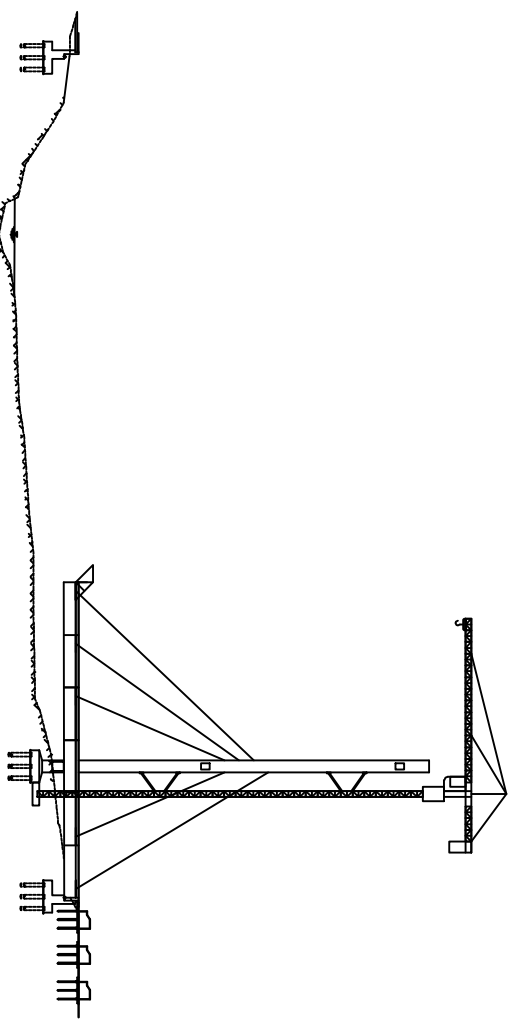
CYCLE 6

SKALA 1:200

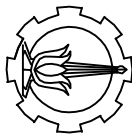


CYCLE 5

SKALA 1:200



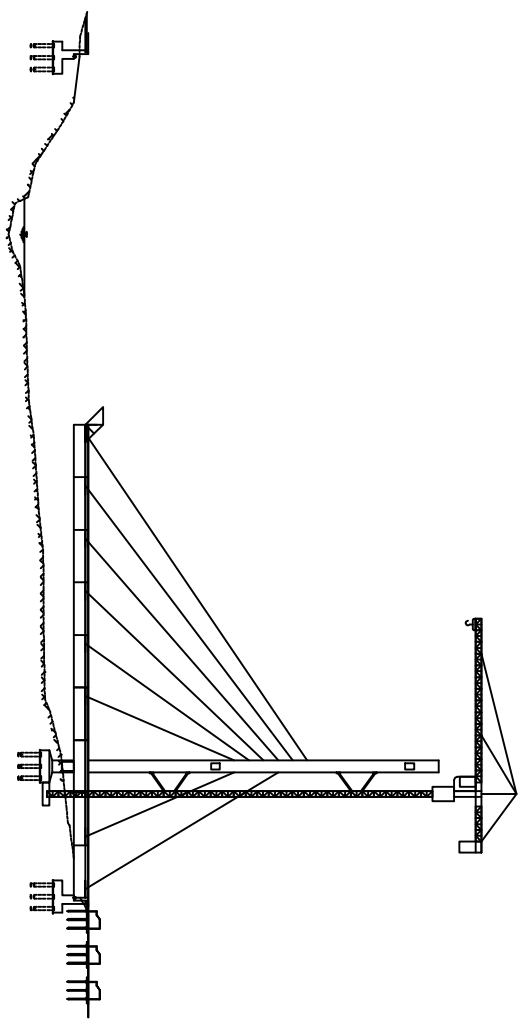
JUDUL TUGAS AKHIR	JUDUL GAMBAR	SKALA	NO	DOSEN PEMBIMBING	MAHASISWA
DESAIN MODERASI STRUKUR JEMBATAN KALIRENG DENGAN ASYMMETRIC CABLE STAYED SYSTEM DAN PCS GIRDERS	TAHAPAN PELAKUANAN JEMBATAN	1 : 600	7	Prof. Tarki, ST., MT., MM NIP. 19700227199702101	Nabawati Albar Alfaridji
			JMLH	Dr. Ir. Hidayat Soegihardjo, M.S NIP. 19550225198601004	Muhammad Albar Alfaridji NIP. 311510522



INSTITUT TEKNOLOGI SEPULUH NOPEMBER
PRODI SISTEM KERJA DAN SPASI

CYCLE 8

SKALA 1:200



JUDUL TUGAS AKHIR

JUDUL GAMBAR

SKALA

NO

DOSEN PEMBIMBING

MAHASISWA

DESAIN MODERIKASI STRUKUR
JEMBATAN KALIRENG DENGAN
AEROSTATIC CABLE STAYED
SYSTEM DAN PCS GIRDERS

TAHAPAN PELAKSANAAN
JEMBATAN

1 : 600

JMLH

Prof. Tarki, ST., MT., MM
NIP. 19700227199702101

Nurul Afzal Alfarizi
NIP. 1995022519990104

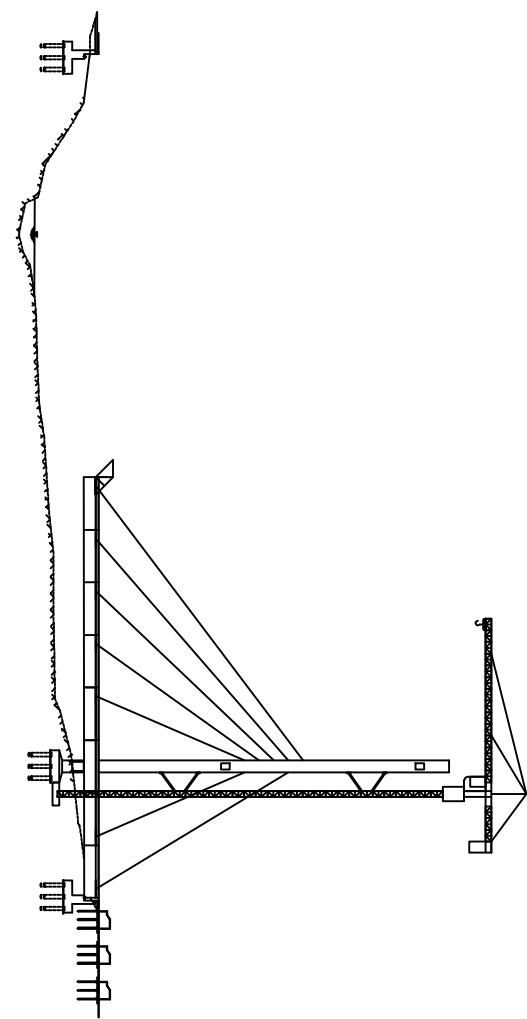
24

Dr. Ir. Hidayat Sugihardjo, M.S
NIP. 1955022519860104

Mahasiswa
NIP. 311510522

CYCLE 7

SKALA 1:200

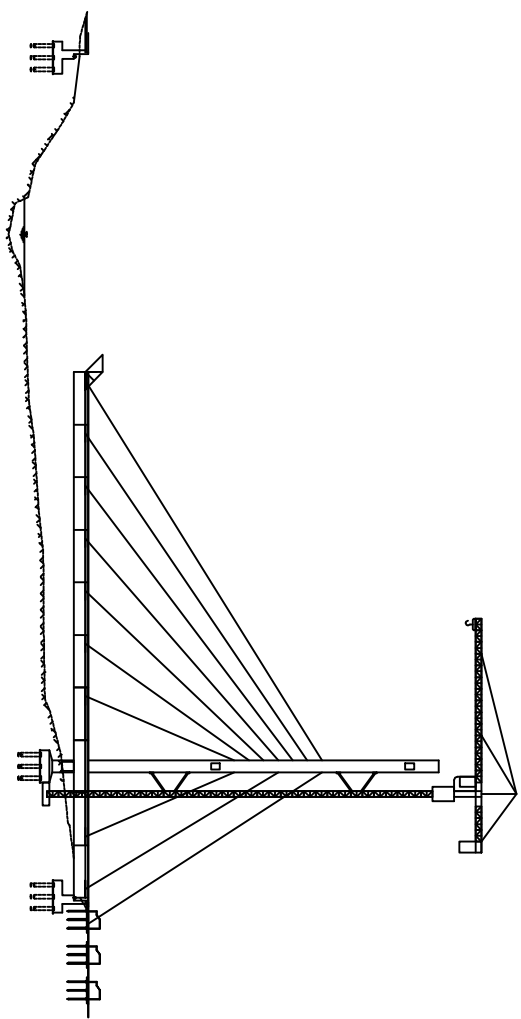




INSTITUT TEKNOLOGI SEPULUH NOPEMBER
PRODI SISTEM KERJA DAN SPASI

CYCLE 10

SKALA 1:200



DESAIN MODIFIKASI STRUKUR
JEMBATAN KALIRENG DENGAN
ASYMMETRIC CABLE STAYED
SYSTEM DAN PCS GIRDERS

JUDUL TUGAS AKHIR

JUDUL GAMBAR

SKALA

NO

DOSEN PEMBIMBING

MAHASISWA

9

JMLH

24

Prof. Tarki, ST., MT., MM

NIP. 19700227199702101

Dr. Ir. Hidayat Sugihardjo, M.S.

NIP. 19550225198601004

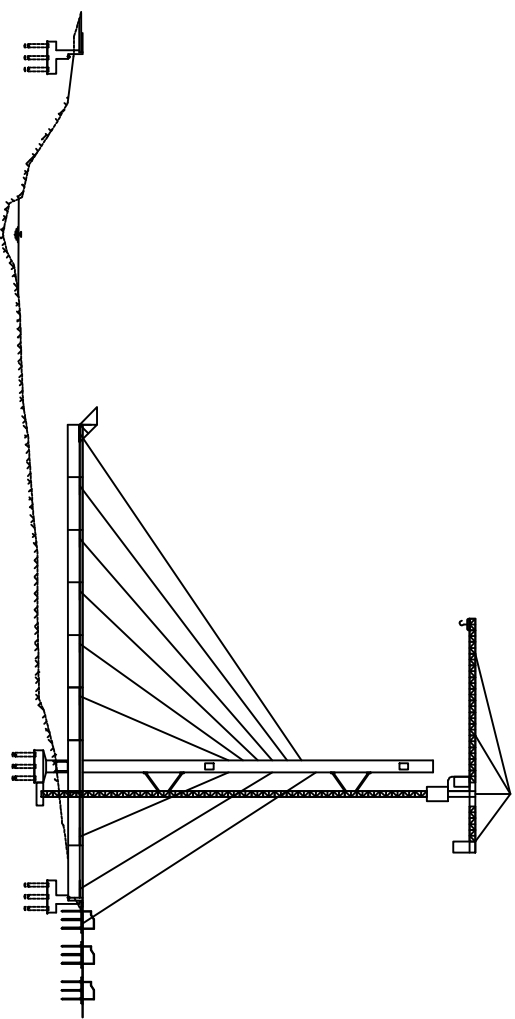
Mahasiswa

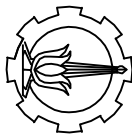
Nurul Afkar Alfarizi

NIP. 311510522

CYCLE 9

SKALA 1:200

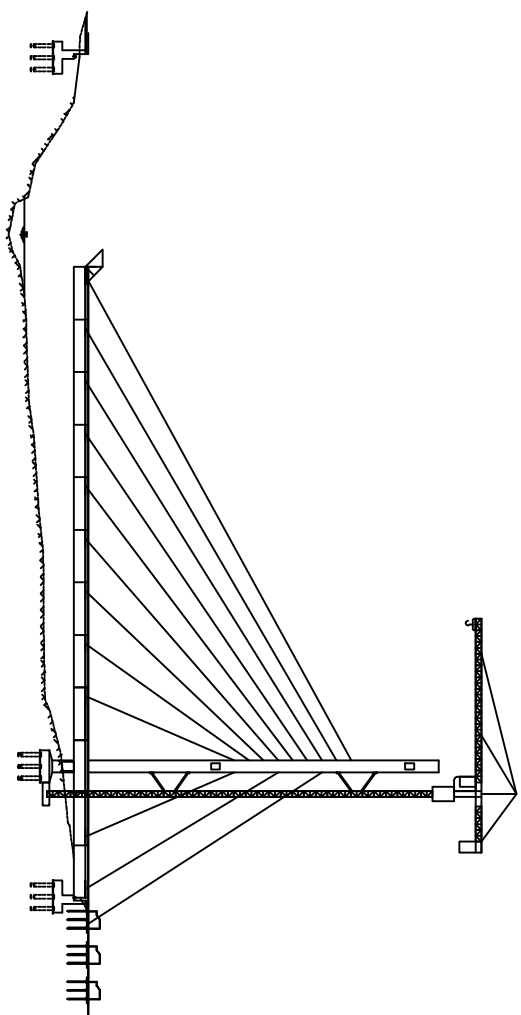




INSTITUT TEKNOLOGI SEPULUH NOPEMBER
PRODI SISTEM KERJA DAN SISTEM

CYCLE 12

SKALA 1:200



JUDUL TUGAS AKHIR

JUDUL GAMBAR

SKALA

NO

DOSEN PEMBIMBING

MAHASISWA

DESAIN MODERIKASI STRUKUR
JEMBATAN KALIREJO DENGAN
ASYMETRIC CABLE STAYED
SYSTEM DAN PCS GIRDERS

TAHAPAN PELAKUKANAN
JEMBATAN

1 : 600

JMLH

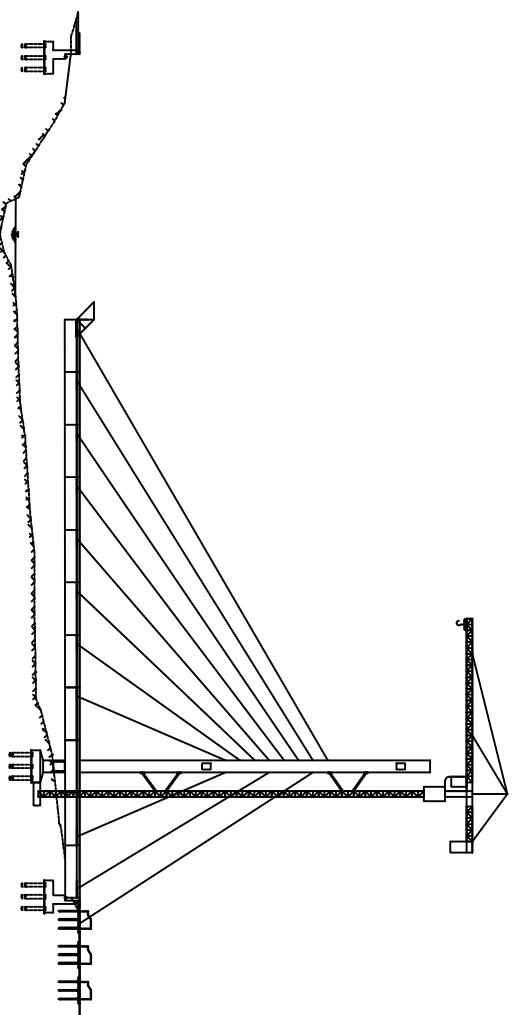
Prof. Tarki, ST., MT., MM
NIP. 19700227199702101

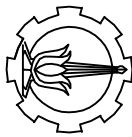
Dr. Ir. Hidayat Soegihardjo, M.S
NIP. 19550225198601004

Mohamad Albar Alsayid
NRP. 311510522

CYCLE 11

SKALA 1:200

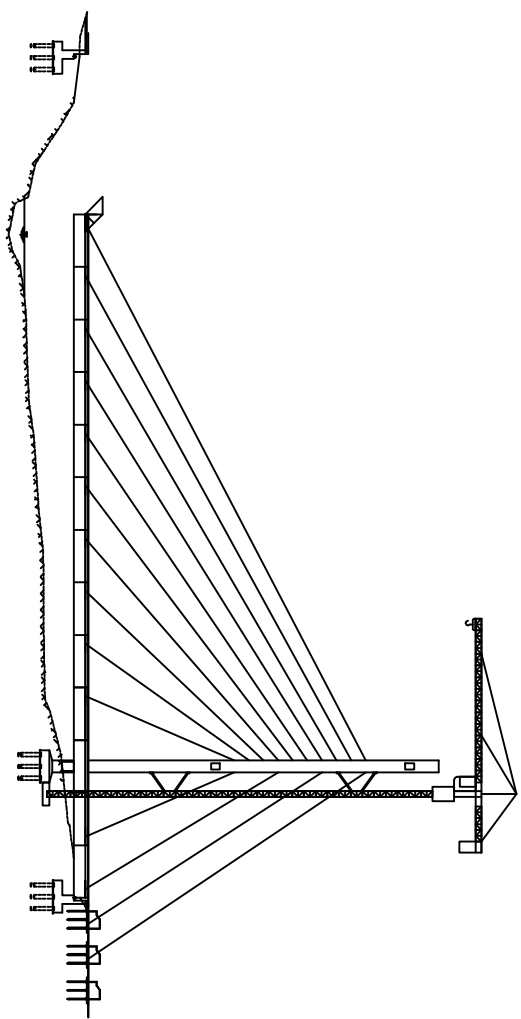




INSTITUT TEKNOLOGI SEPULUH NOPEMBER
PRODI SISTEM KERJA DAN SPASI

CYCLE 14

SKALA 1:200



JUDUL TUGAS AKHIR

JUDUL GAMBAR

SKALA

DOSEN PEMBIMBING

MAHASISWA

DESAIN MODERIKASI STRUKUR
JEMBATAN KALIRENG DENGAN
ASYMETRIC CABLE STAYED
SYSTEM DAN PCS GIRDERS

TAHAPAN PELAKUANAN
JEMBATAN

NO

Prof. Tarki, ST., MT., MM
NIP. 19700227199702101

Nabawati Albar Alfaridji
NIP. 19950225199901004

1 : 600

JMLH

M. Ahsan

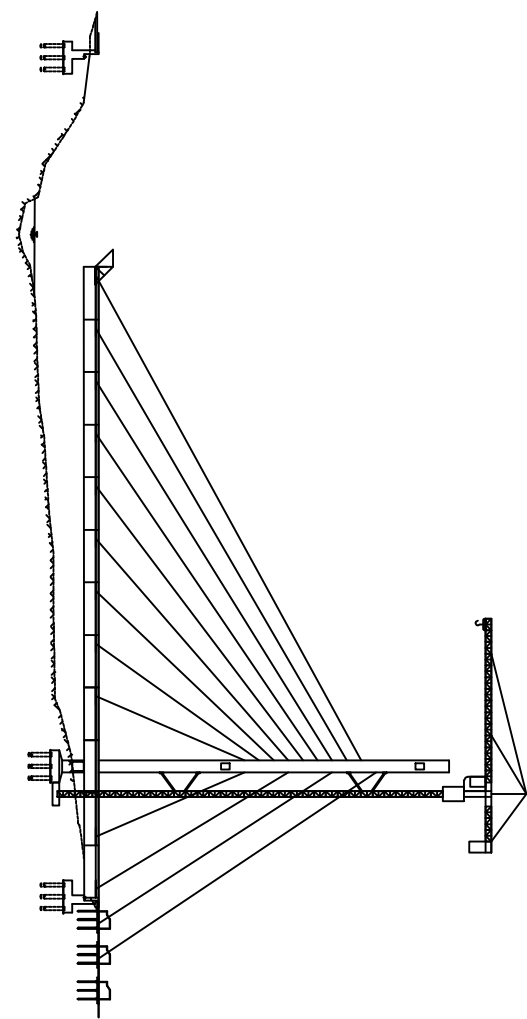
24

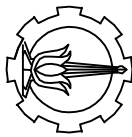
NIP. 311510522

NIP. 311510522

CYCLE 13

SKALA 1:200

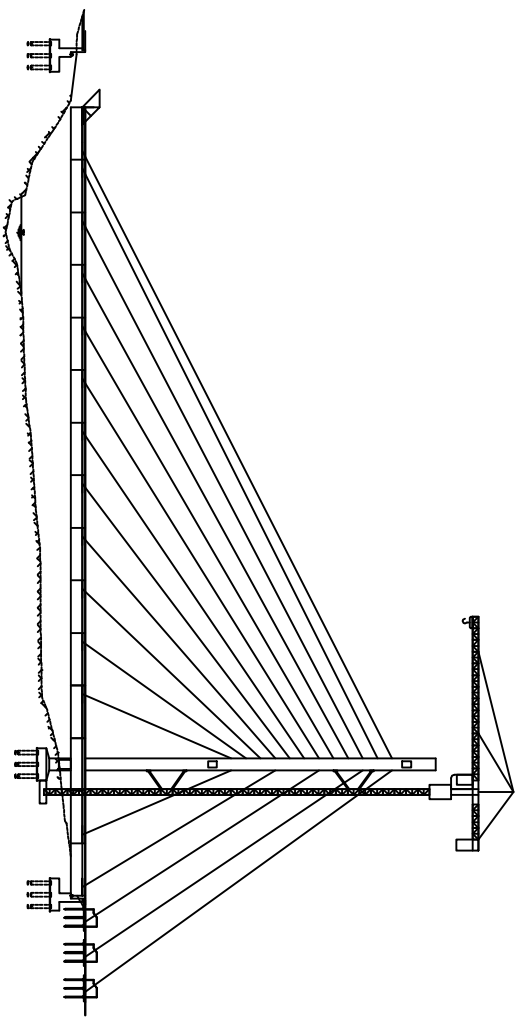




INSTITUT TEKNOLOGI SEPULUH NOPEMBER
PRODI SISTEM KERJA DAN SPASI

CYCLE 16

SKALA 1:200



JUDUL TUGAS AKHIR

1 : 600

DOSEN PEMBIMBING

MAHASISWA

JUDUL GAMBAR

12

JMLH

Prof. Tarki, ST., MT., MM
NIP. 19700227199702101

Nurul Afkar Alfaridzi
NIP. 19950225199901004

DESAIN MODERASI STRUKUR
JEMBATAN KALIRENG DENGAN
ASYMMETRIC CABLE STAYED
SYSTEM DAN PCS GIRDERS

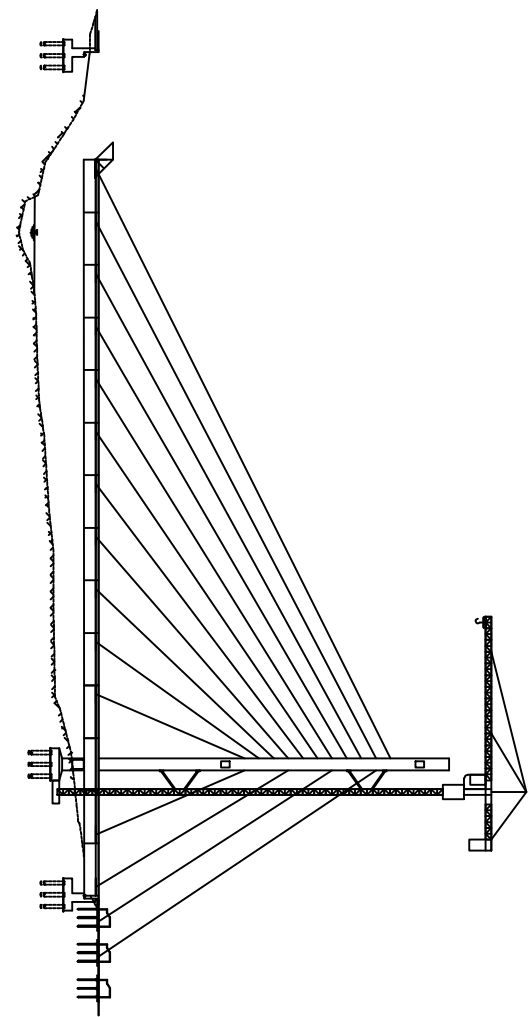
TAHAPAN PELAKUKANAN
JEMBATAN

1

24

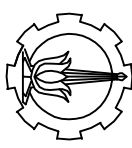
CYCLE 15

SKALA 1:200



<p>INSTITUT TEKNOLOGI SEPULUH NOPEMBER PRODI SISTEM PENGETAHUAN DAN KEGIATAN</p>		DETAIL TENDON PLAT ATAS <hr/> SKALA 1:500					
JUDUL TUGAS AKHIR	JUDUL GAMBAR	SKALA	NO	DOSEN PEMBIMBING	MAHASISWA		
DESAIN MODERIKASI STRUKTUR JEMBATAN KALIRENG DENGAN PARAMETRIC CABLE STAYED SYSTEM DAN PCS SB GIRDERS	DENAH TENDON FELAT ATAS	1 : 600	13	Prof. Tarki, ST., MT., MM NIP. 19700227199702101	Mohamed Akbar Alkayal		
			JMLH	Dr. Ir. Hidayat Soegihardjo, M.S NIP. 19550225198601004	Nurul Afifah Alkayal		

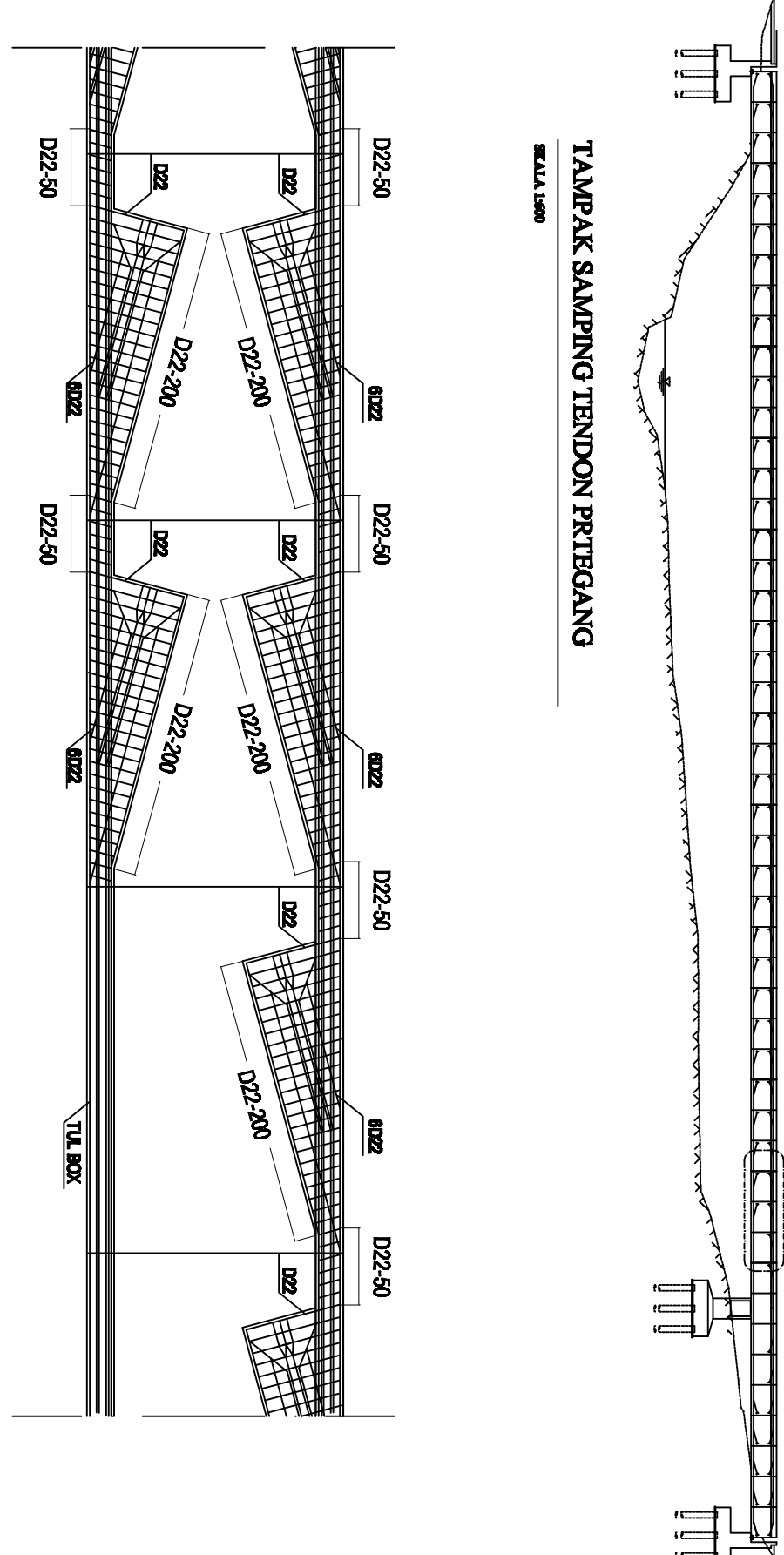
<p>INSTITUT TEKNOLOGI SEPULUH NOPEMBER PRODI S1 DENGAN SPESIALISASI PENGOLAHAN DATA DAN SISTEM</p>		DETAIL TENDON PLAT BAWAH SKALA 1:500			
JUDUL TUGAS AKHIR DESAIN MODERASI STRUKUR JEMBATAN KALIRENG DENGAN ASYMMETRIC CABLE STAYED SYSTEM DAN PCS GIRDERS	JUDUL GAMBAR DRAWA TENDON FELAT BAWAH	SKALA 1 : 600	NO 14 JMLH	DOSEN PEMBIMBING Prof. Tarki, ST., MT., MM NIP. 19700227199702101 Dr. Ir. Hidayat Sugihardjo, M.S NIP. 19550225198601004	MAHASISWA Nehemiah Alber Alfarizal NRP. 3115105022
DETAIL TENDON PLAT BAWAH SKALA 1:500					



**FAKULTAS TEKNIK SIPIL DAN PERENCANAAN
PROGRAM STUDI TEKNIK SIPIL**

TAMPAK SAMPING TENDON PRTEGANG

SALMA 1600



DETAIL TULANGAN BLISTER

SKALA 150

JUDUL TUGAS AKHIR	JUDUL GAMBAR	SKALA	NO	DOSEN PEMBIMBING	MAHASISWA
DESAIN MODIFIKASI STRUKTUR JEMBATAN KALIFER DENGAN ASTIMETRIC CABLE STAYED SYSTEM DAN PC SE GIRDER	DETAIL TULANGAN BLISTER TENDON PRATIKAJANG	1 : 600	15 JMLH 24	Prof. Tavio, ST., MT., PhD NIP. 19700327/16782/1661 Dr. Ir. Hidayat Soegiharto, M.Eng NIP. 195503251000031004	Mohamed Akbar Alraayji NRP. 3115100026



JUDUL TUGAS AKHIR

DESAIN MODULASI
STRUKTUR JEMBATAN
KALIPURU DENGAN
ASYMMETRIC CABLE STAYED
SYSTEM DAN PC SB GIRDERS

POTONGAN A-A

PENULANGAN
BLOK ANGKUR ATAS

MAHASISWA

1 : 100

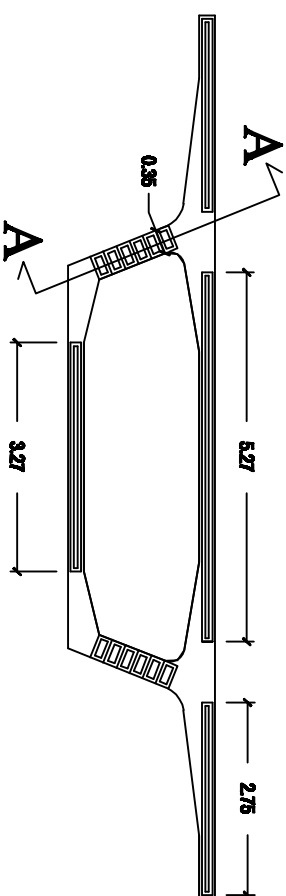
JMLH

Prod. Taile, ST, MT, MM
NIP. 19700227197201
Dr. Ir. Mulyadi Sugihardjo, M. Eng
NIP. 19660219880104

24

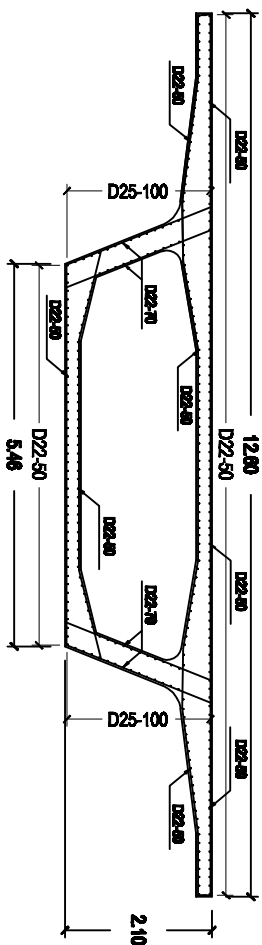
TIPIKAL SHEAR-KEY SEGMENT

SKALA 1:50



TIPIKAL PENULANGAN SEGMENT

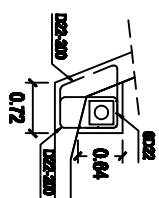
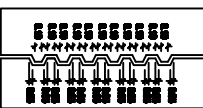
SKALA 1:50

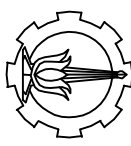


POTONGAN A-A

PENULANGAN
BLOK ANGKUR ATAS

PENULANGAN
BLOK ANGKUR BAWAH





JUDUL TUGAS AKHIR.

JUDUL GAMBAR

SKALA

DOSEN PEMBIMBING

MAHASISWA

DESAIN MODIFIKASI
STRUKTUR REMBATAN
KALIFEP DENGAN
ASYMMETRIC CABLE STAYED
SYSTEM DAN PC SB GIRDER

PENEMPATAN TENDON
PRATEGANG BOX

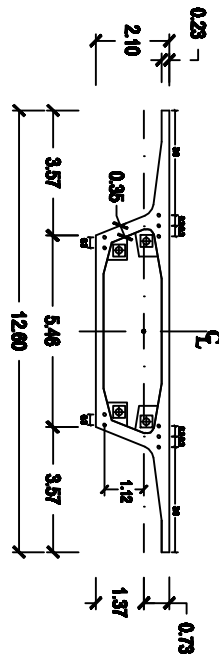
1 : 200

JMLH

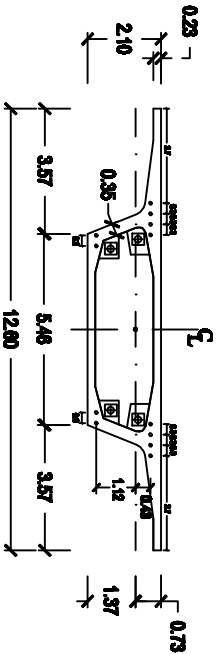
Prof. Taek, ST., MT., MM
NIP. 19700227199201

Nehmatul Akbar Alfaridzi
NRP. 311510522

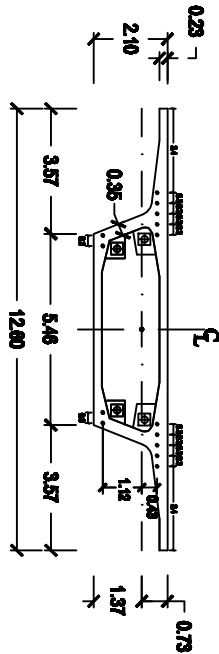
**SEKILAI
SECTION 194, 195, 213, 215**



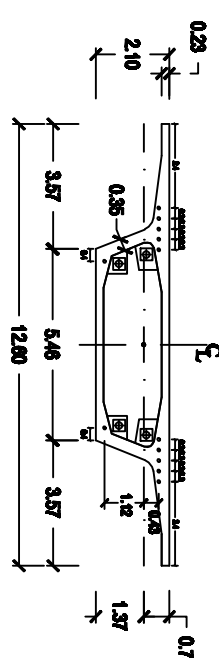
**SEKILAI
SECTION 194, 195, 213, 215**



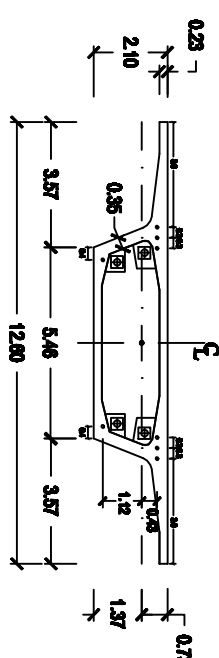
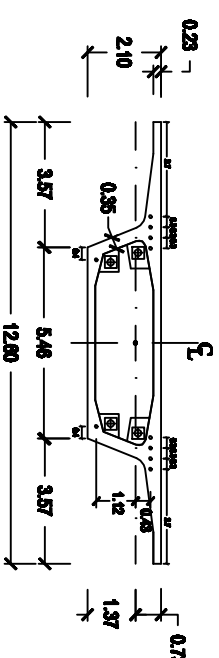
**SEKILAI
SECTION 211, 214**



**SEKILAI
SECTION 199, 202, 205, 206, 209, 216**



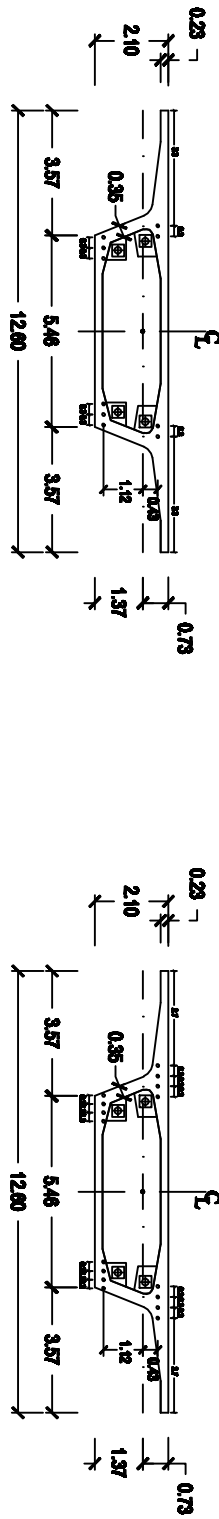
**SEKILAI
SECTION 217, 218**



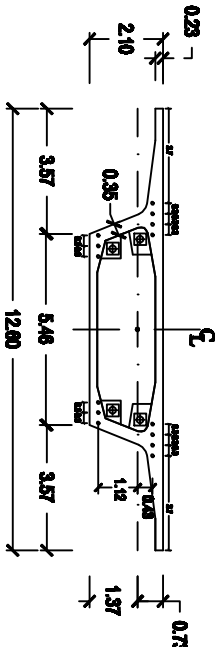


JUDUL TUGAS AKHIR		JUDUL GAMBAR	SKALA	NO	DOSEN PEMBIMBING	MAHASISWA
DESAIN MODIFIKASI STRUKTUR RUMAHATAN KALIFERA DENGAN ASYMMETRIC CABLE STAYED SYSTEM DAN PC SB GIRDER		PENEMPATAN TENDON PRATEGANG BOX	1 : 200	18 JMLH 24	Prof. Taek, ST., MT., MM NIP. 19700227199201 Dr. Ir. Ridwati Soegihardjo M., MS NIP. 1966022519930104	Mohamed Akbar Alkayal NRP. 311510522

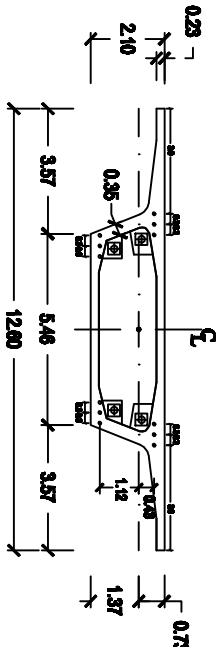
SEKILAI 175



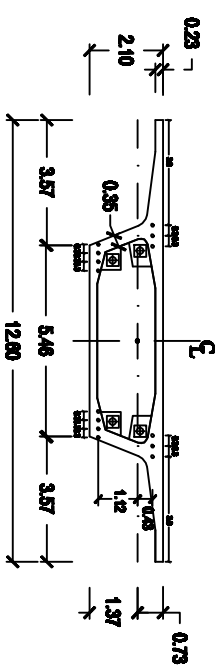
SEKILAI 191, 192



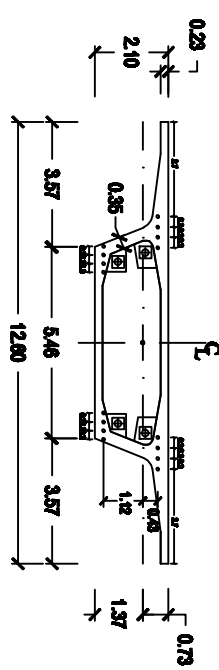
SEKILAI 193



SEKILAI 194



SEKILAI 195



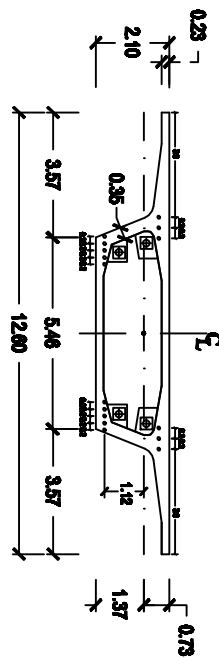


JUDUL TUGAS AKHIR.

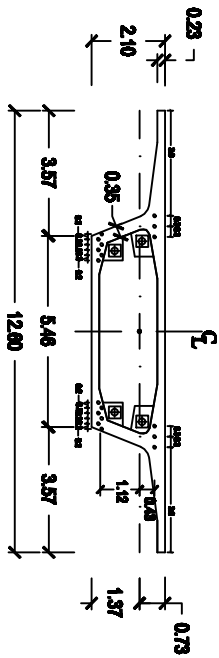
**DESAIN MODIFIKASI
STRUKTUR PEMBANTUAN
KALIFEPPE DENGAN
ASYMMETRIC CABLE STAYED
SYSTEM DAN PC SB GIRDER**

**PENEMPATAN TENDON
PRATEGANG BOX**

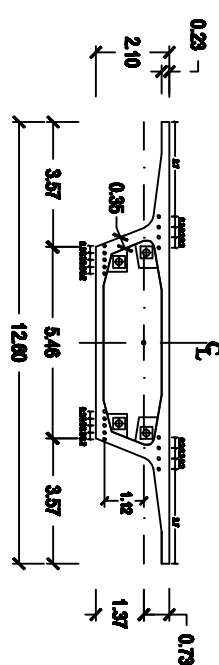
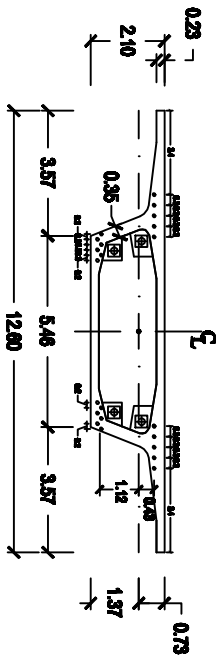
SECTION 177, 188



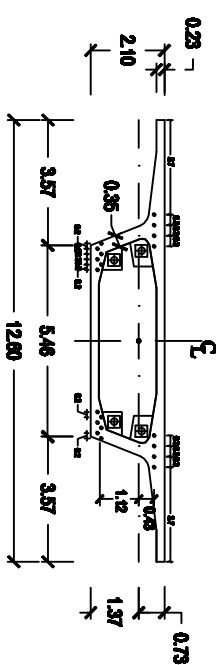
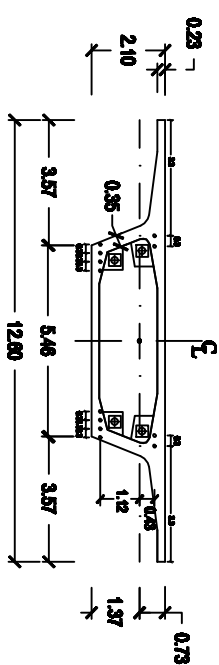
SECTION 179, 180, 181, 182, 184

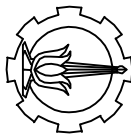


SECTION 183



SECTION 185, 186, 187





INSTITUT TEKNOLOGI SEPULUH NOPEMBER
PRODI SISTEM PADA JALAN

JUDUL TUGAS AKHIR
DESAIN MODIFIKASI
STRUKTUR JEMBATAN
KALIFER DENGAN
ASYMMETRIC CABLE STAYED
SYSTEM DAN PC SB GIRDERS

JUDUL GAMBAR
DETAIL TULANGAN BLISTER
KABEL M7 PADA GELAGAR

SKALA
1 : 100

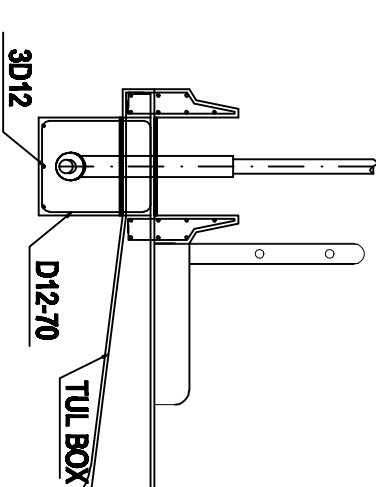
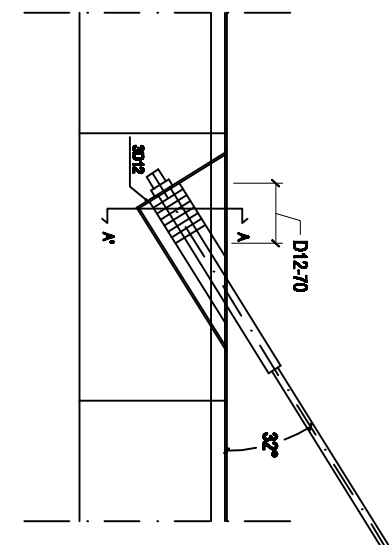
NO
20

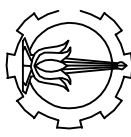
DOSEN PEMBIMBING
Prof. Taik, ST., MT., MM
NIP. 19700227197101
Ir. Ridang Soegihardjo, M. Sc
NIP. 19660225199301

MAHASISWA
Muhammad Akbar Alsayid
NIP. 3115105022

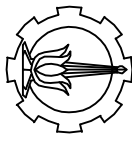
DETAIL TULANGAN BLISTER
KABEL M7 PADA GELAGAR

POTONGAN A-A'





JUDUL TUGAS AKHIR	JUDUL GAMBAR	SKALA	NO	DOSEN PEMBIMBING	MAHASISWA
DESAIN MODIFIKASI STRUKTUR JEMBATAN KALIFER DENGAN ASYMMETRIC CABLE STAYED SYSTEM DAN PC SB GIDDER	DETALI TULANGAN BLISTER PADA GELAGAR	1 : 200	21	Prof. Taek, ST., MT., MM NIP. 19700227199201 JMLH	Nurul Hidayah, S.E., M.S NIP. 19900225199301
			24		Mohamed Akbar Alkayal NIP. 3115105022



INSTITUT TEKNOLOGI SEPULUH NOPEMBER
PROFESSOR DR. IR. HAMIDUR RAHMAN, M.Sc.

**DESAIN MODIFIKASI
STRUKTUR JEMBATAN
KALIFER PEDENGAN
ASTIMMETRIC CABLE STAYED
SYSTEM DAN PC SB GIRDERS**

**PENGANGKIRAN KABEL PADA
PIZZON**

1 : 100

1 : 200

Prof. Ir. Taek, ST., MT., MM
NIP. 19700227199201101
Dr. Ir. Ridogit Soegihardjo, M. Sc
NIP. 19660225199301104

Mohamad Akbar Alfaridji
NRP. 3115105022

JUDUL TUGAS AKHIR

ZENTULANGAN LAMPU GOREA PIZZON

SKALA

MAHASISWA

JUDUL GAMBAR

DOSEN PEMBIMBING

NO

ZENTULANGAN LAMPU GOREA PIZZON

PROF. TAEK, ST., MT., MM

NRP. 19700227199201101

SKALA

22

24

ZENTULANGAN LAMPU GOREA PIZZON

JMLH

1 : 200

ZENTULANGAN LAMPU GOREA PIZZON

BR. IR. RIDOGIT SOEGIHARDJO, M. SC

NRP. 19660225199301104

ZENTULANGAN LAMPU GOREA PIZZON

ZENTULANGAN LAMPU GOREA PIZZON

200 : 1

MAHASISWA

ZENTULANGAN LAMPU GOREA PIZZON

PROF. TAEK, ST., MT., MM

NRP. 19700227199201101

SKALA

22

24

ZENTULANGAN LAMPU GOREA PIZZON

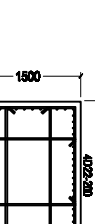
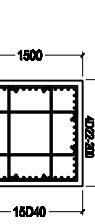
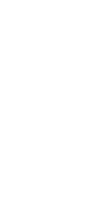
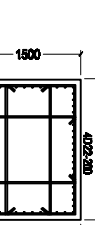
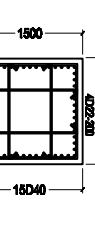
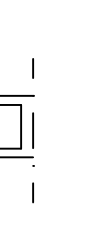
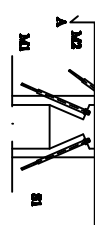
JMLH

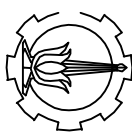
1 : 200

ZENTULANGAN LAMPU GOREA PIZZON

BR. IR. RIDOGIT SOEGIHARDJO, M. SC

NRP. 19660225199301104





INSTITUT TEKNOLOGI SEPULUH NOPEMBER
PRODI SISTEM KERJA DAN SISTEM

JUDUL TUGAS AKHIR

DESAIN MODIFIKASI
STRUKTUR JEMBATAN
KALIFER DENGAN
ASYMMETRIC CABLE STAYED
SYSTEM DAN PC SB GIRDERS

JUDUL GAMBAR

DETAL TULANGAN BLISTER
PADA PYZON

SKALA

1 : 100

MAHASISWA

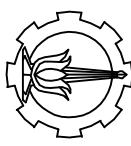
Prof. Taek, ST., MT., MM
NIP. 19700227199201
Dr. Ir. Ridogat Soegihardjo, M. Sc
NIP. 1966022519930104

DOSEN PEMBIMBING

Mohamad Akbar Alfarizi
NIP. 3115105022

DETAL TULANGAN BLISTER

M1 M2 M3 M4 M5 M6 M7 M8 M9 M10 M11 M12



INSTITUT TEKNOLOGI SEPULUH NOPEMBER
PRODI SISTEM PADA STRUKTUR

JUDUL TUGAS AKHIR.**JUDUL GAMBAR**

SKALA

NO

DOSEN PEMBIMBING**MAHASISWA****DESAIN MODULASI
STRUKTUR JEMBATAN
KALIFER DENGAN
ASYMMETRIC CABLE STAYED
SYSTEM DAN PC SB GIRDERS****DETAL TULANGAN BLISTER
BLOK ANGKUR S4**

1 : 100

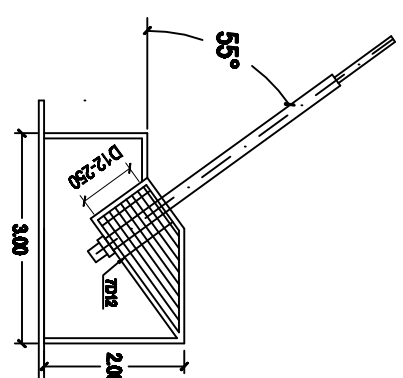
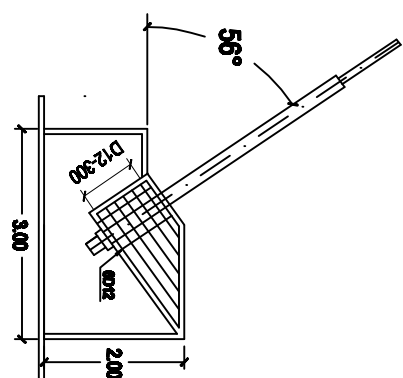
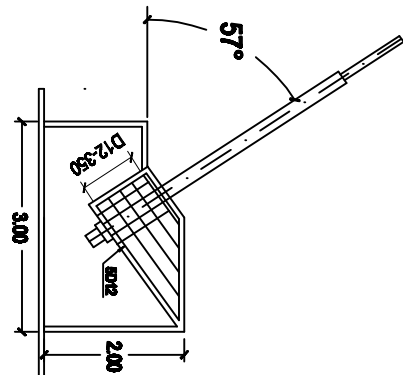
JMLH

Prof. Taek, ST., MT., MM
NIP. 19700227199201
Ir. Ridogat Soegihardjo, M., MSMohamad Akbar Alsayid
NIP. 3115105022

**DETAL TULANGAN BLISTER
BLOK ANGKUR S3**

**DETAL TULANGAN BLISTER
BLOK ANGKUR S4**

**DETAL TULANGAN BLISTER
BLOK ANGKUR S5**





PROGRAM STUDI S-1 JURUSAN TEKNIK SIPIL FTSP - ITS
LEMBAR KEGIATAN ASISTENSI TUGAS AKHIR (WAJIB DIISI)

Jurusan Teknik Sipil Lt.2, Kampus ITS Sukolilo, Surabaya 601111

Telp.031-5946094, Fax.031-5947284



NAMA PEMBIMBING	Dr. Ir. Hidayat Soegihardjo M., MS
NAMA MAHASISWA	MUHAMMAD AHSAR ALKASYILO
NRP	3115105026
JUDUL TUGAS AKHIR	Desain Modifikasi Struktur Jembatan Kalipepe dengan Asymmetric Cable Stayed System dan Prestressed Concrete Segmental Box Girder
TANGGAL PROPOSAL	25 Januari 2017
NO. SP-MMTA	

NO	TANGGAL	KEGIATAN		PARAF ASISTEN
		REALISASI	RENCANA MINGGU DEPAN	
1	1/3 '17	<ul style="list-style-type: none"> - bab 4 preliminary design - bab 5 struktur sambungan 	<ul style="list-style-type: none"> - Perbaiki gambar memayang - perbaiki profil box sejajar - beban hidup UDL + UEL saja - 4 perhitungan dek / box 	<i>jh</i>
2	8/3 '17	<ul style="list-style-type: none"> - bab 6 perubahan & metoda struktur - memperbaiki prb memayang 2 bks 	<ul style="list-style-type: none"> - Cari jml material box dalam 1 tahan - Dtg fr 9 mencegah fatigue pd box - Ref. pA ABSHD / bkr s. terbaru dg pd box protegg box - perhitungan dimensi pylons .. dppn - 0.3 fc km 0.7 ny & pemirsa manen 	<i>jh</i>
3	22/3 '17	<ul style="list-style-type: none"> - bab 6 analisa pembelahan - revisi sebelumnya 	<ul style="list-style-type: none"> - gbr truk diambil jarak antar truk diamati yg BTR - ada telur angka hilang 1/2 dr angketan - beban gempa boleh diambil posis 	<i>jh</i>
4	29/3 '17	<ul style="list-style-type: none"> - Membandingkan pembelahan - Konfigurasi beban lalu - Staging analisis - perbaikan dekor 	<ul style="list-style-type: none"> - Ref. konfigurasi LL ditambah - gbr sket stager & traveler - fishbone → properti diwajibkan rencana big b alarm km intas menggunakan pausung term - lat ref. YouTube & protegg box - Cek ref. hub beban yg buat & protegg - perbaikan & protegg yg merusak beton 	<i>jh</i>



PROGRAM STUDI S-1 JURUSAN TEKNIK SIPIL FTSP - ITS
LEMBAR KEGIATAN ASISTENSI TUGAS AKHIR (WAJIB DIISI)

Jurusan Teknik Sipil Lt.2, Kampus ITS Sukolilo, Surabaya 601111
Telp.031-5946094, Fax.031-5947284



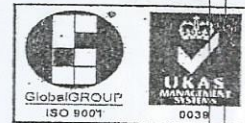
NAMA PEMBIMBING	: Dr. Ir. Hidayat Soegihardjo M.M.
NAMA MAHASISWA	: Mohammad Akbar Alrasyidi
NRP	: 3115105026
JUDUL TUGAS AKHIR	: Design Modifikasi Struktur Jembatan Kalipepe dengan Symmetric Cable Stayed System dan Prestressed Concrete Segmental Box Girder
TANGGAL PROPOSAL	: 25 Januari 2017
NO. SP-MMTA	:

NO	TANGGAL	KEGIATAN		PARAF ASISTEN
		REALISASI	RENCANA MINGGU DEPAN	
5	18/1/17	<ul style="list-style-type: none"> - Staging Analyzer - Permodelan kabel putus 1 yang terdiri 	<ul style="list-style-type: none"> - tidak apa-apa pun yg terjadi tp hts dicuci saat pelaksanaan momen kabel & prestress mendek segmen terdiri 	
6	3/1/17	<ul style="list-style-type: none"> - Output staging - Output full - Struktur kabel 	<ul style="list-style-type: none"> - Tahap pelaksanaan dimulai ke bagian Staging - dibuat gambar pd bagian staging (output dek) - prestress per segment 	
7	10/1/17	<ul style="list-style-type: none"> - tendon prestress staging - kontrol aerodinamis 	<ul style="list-style-type: none"> - Cek tendon atas yg momen (-) - Cek tendon bawah yg momen (+) - pelayaran jarak ekstrem maks 2/4 posisi tendon & angkurannya - Cek grafik efek flutter antara horizontal (periode dg displacement) 	
8	11/1/17	<ul style="list-style-type: none"> - perbaiki grafik flutter - tendon segmental ok - tulangan arah memajang gunakan tl. min (sudut & suhu) - tulangan arah menjauh hitung seperti lantai kendaraan 	<ul style="list-style-type: none"> - persamai grafik flutter - tendon segmental ok - tl. memajang gunakan tl suhu tetap - tl. menjauh hitung seperti lantai kendaraan - tendon memajang pd sambungan membeli momen, torsional geser 	



PROGRAM STUDI S-1 JURUSAN TEKNIK SIPIL FTSP - ITS
LEMBAR KEGIATAN ASISTENSI TUGAS AKHIR (WAJIB DIISI)

Jurusan Teknik Sipil Lt.2, Kampus ITS Sukolilo, Surabaya 601111



Form AK/TA-04
rev01

Telp.031-5946094, Fax.031-5947284

NAMA PEMBIMBING	: Dr. Ir. Hidayat Soegihardjo M.Ms
NAMA MAHASISWA	: Mo hammad Albar Alcariyidi
NRP	: 3115105026
JUDUL TUGAS AKHIR	: Desain Modifikasi Struktur Jembatan Kalipepe dengan Asymmetric Cable Stayed System dan Prestressed Concrete Segmented Box girder
TANGGAL PROPOSAL	: 25 Januari 2017
NO. SP-MMTA	: 014028

NO	TANGGAL	KEGIATAN		PARAF ASISTEN
		REALISASI	RENCANA MINGGU DEPAN	
9	23/5/17	<ul style="list-style-type: none"> - pylon - gelagor - kontrol accodimix one 	<ul style="list-style-type: none"> - fm. torii dimasukan untuk lebar perbesar dua fm agar jarak gelagor - stressing angkat pylon diluar 	<i>jh</i>
10	7/6/17	<ul style="list-style-type: none"> - Laporan fix - gambar 	<ul style="list-style-type: none"> - cek ukuran box mm & ml - cek diagram teg. box about ms - seran pylon dimiringkan 	<i>jh</i>



PROGRAM STUDI S-1 JURUSAN TEKNIK SIPIL FTSP - ITS
LEMBAR KEGIATAN ASISTENSI TUGAS AKHIR (WAJIB DIISI)

Form AK/TA-04
rev01

Jurusan Teknik Sipil Lt.2, Kampus ITS Sukolilo, Surabaya 601111

Telp.031-5946094, Fax.031-5947284



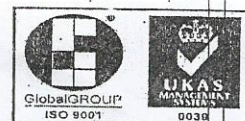
NAMA PEMBIMBING	Prof. Tavio ST. MT. Ph.D
NAMA MAHASISWA	MUHAMMAD AKBAR ALRASYIDI
NRP	3115105026
JUDUL TUGAS AKHIR	Design Modifikasi Struktur jembatan Kalipepe dengan Asymetric Cable Stayed System dan Prestressed Concrete Segmental Box Girder
TANGGAL PROPOSAL	25 Januari 2017
NO. SP-MMTA	014028

NO	TANGGAL	KEGIATAN		PARAF ASISTEN
		REALISASI	RENCANA MINGGU DEPAN	
1	2/3 '17	- Bab 4 prelim design - Bab 5 struktur selanjutnya	<ul style="list-style-type: none"> - cek referensi - perbaiki notasi tabel & gam - perbaiki gbr bab 5 - box tetap jarak 12,6 - prestressed dimensi belum pada gambaran saja lalu dicantumkan mu arah lampiran, jd klu diketahui prestressed - prelim balon tdk perlu dicantumkan tdk dicantumkan dulu - penambang rylon dibuat box dg tebal 30 - 70 mm - dimensi & notasi pd gbr dipersiapkan - ref. fiksi on - belum tandem dg bentroddi + form - pemasangan di bawah jembatan - penarikan kabel yg beratnya dicantumkan min. 	
2	9/3 '17	- bab 6 pemodelan & analisis		
3	23/3 '17	- bab 6 analisa pertemuan		
4	6/3 '17	- pemodelan midas		
5	18/3 '17	- Staging analysis		



PROGRAM STUDI S-1 JURUSAN TEKNIK SIPIL FTSP - ITS
LEMBAR KEGIATAN ASISTENSI TUGAS AKHIR (WAJIB DIISI)

Jurusan Teknik Sipil Lt.2, Kampus ITS Sukolilo, Surabaya 601111



Form AK/TA-04
rev01

Telp.031-5946094, Fax.031-5947284

NAMA PEMBIMBING	: Prof. Tavio ST. MT. Ph.D
NAMA MAHASISWA	: MOHAMMAD AKBAR, ALRASYID
NRP	: 3115105026
JUDUL TUGAS AKHIR	: DESAIN MODIFIKASI STRUKTUR JEMBATAN KALIPEPE dengan Asymmetric Cable Stayed System dan Pressured Concrete Segmental Box Girder
TANGGAL PROPOSAL	: 20 Januari 2017
NO. SP-MMTA	: 014028

NO	TANGGAL	KEGIATAN		PARAF ASISTEN
		REALISASI	RENCANA MINGGU DEPAN	
6	20/4 '17	- Hasil Output Staging Analyzer	- persiapan laporan	
7	21/5 '17	- Buat diagram - Analisa gempa statis - Analisa dinamis	- Persiapkan laporan tentang tabel hasil dipegelar pd paragraf selanjutnya - Momen diambil yg terbesar antara Staging dan statis dg kondisi posisi silang atau simetris - buat draft regula di sepanjang angker di dan ikat dek , di pylon tht pylon & bln angker tsb sendiri	
8	18/5 '17	- tendon atas - kontrol aerodinamis	- teg. struk diusahakan dulu teknik segmental - sambungan antar segmental gunakan fiber Lucy - jarak min/tul 10 mm . cover 75 mm - tel melintang flans atau bahan gunakan hit plat lantai undercarriage - li. menyang gunungan tul-min + tali - tali menyang gunungan tul-min + tali - tali menyang gunungan tul-min + tali - tali menyang menyang tali - tali menyang menyang tali - tali menyang menyang tali	
9	23/5 '17	- Pylon - tendon ikat - penutupan box	- kerjakan nilai diagram tegangan - hit masuk teg ifjin - ukur peru ngejar F peru - li. balok pylon dibuat sebagian besar diketahui	



PROGRAM STUDI S-1 JURUSAN TEKNIK SIPIL FTSP - ITS
LEMBAR KEGIATAN ASISTENSI TUGAS AKHIR (WAJIB DIISI)

Form AK/TA-04
rev01

Jurusan Teknik Sipil Lt.2, Kampus ITS Sukolilo, Surabaya 601111

Telp.031-5946094, Fax.031-5947284



NAMA PEMBIMBING	Prof. Janto , ST, M.T, Ph.D
NAMA MAHASISWA	Mohammad Auber Alraffidi
NRP	8115105026
JUDUL TUGAS AKHIR	Desain Modifikasi struktur jembatan Kalipore dengan Assymetric Cable Stayed System dan Preserved Concrete Segmental Box Girder
TANGGAL PROPOSAL	28 Januari 2017
NO. SP-MMTA	014028

NO	TANGGAL	KEGIATAN		PARAF ASISTEN
		REALISASI	RENCANA MINGGU DEPAN	
10	1/6 '17	analisa angsur Analisa box	<ul style="list-style-type: none"> - Cek konstruksi degradasi jembatan - Cek shear box 	
11	7/6 '17	Laporan Bab 4 gambar		